

Научный журнал
«Вестник Уральского государственного
университета путей сообщения»
№ 4 (28), 2015 год

**Главный редактор,
научный редактор**
Василий Михайлович Сай

Литературный и выпускающий редактор
Людмила Станиславовна Барышникова

Техническое редактирование и верстка
Светлана Николаевна Наймушина
Дизайн обложки
Ольга Петровна Игнатьева

Учредитель и издатель:
Уральский государственный
университет путей сообщения
(УрГУПС)

Адрес для корреспонденции:
620034, Екатеринбург,
ул. Колмогорова, 66, УрГУПС,
редакция журнала
«Вестник УрГУПС»

Телефон редакции: (342) 221-25-60.
Веб-сайт: www.vestnik.usurt.ru;
e-mail: vestnik@usurt.ru.

Журнал издается по решению
ученого совета университета
©УрГУПС

«Вестник УрГУПС» включен ВАКом
в перечень периодических, научных
и научно-технических изданий,
выпускаемых в Российской Федерации,
в которых рекомендуется публикация
основных результатов диссертаций.

DOI:10.20291/2079-0392

Свидетельство о регистрации
средства массовой информации
Роскомнадзора ПИ № ФС77–38188
от 30 ноября 2009 г.

Подписной индекс журнала
в общероссийском
каталоге «Роспечать» — 70070

Отпечатано в издательстве
Уральского государственного
университета путей сообщения,
620034, Екатеринбург,
ул. Колмогорова, 66.

Подписано в печать 25.12.2015.

Тираж 300. 1-й з-д: 1–80.
Формат 70×100/16.
Заказ 225

Scientific journal «Herald of the
Ural State University
of Railway Transport»
№ 4 (28), 2015

**Editor-in-chief,
Science editor**
Vasily M. Say

Script and copy editor
Lyudmila S. Baryshnikova

Technical editing and make-up
Svetlana N. Naymushina

Cover design
Olga P. Ignatjeva

Founder and publisher:
The Ural State University
of Railway Transport
(USURT)

Correspondence address:
«Herald of USURT» editorial office
The Ural State University of Railway Transport»
66 Kolmogorov Street,
620034, Ekaterinburg

Telephone: +7 (342) 221-25-60.
Web-site: www.vestnik.usurt.ru;
e-mail: vestnik@usurt.ru.

The journal is published by the decision of
University Academic Board
©USURT

DOI:10.20291/2079-0392

Certificate of registration of mass media
by the Federal Service for Supervision
in the sphere of communications,
information technology and mass communications
(Roskomnadzor) PI № FS77–38188
of November 30, 2009.

Subscription reference number of the issue
in the All Russia Catalogue «Rospechat» — 70070

Printed in the Publishing house
of the Ural State University of
Railway Transport
66 Kolmogorov Street,
620034, Ekaterinburg.

Passed for printing 25.12.2015.

Circulation 300. 1-й з-д: 1–80.
Format 70×100/16.
Order 225

МЕЖДУНАРОДНЫЙ РЕДАКЦИОННЫЙ СОВЕТ

Кейт Бурнхам, профессор, Университет г. Ковентри, факультет машиностроения и вычислительной техники, Великобритания

Петер Копачек, профессор, Венский технологический университет, Венский институт транспорта и робототехники, интеллектуальный транспорт и робототехника, Вена, Австрия

Владимир Цыганов, д-р техн. наук, профессор, Институт проблем управления Российской академии наук, Москва, Россия

Сергей Герман-Галкин, д-р техн. наук, профессор, Морская академия, Институт судовой автоматики и электротехники, Щецин, Польша

Клаус Беккер, профессор, Университет прикладных наук г. Кельна, Институт автомобильной техники, лаборатория NVH, Германия

Василий Сай, д-р техн. наук, профессор, Уральский государственный университет путей сообщения, Екатеринбург, Россия

РЕДКОЛЛЕГИЯ

Вовк Алексей Александрович, д-р экон. наук, профессор, МГУПС, Москва

Воскресенская Тамара Петровна, д-р техн. наук, профессор, СибГИУ, Новокузнецк

Воробьев Александр Алексеевич, д-р техн. наук, профессор, МГУПС, Москва

Ефимов Александр Васильевич, канд. техн. наук, профессор, УрГУПС, Екатеринбург

Корнилов Сергей Николаевич, д-р техн. наук, профессор, МГТУ, Магнитогорск

Нестеров Валерий Леонидович, д-р техн. наук, профессор, УрГУПС, Екатеринбург

Кузнецов Константин Борисович, д-р техн. наук, профессор, УрГУПС, Екатеринбург

Сапожников Валерий Владимирович, д-р техн. наук, профессор, ПГУПС, Санкт-Петербург

Сизый Сергей Викторович, д-р техн. наук, профессор, УрФУ, Екатеринбург

Щурин Константин Владимирович, д-р техн. наук, профессор, ОГУ, Оренбург

Тимофеева Галина Адольфовна, д-р физ.-мат. наук, профессор, УрГУПС, Екатеринбург

INTERNATIONAL EDITORIAL BOARD

Keith Burnham, professor, Coventry University, Faculty of Engineering and Computing, Great Britain

Peter Kopachek, professor, Vienna University of Technology, Vienna Institute of Transportation and Robotics, Intelligent Transportation and Robotics, Vienna, Austria

Vladimir Tsyganov, DSc, professor, Russian Academy of Sciences, Institute of Control Sciences, Moscow, Russia

Sergey German-Galkin, DSc, professor Maritime Academy, Institute of naval automation and electric engineering, Szczecin, Poland

Klaus Becker, professor, Cologne University of Applied Sciences, Institute of Automotive Engineering, NVH Laboratory, Germany

Vasily Say, DSc, professor, The Ural State University of Railway Transport, Ekaterinburg, Russia

EDITORIAL BOARD

Vovk Alexei Aleksandrovich, DSc, professor, Moscow State University of Railway Transport, Moscow

Voskresenskaya Tamara Petrovna, DSc, professor, Siberian State Industrial University, Novokuznetsk

Vorobjev Alexander Alexeevich, DSc, professor, Moscow State University of Railway Transport, Moscow

Efimov Alexander Vasilievich, DSc, professor, The Ural State University of Railway Transport, Ekaterinburg

Kornilov Sergey Nikolaevich, DSc, professor, Magnitogorsk State Technical University, Magnitogorsk

Nesterov Valery Leonidovich, DSc, professor, The Ural State University of Railway Transport, Ekaterinburg

Kuznetsov Konstantin Borisovich, DSc, professor, The Ural State University of Railway Transport, Ekaterinburg

Sapozhnikov Valery Vladimirovich, DSc, professor, Petersburg State University of Railway Transport, Saint-Petersburg

Sizyi Sergey Viktorovich, D. Sc. in engineering, professor, Ural Federal University, Ekaterinburg

Shchurin Konstantin Vladimirovich, DSc, professor, Orenburg State University, Orenburg

Timofeeva Galina Adolfovna, DSc, professor, The Ural State University of Railway Transport, Ekaterinburg

Содержание

Математические модели технологических процессов

- 4 Г. А. Тимофеева, Д. В. Бондарчук. Математические основы метода категориальных векторов в интеллектуальном анализе данных
- 9 А. В. Мартыненко. Взаимосвязь функциональных классов автомобильных дорог с показателем центральности (на примере автодорожной сети Свердловской области)
- 17 Н. В. Казанцева. Математический расчет двойникования в кубических и тетрагональных интерметаллидных системах

Механика машин и роботов

- 26 Х. Т. Туранов, А. А. Гордиенко. Исследование движения вагона на участке первой тормозной позиции сортировочной горки при воздействии попутного ветра малой величины
- 32 Ю. А. Савельев, Е. Ю. Черкасова. Количественное измерение телесных углов
- 43 А. Х. Ягофаров, Х. Ягофаров, С. М. Скоробогатов. Расчет стального круглого бункера нового типа

Организация и логистика

- 72 Л. И. Васильцова, Н. А. Александрова. Кадровые риски в системе оценки персонала организации
- 81 Е. Ю. Кузнецова, А. А. Акулова. Организация процесса утилизации в российском автотранспортном комплексе

Безопасность деятельности человека

- 91 К. Б. Кузнецов, А. Р. Закирова. Формирование понятия дозы воздействия электромагнитного поля низкочастотного диапазона на организм человека

Организация образовательного процесса

- 99 С. В. Балакин. Фрактальная сущность языка

История и современность

- 113 А. А. Конов. Совершенствование средств связи – важное направление модернизации железнодорожного транспорта на Урале в 1975–1980-е гг. (исторический аспект)
- 130 В. С. Блохин. Отражение богословских вопросов армянской церкви в русскоязычной научной и публицистической литературе XIX – начала XX в. как основа межцерковного диалога

Аспирантская тетрадь

- 141 Д. А. Скутин. Расчет напряжений в балластной призме, усиленной геосинтетическими материалами

Contents

Mathematic models of technological processes

- 4 G. A. Timofeyeva, D. V. Bondarchuk. Mathematical foundations of categorical vector method in data mining
- 9 A. V. Martynenko. Relationship between functional classes of motor roads with centrality factor (by the example of road network of Sverdlovsk oblast)
- 17 N. V. Kazantseva. Mathematical calculation of twinning in cubic and tetragonal intermetallic systems

Mechanics of machines and robots

- 26 Kh. T. Turanov, A. A. Gordienko. The research of the movement of the first portion of the marshalling hump under the influence of a tail wind small size
- 32 Yu. A. Savel'yev, E. Yu. Cherkasova. Quantitative measurements of solid angles
- 43 A. Kh. Yagofarov, Kh. Yagofarov, S. M. Skorobogatov. Structural analysis of steel round hopper of new type

Organization and logistics

- 72 L. I. Vasil'tsova, N. A. Alexandrova. Hr-risks in staff evaluation system of an organization
- 81 E. Yu. Kuznetsova, A. A. Akulova. Organization of the recycling in the russian complex of automobile transport

Personal and social safety

- 91 K. B. Kuznetsov, A. R. Zakirova. Developing the concept of low-frequency electromagnetic field exposure dose affecting human body

Study process organization

- 99 S. V. Balakin. Fractal nature of language

History and present

- 113 A. A. Konov. Improvement of communications facilities as an important area of modernization of railway transport of the Urals in 1975–1980 (historical aspect)
- 130 V. S. Blokhin. Reflection of theological questions of armenian church in russian scientific and journalistic publications of XIX – early XX centuries as a basis for interchurch dialogue

Research of young scientists

- 141 D. A. Skutin. Calculation of stresses in ballast section reinforced by geosynthetics

Математические модели технологических процессов

УДК 519.767.6

Г. А. Тимофеева, Д. В. Бондарчук

Математические основы метода категориальных векторов в интеллектуальном анализе данных

UDC 519.767.6

G. A. Timofeyeva, D. V. Bondarchuk

Mathematical Foundations of categorical vector method in data mining

Аннотация

В интеллектуальном анализе данных широко используется векторная модель представления документов – каждый текстовый документ из базы дан в виде вектора, размерность которого равна числу слов (термов) в корпусе. При разработке алгоритмов подбора наиболее подходящих документов из базы требуется решать проблему компактного представления пользовательских запросов и элементов базы. Авторами ранее был предложен метод представления текстовых документов через категориальные векторы, чья размерность равна числу категорий, что значительно меньше размерности исходного векторного пространства. Статья посвящена математическому описанию метода категориальных векторов и обоснованию использования косинусной меры близости запросов в интеллектуальном поиске. Рассматривается метод интеллектуального анализа данных, который на любой запрос пользователя, независимо от размера и равномерности обучающей выборки дает пользователю непустой ответ, отсортированный по степени релевантности запроса пользователя. Поэтому необходимо корректно определить степень соответствия откликов пользовательскому запросу.

Ключевые слова: интеллектуальный анализ данных, векторная модель документа, категориальные вектора, мера близости.

DOI:10.20291/2079-0392-2015-4-4-8

Abstract

Data mining widely employs vector model of document submission – every text document from the database is given as a vector whose dimension is equal to the number of words (terms) in the body. When developing algorithms for the selection of the most appropriate documents from the database, the problem of compact representation of user queries and database components needs to be solved. The authors have previously proposed a method of presenting text documents using categorical vectors whose dimension is equal to the number of categories, which is significantly less than dimension of the original vector space. The article is dedicated to mathematical description of categorical method and justification of the use of cosine measure of query proximity in smart search. The data mining method is considered, which gives a non-empty response to any user request sorted by the degree of relevance, regardless of the size and uniformity of the training sample. Therefore it is necessary to correctly determine the extent to which the responses correlate to the user request.

Keywords: data mining, document vector model, categorical vectors, proximity measure.

DOI:10.20291/2079-0392-2015-4-4-8

Тимофеева Галина Адольфовна, д-р физ.-мат. наук, профессор, зав. кафедрой «Высшая и прикладная математика» Уральского государственного университета путей сообщения; Екатеринбург, Россия. E-mail: Gtimofeeva@usurt.ru.

Бондарчук Дмитрий Вадимович, ассистент; кафедра «Высшая и прикладная математика» Уральского государственного университета путей сообщения; Екатеринбург, Россия. E-mail: DVBondarchuk@gmail.com.

Galina Adolfova Timofeyeva, DSc in Physics & Mathematics, Professor; Head of "Higher and Applied Mathematics Department, Ural State University of Railway Transport; Ekaterinburg, Russia. E-mail: Gtimofeeva@usurt.ru.

Dmitry Vladimirovich Bondarchuk, PhD Student; Higher and Applied Mathematics Department, Ural State University of Railway Transport; Ekaterinburg, Russia. E-mail: DVBondarchuk@gmail.com.

Введение

Многие системы интеллектуального анализа данных направлены на разработку алгоритмов, выдающих по пользовательскому запросу упорядоченный список фиксированной длины с наиболее подходящими откликами из базы данных.

Алгоритм подбора вакансий, предложенный в статье [1], основан на учете разбиения терминов на категории, представлении всех документов пользователей через категориальные векторы и отборе наиболее подходящих документов из базы на основе косинусной меры близости. Под категорией здесь и далее понимается некое именованное множество текстов, объединенных по определенному признаку.

Векторные модели документов и категорий

На первом этапе анализа данных все анализируемые единицы (текстовые документы) будем представлять в виде векторов, размерность которых равна количеству термов в корпусе. Векторная модель i -го документа имеет вид [1, 3]

$$\vec{x}_i = \{w_{i,1}, w_{i,2}, \dots, w_{i,n}\} \in R^n. \quad (1)$$

Здесь $w_{i,j}$ – вес j -го терма в i -м документе, где n – количество термов; через R^n обозначено векторное пространство размерности n . В качестве веса терма в формуле (1) может использоваться относительная частота его появления в документе

$$w_{i,j} = \frac{tf_{i,j}}{\sum_j tf_{i,j}}, \quad (2)$$

где $tf_{i,j}$ – количество раз, с которым j -ый терм встречается в i -м документе. В алгоритме также использовались другие аналогичные показатели веса терма, например, мера TF-IDF [4]:

$$\begin{aligned} \tilde{w}_{i,j} &= TF - IDF(i, j) = \\ &= \log(tf_{i,j} + 1) \cdot \log\left(1 + \frac{|D|}{df_j}\right), \end{aligned}$$

где df_j – количество документов, в которых встречается j -ый терм; $|D_c|$ – общее количество документов.

Все тексты обучающей выборки разбиваются экспертом на категории $\{c_1, c_2, \dots, c_k\}$. Общее число категорий k невелико, в алгоритме выбора вакансий $k \leq 30$, в то время как общее число термов более 10^4 , а после выделения семантического ядра – около 10^3 [1].

Для получения вектора категории $\vec{c}_i \in R^n$ необходимо проанализировать все тексты, которые в нее входят, и построить для каждого из них векторную модель по формулам (1)–(2). Когда векторные модели текстов, входящих в определенную категорию, построены, можно вычислить векторную модель данной категории.

Определение 1. Векторной моделью категории (набора текстов) будем называть средний вектор между векторами ее текстов, то есть вектор, состоящий из средних арифметических соответствующих компонент векторов текстов.

Векторная модель категории c рассчитывается по формуле [1]:

$$\vec{c} = \left\{ \frac{\sum_{d_i \in D_c} w_{i,1}}{|D_c|}, \frac{\sum_{d_i \in D_c} w_{i,2}}{|D_c|}, \dots, \frac{\sum_{d_i \in D_c} w_{i,n}}{|D_c|} \right\}, \quad (3)$$

где D_c – множество документов, содержащихся в категории c ; $|D_c|$ – количество документов, содержащихся в категории; $w_{i,j}$ – вес j -го терма в i -м документе; d_i – i -ый документ из категории c .

На первом этапе находим векторные модели $\vec{c}_1, \vec{c}_2, \dots, \vec{c}_k$ по формуле (3) для всех категорий c_1, c_2, \dots, c_k .

Если категории выбраны правильно, то категориальные вектора будут линейно независимы. Это свойство проверяем для полученных векторов категорий; при наличии линейно зависимых векторов категорий лишние категории удаляются.

Построение категориальных векторов

На следующем этапе строим категориальные векторы документов, которые состоят из коэффициентов

принадлежности z_{il} текста d_i каждой из категорий; номер категории соответствует компоненте категориального вектора.

Определение 2. Коэффициентом принадлежности i -го документа j -й категории будем называть скалярное произведение $z_{ij} = (\bar{x}_i, \bar{c}_j)$, где $\bar{c}_j \in R^n$ – вектор j -й категории, рассчитанный по формуле (3), $\bar{x}_i \in R^n$ – вектор i -го документа.

Отметим, что коэффициенты принадлежности не являются координатами разложения векторов из исходного векторного пространства R^n по базису $\bar{c}_1, \bar{c}_1, \dots, \bar{c}_k$, так как категориальные вектора, вообще говоря, не ортогональны.

Будем обозначать категориальный вектор документа d_i через Z_i , размерность вектора равна количеству категорий k :

$$\begin{aligned} \bar{Z}_i &= \{z_{i1}, \dots, z_{ik}\} = \\ &= \{(\bar{x}_i, \bar{c}_1), (\bar{x}_i, \bar{c}_2), \dots, (\bar{x}_i, \bar{c}_k)\} \in R^k. \end{aligned} \quad (4)$$

Утверждение 1. Пусть векторы категорий $\bar{c}_1, \bar{c}_1, \dots, \bar{c}_k$, $\bar{c}_j \in R^n$ линейно независимы, тогда категориальные вектора Z_1 и Z_2 документов d_1 и d_2 совпадают тогда и только тогда, когда совпадают проекции векторов x_1 и x_2 этих документов на подпространство, натянутое на категориальные вектора.

В силу линейной независимости векторов категорий коэффициенты принадлежности $\{z_{i1}, \dots, z_{ik}\}$ взаимно однозначно определяют координаты разложения произвольного вектора $\bar{x}_i \in R^n$ по базису $\bar{c}_1, \bar{c}_1, \dots, \bar{c}_k$.

На этом этапе мы строим категориальные векторы для всех анализируемых текстов и тексты пользователей.

Обозначим через C матрицу размера $n \times k$, столбцами которой являются вектора категорий $\bar{c}_1, \bar{c}_1, \dots, \bar{c}_k$ в пространстве R^n . Так как векторы линейно независимы, то $\text{rank}(C) = k$.

Матрица C^T задает оператор перехода из исходного векторного пространства R^n , где n – число термов, в новое векторное пространство R^k , где

k – число категорий. Отметим, что количество категорий значительно меньше числа термов.

Таким образом, категориальный вектор документа d находится по формуле

$$\bar{Z}_d = C^T \bar{x}_d,$$

где $\bar{x}_d \in R^n$ – векторная модель документа, найденная по формулам (1)–(2).

Выбор ближайшего элемента

Определение 3. Коэффициентом близости γ_{ij} между двумя категориальными векторами $\bar{Z}_i, \bar{Z}_j \in R^k$ будем называть значение косинуса угла между этими векторами, т.е.

$$\gamma_{ij} = \frac{(\bar{Z}_i, \bar{Z}_j)}{\|\bar{Z}_i\| \|\bar{Z}_j\|}, \quad (5)$$

где $\|\bar{Z}_i\|$ – евклидова норма вектора \bar{Z}_i ,

$$\|\bar{Z}_i\| = \sqrt{z_{i,1}^2 + \dots + z_{i,k}^2}.$$

Отметим, что коэффициенты близости γ_{ij} обладают в силу формулы (5) следующими свойствами:

$$-1 \leq \gamma_{ij} \leq 1;$$

при $\gamma_{ij} = 1$ вектора \bar{Z}_i, \bar{Z}_j сонаправлены, т.е. $\bar{Z}_j = \lambda \bar{Z}_i$, где $\lambda > 0$.

Утверждение 2. Если проекции векторных моделей двух документов $\bar{x}_i \in R^n$ и $\bar{x}_j \in R^n$ на подпространство категориальных векторов сонаправлены, то эти документы имеют максимальное значение коэффициента близости $\gamma_{ij} = 1$.

Мера близости, определяемая соотношением (5), называется косинусной мерой; она минимизирует расстояние между векторами единичной длины [5], то есть верно следующее, легко проверяемое, утверждение.

Утверждение 3. Пусть векторы $\{\bar{Z}_i\}, i = 0, \dots, n$ имеют единичную длину, тогда оптимальное решение задачи

$$\min_{i=1, \dots, n} \|\bar{Z}_i - \bar{Z}_0\|^2$$

достигается на векторе \bar{Z}_j , удовлетворяющему условию максимума

$$(\bar{Z}_j, \bar{Z}_0) = \max_i (\bar{Z}_i, \bar{Z}_0).$$

Таким образом, среди векторов единичной длины минимум расстояния достигается на том же элементе, что и максимум скалярного произведения.

Отметим, что для векторов единичной длины коэффициент близости, рассчитываемый по формуле (5), совпадает со скалярным произведением.

Так как мы используем векторную модель документов, которая не учитывает связи, основанные на порядке слов, а только отражает частоты встречаемости слов (термов) в документах, то два документа описываются одной и той же случайной величиной, если частоты совпадают. При анализе семантической близости документов при использовании векторной модели документов, отражающей частоту встречаемости термов, важным является только соотношение между встречаемостью различных терминов, т.е. направление вектора документа. Поэтому в качестве меры близости используется не расстояние между категориальными векторами, а косинусная мера, отражающая близость направлений векторов.

Теорема. *Максимум коэффициентов близости γ_i между вектором \bar{Z}_0 и набором ненулевых векторов $\{\bar{Z}_i\}$, $i = 0, \dots, n$*

$$\max_i \frac{(\bar{Z}_i, \bar{Z}_0)}{\|\bar{Z}_i\| \|\bar{Z}_0\|} \quad (6)$$

достигается на векторе \bar{Z}_j , который является решением задачи нахождения минимума

$$\min_{i=1, \dots, n} \left(\min_{\lambda} \|\bar{Z}_0 - \lambda \bar{Z}_i\|^2 \right). \quad (7)$$

Доказательство.

Найдем минимум в задаче (7) по параметру λ . Запишем

$$\min_{\lambda} \|\bar{Z}_0 - \lambda \bar{Z}\|^2 = \min_{\lambda} (\bar{Z}_0^2 - 2\lambda \bar{Z}^T \bar{Z}_0 + \lambda^2 \bar{Z}^2).$$

Минимум достигается при

$$\lambda = (\bar{Z}^2)^{-1} (\bar{Z}^T \bar{Z}_0) \text{ и равен}$$

$$\min_{\lambda} \|\bar{Z}_0 - \lambda \bar{Z}\|^2 = \bar{Z}_0^2 - \left(\frac{\bar{Z}^T \bar{Z}_0}{\bar{Z}^2} \right)^2.$$

Следовательно, вектор \bar{Z}_j , дающий минимальное значение в задаче (7), одновременно доставляет максимум коэффициента близости (6).

Опыт анализа баз данных вакансий показывает, что близость к единице коэффициента γ_{ij} отражает соответствие j -го элемента базы i -му пользовательскому запросу.

Применение категориальных векторов

Системы подбора персональных рекомендаций необходимы для того, чтобы пользователь на свой запрос получил выдачу, соответствующую его запросу и отсортированную по степени соответствия запросу. В большинстве случаев системы подбора персональных рекомендаций используют для формирования выдачи информации, которую пользователь сообщил о себе, например, описание его интересов, резюме и прочее.

Выбор подходящих объявлений из базы состоит из следующих этапов [1].

Обработка обучающей выборки текстов с использованием стеммера и определение частот вхождений термов в документы на основе расстояния Хемминга. Уменьшение количества термов с использованием матрицы корреспонденций термов. Этот этап подробно описан в статье [2].

Построение векторной модели для документов обучающей выборки по формулам (1)–(2).

Выбор категорий экспертом и построение векторных моделей категорий по формуле (3).

Вычисление категориальных векторов документов базы данных вакансий

и пользовательского запроса $\vec{Z}_{польз}$ по формуле (4).

Вычисление коэффициентов близости $\gamma_{польз.,j}$ между пользовательским запросом и всеми векторами \vec{Z}_j из базы по формуле (5).

Полученные значения $\gamma_{польз.,j}$ сортируются по убыванию. Из отсортированной выборки извлекается q первых элементов, где q – заданное количество выдаваемых каждому пользователю рекомендаций.

Предложенный метод позволяет получить выборку, отсортированную по степени «полезности» конечному пользователю. Такой способ хорош в первую очередь тем, что даже в случае, когда данные распределены между категориями неравномерно, пользователь получит непустой результат. Кроме того, алгоритм обеспечивает высокую скорость получения результата за счет экономного представления текстовых документов через категориальные вектора. ■

Литература

1. Бондарчук Д. В. Интеллектуальный метод подбора персональных рекомендаций, гарантирующий получение непустого результата // Информационные технологии моделирования и управления. 2015. № 2 (92). С. 130–138. ISSN 1813-9744.
2. Бондарчук Д. В., Тимофеева Г. А. Выделение семантического ядра на основе матрицы корреспонденций термов // Системы управления и информационные технологии. 2015. № 3.1 (61). С. 134–139. ISSN 1729-5068.
3. Salton G., Wong A., Yang C.-S. A vector space model for automatic indexing // Communications of the ACM. 1975. 18 (11). P. 613–620.
4. Джарратано Дж., Райли Г. Представление знаний. Экспертные системы: принципы разработки и программирование. 4-е изд. / Пер. с англ. – М. : Вильямс, 2007. 1152 с. ISBN 978-5-8459-1156-8.
5. Маннинг К., Рагхаван П., Шютце Х. Введение в информационный поиск. М. : Вильямс, 2014. 528 с. ISBN 978-5-8459-1623-5.

References

1. Bondarchuk D.V. Intellektualnyy metod podbora personalnykh rekomendatsiy, garantiruyuschiy poluchenie nepustogo rezultata [Smart method to select personal recommendations that guarantees non-empty result] // Informatsionnye tekhnologii modelirovaniya i upravleniya. 2015. № 2 (92). S. 130–138. ISSN 1813-9744.
2. Bondarchuk D.V., Timofeyeva G.A. Vydelenie semanticheskogo yadra na osnove matritsy korrespondentsiy termov [Isolation of a semantic kernel based on term correspondences matrix] // Sistemy upravleniya i informatsionnye tekhnologii. 2015. № 3.1 (61). S. 134–139. ISSN 1729-5068.
3. Salton G., Wong A., Yang C.-S. A vector space model for automatic indexing // Communications of the ACM. 1975. 18 (11). P. 613–620.
4. Garratano Dzh., Rayli G. Predstavlenie znaniy. Ekspertnye sistemy: printsipy razrabotki i programmirovaniye. 4-e izd. [Knowledge representation. Expert systems: design principles and programming. 4th ed.] / Translation from English – M. : Vilyams, 2007. 1152 s. ISBN 978-5-8459-1156-8.
5. Manning K., Ragkhavan P., Schuetze Kh. Vvedenie v informatsionnyy poisk. [Introduction to information search.] M. : Vilyams, 2014. 528 s. ISBN 978-5-8459-1623-5.

Статья сдана в редакцию 11 ноября 2015 года

*А.В. Мартыненко***Взаимосвязь функциональных классов автомобильных дорог с показателем центральности (на примере автодорожной сети Свердловской области)***A.V. Martynenko***Relationship between functional classes of motor roads with centrality factor (by the example of road network of Sverdlovsk oblast)****Аннотация**

Хорошо известно, что многие особенности развития и функционирования транспортных сетей существенно зависят от их топологических свойств. Такие свойства, как правило, связаны с различными числовыми характеристиками, которые используются в теории графов. Одной из таких характеристик является показатель центральности вершины (ребра). Величина этого показателя характеризует то, насколько значимое, центральное место в графе занимает данная вершина (ребро).

Функциональная классификация автодорог базируется на двух основных функциях автомобильной дороги – функции обеспечения транспортного движения, или мобильности, и функции доступа к начальным и конечным точкам движения. Использование рациональной функциональной классификации при проектировании и эксплуатации автодорожной сети приводит к снижению стоимости обслуживания автомобильных дорог и снижению количества ДТП.

В статье изучается зависимость между функциональными классами автодорог и статистическими распределениями показателя центральности. Для сети автомобильных дорог Свердловской области вычислены показатели центральности всех автодорог и построены их статистические распределения для каждого из функциональных классов. Установлено, что основные характеристики статистических распределений показателя центральности монотонно зависят от иерархических уровней функциональных классов.

Ключевые слова: показатель центральности, функциональный класс автомобильных дорог, транспортная сеть, геоинформационные технологии.

DOI:10.20291/2079-0392-2015-4-9-16

Abstract

It is well known that many specific features of the development and operation of transport networks depend to a great extent on their topological properties. Such properties are usually associated with various numerical characteristics used in graph theory. One such characteristic is the centrality index of a vertex (rib). The value of this parameter characterizes the significance and centrality of a given vertex (edge).

Functional classification of roads is based on two main features of the road – suitability for traffic or mobility and access to starting and end points of the route. Using rational functional classification in the design and operation of the road network reduces the cost of maintenance of roads and brings down the number of traffic accidents.

This article examines the relationship between the functional classes of roads and statistical distributions of centrality index. Centrality indexes have been calculated for all the roads of Sverdlovsk Oblast road network, and their statistical distributions have been created for each of the functional classes. It is found that the main features of the central factor statistical distributions monotonically depend on the hierarchical levels of functional classes.

Keywords: centrality index, functional class of roads, transportation network, geoinformation technology.

DOI:10.20291/2079-0392-2015-4-9-16

Александр Валерьевич Мартыненко, канд. физ.-мат. наук, доцент; кафедра «Высшая и прикладная математика» Уральского государственного университета путей сообщения; Екатеринбург, Россия. E-mail: AMartynenko@usurt.ru.

Aleksandr Valeryevich Martynenko, PhD in Physics and Mathematics, Associate Professor; Higher and Applied Mathematics Department, Ural State University of Railway Transport; Ekaterinburg, Russia. E-mail: AMartynenko@usurt.ru.

Рост населения, развитие экономики и масштабная автомобилизация Западной Европы и Северной Америки во второй половине прошлого века привели к качественным изменениям в вопросах планирования и развития дорожной сети. Одним из ключевых изменений было широкое использование функциональной иерархической классификации автодорог. Классы определяются исходя из функций, выполняемых автодорогами.

Функциональная классификация крайне важна при проектировании и эксплуатации автодорожной сети. В ряде исследований показано, что применение рациональной функциональной классификации снижает стоимость обслуживания автодорог и уменьшает количество ДТП (см. [1, 2], а также цитированную там литературу).

Согласно проекту «Свод правил по проектированию геометрических элементов автомобильных дорог» [3], функциональная классификация базируется на двух основных функциях автомобильной дороги: а) обеспечение транспортного движения, или мобильности и б) доступ к начальным и конечным точкам движения. Задача функциональной классификации транспортных сетей заключается в определении категории путей сообщения для планирования, разработки и эксплуатации инфраструктуры транспортной сети. Для внегородских автомобильных дорог используют следующие функциональные классы автодорог: магистральные, распределительные, местные и дороги с низкой интенсивностью движения [3].

Принадлежность дороги к тому или иному функциональному классу определяется ее функциями, а также рядом показателей: проектная скорость, интенсивность движения, количество проезжих частей и т.д. [3]. Поскольку естественной математической моделью дорожной сети является граф и многие аспекты функционирования сети продиктованы его топологическими свойствами, то возникает естественный вопрос: существует ли взаимосвязь между

свойствами графа и иерархией функциональных классов?

Одним из основных претендентов на роль характеристики, связанной с функциональной классификацией, является так называемый показатель центральности (англ. *betweenness centrality*), который был впервые использован в 1977 г. в работе [4] для анализа графа, моделирующего социальные взаимоотношения. Для вершины графа показатель центральности определяется следующим образом [5]:

$$BC(v) = \sum_{s \neq t} \frac{\sigma_{st}(v)}{\sigma_{st}}, \quad (1)$$

где $BC(v)$ – показатель центральности вершины v ; σ_{st} – количество кратчайших путей в графе из вершины s в вершину t ; $\sigma_{st}(v)$ – количество кратчайших путей в графе из вершины s в вершину t , которые проходят через вершину v . Здесь суммирование ведется по всем парам различных вершин s и t . Под кратчайшим путем понимается путь, содержащий наименьшее количество ребер (кратчайший в смысле топологического расстояния).

Для ребра графа определение выглядит аналогично:

$$BC(e) = \sum_{s \neq t} \frac{\sigma_{st}(e)}{\sigma_{st}}. \quad (2)$$

Однако в этом случае $\sigma_{st}(e)$ – количество кратчайших путей в графе из вершины s в вершину t , которые проходят через ребро e .

Показатель центральности (2) задает иерархию вершин (ребер). Он имеет большие значения для тех вершин (ребер), через которые проходит много кратчайших путей. То есть чем больше центральность вершины (ребра), тем большим будет значение BC .

Показатель центральности (2) активно используется для исследования самых различных сетей [5]. В частности, немало работ посвящено использованию этого показателя для анализа автодорожной сети. Например, в [6] изучалась взаимосвязь между интенсивностью движения и показателем

центральности для внутригородской дорожной сети. В работах [7, 8] исследовалась сеть автомобильных дорог Израиля с помощью некоторой модификации показателя центральности (2). А в работе [9] на примере выборки из 18 городов авторы попытались выявить взаимосвязи между особенностями развития города и значениями различных топологических характеристик городской дорожной сети (среди этих характеристик был и показатель центральности).

Модифицированный показатель центральности

В настоящей работе при моделировании транспортной сети будем учитывать протяженность автомобильных дорог и людность населенных пунктов. То есть моделью сети автомобильных дорог будет служить граф, ребра и вершины которого снабжены весами. В качестве веса $l(e)$ ребра e мы будем брать длину соответствующего участка дороги, а в качестве веса $N(v)$ вершины v – численность населения соответствующего населенного пункта либо ноль, если v населенным пунктом не является. Кратчайший путь между двумя вершинами в таком графе – это путь, для которого сумма весов всех ребер, из которых он состоит, является наименьшей. При таком определении практически любая пара вершин в реальной транспортной сети будет иметь единственный кратчайший путь, значит, дробь $\frac{\sigma_{st}(e)}{\sigma_{st}}$ бу-

дет равна либо 1, либо 0. Далее, если кратчайший путь между вершинами s и t содержит ребро e , то разумно требовать, чтобы вклад этого пути в показатель центральности для e был равен объему корреспонденции $K(s,t)$ между вершинами s и t . Поэтому естественной модификацией величины $BC(e)$ для весового графа будет величина

$$BC(e) = \sum_{s,t} \sigma_{st}(e) K(s,t),$$

где $\sigma_{st}(e) = 1$, если кратчайший путь из s в t содержит ребро e и $\sigma_{st}(e) = 0$ в противоположном случае (здесь $\sigma_{ss}(e) = 0$ для

любой вершины s и любого ребра e). С точки зрения интерпретации удобно рассматривать относительную величину, поэтому показатель центральности ребра e для весового графа мы определяем следующим образом:

$$WBC(e) = \frac{\sum_{s,t} \sigma_{st}(e) K(s,t)}{\sum_{s,t} K(s,t)}. \quad (3)$$

Данный показатель имеет очень простую интерпретацию. Поскольку $\sum_{s,t} K(s,t)$ представляет собой суммарный объем всех корреспонденций в данной сети, то $WBC(e)$ показывает долю корреспонденций, для осуществления которых необходимо использовать ребро e . Отметим также, что показатель центральности (3) близок к модификации, предложенной в [7, 8].

Для расчета корреспонденций $K(s,t)$ существует много различных методов и моделей (см., напр., [10]). В данной работе мы используем одну из самых простых конструкций. Предположим, что объем корреспонденции между вершинами s и t пропорционален весам $N(s)$ и $N(t)$, т.е.

$$K(s,t) = \gamma N(s)N(t). \quad (4)$$

Подставляя (4) в (3) и выполняя элементарные преобразования, получаем:

$$WBC(e) = \frac{\sum_{s,t} \sigma_{st}(e) N(s)N(t)}{\left(\sum_s N(s)\right)^2}. \quad (5)$$

Исходные данные

В данной работе используем классификацию, которая реализована в международном некоммерческом картографическом проекте OpenStreetMap [11]. Классификация автодорог, используемая в этом проекте, базируется на принципах [12], которые весьма близки к [3]. В частности, приведенным выше функциональным классам из [3] соответствуют классы «trunk», «primary», «secondary» и «tertiary» из [11]. Чтобы

не быть привязанными к терминологии проекта OpenStreetMap и подчеркнуть иерархический характер данной классификации, далее будем называть их просто уровнями. То есть дороги класса «trunk» – это дороги уровня 1, класса «primary» – уровня 2 и т.д. Разбиение автодорог Свердловской области по иерархическим уровням представлено на рис. 1 (построено на основе данных из [13]).

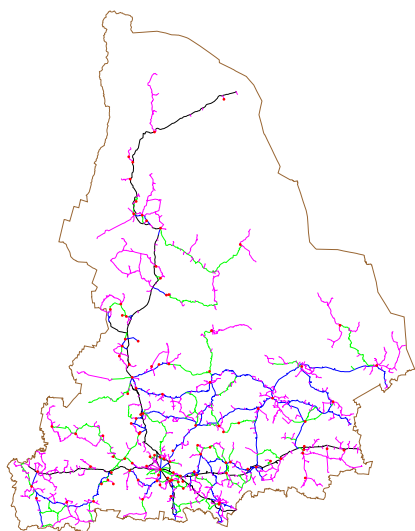


Рис. 1. Функциональные классы (уровни) автомобильных дорог Свердловской области (черный – дороги уровня 1, синий – дороги уровня 2, зеленый – дороги уровня 3, фиолетовый – дороги уровня 4)

В качестве источника информации о численности населения использована информация из [14], содержащая данные о населенных пунктах, в которых проживает более 3 тыс. чел. Таких населенных пунктов в Свердловской области 110. В них проживает 3801559 чел. (88,5 % населения области). Для расчета показателей центральности были использованы только эти данные, поскольку сколько-нибудь систематизированная информация по остальным населенным пунктам отсутствует. Все вычисления, анализ и визуализация результатов производились в программе Wolfram Mathematica 10.1.

Расчет показателя центральности и анализ результатов

На предварительном этапе выполнены некоторые упрощения исходной транспортной сети, например, узлы сети, находящиеся на расстоянии не более чем 3,5 км друг от друга, были «склеены» между собой. Отметим, что подобные упрощения необходимы, поскольку при исследовании транспортной сети в масштабах области подробная детализация излишня и затрудняет проведение анализа и интерпретацию результатов.

Сеть, представленная на рис. 1, получена в результате упрощений; она состоит из 1616 ребер с совокупной длиной 11726 км и 1405 вершин, из которых 110 вершин являются населенными пунктами (еще раз отметим, что населенных пунктов гораздо больше, однако из-за малости их населения мы эти пункты принимаем за вершины с весом $N(v) = 0$).

На следующем этапе найдены кратчайшие пути для каждой пары из 110 населенных пунктов. Совокупность всех таких путей представляет собой своего рода каркас транспортной системы региона (рис. 2), потому что его ребра

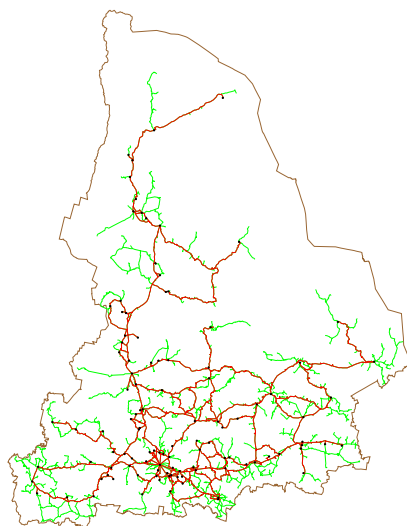


Рис. 2. «Каркас» автодорожной сети Свердловской области (красным выделены кратчайшие пути между всеми населенными пунктами с населением более 3000 чел.)

обеспечивают транспортную связность почти для 90 % населения Свердловской области.

Выделенный «каркас» состоит из 674 ребер общей протяженностью 5455 км и 598 вершин. Для каждого ребра «каркаса» вычислен показатель центральности по формуле (5). Полученные показатели варьируются в достаточно широких пределах: от 0,008 до 17,058 %. Статистическое распределение показателя центральности представлено на рис. 3.

Пространственное распределение показателя центральности продемонстрировано на рис. 4. Оно, в частности,

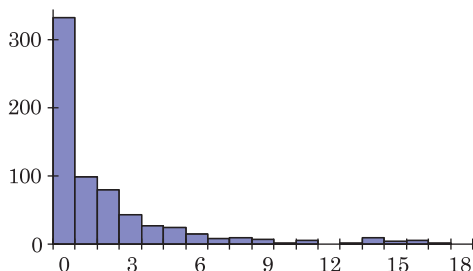


Рис. 3. Гистограмма частот показателя центральности

хорошо выявляет осевую структуру сети автодорог с осью Каменск-Уральский – Екатеринбург – Нижний Тагил – Серов.

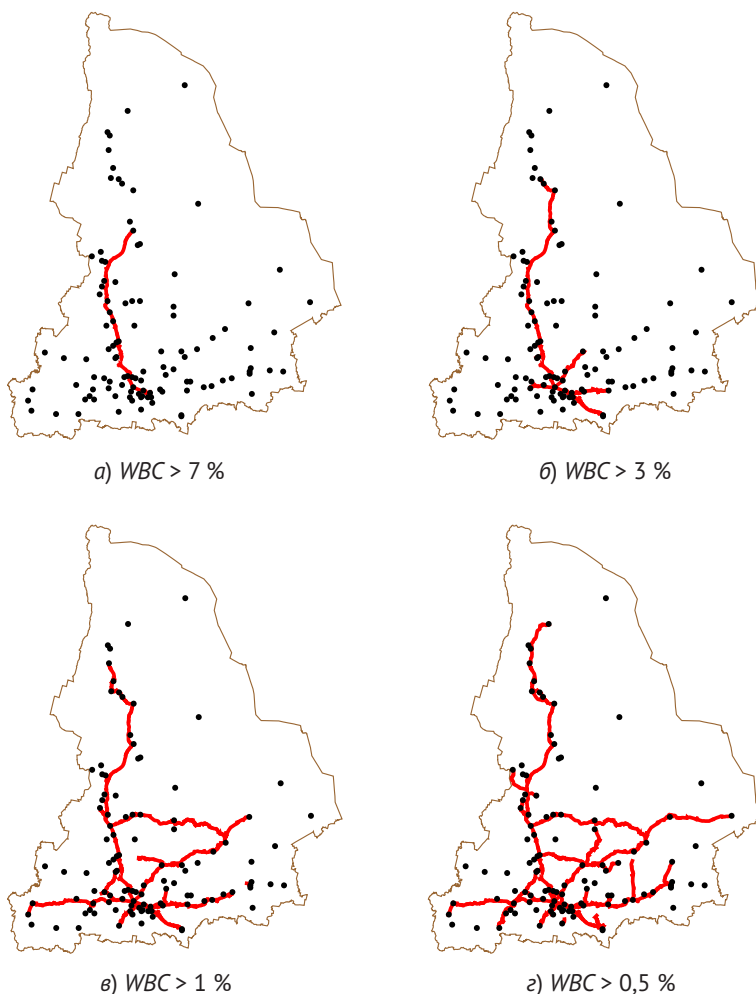


Рис. 4. Пространственное распределение показателя центральности. Показаны участки сети автодорог, для которых показатель центральности больше, %:
а – 7; б – 3; в – 1; г – 0,5

Таблица 1

Характеристики показателя центральности для разных функциональных уровней, %

Функциональный уровень	Значение, max	Значение, min	Значение, среднее	Весовое среднее значение	СКО	Весовое СКО
1	17,41	$8,5 \times 10^{-4}$	4,79	4,40	5,41	5,21
2	6,55	0,0011	0,99	1,05	1,09	1,10
3	2,64	$9,2 \times 10^{-4}$	0,38	0,36	0,62	0,58
4	1,96	$2,6 \times 10^{-4}$	0,39	0,34	0,53	0,49

Связь между показателем центральности и функциональной классификацией хорошо видна из таблицы 1, в которой представлены основные числовые характеристики статистического распределения показателя центральности для каждого функционального уровня. В таблице, наряду с характеристиками, которые рассчитаны по количеству наблюдаемых показателей центральности, приводятся их весовые аналоги. В качестве веса для каждого показателя центральности использована длина соответствующего ребра.

Из анализа таблицы 1 можно сделать вывод: чем выше иерархический уровень, тем больше показатель центральности (это верно для всех приведенных в таблице 1 показателей, кроме, естественно, минимального значения). Отметим, что для максимального и среднего значений этот результат ожидаем; что же касается СКО, то для него такой результат тоже вполне объясним.

Как видно из рис. 1 и 4, большое значение СКО для уровня 1 объясняется тем, что наряду с дорогами с высоким показателем центральности, которые находятся в центральной части региона, этот уровень содержит достаточное количество дорог со средними и низким показателями центральности (такие дороги расположены ближе к границе региона). Таким образом, показатель центральности для уровня 1 имеет сильный разброс значений. Что касается самого низкого – уровня 4, то у него все дороги имеют маленький показатель центральности, поэтому и разброс значений мал.

Выводы, сделанные на основании таблицы 1, дополним анализом эмпирических функций распределения показателя центральности, представленных на рис. 5 (распределение построено по количеству наблюдений).

Из рис. 5 видно, что кумулятивные кривые упорядочены в соответствии с порядком иерархических уровней: чем

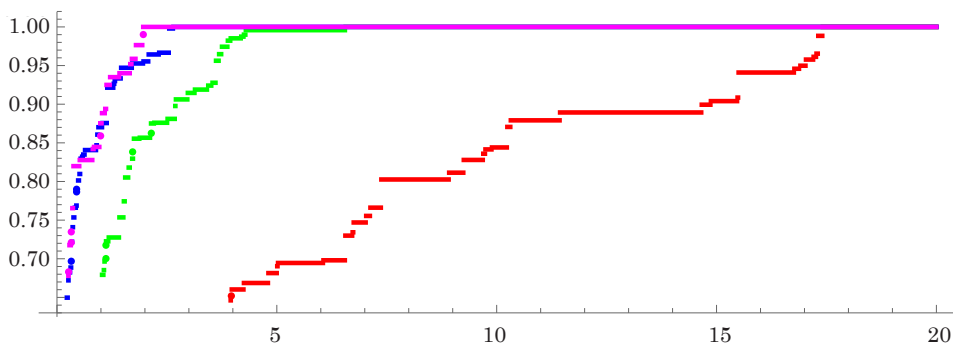


Рис. 5. Эмпирические функции распределения показателя центральности для функциональных уровней сети автодорог (красный – уровень 1, зеленый – уровень 2, синий – уровень 3, фиолетовый – уровень 4)

выше уровень, тем ниже лежит кумулятивная кривая. То есть кумулятивная кривая для уровня 2 лежит выше кумулятивной кривой для уровня 1, а кривые для уровней 3 и 4 лежат выше кривой для уровня 2. Отсюда, в частности, следует, что чем ниже иерархический уровень, тем большая часть относящихся к нему автодорог имеет маленький показатель центральности.

Сделанные наблюдения раскрывают характер взаимосвязи между распределением автодорог по показателю центральности и их функциональными классами. Таким образом, можно сделать вывод, что разбиение на функциональные классы автодорожной сети существенно зависит от ее начертания и распределения населения. ■

Литература

1. Скворцов О. В. О функциональной классификации дорог // Автомобильные дороги. 2015. № 4 (1001). С. 37–48. ISSN 0005-2353.
2. Скворцов О. В. Дорога не туда. Минрегионразвития предлагает утвердить нормы проектирования дорог 1972 года и концепцию проектирования 1936 года! // Архитектура и строительство Омской области. 2012. № 10. С. 64–67.
3. Свод правил по проектированию геометрических элементов автомобильных дорог. Проект. URL: http://rodosnpp.ru/media/rodos/normative_base/nt_proect/1_y_red_/1.pdf (дата обращения: 03.01.2015).
4. Freeman L. C. A set of measures of centrality based on betweenness // *Sociometry*. 1977. № 40 (1). P. 35–41. ISSN 0038-0431.
5. Barthelemy M. Spatial networks // *Physics Reports-review Section of Physics Letters*. 2011. № 1 (499). P. 1–101. ISSN 0370-1573.
6. Kazerani A., Winter S. Can betweenness centrality explain traffic flow? // *AGILE 2009*. Hannover. Germany. URL: http://www.researchgate.net/publication/228524742_Can_Betweenness_Centrality_Explains_Traffic_Flow (дата обращения: 03.11.2015).
7. Puzis R., Altshuler Y., Elovici Y., Bekhor S., Shiftan Y., Pentland A. Augmented Betweenness Centrality for Mobility Prediction in Transportation Networks // *Finding Patterns of Human Behaviors in Network and Mobility Data (NEMO)*. 2011. URL: https://www.academia.edu/1407365/Augmented_Betweenness_Centrality_for_Mobility_Prediction_in_Transportation_Networks (дата обращения: 03.11.2015).
8. Puzis R., Altshuler Y., Elovici Y., Bekhor S., Shiftan Y., Pentland A. Augmented Betweenness Centrality for Environmentally Aware Traffic Monitoring in Transportation Networks // *Journal of Intelligent Transportation Systems*. 2013. № 17 (1). P.91–105. ISSN 15472450.
9. Crucitti P., Latora V., Porta S. Centrality in networks of urban streets // *Chaos: An Interdisciplinary Journal of Nonlinear Science*. 2006. № 16: 015113. URL: <http://dx.doi.org/10.1063/1.2148388> (дата обращения: 03.11.2015). ISSN 1054-1500.
10. Горев А. Э. Основы теории транспортных систем : учеб. пособие. СПб : СПбГАСУ, 2010. – 214 с. ISBN 978-5-9227-0266-9.
11. URL: <http://wiki.openstreetmap.org> (дата обращения: 03.11.2015).
12. URL: http://wiki.openstreetmap.org/wiki/RU:Highway_classification (дата обращения: 03.11.2015).
13. URL: <http://gis-lab.info/qa/data.html> (дата обращения: 03.11.2015).
14. URL: http://www.gks.ru/perepis2010/perepis_itogi1612.htm (дата обращения: 03.11.2015).

References

1. Skvortsov O. V. O funktsionalnoy klassifikatsii dorog [Functional classification of roads] // *Avtomobilnye dorogi*. 2015. № 4 (1001). S. 37–48. ISSN 0005-2353.
2. Skvortsov O. V. Doroga ne tuda. Minregionrazvitiya predlagaet utverdit normativy proektirovaniya dorog 1972 goda i kontseptsiyu proektirovaniya 1936 goda! [Wrong way. Ministry of Regional Development proposes to approve road design regulations of 1972 and design concept of 1936!] // *Arkhitektura i stroitelstvo Omskoy oblasti*. 2012. № 10. S. 64–67.
3. Svod pravil po proektirovaniyu geometricheskikh elementov avtomobilnykh dorog. [Rulebook on the design of geometric elements of roads. Draft.]Proekt. URL: http://rodosnpp.ru/media/rodos/normative_base/nt_proect/1_y_red_/1.pdf (date accessed: 03.01.2015).

4. Freeman L. C. A set of measures of centrality based on betweenness // *Sociometry*. 1977. № 40 (1). S. 35–41. ISSN 0038-0431.
5. Barthelemy M. Spatial networks // *Physics Reports-review Section of Physics Letters*. 2011. № 1 (499). S. 1–101. ISSN 0370-1573.
6. Kazerani A., Winter S. Can betweenness centrality explain traffic flow? // *AGILE 2009*. Hannover. Germany. URL: http://www.researchgate.net/publication/228524742_Can_Betweenness_Centrality_Explain_Traffic_Flow (date accessed: 03.11.2015).
7. Puzis R., Altshuler Y., Elovici Y., Bekhor S., Shiftan Y., Pentland A. Augmented Betweenness Centrality for Mobility Prediction in Transportation Networks // *Finding Patterns of Human Behaviors in Network and Mobility Data (NEMO)*. 2011. URL: https://www.academia.edu/1407365/Augmented_Betweenness_Centrality_for_Mobility_Prediction_in_Transportation_Networks (date accessed: 03.11.2015).
8. Puzis R., Altshuler Y., Elovici Y., Bekhor S., Shiftan Y., Pentland A. Augmented Betweenness Centrality for Environmentally Aware Traffic Monitoring in Transportation Networks // *Journal of Intelligent Transportation Systems*. 2013. № 17 (1). P.91–105. ISSN 15472450.
9. Crucitti P., Latora V., Porta S. Centrality in networks of urban streets // *Chaos: An Interdisciplinary Journal of Nonlinear Science*. 2006. № 16: 015113. URL: <http://dx.doi.org/10.1063/1.2148388> (date accessed: 03.11.2015). ISSN 1054-1500.
10. Gorev A. E. *Osnovy teorii transportnykh sistem: ucheb. posobie*. [Fundamentals of transport systems theory: a textbook]SPb: SPbGASU, 2010. – 214 s. ISBN 978-5-9227-0266-9.
11. URL: <http://wiki.openstreetmap.org> (date accessed: 03.11.2015).
12. URL: http://wiki.openstreetmap.org/wiki/RU:Highway_classification (date accessed: 03.11.2015).
13. URL: <http://gis-lab.info/qa/data.html> (date accessed: 03.11.2015).
14. URL: http://www.gks.ru/perepis2010/perepis_itogi1612.htm (date accessed: 03.11.2015).

Статья сдана в редакцию 7 ноября 2015 года

Н.В. Казанцева

Математический расчет двойникования в кубических и тетрагональных интерметаллидных системах

N.V. Kazantseva

Mathematical calculation of twinning in cubic and tetragonal intermetallic systems

Аннотация

Легкие, жаростойкие и прочные алюминиды титана являются перспективными материалами для автомобилестроения. Сплавы на основе алюминидов титана успешно применяют в изготовлении турбонагревателей и деталей механизма газораспределения (выпускных и впускных клапанов двигателей внутреннего сгорания). Высокие механические свойства этих материалов зависят от различных структурных элементов, которые могут создаваться при росте кристаллов или во время термомеханических обработок. Двойникование является одним из способов упрочнения сплавов. В интерметаллидных сплавах процесс образования двойников имеет свои особенности: здесь могут формироваться как совершенные, так и псевдодвойники (незеркальные двойники). Появление псевдодвойников может сопровождать фазовые переходы. В работе предложен математический расчет двойникования матричным методом, использующим базисные векторы обратной решетки упорядоченных кубических и тетрагональных кристаллов. Расчет позволяет определить оси зон совершенных двойников в упорядоченных сплавах со сверхструктурами $B2$ и $L1_0$ и провести анализ структуры в случае появления псевдодвойников. Предложенный метод расчета может быть использован для индирования электронно-микроскопических снимков двойниковых структур алюминидов титана TiAl.

Ключевые слова: интерметаллиды, двойникование, обратная матрица, псевдодвойник, алюминиды титана.

DOI:10.20291/2079-0392-2015-4-17-25

Abstract

Lightweight, durable and heat-resistant titanium aluminides are promising materials for the automotive industry. TiAl alloys are successfully used in the manufacture of turbo heaters and valve timing gear components (inlet and exhaust valves of internal combustion engines). Superior mechanical properties of these materials result from the various structural elements that may be created during crystal growth or during thermomechanical treatment. Twinning is one way of hardening the alloys. Twinning process in intermetallic alloys has its own specifics: both ideal and pseudotwins (non-mirror twins) can be formed. Phase transitions may be accompanied by pseudotwins. The paper presents a mathematical calculation of twinning using matrix method that employs basis vectors of ordered reciprocal cubic and tetragonal crystal lattice. The calculation allows determining the axes of ideal twins' zones in ordered alloys with superstructures $B2$ and $L1_0$ and analyze the structure if pseudotwins are generated. The proposed calculation method may be used for indicating electron microscopic images of TiAl twin structure.

Keywords: intermetallic compounds, twinning, inverse matrix, pseudotwins, titanium aluminides.

DOI:10.20291/2079-0392-2015-4-17-25

Наталья Васильевна Казанцева, д-р физ.-мат. наук, профессор; кафедра «Высшая и прикладная математика» Уральского государственного университета путей сообщения; Екатеринбург, Россия. E-mail: kazantseva-11@mail.ru.

Nataliya Vasilyevna Kazantseva, DSc in Physics and Mathematics, Professor; Higher and Applied Mathematics Department, Ural State University of Railway Transport; Ekaterinburg, Russia. E-mail: kazantseva-11@mail.ru.

Алюминиды титана — уникальные материалы, обладающие высоким потенциалом для использования в двигателях высокоскоростных транспортных систем. Высокотемпературные интерметаллидные сплавы на основе алюминидов титана трех поколений ($TiAl$, Ti_3Al , $Ti_2(Al,Nb)$), наряду с низкой плотностью, имеют хорошее соотношение прочность/пластичность, высокие коррозионные свойства, сопротивление усталости. Одним из способов упрочнения этих сплавов является двойникование.

Двойникование всегда вызывает интерес у исследователей, поскольку появление двойников любого типа оказывает существенное влияние на механические свойства сплавов. Обычно под кристаллическими двойниками понимают такие кристаллы, две части которых могут быть переведены одна в другую с помощью элементов симметрии, не присущих данной кристаллической структуре. Такими элементами симметрии являются плоскости зеркального отражения или поворотные оси второго порядка. Также можно классифицировать возможные ориентационные соотношения по положению оси симметрии относительно плоскости сопряжения с низкой энергией, вдоль которой обычно соединяются двойниковые кристаллы. Ось вращения может быть перпендикулярна этой плоскости контакта (двойники с нормальной осью вращения) или параллельна плоскости контакта (двойники с параллельной осью вращения). Если атомная структура обладает центральной симметрией, то нормальный двойник вращения эквивалентен отражению относительно плоскости сопряжения, которая в этом случае является плоскостью двойникования. Такие двойники называются двойниками отражения (двойники с нормальной осью вращения) и двойниками вращения (эквивалентными двойникам отражения в плоскости, нормальной к плоскости сопряжения). Невозможно получить двойники отражения в кристаллах, для которых

плоскость двойникования является плоскостью симметрии кристаллической структуры, т.к. операция двойникования в этом случае просто воспроизводит первоначальную ориентацию. Поэтому ось двойникования в двойниках вращения никогда не может быть осью симметрии. Когда два кристалла соединяются в двойниковой ориентации, плоскость двойникования и (или) ось двойникования становятся псевдосимметричными элементами составной структуры. Поэтому кристаллографическое соотношение в двойнике можно описать матрицей поворота R [1]. Двойники подразделяют по способу образования. Известны двойники роста, формирующиеся в процессе роста кристалла, особенно при раннем образовании зародышей в условиях пересыщения раствора или расплава. Частным случаем двойников роста считают двойники превращения, возникающие при некоторых типах фазовых превращений в твердом состоянии, когда одна полиморфная форма переходит в другую без изменения химического состава. При этом могут образовываться простые двойники, состоящие из двух однородных частей, или сложные двойники, если в них присутствует более чем две различные ориентации. Сложные циклические двойники могут возникать в тех случаях, когда два (три) эквивалентных, но различных ряда решетки служат двойниковыми осями [2]. В случае образования двойников превращения, которые возникают при некоторых типах фазовых превращений в твердом состоянии, когда одна полиморфная форма переходит в другую без изменения химического состава, именно за счет двойникования происходит аккомодация напряжений, возникающих при перестройке решеток [3]. Механические двойники появляются в тех случаях, когда кристалл ориентирован по отношению к оси деформации так, что скольжение обычных дислокаций затруднено.

В упорядоченной системе процесс образования двойников имеет свои

особенности, что связано с расщеплением полных дислокаций на сверхчастичные, движение которых может нарушать правильное расположение атомов в упорядоченной структуре. Для получения совершенного двойника в упорядоченных системах могут быть использованы особые плоскости, двойникование по которым может либо включать частичную тасовку атомов, либо не включать. В последнем случае плоскость двойникования называется плоскостью порядка и может являться границей двух антифазных доменов, а образующиеся двойники называются двойниками порядка. В упорядоченной системе также возможно образование псевдодвойников, т.е. незеркальных двойников или двойников, которые могут вообще иметь другую сингонию по сравнению с исходной матрицей. Наиболее известны механические псевдодвойники в упорядоченных сплавах с эффектом памяти формы типа TiNi или NbTi [4]. Образование мелких механических псевдодвойников обнаружено в упорядоченных сплавах в условиях сверхпластичности. В зависимости от энергии образования новой фазы, стадии появления псевдодвойника могут быть различными. Например, в системе Au-Cd двойникование происходит в два этапа: сначала происходит искажение решетки, приводящее к образованию новой, по-другому упорядоченной фазы, затем благодаря диффузионным процессам происходят необходимые перестановки атомов,

перестраивающие исходный кристалл в двойниковую ориентацию [1]. Механизм псевдодвойникования носит более общий характер и может наблюдаться в упорядоченных системах не только в условиях деформации. В гамма-алюминиде титана TiAl (γ) могут образовываться так называемые полисинтетические (PST) ростовые двойники как совершенные (180°), так и псевдо- (60° или 120°) [5]. В сплавах на основе интерметаллида Ti(Al,Nb) (β_0) было обнаружено образование псевдодвойников превращения, имеющих ромбическую сингонию [6].

Скольжение и двойникование в сверхструктурах B2 и L1₀

Двойниковая плоскость всегда совпадает с одной из плоскостей решетки и, следовательно, с потенциально возможной гранью кристалла; однако она никогда не может быть плоскостью симметрии в монокристалле (рис. 1).

Подобным же образом двойниковая ось никогда не бывает истинной осью симметрии соответствующего монокристалла. Склонность кристаллов к двойникованию зависит от размерных характеристик их решеток. При образовании двойников должен выполняться принцип Данкова – Конобеевского: ориентационное и размерное соответствие кристаллических структур. Этот принцип заключается в следующем: «Минимум поверхностной энергии обеспечивается

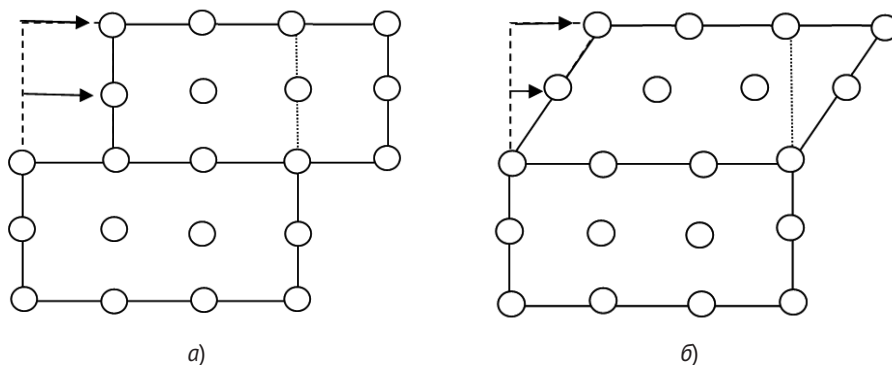


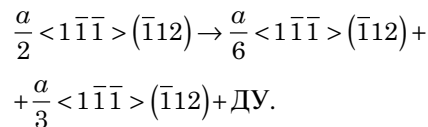
Рис. 1. Схема сдвига (а) и двойникования (б) в кристалле

при максимальном сходстве в расположении атомов на соприкасающихся границах старой и новой фаз» [7]. В результате процесса двойникования должна сформироваться когерентная граница между двойником и матрицей (плоскость двойникования), обладающая минимальной поверхностной энергией. При образовании псевдодвойников именно эта энергия будет определять тип кристаллической решетки формирующегося двойника.

Рассмотрим образование двойников в алюминиде титана TiAl со сверхструктурами $B2$ и $L1_0$ (упорядоченная ОЦК и упорядоченная ГЦТ) (рис. 2).

Кристаллическая решетка сверхструктуры $B2$ (рис. 1, а) представляет собой две примитивные кубические ячейки, занятые атомами разных сортов, сдвинутые друг относительно друга на половину периода. Самая плотно упакованная плоскость, являющаяся плоскостью легкого скольжения в сверхструктуре $B2$, – (110) . Также скольжение дислокаций может происходить по двум другим плотноупакованным плоскостям (112) и (120) . Основными системами скольжения в сверхструктуре $B2$ являются дислокации типа $a\langle 100 \rangle \{010\}$ либо $a\langle 100 \rangle (110)$. При высокотемпературной деформации или при определенной ориентации образца по отношению к оси деформации наблюдают также скольжение дислокаций с векторами Бюргерса $a\langle 110 \rangle$

и $a\langle 111 \rangle$. Дислокации с векторами Бюргерса $a\langle 111 \rangle$, скользящие в плоскостях $\{110\}$, нестабильны и могут расщепляться на две сверхчастичные дислокации $a/2 \langle 111 \rangle (\bar{1}\bar{1}0)$, соединенные антифазной границей (АФГ), или на две дислокации $a\langle 110 \rangle + a\langle 001 \rangle$ [8]. При очень низкой температуре деформации возможно появление дислокаций типа $a/2 \langle 111 \rangle (11\bar{2})$. Скольжение последних сопровождается образованием дефекта упаковки вычитания на плоскостях (112) :



Для ОЦК структуры плоскость (112) является одной из плоскостей скольжения, а также плоскостью когерентного двойника. В полюсном механизме двойникования частичная двойнивающая дислокация, совершая поперечное скольжение, закручивается вокруг винтовой полюсной дислокации, перпендикулярной плоскости двойникования, оставляя в каждой плоскости дефект упаковки вычитания. После нескольких полных оборотов двойнивающей дислокации происходит зеркальный разворот части кристалла [3]. В работе [9] предложено описание процесса образования совершенных двойников в $B2$ сверхструктуре так же, как

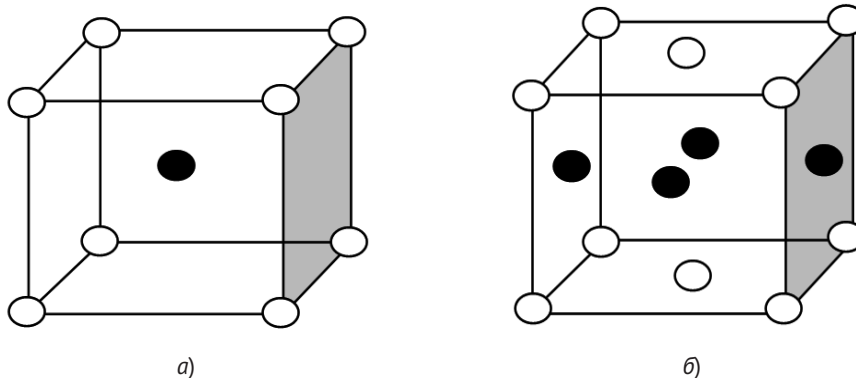


Рис. 2. Кристаллические решетки фаз с $B2$ (а) и $L1_0$ (б) сверхструктурами

и в ОЦК структуре за счет частичных дислокаций типа $\frac{a}{6} \langle 111 \rangle (11\bar{2})$. Однако в работе [10] показано, что в полностью упорядоченной $B2$ сверхрешетке такое движение не приводит к совершенному двойнику. С другой стороны, двойникование по плоскости (112) в полностью упорядоченной $B2$ сверхрешетке не приводит и к формированию псевдодвойника [6]. Например, в никелидах титана с $B2$ сверхрешеткой плоскость двойникования псевдодвойника особая – (114) [4]. А в $MgTi$ и в $Ti(Al,Nb)$, также имеющих сверхрешетку $B2$, псевдодвойникование происходит именно по плоскости (112) [9].

Кристаллическая решетка сверхструктуры $L1_0$ представляет собой тетрагональную решетку со слоистым расположением атомов разного сорта (рис. 1, б). Пластическая деформация в этой сверхструктуре может осуществляться скольжением дислокаций типа $\langle 10\bar{1} \rangle \{111\}$. Однако при температурах, близких к комнатной, все эти дислокации заблокированы из-за сильно развитых ковалентных связей. Механическое двойникование происходит по системам $\{111\} \langle 10\bar{2} \rangle$ [11]. Двойникование является второй модой деформации и происходит за счет скольжения дислокаций Шокли, движение которых формирует комплексный дефект упаковки. В полюсном механизме двойникования предполагается, что частичные дислокации с вектором Бюргерса $a/2[110]$ могут диссоциировать на первичной двойниковой плоскости (111) на частичные дислокации Франка и Шокли с образованием петли дефекта упаковки вычитания:

$$a/2[110] \leftrightarrow a/3[111] + ДУ + a/6[11\bar{2}].$$

Для формирования механического двойника необходимо поперечное скольжение шести частичных двойниующих дислокаций Шокли $1/6 [112]$ по плоскостям (111) [11]. В сверхрешетке $L1_0$ направления $\langle 112 \rangle$ не эквивалентны за счет слоистого расположения

атомов разного сорта, поэтому существует два типа двойниующих дислокаций с векторами Бюргерса $a/6 \langle 11\bar{2} \rangle$ и $a/6 \langle 2\bar{1}1 \rangle$, при этом совершенные двойники формируются только за счет $\{111\}[112]$ -дислокаций, не нарушающих порядок атомов в сверхструктуре $L1_0$ [12]. Вторичное двойникование может проходить по плоскости $(11\bar{1})$ [13]. Ростовые двойники образуются также на плоскостях $\{111\}$ [14].

Матричные уравнения совершенных двойников

Поскольку двойникование можно рассматривать как поворот кристалла на 180° вокруг оси, перпендикулярной плоскости двойникования, то для определения индексов осей зон матрицы и двойника, а также определения положения рефлексов двойника на электронограмме можно также построить матрицы соответствий, позволяющие определить индексы рефлексов двойника в базисе матрицы. Матричные уравнения связывают индексы параллельных плоскостей и направлений в решетках матричного и двойникового кристаллов. Для определения индексов двойника в базисе матрицы можно использовать матричные уравнения: $U_D = A \cdot U_M$, $H_M = A^T \cdot H_D$. Матрица перехода (A) между осями зон матричного кристалла и двойника рассчитывается с помощью сетки Вульфа путем поворота полюсов СП направлений и плоскостей вокруг гномостереографической проекции плоскости двойникования. Это позволяет определить индексы направлений и плоскостей двойника в базисе матричного кристалла. Окончательно матрицу перехода (A) между двойником и матрицей можно рассчитать, учитывая известные параметры решетки кристаллической структуры. Индексы выхода плоскости двойникования на микроэлектронограмме определяют из решения системы уравнений:

$$\begin{cases} ha + kb + lc = 0 \\ ua + vb + wc = 0, \end{cases}$$

Рассчитаем матрицы двойникова-
ния для образования совершенных
двойников в упорядоченных кубиче-
ской $B2$ и тетрагональной $L1_0$ сверх-
структурах.

Полученные матрицы перехода
для двойниковаия по плоскости $(\bar{1}12)$
в $B2$ сверхструктуре следующие:

$$A = \begin{pmatrix} \bar{2} & \bar{1} & \bar{2} \\ \bar{1} & \bar{2} & 2 \\ \bar{2} & 2 & 1 \end{pmatrix}, \quad A^T = \begin{pmatrix} \bar{2} & \bar{1} & \bar{2} \\ \bar{1} & \bar{2} & 2 \\ \bar{2} & 2 & 1 \end{pmatrix}.$$

Рассчитаем модули векторов кри-
сталлической решетки $|g_{hkl}| = \frac{1}{d_{hkl}}$. Для
кубической решетки $\frac{1}{d_{hkl}^2} = \frac{h^2 + k^2 + l^2}{a^2}$,

где a – параметр решетки; $g_{\bar{2}\bar{1}\bar{2}} = \frac{3}{a}$;
 $g_{\bar{1}\bar{2}2} = \frac{3}{a}$; $g_{221} = \frac{3}{a}$. Найдем отношение

модулей базисных векторов обратной ре-
шетки и модулей векторов кубической
решетки. Для этого запишем выраже-
ние для модулей базисных векторов ку-
бической решетки: $a^* = \frac{1}{a}, b^* = \frac{1}{a}, c^* = \frac{1}{a}$.

Отсюда получаем следующие значения:

$$\frac{a^*}{g_{\bar{2}\bar{1}\bar{2}}} = \frac{1}{3}, \quad \frac{b^*}{g_{\bar{1}\bar{2}2}} = \frac{1}{3}, \quad \frac{c^*}{g_{221}} = \frac{1}{3}.$$

Уравнения для индцирования пло-
скостей, направлений и узлов в двойни-
ках $B2$ кристаллов с плоскостью двой-
никоваия $(\bar{1}12)$ выглядят следующим
образом:

$$\begin{pmatrix} u \\ v \\ w \end{pmatrix}_d = \frac{1}{3} \begin{pmatrix} \bar{2} & \bar{1} & \bar{2} \\ \bar{1} & \bar{2} & 2 \\ \bar{2} & 2 & 1 \end{pmatrix} \begin{pmatrix} u \\ v \\ w \end{pmatrix}_M,$$

$$\begin{pmatrix} h \\ k \\ l \end{pmatrix}_M = \frac{1}{3} \begin{pmatrix} \bar{2} & \bar{1} & \bar{2} \\ \bar{1} & \bar{2} & 2 \\ \bar{2} & 2 & 1 \end{pmatrix} \begin{pmatrix} h \\ k \\ l \end{pmatrix}_d.$$

Рассмотрим расчет матриц для од-
ной из возможных плоскостей двой-

никоваия тетрагональной решетки
 $L1_0$ $(\bar{1}11)$, также используя стереогра-
фическую проекцию для кубической
системы с осью зоны $[110]$ (рис. 3).
Выходом плоскости двойниковаия
 $(\bar{1}11)$ будет плоскость $(1\bar{1}2)$ на большом
круге. Для тетрагональной решетки

$$\frac{1}{d_{hkl}^2} = \frac{h^2 + k^2}{a^2} + \frac{l^2}{c^2}, \quad \text{где } a \text{ и } c \text{ – параме-}$$

тры решетки. Зеркальные отражения
для плоскостей $(100), (010), (001)$ отно-
сительно плоскости двойниковаия сле-
дующие: $(1\bar{2}\bar{2}), (\bar{2}\bar{1}2), (\bar{2}2\bar{1})$. Таким обра-
зом, полученные матрицы для инди-
цирования плоскостей, направлений
и узлов в двойниках в $L1_0$ кристаллах
с плоскостью двойниковаия $(\bar{1}11)$ вы-
глядят следующим образом:

$$A = \begin{pmatrix} \bar{1} & \bar{2} & \bar{2} \\ \bar{2} & \bar{1} & 2 \\ \bar{2} & 2 & \bar{1} \end{pmatrix}, \quad A^T = \begin{pmatrix} \bar{1} & \bar{2} & \bar{2} \\ \bar{2} & \bar{1} & 2 \\ \bar{2} & 2 & \bar{1} \end{pmatrix}.$$

Найдем модули векторов тетрагональ-
ной решетки $|g_{hkl}| = \frac{1}{d_{hkl}}, g_{1\bar{1}2} = \sqrt{\frac{5}{a^2} + \frac{4}{c^2}}$;

$$g_{\bar{2}\bar{1}2} = \sqrt{\frac{5}{a^2} + \frac{4}{c^2}}; \quad g_{\bar{2}2\bar{1}} = \sqrt{\frac{8}{a^2} + \frac{1}{c^2}}. \quad \text{Найдем}$$

отношение модулей базисных векторов
обратной решетки и модулей векторов
тетрагональной решетки. Для этого за-
пишем выражение для модулей базис-
ных векторов тетрагональной решетки:

$$a^* = \frac{1}{a}, \quad b^* = \frac{1}{b}, \quad c^* = \frac{1}{c}.$$

Отсюда получаем следующие значе-

$$\text{ния: } \frac{a^*}{g_{1\bar{1}2}} = \frac{c}{\sqrt{5c^2 + 4a}}, \quad \frac{b^*}{g_{\bar{2}\bar{1}2}} = \frac{c}{\sqrt{5c^2 + 4a^2}},$$

$$\frac{c^*}{g_{\bar{2}2\bar{1}}} = \frac{a}{\sqrt{58 + a^2}}. \quad \text{Подставляя значения}$$

модулей базисных векторов, получаем
следующие матричные уравнения для
двойниковаия в сверхструктуре $L1_0$ по
плоскости $(\bar{1}11)$:

$$\begin{pmatrix} u \\ v \\ w \end{pmatrix}_d = \begin{pmatrix} \frac{\bar{c}}{\sqrt{5c^2 + 4a^2}}, & \frac{\bar{2c}}{\sqrt{5c^2 + 4a^2}}, & \frac{\bar{2a}}{\sqrt{58 + a^2}} \\ \frac{\bar{2c}}{\sqrt{5c^2 + 4a^2}}, & \frac{\bar{c}}{\sqrt{5c^2 + 4a^2}}, & \frac{2a}{\sqrt{58 + a^2}} \\ \frac{\bar{2c}}{\sqrt{5c^2 + 4a^2}}, & \frac{\bar{2c}}{\sqrt{5c^2 + 4a^2}}, & \frac{\bar{a}}{\sqrt{58 + a^2}} \end{pmatrix} \begin{pmatrix} u \\ v \\ w \end{pmatrix}_M$$

$$\begin{pmatrix} h \\ k \\ l \end{pmatrix}_M = \begin{pmatrix} \frac{\bar{c}}{\sqrt{5c^2 + 4a^2}}, & \frac{\bar{2c}}{\sqrt{5c^2 + 4a^2}}, & \frac{\bar{2c}}{\sqrt{58 + a^2}} \\ \frac{\bar{2c}}{\sqrt{5c^2 + 4a^2}}, & \frac{\bar{c}}{\sqrt{5c^2 + 4a^2}}, & \frac{\bar{2c}}{\sqrt{58 + a^2}} \\ \frac{\bar{2a}}{\sqrt{5c^2 + 4a^2}}, & \frac{2a}{\sqrt{5c^2 + 4a^2}}, & \frac{\bar{a}}{\sqrt{58 + a^2}} \end{pmatrix} \begin{pmatrix} h \\ k \\ l \end{pmatrix}_d$$

Численные значения в полученных матричных уравнениях можно рассчитать, подставляя параметры фаз для алюминидов титана из литературных данных: для $B2$ (Pm3m, изоморфная CsCl, $a = 0,324$ нм), для $L1_0$ (P4/mmm, изоморф-

ная CuAu, $a = 0,400$ нм, $c = 0,4075$ нм, $c/a = 1,02$) [8].

Поскольку значения плоскости, являющейся выходом плоскости двойникования, могут быть нецелыми, было предложено проводить две прямые: одну – примерный выход плоскости двойникования в решетке матрицы, а вторую – примерный выход плоскости двойникования в решетке двойника. Значение плоскости, являющейся выходом плоскости двойникования, будет лежать между этими двумя прямыми.

Предложенный математический расчет позволяет определить оси зон совершенных двойников в упорядоченных сплавах со сверхструктурами $B2$ и $L1_0$, провести анализ структуры в случае появления псевдодвойников, а также полностью индицировать электронно-микроскопические снимки двойниковых структур алюминидов титана TiAl. ■

Литература

1. Кристиан Дж. Теория превращений в металлах и сплавах. Ч. 1. М.: Мир, 1978. 792 с.
2. Берри Л., Мейсон Б., Дитрих Р. Минералогия: Теоретические основы. Описание минералов. Диагностические таблицы / пер. с англ. – М.: Мир, 1987. 592 с.
3. Шульце Г. Металлофизика. М.: Мир, 1971. 503 с.
4. Пушин В. Г., Кондратьев В. В., Хачин В. Н. Предпереходные явления и мартенситные превращения. Екатеринбург, 1998. 367 с.
5. Maeda T., Hosomi M., Okada M. Microstructure evolution through thermomechanical treatment and its effects on room temperature ductility in TiAl based alloys : Proceedings of Symposium sponsored by the Structural Materials Division (SMD) of TMS (13–16 February 1995) / eds by Young-Won Kim et al. : Warrendale, Pennsylvania, USA. 1995. P. 771–778.
6. Казанцева Н. В., Демаков С. Л., Попов А. А. Микроструктура и пластическая деформация орторомбических алюминидов титана Ti_2AlNb . III Образование двойников превращения при переходе $\beta_0 \rightarrow O // \Phi MM$. 2007. Т. 103. № 4. С. 395–405.
7. Новиков И. И. Теория термической обработки металлов : учебник. М.: Металлургия, 1978. 480 с.
8. Appel F., Paul J.D.H., Oehring M. Gamma Titanium Aluminide Alloys: Science and Technology, Germany: VILEY-VCH Verlag GmbH. ISBN 978-3-527-31525-3.
9. Christian J.W., Laughlin D. E. The deformation twinning of superlattice structures derived from disordered B.C.C. or F.C.C. solid solutions // Acta Met. 1988. Vol. 36. № 7. P. 1617–1642.
10. Paxton A.T. The impossibility of pseudotwinning in B2 alloys // Acta Met. Mater. 1995. Vol. 43. № 5. P. 2133–2136.
11. H. Yoo M. On the dislocation pole mechanism for twinning in TiAl crystals // Philosophical Magazine Letters. 1997. Vol. 76. N 4. P. 259–268.
12. Feng C.R., Michel, D.J. Crowe C.R. Twinning in TiAl // Scripta Metallurgica, 1989. Vol. 23. Iss. 7. P. 1135–1140.
13. Sun Y., Hazzledine P., Christian J. Intersections of deformationtwins in TiAl II. Models and analyses // Philosophical Magazine A. 1993. Vol. 68. № 3. P. 495–516.
14. Zheng J.G., Liu Z.G., Li Q., Zhu J.M., Feng D., Frommeyer G. The structure of translation twins in TiAl investigated by high-resolution electron microscopy // Philosophical Magazine A. 1994. Vol. 70. № 5. P. 917–924.

References

1. Christian J. Teoriya prevrascheniy v metallakh i splavakh. Ch. 1. [The theory of transformations in metals and alloys. Part 1.] M.: Mir, 1978. 792 s.
2. L. Barry, B. Mason, R. Dietrich Mineralogiya: Teoreticheskie osnovy. Opisanie mineralov. Diagnosticheskie tablitsy [Mineralogy: Theoretical Foundations. Description of minerals. Diagnostic tables] / translation from English – M.: Mir. 1987. 592 s.
3. Schulze G. Metallofizika. [Physics of Metals] M.: Mir. 1971. 503 s.
4. Pushin V. G., Kondratev V. V., Khachin V. N. Predperekhodnye yavleniya i martensitnye prevrascheniya. [Precursor phenomena and martensitic transformations.] Ekaterinburg, 1998. 367 s.
5. Maeda T., Hosomi M., Okada M. Microstructure evolution through thermomechanical treatment and its effects on room temperature ductility in TiAl based alloys: Proceedings of Symposium sponsored by the Structural Materials Division (SMD) of TMS (13–16 February 1995) / eds by Young-Won Kim et al.: Warrendale. Pennsylvania. USA. 1995. S. 771–778.
6. Kazantseva N. V., Demakov S. L., Popov A. A. Mikrostruktura i plasticheskaya deformatsiya ortorombicheskikh aluminidov titana Ti₂AlNb. III Obrazovanie dvoynikov prevrascheniya pri perekhode $\beta_0 \rightarrow \alpha$ [Microstructure and plastic deformation of orthorhombic titanium aluminides Ti₂AlNb. III Generation of transformation twins during $\beta_0 \rightarrow \alpha$ transition] // FMM. 2007. T. 103. № 4. S. 395–405.
7. Novikov I. I. Teoriya termicheskoy obrabotki metallov: uchebnik. [Theory of heat treatment of metals: a textbook.] M.: Metallurgiya, 1978. 480 s.
8. Appel F., Paul J. D. H., Oehring M. Gamma Titanium Aluminide Alloys: Science and Technology, Germany: VILEY-VCH Verlag GmbH. ISBN 978-3-527-31525-3.
9. Christian J. W., Laughlin D. E. The deformation twinning of superlattice structures derived from disordered B.C.C. or F.C.C. solid solutions // Acta Met. 1988. Vol. 36. № 7. P. 1617–1642.
10. Paxton A. T. The impossibility of pseudotwinning in B2 alloys // Acta Met. Mater. 1995. Vol. 43. № 5. P. 2133–2136.
11. H. Yoo M. On the dislocation pole mechanism for twinning in TiAl crystals // Philosophical Magazine Letters. 1997. Vol. 76. N 4. P. 259–268.
12. Feng C. R., Michel, D. J. Crowe C. R. Twinning in TiAl // Scripta Metallurgica, 1989. Vol. 23. Iss. 7. P. 1135–1140.
13. Sun Y., Hazzledine P., and Christian J. Intersections of deformationtwins in TiAl II. Models and analyses // Philosophical Magazine A. 1993. Vol. 68. № 3. P. 495–516.
14. Zheng J. G., Liu Z. G., Li Q., Zhu J. M., Feng D., Frommeyer G. The structure of translation twins in TiAl investigated by high-resolution electron microscopy // Philosophical Magazine A. 1994. Vol. 70. № 5. P. 917–924.

Статья сдана в редакцию 20 ноября 2015 года

Механика машин и роботов

УДК 656.21.001.2

Х. Т. Туранов, А. А. Гордиенко

Исследование движения вагона на участке первой тормозной позиции сортировочной горки при воздействии попутного ветра малой величины

UDC 656.21.001.2

Kh. T. Turanov, A. A. Gordienko

The research of the movement of the first portion of the marshalling hump under the influence of a tail wind small size

Аннотация

В статье изложены результаты исследования движения вагона по всей длине участка первой тормозной позиции сортировочной горки при воздействии попутного ветра. Получены аналитические формулы для определения сил, действующих на систему «вагон-путь» при движении вагона по всей длине этого участка. Определено время, в течение которого происходит движение вагона по всей длине рассматриваемого участка горки. Найдена скорость вагона в конце всей длины рассматриваемого участка.

Ключевые слова: сортировочная горка, вагон, попутный ветер, движение вагона по всей длине участка первой горочной тормозной позиции, время и скорость вагона.

DOI:10.20291/2079-0392-2015-4-26-31

Abstract

The article presents the results of a research of the movement of the carriage along the entire length of the first portion of the marshalling hump braking position under the influence of wind. Analytical formulas for determining forces acting on a system of «wagon-road» during the car the entire length of this section. Defines the time during which movement of the carriage along the entire length of the considered section of the slides. Found the speed of the car at the end of the entire length of the considered section.

Key words: marshalling hump, car, tailwind; the movement of the car along the all length of the first hump brake position, time and speed of the car.

DOI:10.20291/2079-0392-2015-4-26-31

Хабидулла Туранович Туранов, д-р техн. наук, профессор; кафедра «Станции, узлы и грузовая работа» Уральского государственного университета путей сообщения; Екатеринбург, Россия. E-mail: khturanov@yandex.ru.

Андрей Александрович Гордиенко, ассистент; кафедра «Станции, узлы и грузовая работа» Уральского государственного университета путей сообщения; Екатеринбург, Россия. E-mail: gordiii89@yandex.ru.

Khabibulla Turanovich Turanov, DSc in Engineering, Professor, Stations, Junctions and Freight Work Department, Ural State University of Railway Transport, Ekaterinburg, Russia. E-mail: khturanov@yandex.ru.

Andrey Aleksandrovich Gordienko, Assistant Lecturer, Stations, Junctions and Freight Work Department, Ural State University of Railway Transport, Ekaterinburg, Russia. E-mail: gordiii89@yandex.ru.

Критический обзор теоретических предпосылок к расчёту и проектированию сортировочных горок выполнен в [1], но авторы не заметили их ошибочность. Новый метод построения математической модели движения вагона на скоростных участках сортировочной горки при воздействии попутного ветра малой величины изложен в [2–4]. На основе построенных математических в [2–4] моделей приведён конкретный пример расчёта времени и скорости движения вагона на скоростных участках горки при воздействии попутного ветра [5]. Математические модели движения вагона по всей длине участка первой горочной тормозной позиции сортировочной горки при воздействии встречного ветра малой величины построены в [6]. Там же особо отмечено, что последовательность построения математической модели движения вагона на участке первой горочной тормозной позиции (1ТП) можно разделить на четыре этапа. На первом следует построить математические модели движения вагона по всей длине участка 1ТП горки без торможения (т. е. «на проход») (общий случай). На втором – построить математические модели движения вагона при входе на рассматриваемый участок без торможения, на третьем – с затормаживанием и на четвёртом – при отключении вагонного замедлителя. Второй

и четвёртый этапы являются частными случаями первого.

Но до сих пор не построены математические модели движения вагона по всей длине участка 1ТП горки без торможения при воздействии попутного ветра малой величины.

По известной величине длины всего участка 1ТП горки без торможения $l_{1ТП}$, т. е. $l_{1ТП} = x(t_{1ТП})$ требуется найти время $t_{1ТП}$, в течение которого вагон окажется бы в конце рассматриваемого участка при воздействии попутного ветра малой величины.

В условиях задачи, как и в [6], рассмотрен случай, когда вагон по уклону сортировочной горки входит на участок 1ТП поступательно, с заданной начальной скоростью v_0 (обычно 6 или 8,5 м/с, в зависимости от конструкции тормозных устройств [9]). При входе одиночного вагона (или отцепа) на 1ТП горки, в отличие от [6], считаем, что вагон будет испытывать воздействие внешних сил в виде силы аэродинамического сопротивления попутного ветра малой величины $F_{rвх}$, а также силы трения качения колёс о поверхность катания рельсовых нитей $F_c = F_{тр.к}$.

В формировании расчётной модели движения вагона по всей длине участка 1ТП без торможения при воздействии попутного ветра малой величины (рис. 1 и 2), в отличие от [2–4], принято

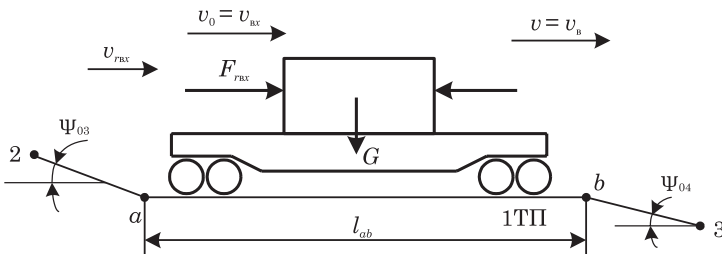


Рис. 1. Упрощённая модель воздействия сил на систему «вагон – путь» перед первой горочной тормозной позиции при попутном ветре

l_{ab} – длина 1ТП горки (для частного случая, когда тормозные позиции размещены на горизонтальной «площадке»), причём угол наклона участка $b-3$ к горизонту ψ_{04} , меньше угла наклона ψ_{03} участка $2-a$, расположенного после второго скоростного участка $1-2$ [2]; $\vec{v}_0 = \vec{v}_{в.х}$ – скорость входа вагона на участок 1ТП; $\vec{v}_{rв.х}$ – относительная скорость ветра; $\vec{v} = \vec{v}_b$ – переносная скорость (скорость вагона); G – сила тяжести вагона с грузом (или без груза); $F_{rвх}$ – сила аэродинамического сопротивления, в отличие от [2], как «сдвигающая» сила попутного ветра; F_c – силы сопротивления от среды. Все остальные обозначения – такие же, как и в [4]

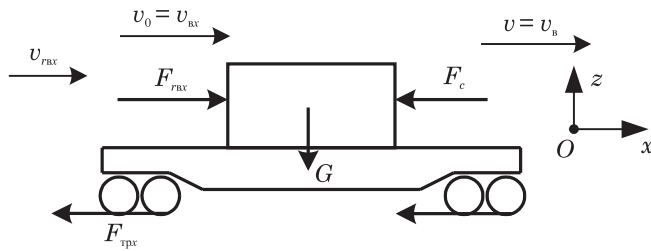


Рис. 2. Упрощённая расчётная модель движения вагона по профилю горки при попутном ветре

Все обозначения на рис. 2 такие же, как и на рис. 1 за исключением силы трения при чистом качении колёс относительно поверхности катания рельсовых нитей $F_{тр,к}$, т. е. $F_{тр,к} = F_{\tau} = F_{тр,к}$

предположение, что колёсные пары по рельсовым нитям катятся при чистом качении колёс относительно поверхности катания рельсовых нитей $F_{тр,к}$, т. е. $F_{тр,к} = F_{\tau} = F_{тр,к}$.

Расчётная модель движения вагона перед первой горочной тормозной позицией горки, согласно принципу освобожденности от связей [7], представлена на рис. 2 [4].

При исследовании движения вагона по всей длине участка 1ТП горки будем учитывать воздействие попутного ветра малой величины (например, 2,5–3,5 м/с) на торцевую поверхность вагона $F_{гв,х}$, силы трения качения колёс о поверхность катания рельсовых нитей $F_{тр,к}$ и силы сопротивления движению вагона от среды $F_{ср}$.

Последовательность определения сил

Силу воздействия попутного ветра малой величины на торцевую и боковую поверхности вагона находят в виде, кН (см. (3) [4]) [10]:

$$F_{гв,х} = 0,5A_{т}; F_{гв,б} = 0,5A_{б}, \quad (1)$$

где 0,5 – удельное давление на 1 м² площади, кН/м²; $A_{т}$ – площадь торцевой поверхности вагона с грузом, м²: $A_{т} = 2B \times 2H$ с учётом того, что в ней 2B и 2H – ширина и высота наветренных поверхностей вагона с грузом, м; $A_{б}$ – площадь боковой поверхности вагона с грузом, м²; $A_{б} = 2L \times 2H$ с учётом того, что в ней 2L – длина боковых наветренных поверхностей вагона с грузом, м.

Силу трения качения $F_{тр,к}$ как касательную составляющую реакции связи (рельсовых нитей) F_{τ} , которую, согласно закону Кулона, можно найти в виде (см. (2) [6]):

$$F_{тр,к} = F_{тр,к} = F_{\tau} = f_0 G + f_{ск} F_{гв,б}, \quad (2)$$

где f_0 – некоторый условный коэффициент трения скольжения, учитывающий количество колёс в тележках, трения качения (по кольцам подшипника и колесо по рельсу) (обычно принимают $f_0 = 0,0001$) [2–4]; $f_{ск}$ – коэффициент трения гребней колёс на боковую поверхность рельсовой нити (обычно $f_{ск}$ принимают в пределах от 0,2–0,25).

Силу сопротивления движению вагона от воздушной среды $F_{ср}$ (см. (7) [4]) определяют по формуле:

$$F_{ср} = k_{ср} G, \quad (3)$$

где $k_{ср}$ – коэффициент, учитывающий долю силы тяжести G при учёте сопротивления среды (обычно в пределах 0,0005–0,00011 при скорости встречного ветра от 4 до 6 м/с) [11, с. 182].

Вычисляют все силы, действующие на скатывающийся вагон (отцеп) при воздействии попутного ветра малой величины, кН:

– «сдвигающие» силы $F_{сд}$ (см. (8) [6]):

$$F_{сд} = F_{гв,х} \quad (4)$$

из-за воздействия только попутного ветра на участке 1ТП горки;

– «удерживающие» силы $F_{уд,х}$ (т. е. все силы сопротивления движению вагона) или «недостаток» сил, обеспечивающий

движение вагона с ускорением на участке 1ТП горки (в отличие от (5) [6]):

$$F_{уд} = F_{трх} + F_{ср}. \quad (5)$$

Как видно, в данном случае «сдвигающая» сила $F_{сдх}$ имеет малую величину, и вместе с тем вагон продолжает своё движение согласно закону инерции с заданной начальной скоростью входа $v_{01тп}$ на рассматриваемый участок 1ТП, преодолевая воздействие силы трения качения $F_{тр.х}$ и силы сопротивления от среды $F_{ср}$. [6, 11].

По величинам «сдвигающей» $F_{сдх}$ и «удерживающей» $F_{удх}$ сил вычисляют силу $F_{01тп}$, способствующую движению вагона с ускорением на рассматриваемом участке 1ТП горки, кН (см. (6) [6]):

$$F_{01тп} = F_{сдх} - F_{удх}. \quad (6)$$

С учётом (4) и (5) можно найти, в отличие от [7], условие движения вагона с ускорением на рассматриваемом участке 1ТП горки (см. (8) [4]):

$$F_{гвх} > F_{трх} + F_{ср}$$

или

$$F_{сдх} > F_{удх} = F_{1тп}. \quad (7)$$

Математические модели движения вагона

В математической модели движения вагона без торможения (движение вагона «на проход»), по значению силы $F_{1тп}$ и массы вагона M с учётом инерции вращающихся частей находят ускорение вагона $a_{1тп}$ при движении на рассматриваемом участке горки с ускорением, m/c^2 (см. (12) [4]):

$$a_{1тп} = \frac{F_{1тп}}{M}. \quad (8)$$

В отличие от [6], при известной величине длине данного участка горки $l_{1тп}$ с использованием формулы пути при равноускоренном движении тела (т. е. $x_{1тп}(t) = l_{1тп}$) (см. (9) [6])

$$l_{1тп} = v_{01тп}t_{1тп} + \frac{1}{2}a_{1тп}t_{1тп}^2 \quad (9)$$

получена формула для определения времени $t_{1тп}$, в течение которого происходит движение вагона до конца рассматриваемого участка:

$$t_{1тп} = \frac{-v_{01тп} + \sqrt{v_{01тп}^2 + 2a_{1тп}l_{1тп}}}{a_{1тп}}, \quad (10)$$

где $v_{01тп}$ – начальная скорость вагона (скорость вагона перед 1ТП горки), м/с.

По известной величине времени $t_{1тп}$ получена формула скорости вагона в конце участка 1ТП (см. (13) [4]):

$$v_e(t_{1тп}) = v_{01тп} + a_{1тп}t_{1тп}. \quad (11)$$

При необходимости, аналогично [2–4], можно найти путь вагона в любой момент времени t его движения в конце 1ТП горки (движение вагона «на проход») $x_{1тп}(t)$, м:

$$x_{1тп}(t_{1тп}) = v_{01тп}t + a_{1тп}\frac{t^2}{2}. \quad (12)$$

Таким образом, с использованием принципа Даламбера, метода разделения переменных и таблиц простых интегралов [8] по известной величине пройденного расстояния вагона по всей длине участка 1ТП без торможения $l_{1тп}$ можно найти время $t_{1тп}$, в течение которого вагон будет двигаться, в отличие от [6], равноускоренно на данном участке горки. По величине $t_{1тп}$ можно определить скорость вагона в конце рассматриваемого участка $v_{1тп}(t_{1тп})$. Особо отметим, что равноускоренное движение вагона с чистым качением колёс по всей длине участка 1ТП горки произойдет по инерции с начальной скоростью $v_{01тп}$ согласно первому закону инерции механики [7]. Также заметим, что при учёте ветра с боковой стороны вагона, возможно, произойдёт движение вагона с замедлением.

Полученные на основе классических положений теоретической механики математические модели движения вагона без торможения (движение «на проход») по всей длине участка 1ТП при воздействии попутного ветра позволили определить аналитические

формулы времени $t_{1\text{тп}}$, в течение которого вагон будет двигаться с ускорением на данном участке горки.

По известной величине времени $t_{1\text{тп}}$ движения вагона в конце участка 1ТП горки получена известная из элементарной физики формула скорости вагона на этом участке горки.

Особо отмечено, что равноускоренное движение вагона с чистым качением

колёс по всей длине участка первой горочной тормозной позиции горки произойдет по инерции с начальной скоростью $v_{01\text{тп}}$ согласно первому закону инерции механики.

Результаты выполненных исследований могут быть использованы для расчёта профиля промежуточного участка сортировочной горки при движении легкового вагона. ■

Литература

1. Туранов Х. Т., Гордиенко А. А. Некоторые проблемы теоретической предпосылки динамики скатывания вагона по уклону сортировочной горки // Бюллетень транспортной информации. 2015. № 3 (237). С. 29–36. ISSN 2072-8115.
2. Туранов Х. Т., Гордиенко А. А. Математическая модель времени скатывания вагона на первом скоростном участке сортировочной горки при воздействии попутного ветра малой величины // Бюллетень транспортной информации. 2015. № 6 (240). С. 17–23. ISSN 2072-8115.
3. Туранов Х. Т., Гордиенко А. А. Аналитическое определение времени скатывания вагона на втором скоростном участке сортировочной горки при воздействии попутного ветра малой величины // Наука и техника транспорта. 2015. № 2. С. 73–81. ISSN 2074-9325.
4. Туранов Х. Т., Гордиенко А. А. Определение времени и скорости скатывания вагона перед первой горочной тормозной позицией сортировочной горки при воздействии попутного ветра малой величины // Транспорт: наука, техника, управление. 2015. № 7. С. 25–30. ISSN 0236-1914.
5. Туранов Х. Т. Пример расчёта времени и скорости скатывания вагона на втором скоростном участке сортировочной горки при воздействии попутного ветра малой величины по новой методике / Х. Т. Туранов, А. А. Гордиенко // Наука и техника транспорта. 2015. № 3. С. 63–70.
6. Туранов Х. Т., Гордиенко А. А. Математические модели движения вагона на участке первой тормозной позиции сортировочной горки при воздействии встречного ветра малой величины // Транспорт: наука, техника, управление. 2015. № 8. С. 44–47. ISSN 0236-1914.
7. Лойцянский Л. Г., Лурье А. И. Курс теоретической механики. Т. II. М., 1983. С. 640.
8. Бронштейн И. Н., Семендяев К. А. Справочник по математике для инженеров и учащихся втузов. М., 1980. С. 976.
9. Кобзев В. А. Технические средства сортировочных горок, обеспечивающие безопасность движения : учебное пособие. Ч. 1. – М., 2009. С. 92. ISBN 978-5-7422-2296-5.
10. Приложение 3 к СМГС «Технические условия размещения и крепления грузов» [Электронный ресурс]. URL: <http://osjd.org/doco/public/ru>. (дата обращения: 15.10.2015).
11. Образцов В. Н. Станции и узлы. Ч. II. М. : Трансжелдориздат, 1938. С. 492.

References

1. Turanov Kh. T., Gordienko A. A. Nekotorye problemy teoreticheskoy predposylki dinamiki skatyvaniya vagona po uklonu sortirovochnoy gorki [Some problems of the theoretical background of car dynamics rolling down the hump] // Byulleten transportnoy informatsii. 2015. № 3 (237). S. 29–36. ISSN 2072-8115.
2. Turanov Kh. T., Gordienko A. A. Matematicheskaya model vremeni skatyvaniya vagona na pervom skorostnom uchastke sortirovochnoy gorki pri vozdeystvii poputnogo vetra maloy velichiny [Mathematical model of the time required for a car to roll down on the first high-speed hump section when exposed to light tailwind] // Byulleten transportnoy informatsii. 2015. № 6 (240). S. 17–23. ISSN 2072-8115.
3. Turanov Kh. T., Gordienko A. A. Analiticheskoe opredelenie vremeni skatyvaniya vagona na vtrom skorostnom uchastke sortirovochnoy gorki pri vozdeystvii poputnogo vetra maloy velichiny [Analytical determination of the time of car rolling down on the second high-speed

- section of hump when exposed to light headwind] // Nauka i tekhnika transporta. 2015. № 2. S. 73–81. ISSN 2074-9325.
4. Turanov Kh. T., Gordienko A. A. Opredelenie vremeni i skorosti skatyvaniya vagona pered pervoy gorochnoy tormoznoy pozitsiey sortirovochnoy gorki pri vozdeystvii poputnogo vetra maloy velichiny [Determining time and speed of a car rolling down before the first braking position of a hump when exposed to light tailwind] // Transport: nauka, tekhnika, upravlenie. 2015. № 7. S. 25–30. ISSN 0236-1914.
 5. Turanov Kh. T. Primer raschyota vremeni i skorosti skatyvaniya vagona na vtorom skorostnom uchastke sortirovochnoy gorki pri vozdeystvii poputnogo vetra maloy velichiny po novoy metodike [An example of calculation of time and speed of the car rolling down on the second high-speed hump section when exposed to light tailwind using a new method] / Kh. T. Turanov, A. A. Gordienko // Nauka i tekhnika transporta. 2015. № 3. S. 63–70.
 6. Turanov Kh. T., Gordienko A. A. Matematicheskie modeli dvizheniya vagona na uchastke pervoy tormoznoy pozitsii sortirovochnoy gorki pri vozdeystvii vstrechnogo vetra maloy velichiny [Mathematical models of car rolling down on the first braking hump section when exposed to light headwind] // Transport: nauka, tekhnika, upravlenie. 2015. № 8. S. 44–47. ISSN 0236-1914.
 7. Loytsyanskiy L. G., Lurie A. I. Kurs teoreticheskoy mekhaniki. T. II. [Course of theoretical mechanics. Vol.2] M., 1983. S. 640.
 8. Bronshteyn I. N., Semendyaev K. A. Spravochnik po matematike dlya inzhenerov i uchashchikhsya vtuzov. [Handbook on mathematics for engineers and students of technical universities] M., 1980. S. 976.
 9. Kobzev V. A. Tekhnicheskie sredstva sortirovochnykh gorok, obespechivayuschie bezopasnost dvizheniya: uchebnoe posobie. Ch. 1. [Marshalling yards facilities to ensure traffic safety: a handbook. Part 1.] – M., 2009. S. 92. ISBN 978-5-7422-2296-5.
 10. Prilozhenie 3 k SMGS «Tekhnicheskie usloviya razmescheniya i krepleniya gruzov» [Specifications for stowing and securing cargo in railway cars and containers.] [Electronic resource]. URL: <http://osjd.org/doco/public/ru>. (date accessed: 15.10.2015).
 11. Obratsov V. N. Stantsii i uzly. Ch. II. [Stations and junctions. Part II] M., Transzheldorizdat, 1938. S. 492.

Статья сдана в редакцию 1 октября 2015 года

Ю. А. Савельев, Е. Ю. Черкасова

Количественное измерение телесных углов

Yu. A. Savelyev, E. Yu. Cherkasova

Quantitative measurements of solid angles**Аннотация**

Разработан способ равновеликой двухкоординатной развертки поверхности вращения, заключающийся в том, что поверхность со сдвигом разворачивается в двух взаимно перпендикулярных направлениях: по широте и меридиану. Использование для построения средств компьютерной графики позволяет количественно измерять площадь «неразвертываемой» поверхности.

Показано, что при измерении площади открытого тора ошибка выполненных измерений составила 0,05 %; величину можно уменьшить за счет увеличения точек разбиения.

Построена равновеликая развертка поверхности (карта) Земли, в которой по известным географическим координатам можно изобразить, например, айсберг и достаточно точно определить его площадь. Проведено визуальное сравнение с известным равновеликим цилиндрическим вариантом, вносящим существенные искажения в приполярных областях.

Разработанный метод позволяет точно измерять площадь сферического треугольника с помощью компьютера. Составлена номограмма для вычисления площади сферы в зависимости от величины двугранного угла.

Количественно измерен произвольный трехгранный стереоугол, что позволяет производить их суммирование, например, в пирамиде. В частности, показано, что в тетраэдре сумма телесных углов составляет 2,172стерадиана.

Измерены пространственные углы в многогранной пирамиде и конусе вращения. Показано, что конус единичной величины имеет линейный угол порядка 94°.

На конкретных примерах показано, что выполненные исследования являются составной частью вычислительной графики.

Ключевые слова: телесные углы, количественные измерения, двухкоординатная равновеликая развертка, площадь сферического треугольника, трехгранный стереоугол, пирамида, конус, вычислительная графика.

DOI:10.20291/2079-0392-2015-4-32-42

Abstract

A method for two-coordinate equal-area projection of rotation surface has been created, where the shift surface is projected in two mutually perpendicular directions: latitudinal and longitudinal. Computer graphics makes it possible to quantitatively measure the area of non-developable surface.

It is shown that the error in measurement of open torus area is 0.05%; the value can be reduced by increasing partition points.

An equal-area projection of Earth surface (map) has been created, where using the known geographic coordinates, for example, an iceberg can be identified and its area accurately determined. A visual comparison has been carried out with a well-known cylinder equal-area projection, which introduces significant distortion in the polar regions.

The developed method makes it possible to accurately measure the area of a spherical triangle using a computer. A nomogram has been created to calculate the area of sphere as a function of the dihedral angle.

Arbitrary triangular stereo angle has been measured quantitatively, allowing summing angles e.g. in a pyramid. In particular, it is shown that the sum of solid angles in a tetrahedron is 2.172 steradians.

Spatial angles have been measured in multi-faceted pyramid and cone of revolution. It is shown that a unit value cone has a linear angle of about 94°.

Specific examples support the fact that the studies are a part of computer graphics.

Keywords: solid angles, quantitative measurements, two-coordinate equal-area projection, spherical triangle area, triangular stereo angle, pyramid, cone, computer graphics.

DOI:10.20291/2079-0392-2015-4-32-42

Юрий Александрович Савельев, канд. техн. наук, доцент; кафедра «Проектирование и эксплуатация автомобилей» Уральского государственного университета путей сообщения; Екатеринбург, Россия. E-mail: usavtli@usurt.ru.

Елена Юрьевна Черкасова, ст. преподаватель; кафедра «Проектирование и эксплуатация автомобилей» Уральского государственного университета путей сообщения; Екатеринбург, Россия. E-mail: elena030358@mail.ru.

Yuriy Aleksandrovich Savelyev, PhD in Engineering, Associate Professor, Design and Operation of Automobiles Department, Ural State University of Railway Transport; Ekaterinburg, Russia. E-mail: usavtli@usurt.ru.

Elena Yuryevna Cherkasova, Senior Lecturer; Design and Operation of Automobiles Department, Ural State University of Railway Transport; Ekaterinburg, Russia. E-mail: elena030358@mail.ru.

Геометрия издревле имеет единицу (градус) измерения плоских углов и успешно использует ее в построениях и измерениях. Известна единица измерения и трехмерных углов: стерадиан, sr – телесный угол, вырезанный на сфере, описанной вокруг вершины угла, площадь которой равна квадрату радиуса сферы [1].

Однако науке известно лишь одно количественное измерение такого угла. Это полная сфера, которая образует телесный угол, равный $4\pi sr$ [2]. Количественному измерению практически любых объемных углов (конуса, многогранников и др.), а также измерению площади сферического треугольника посвящена данная работа, поскольку публикаций на эту достаточно актуальную тему, кроме отмеченных выше, не существует.

Визуализация одного стерадиана

За основу возьмем известную математическую зависимость и графические построения. Площадь сферического сегмента (S) описывается формулой $S = 2\pi RH$, где R – радиус сферы, а H – высота сегмента [3].

По определению, приведенному выше, конус вращения величиной $1 sr$ на сфере радиусом 10 мм должен отсекал площадь в 100 мм². Отсюда высота сегмента: $H = S/2\pi R = 1,591549$ мм.

Графические построения позволяют найти параметры искомого конуса: линейный угол при его вершине – $65^{\circ}32'27,83''$, а радиус основания – $10,825516$ мм. По-видимому, впервые визуально и количественно показан конус с телесным углом в его вершине в один стерадиан.

Отметим, что данный графо-математический метод пригоден для измерения трехмерных углов любых конусов вращения. Однако покажем универсальный графический способ измерения телесных углов, основанный на авторской методике [4]: двухкоординатная равновеликая развертка поверхности вращения (пока не нашедший последователей, а потому его развитие не отражено в научной литературе. Но данный

метод подтвержден описанным выше графо-математическим).

Впервые количественно измеренная площадь сферического треугольника указанным методом помимо его научной ценности позволила численно измерять величины трехгранных и иных углов, а также составить целевую номограмму. Попытка найти закономерность при суммировании углов многогранника, по аналогии с плоским треугольником, не увенчалась успехом.

Применимость графических методов в таких науках, как кристаллография, оптика, ряде разделов математики, электрических цепях и др. показана в [5]. Но отсутствие точных методов построений не позволило развить это направление.

Появление компьютерных методов построений и измерений, заложенных в математические графические редакторы, принципиально меняет ситуацию. Электронные линейка, циркуль и транспортир позволяют не только что-то изобразить, но за счет выполнения точных построений получать новые научные результаты.

Например: решить систему трех уравнений с тремя неизвестными путем построения четырех отрезков [2]

$$\begin{cases} 8463x + 10602y + 10374z - 964782 = 0, \\ 598x - 874y - 247z - 11362 = 0, \\ 456x - 2052y - 288z + 16416 = 0. \end{cases} \quad (1)$$

Каждое уравнение с графической точки зрения является плоскостью. Поэтому для решения методом начертательной геометрии достаточно построить три плоскости, заданные следами, и найти точку их пересечения. На рис. 1 слева показано графическое условие задачи, а справа – решение, выполненное с использованием отечественного редактора «Компас-3Д». Цифрами 1–2 показаны две проекции линии пересечения плоскостей 1 и 2, 3–4 – то же для плоскостей 1 и 3, а цифрой 5 – ответ.

Измерение по чертежу дало следующий результат: $x = 55,239302$; $y = 15,816078$; $z = 31,772675$.

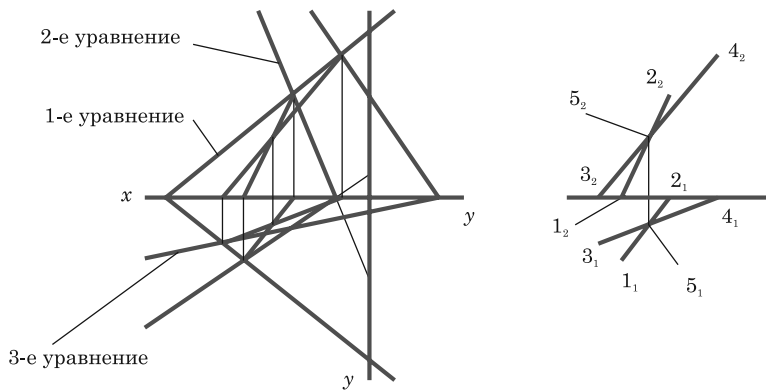


Рис. 1. Графическое решение системы уравнений (1)

Справедливости ради отметим, что данный пример не имеет ни научной, ни практической пользы. Для данного случая, конечно, имеется специализированная математическая программа, в которой не надо строить ни одного отрезка. Цель – показать одну из возможностей графического метода и показать его достоинства.

Во-первых, это логичность действий. Решатель осознанно и целенаправленно выполняет ряд операций. Во-вторых, достоверность. Легко и просто проверить результат путем измерения координат всех точек. В-третьих, точность, что особенно важно при решении уравнений высоких и дробных степеней неизвестного. Можно отметить и простоту решения [3]. Провести 10–20 прямых и кривых линий проще, чем выполнить несколько сотен алгебраических операций. Недостаток – отсутствие универсальности (не все задачи можно решить таким образом). Однако иногда только графически можно получить новый научный результат, чему и посвящена данная работа.

Методика графических исследований телесных углов

В основу идеи количественного измерения телесных углов положен авторский метод двухкоординатной равновеликой развертки поверхности сферы [4].

Новизна состоит в том, что поверхность одновременно разворачивается в двух взаимно перпендикулярных направлениях со скольжением. Его суть рассмотрим на примерах развертки разворачиваемых моделей: правильной треугольной пирамиды и конуса вращения.

Традиционная развертка боковой поверхности прямой правильной четырехгранной пирамиды показана на рис. 2. Ее площадь: $S = 4 \cdot \frac{1}{2}ab$. Но тот же результат можно получить и иным, удобным для будущих рассуждений способом (рис. 3).

Его особенность состоит в том, что при сохранении высоты все четыре основания развернуты в одну линию. Площадь развертки при этом не изменилась, поэтому она, как это принято в картографии, именуется равновеликой.

Распространим данный способ на построение развертки конуса вращения [5].

Здесь поверхность конуса «разрезается» по одной из образующих: a . Другая образующая l (любая, но в данном случае противоположная a) делится на n частей (например, как в данном примере, на 10), изображается на свободном поле чертежа и также делится на n частей. Из каждой точки на развертке в одну или обе стороны (пополам, как на рис. 4) откладываются длины параллелей*.

* Так необходимо поступать лишь при построении развертки «неразворачиваемой» поверхности. В конусе вращения всегда получается треугольник, показ параллели в точке 4 дан исключительно для убедительности.

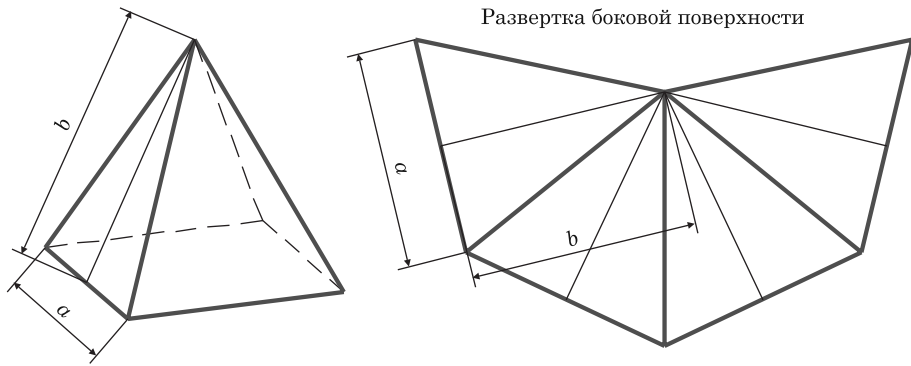


Рис. 2. Развертка боковой поверхности пирамиды

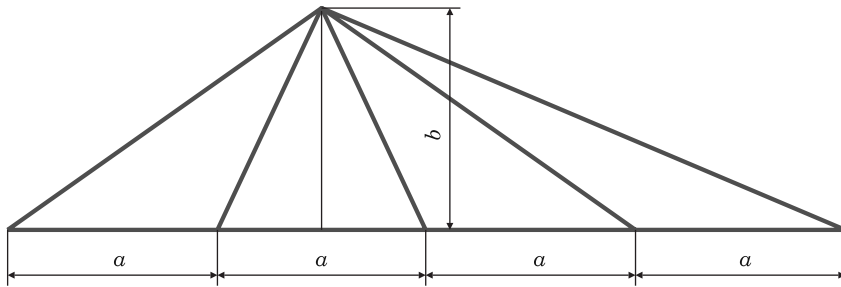


Рис. 3. Равновеликая двухкоординатная развертка боковой поверхности пирамиды

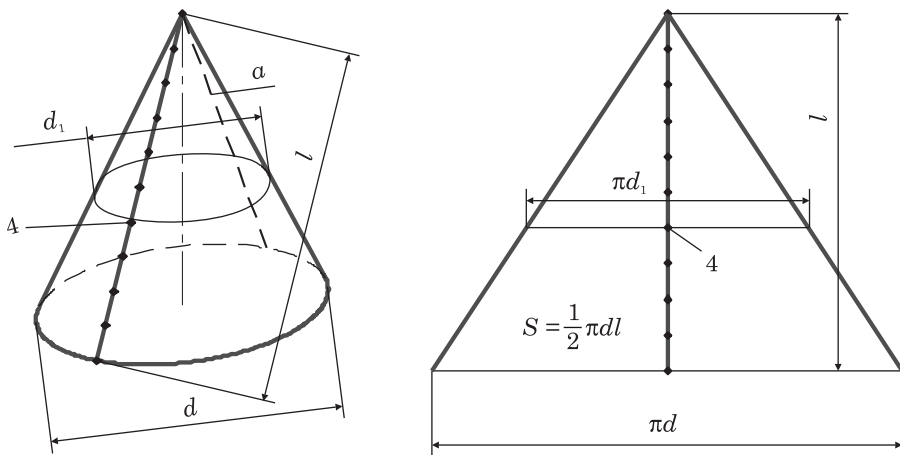


Рис. 4. Равновеликая двухкоординатная развертка конуса вращения

Двухкоординатная равновеликая развертка «неразвертываемых» поверхностей. Алгоритм

Равновеликая двухкоординатная развертка применима только к поверхностям вращения. Развернем поверхность, площадь которой определена математически. Пусть для начала это будет открытый тор. Порядок графических построений запишем в виде алгоритма (параметрические возможности графических редакторов и, в частности, «Компас-3Д» позволяют составить полуавтоматическую программу [6]). Информационные же технологии позволяют составить полностью автоматизированный вариант.

1. Согласно требованиям начертательной геометрии, по заданным размерам необходимо построить две проекции заданной поверхности.

2. На свободном поле чертежа выполнить копию одного из меридианов. Для упрощения допускается оставить его половину (тор) или четверть (сфера), если поверхность имеет одну или две плоскости симметрии соответственно.

3. Используя геометрический калькулятор графического редактора, выполнить распрямленную вертикальную копию меридиана.

4. Разбить меридиан и его копию на n равных частей (например, 20 для тора или 10 для сферы)*.

5. Проведя через одну из точек горизонтальную секущую плоскость, построить проекцию параллели.

6. Используя геометрический калькулятор графического редактора, на развертке построить горизонтальный отрезок равной длины (при симметричном отображении половины в разные стороны от отрезка).

7. Повторить операцию по п. 6 для всех иных точек меридиана.

8. Используя команду «Кривая Безье» графического редактора, построить плавную линию соединяя концы отрезков.

9. Используя команду «Измерение площади» графического редактора, измерить площадь развертки. Она является искомой.

Выполненная по приведенному алгоритму развертка открытой торовой поверхности с размерами $D = 30$ мм и $d = 20$ мм показана на рис. 5.

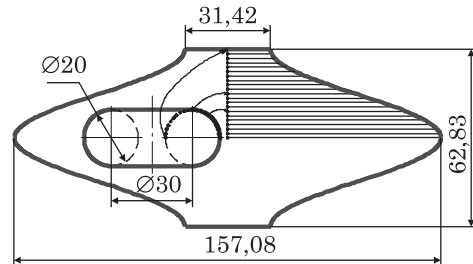


Рис. 5. Равновеликая двухкоординатная развертка открытого тора

При разбиении полумеридиана на двадцать частей измеренная площадь развертки составила 5918 мм^2 , что приблизительно отвечает формуле $S = \pi D \cdot \pi d$. Расчет по этому соотношению, а оно действительно известно, дал величину 5921 мм^2 . Ошибка построения и измерения составила $0,05 \%$, что вполне приемлемо, но и ее можно уменьшить, увеличив число точек разбиения n .

С практической точки зрения больший интерес представляет построение равновеликой развертки поверхности сферы. Ее симметричное изображение для диаметра 20 мм показано на рис. 6. Вариант с односторонним расположением показан в [4, рис. 10.4].

Четверть меридиана разделена на десять частей, и этого оказалось достаточным, чтобы получить результат с точностью до двух знаков после запятой совпадающий с математически рассчитанной величиной. На рис. 6 слева показаны все элементы построения, а справа – изображение параллелей и меридианов.

Поскольку Земля также является поверхностью вращения, близкой к сфере,

* Части могут быть и неравными, но обязательно одинаковыми на обеих линиях. При необходимости точки можно пронумеровать.

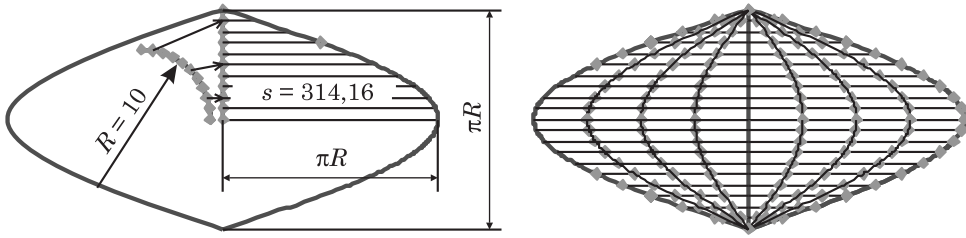


Рис. 6. Равновеликая двухкоординатная развертка сферы диаметром 20 ед.

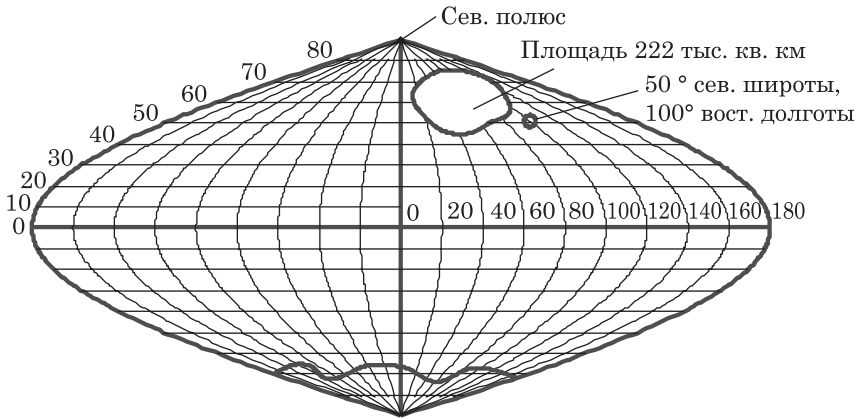


Рис. 7. Двухкоординатная развертка поверхности Земли

то, единожды выполнив ее развертку, можно извлекать из нее практическую пользу. Представление в первом приближении, что Земля – сфера, показано на рис. 7 (параллели и меридианы).

Построив по известным координатам любой участок поверхности так, как нанесена на карту точка А (рис. 7), можно с большой точностью вычислить ее площадь (например, площадь глобального лесного пожара). Кроме того, можно измерять по карте расстояния между объектами, лежащими на одной широте (например, Нью-Йорк и Анкара). Приполярные области, например, Антарктида, будут иметь наименьшее искажение и выглядеть так, как показано на рис. 7. Возможно и иное практическое применение такой карты.

Известны и другие равновеликие развертки Земли, например, цилиндрическая, основополагающий принцип которой использован в данной работе.

Равновеликая цилиндрическая проекция

В основу данного вида проекции математически строго доказанного свойства сферического пояса: часть поверхности сферы, заключенной между двумя параллельными плоскостями описывается уравнением [7]

$$S_{\Pi} = 2\pi RH, \quad (2)$$

где S_{Π} – поверхность пояса; R – радиус сферы; H – высота пояса.

Особенность формулы (2) состоит в том, что отсек поверхности сферы зависит только от численного значения высоты, но не зависит от его положения на данной сфере – у экватора или у полюса.

Но таким же свойством обладает и развертка цилиндра вращения. Это свойство и используется в картографии: сфера проецируется на описанный вокруг нее цилиндр (рис. 8).

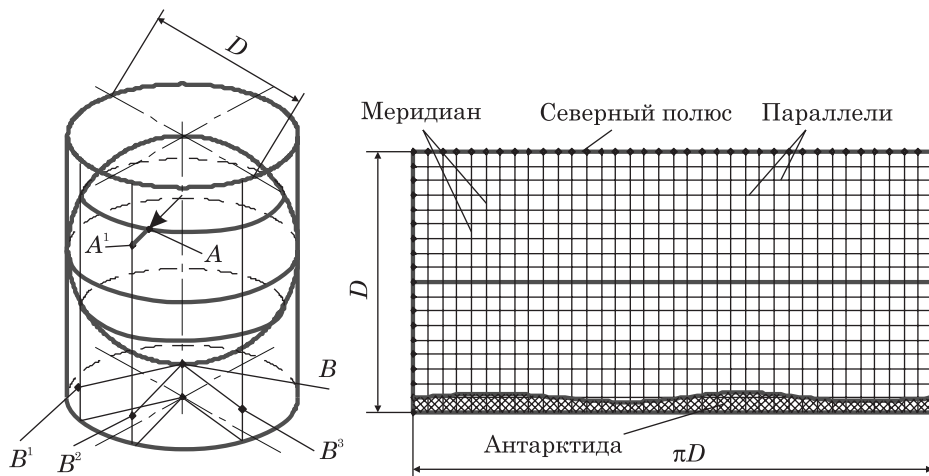


Рис. 8. Равновеликая цилиндрическая развертка поверхности Земли

Проецирующий луч, выходя из осевой линии в горизонтальной плоскости, по радиусу проходит через точку A поверхности сферы и пересекает поверхность описанного вокруг нее цилиндра в точке A^1 . Эта точка и является цилиндрической проекцией. Множество точек A^1 и образует цилиндрическую развертку поверхности Земли.

Точка B одного из полюсов сферы одновременно проецируется по всем направлениям (точки B^1, B^2, B^3 и т.д.), поэтому ее проекцией является линия, а приполярная область, например, Антарктида проецируется в пояс, то есть со значительным искажением. Экваториальная же область, как и в двухкоординатной развертке, проецируется с наименьшим искажением. При этом площадь любой фигуры на сфере равна равной площади на цилиндрической проекции.

Количественное определение площадей сферических треугольников

В справочной литературе приводятся некоторые эмпирические соотношения касающиеся рассматриваемого вопроса. В частности, в [8] говорится: «Так, если три точки B, C, D на поверхности шара попарно соединить кратчайшими дугами, то в полученном

сферическом треугольнике BCD сумма внутренних углов всегда будет больше, чем π , причем избыток суммы $B + C + D$ над π равен отношению площади S сферического треугольника к квадрату радиуса R :

$$(B + C + D) - \pi = \frac{S}{R^2}. \quad (3)$$

По определению прямыми линиями на окружности считаются большие окружности [7]. Соответственно, отрезками являются их отсеки. При изображении на чертеже, все окружности, кроме очерковых, которые неудобно использовать в заявленных целях, проецируются в эллипсы. Отсюда сферический треугольник образуют части трех эллипсов (рис. 11).

Желая получить зависимость площади от длины стороны плоского равностороннего треугольника, вначале исследован октант – восьмая часть сферы. При радиусе 10 мм длина стороны равностороннего треугольника – 14,14 мм, а площадь – 157,079 мм². Цель – подтвердить методику.

Сферический треугольник изображен на видимой части сферы так, что его центр описанной окружности совпадал с центром сферы. Меридиан поделен на 11 частей (рис. 9). Здесь же показана одна из параллелей (часть экватора),

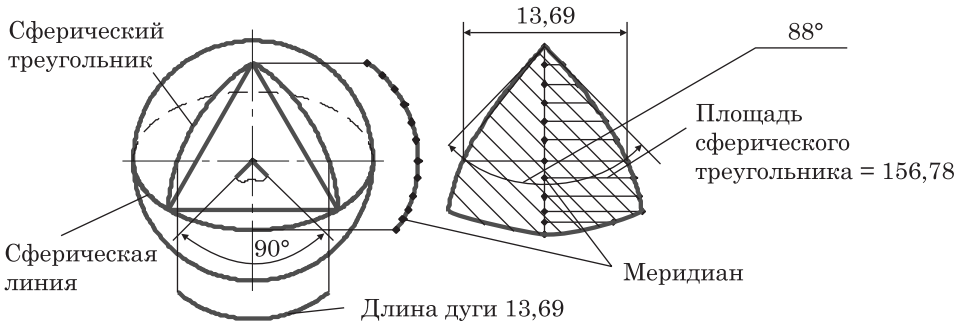


Рис. 9. Определение площади сферического треугольника

ограниченная сторонами треугольника. Измеренная площадь отличается от рассчитанной на 0,19 %.

Поскольку на развертке углы проецируются с искажением, их фактическое значение принималось равным величине двугранного угла, то есть $\pi/2$. И это свойство подтверждается построением – если поместить вершину треугольника в центр O (рис. 9). При этом подтверждается и соотношение (3). Графические исследования при других значениях дали противоречивые результаты. Нанесение их на график (рис. 10) показало, что формула (3) справедлива при значениях двугранного угла более 1,28 рад. В частности, на рис. 12 показаны результаты измерений площади равносторонних треугольников со стороной 5 (двугранный угол $31,09^\circ$), 10 ($70,53^\circ$) и 15,5 ($104,59^\circ$) на сфере радиусом 10 мм. Численные их значения соответственно равны 11,28; 54,33 и 226,90 мм². У двугранного угла 2π рад площадь – $2\pi R^2$.

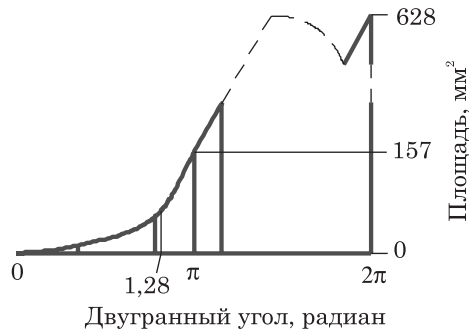


Рис. 10. Номограмма для определения площади сферического треугольника

Количественное измерение произвольного трехгранного стереоугла

Методика измерения равносторонних трехгранных телесных углов показана на рис. 9, а их численные значения – на рис. 10. Но данным методом можно измерить любой стереоугол и определить их сумму, например, в пирамиде. Кстати, для тетраэдра со стороной 10 мм сумма

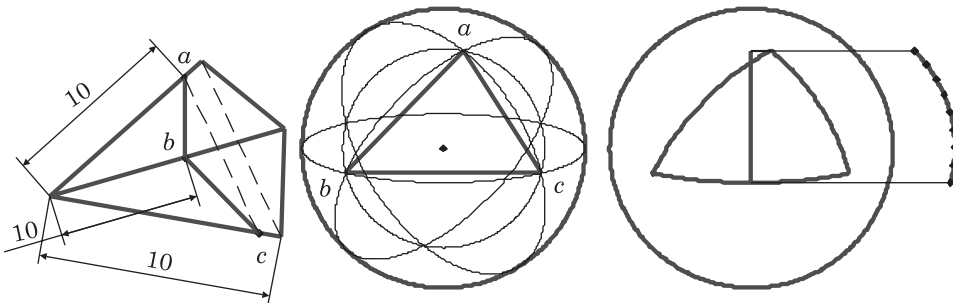


Рис. 11. Алгоритм графического вычисления телесного угла

телесных углов, согласно номограмме (рис. 10), составляет с ошибкой не более 0,5 % $0,543 \cdot 4 = 2,172$ sr. И это значение, по-видимому, найдено впервые.

Определение величины произвольного трехгранного угла произведем по следующему алгоритму, сформулировав задачу: определить стереоугол в вершине пирамиды со сторонами основания 20, 30 и 40 мм, высота которой (50 мм) проецируется в центр описанный окружности основания.

В целях упрощения на рис. 11 показан лишь алгоритм построений, который состоит из выполнения следующих дополнительных операций.

1. От вершины исследуемого угла отсекают одинаковые отрезки длиной, например, 10 мм.

2. Методами начертательной геометрии находят натуральную величину полученного треугольника abc .

3. Совместив центр описанной окружности треугольника abc с центром сферы по описанному выше методу (рис. 8) находят площадь сферического треугольника. Его значение, поделенное на R^2 , является ответом.

Измерение телесных углов многогранной пирамиды и конуса

Измерение телесных углов многогранной пирамиды также можно выполнять по изложенному способу со следующими дополнениями. Во-первых, пирамиду следует «выпрямить» – отсечь на ребрах от вершины равные отрезки, равные радиусу. Радиус

может быть любой, но при использовании редактора «Компас-3Д» его значение лучше выбирать равным единице. Тогда, задав нужный масштаб вида (100:1 или 50:1), искомое значение получают непосредственно в стерадианах.

Во-вторых, в сложных вариантах, используя метод триангуляции, многоугольник основания рекомендуется разбивать на треугольники. А поскольку физический аналог стерадиана – площадь сферы единичного радиуса, то с ним возможны булевы операции.

На рис. 12, *а* и 12, *б* показан способ определения угла в четырех- и пятиугольной пирамидах соответственно. При этом допустимы булевы операции: сложения – рис. 12, *б* и вычитания – рис. 12, *в*. В частности, определив по номограмме (рис. 10) величину треугольного угла ψ , можно умножить его на 5, а из результата вычесть ψ .

Для вычисления телесного угла конуса вращения можно использовать видоизмененную формулу (2)

$$\psi = 2\pi Rh, \quad (4)$$

где h – высота сегмента, площадь которого равна ψ .

Применение формулы (4) покажем на примере: вычислим величину линейного угла конуса вращения, имеющего стереоугол, равный 2 sr.

Решение (рис. 13). При $R = 1$ и $\psi = 2$ высота сегмента $h = 1/\pi = 0,3183$. Этому значению соответствует линейный угол конуса $94^\circ 2' 48''$.

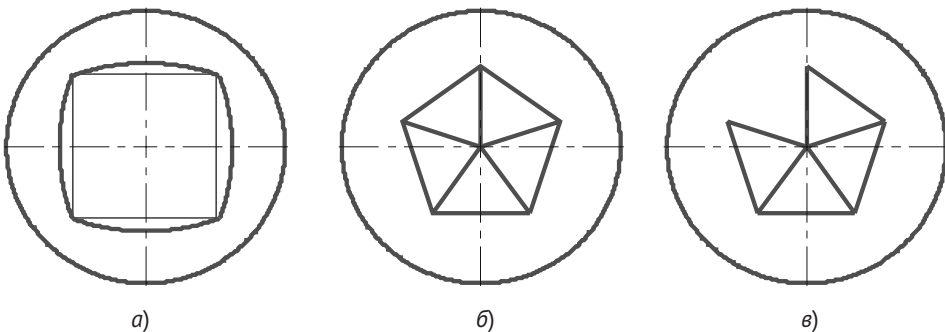


Рис. 12. Варианты вычисления телесных углов в n -угольных пирамидах

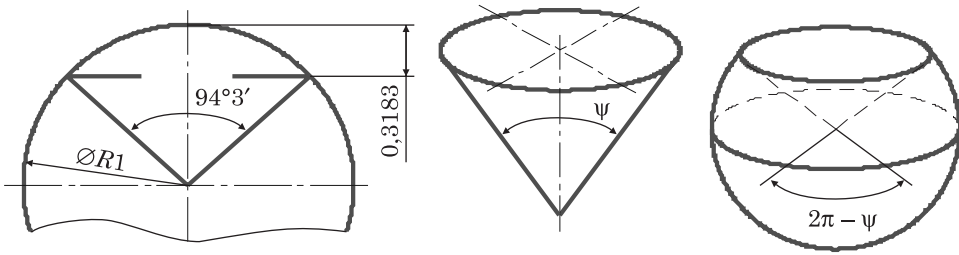


Рис. 13. Вычисление линейного угла конуса вращения $\psi = 2sr$

Вычислительная графика – графический раздел математики

Математические методы позволяют решать любые задачи любой сложности. Однако, как показало данное исследование, они иногда не могут превратить численный результат в графический образ, если последний не является известным.

В частности, формула (4) позволяет вычислить величину телесного угла, но отсутствие математических методов его визуализации не позволило определить его линейный эквивалент (рис. 13). Тем более без графических методов невозможно численно измерить величину гранного угла. Как оказалось, эмпирическое соотношение (3) справедливо лишь частично.

Авторам графическим путем удалось построить эволюты разных кривых [9], в том числе кардиоиду, эволюта которой является также кардиоидой, но уменьшенной в три раза. Используя математический аппарат построения касательных и нормалей к кривым, можно найти отдельные точки искомой эволюты. Но объединить и описать их можно только графически. Кстати, графика позволяет дать ответ и для произвольной кривой, не имеющей описания.

Четырехмерный континуум «пространство – время» волнует науку более ста лет, но только использование методов начертательной геометрии позволяет количественно решать такие задачи, причем наглядно и эффективно, с многим числом переменных [10]. ■

Литература

1. Траутман Н. Ф. Сборник задач по начертательной геометрии в применении к различным областям науки и техники. М. : Машгиз, 1953. 280 с.
2. Савельев Ю. А. Решение задач аналитической геометрии методами начертательной геометрии средствами компьютерной графики : сб. научн. тр. – Екатеринбург : Изд-во УрГУПС, 2000. С. 12–19.
3. Савельев Ю. А. Простота решений задач начертательной геометрии и точность графических построений. : сб. научн. тр. – Екатеринбург : Изд-во УрГУПС, 2000. С. 29–34.
4. Савельев Ю. А. Математическая развертка поверхности Земли. Екатеринбург : Изд-во УМЦ УПИ, 2006. 89 с.
5. Савельев Ю. А. Визуализация стерадиана : сб. научн. тр. / М. : Моск. гос. академ. тонкой химической технологии им. М.В.Ломоносова, 2009. С. 7–9.
6. Савельев Ю. А. Компьютерная графика. Екатеринбург : Изд-во УрГУПС, 2004. 59 с.
7. Энциклопедия для детей. Т. 11 : Математика. М. : Аванта, 2005. 688 с.
8. Справочник по высшей математике. М. : АПП Джангар, 1998. 864 с.
9. Савельев Ю. А. Графическое определение эволют кривых и исследование их формы : сб. научн. тр. / Саратов : СГТУ, 2008. С. 100–105.
10. Савельев Ю. А. Четырехмерный континуум пространство – время // Вестник УрГУПС. 2013. № 1 (17). С. 14–23. ISSN 2079-0392.

References

1. Trautman N.F. Sbornik zadach po nachertatelnoy geometrii v primenenii k razlichnym oblastyam nauki i tekhniki. [Collection of descriptive geometry problems applied to various fields of science and technology.] – M. : Mashgiz, 1953. 280 s.
2. Savelyev Yu.A. Reshenie zadach analiticheskoy geometrii metodami nachertatelnoy geometrii sredstvami kompyuternoy grafiki : sb. nauchn. tr. [Solution of analytic geometry problems using descriptive geometry methods and computer graphics : Collection of scientific works.] – Ekaterinburg : Izd-vo UrGUPS, 2000. S. 12–19.
3. Savelyev Yu.A. Prostota resheniy zadach nachertatelnoy geometrii i tochnost graficheskikh postroyeniy : sb. nauchn. tr. [Easy solutions of descriptive geometry problems and accurate graphic constructions : Collection of scientific works.] – Ekaterinburg : Izd-vo UrGUPS, 2000. S. 29–34.
4. Savelyev Yu.A. Matematicheskaya razvertka poverkhnosti Zemli. [Mathematical projection of the Earth's surface.] Ekaterinburg : Izd-vo UMTs UPI, 2006. 89 s.
5. Savelyev Yu.A. Vizualizatsiya steradiana : sb. nauchn. tr. [Visualization of steradian : collection of scientific works.] / M. : Mosk. gos. akadem. tonkoy khimicheskoy tekhnologii im. M.V.Lomonosova, 2009. S. 7–9.
6. Savelyev Yu.A. Kompyuternaya grafika. [Computer graphics.] Ekaterinburg : Izd-vo UrGUPS, 2004. 59 s.
7. Entsiklopediya dlya detey. T. 11 : Matematika. [Encyclopedia for Children. Vol. 11 : Mathematics.] M. : Avanta, 2005. 688 s.
8. Spravochnik po vysshey matematike. [Handbook on higher mathematics.] M. : APP Dzhangar, 1998. 864 s.
9. Savelyev Yu.A. Graficheskoe opredelenie evolyut krivykh i issledovanie ikh formy. : sb. nauchn. tr. [Graphical determination of evolutes of curves and study of their form : Collection of scientific works] / Saratov : SGTU, 2008. S. S. 100–105.
10. Savelyev Yu.A. Chetyrekhmernyy kontinuum prostranstvo – vremya [The four-dimensional space – time continuum] // Vestnik UrGUPP. 2013. № 1(17). S. 14–23. ISSN 2079-0392.

Статья сдана в редакцию 15 февраля 2014 года

УДК 624.014(075.8)

*А. Х. Ягофаров, Х. Ягофаров, С. М. Скоробогатов***Расчет стального круглого бункера нового типа**

UDC 624.014 (075.8)

*A.Kh. Yagofarov, Kh. Yagofarov, S.M. Skorobogatov***Structural analysis of steel round hopper of new type****Аннотация**

Предложена новая конструкция круглого бункера, для которой разработана инженерная методика расчета.

Методика расчета основана на использовании конической воронки как основного несущего элемента бункера с учетом ее пространственной работы. Опоры бункера принимаются упругоподатливыми, что позволяет обоснованно определять величину опорной реакции с учетом упругой податливости каждой из опор. Местное воздействие сосредоточенной силы – опорной реакции бункера на коническую оболочку – компенсируется местным утолщением стенки воронки.

Данной методикой расчета также предлагается учесть сыпучий материал заполнения как упругий несущий элемент бункера, способный воспринимать часть горизонтальной составляющей опорной реакции, и тем самым уменьшить усилия в опорных конструкциях.

Ключевые слова: бункер, силос, воронка, цилиндрическая часть, сыпучий материал заполнения, угол внутреннего трения сыпучего материала, усилия, упругоподатливые опоры.

DOI:10.20291/2079-0392-2015-4-43-71

Abstract

A new design of round hopper is proposed, and engineering analysis method developed to analyze it.

Structural analysis method is based on using conical funnel as the main carrier element of the hopper with account to its spatial work. Bunker supports are assumed to be resilient, which allows reasonably determine the amount of support reaction in view of elastic compliance of each of the supports. Local effects of a concentrated force (support reaction of the hopper on the cone shell) are offset by local thickening of the funnel wall.

The analysis method also proposes to take into account the filling bulk material as an elastic bearing element of the hopper which is able to accommodate part of the horizontal component of the support reaction, thereby reducing the forces in bearing structure.

Keywords: hopper, silo, funnel, cylindrical part, filling bulk material, internal friction angle of the bulk material, forces, resilient supports.

DOI:10.20291/2079-0392-2015-4-43-71

Анвар Хабидович Ягофаров, канд. техн. наук, доцент; кафедра «Строительные конструкции и строительное производство» Уральского государственного университета путей сообщения, Екатеринбург, Россия. E-mail: AYagofarov@usurt.ru.

Хабид Ягофаров, д-р. техн. наук, профессор; кафедра «Строительные конструкции и строительное производство» Уральского государственного университета путей сообщения, Екатеринбург, Россия. E-mail: AYagofarov@usurt.ru.

Семен Макеевич Скоробогатов, член-корреспондент РААСН, д-р техн. наук, профессор; кафедра «Строительные конструкции и строительное производство» Уральского государственного университета путей сообщения, Екатеринбург, Россия.

Anvar Khabidovich Yagofarov, PhD in Engineering, Associate Professor, Building Structures and Building Industry Department, Ural State University of Railway Transport, Ekaterinburg, Russia. E-mail: AYagofarov@usurt.ru

Khabid Yagofarov, DSc in Engineering, Professor, Building Structures and Building Industry Department, Ural State University of Railway Transport, Ekaterinburg, Russia. E-mail: AYagofarov@usurt.ru

Semyon Makeyevich Skorobogatov, Corresponding Member of RAABS, DSc in Engineering, Professor; Building Structures and Building Industry Department, Ural State University of Railway Transport, Ekaterinburg, Russia.

Во многих отраслях промышленности возникает потребность в хранении, переработке и транспортировке сыпучих материалов. Чаще всего для этих целей используют металлические (стальные) бункера как наиболее удобные в изготовлении и эксплуатации.

На транспорте бункера применяют в железнодорожных бункерных эстакадах, прирельсовых и портовых складах сыпучих материалов. Кроме стационарных, на железнодорожном транспорте для транспортировки сыпучих материалов используют и передвижные бункера – хопперы, то есть саморазгружающиеся полувагоны в виде бункера. На речном транспорте – это саморазгружающиеся баржи с бункерами, в том числе гибкими, а на морском транспорте – сухогрузы с гибкими ограждающими стенками-переборками. Для транспортировки муки, цемента, бетона используют бункера на автомобильном шасси.

Родственной конструкцией бункеру является силос. Формально граница между ними определяется высотой цилиндрической или призматической части и, как минимум, тремя соотношениями:

- бункером считают емкость, у которой $h_{\Pi} \leq 1,5\sqrt{F}$, где h_{Π} и F соответственно высота и площадь горизонтального сечения цилиндра (призмы) [1];

- высота цилиндрической (призматической) части бункера не превышает величины $h_{\Pi} \leq 1,5A_{x(y)}$, где $A_{x(y)}$ – меньшая сторона горизонтального сечения цилиндра (призмы) [2];

- высота цилиндрической (призматической) части бункера $h_{\Pi} \leq A_{x(y)} \cdot \operatorname{tg}\varphi$, где φ – угол внутреннего трения сыпучего материала [3].

Формальное различие между бункером и силосом приводит к принципиальному отличию соответствующих расчетных схем. Так, например, в бункере, в отличие от силоса, пренебрегают силами трения сыпучего материала о стенки цилиндрической части.

Существующая методика расчета бункера заимствована и осталась практически без изменений с 1930-х гг. Суть

ее состоит в том, что вся нагрузка от конструкций воронки передается на цилиндрическую часть, которая рассматривается как кольцевая в плане балка, покоящаяся на нескольких опорах, то есть расчеты выполняются по плоской схеме.

Такая трактовка расчетной схемы, в которой несущую функцию выполняет цилиндрическая часть, приводит к конструктивно-расчетным недостаткам. Кроме того, расчет по плоской схеме противоречит требованию [4], предписывающему учитывать пространственную работу бункера.

В настоящей работе предложены новая конструкция круглого бункера и методика ее расчета, основанная на использовании конструкций воронки как основного несущего элемента бункера с учетом ее пространственной работы. Опоры бункера принимаются упругоподатливыми, что позволяет обоснованно определять величину опорной реакции с учетом упругой податливости каждой из опор. Местное воздействие сосредоточенной силы – опорной реакции бункера на коническую оболочку – компенсируется местным утолщением стенки воронки.

В предложенной методике предлагается учитывать сыпучий материал заполнения как упругий несущий элемент бункера, способный воспринимать часть горизонтальной составляющей опорной реакции, и тем самым уменьшить напряжения в опорных конструкциях.

Конструкция круглого бункера состоит из верхней цилиндрической и нижней конической частей.

Традиционно круглый бункер опирают на цилиндрическую часть (рис. 1). Новая конструкция отличается тем, что несущие функции передаются конической воронке, воспринимающей опорные реакции (рис. 2). Как следствие, отпадает надобность в горизонтальном кольце жесткости. Неподвижность опор в горизонтальном направлении обеспечивается вертикальными связями по колоннам [5].

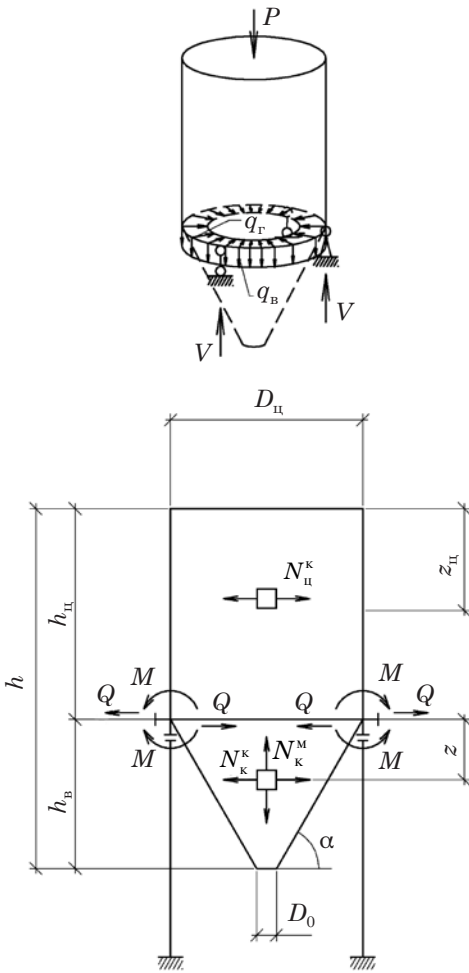


Рис. 1. Идея расчетной схемы и усилия в элементах существующего круглого бункера
 P – вес бункера с сыпучим материалом;
 V – опорные реакции; q_r и q_b – усилия на стыке конуса и цилиндра

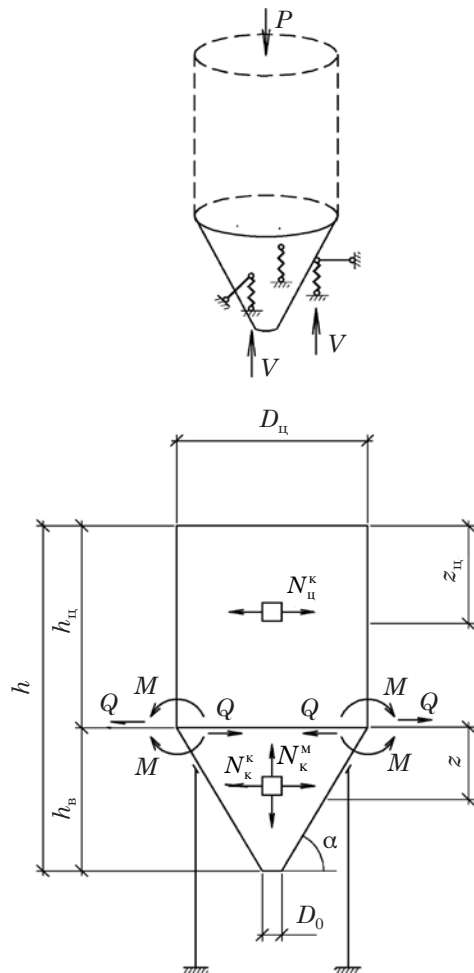


Рис. 2. Идея расчетной схемы предлагаемого круглого бункера с изображением усилий в элементах
 P – вес бункера с сыпучим материалом;
 V – опорные реакции

Такое конструктивное решение позволяет использовать коническую воронку как отдельную емкость без цилиндрической части. Также это способствует улучшению объединения круглых бункеров в многоячейковые системы путем замены цилиндрической части призматической.

Использование конической воронки в качестве несущего элемента бункера в вертикальном направлении обеспечивает экономию стали по сравнению

с существующей методикой, т.к. создает более короткий путь нагрузки от конструкций бункера до фундамента, а также обеспечивает рациональное распределение материала в соответствии с нагруженностью конструкции.

Все это приводит к упрощению конструкции и возможности расчета ее опорной зоны.

Бункер представлен цилиндрической частью и конической воронкой. В условиях, когда воронка является

несущим элементом бункера, цилиндрическая часть может быть заменена призматической. Последнее решение может оказаться полезным при образовании многоячеевых систем, когда обеспечивается максимальное использование объема здания.

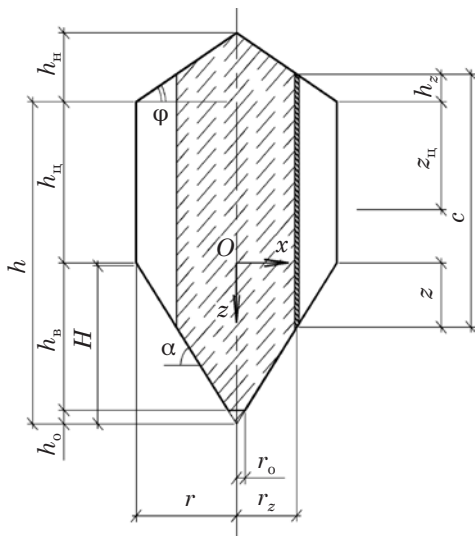


Рис. 3. Габариты сыпучего материала в бункере

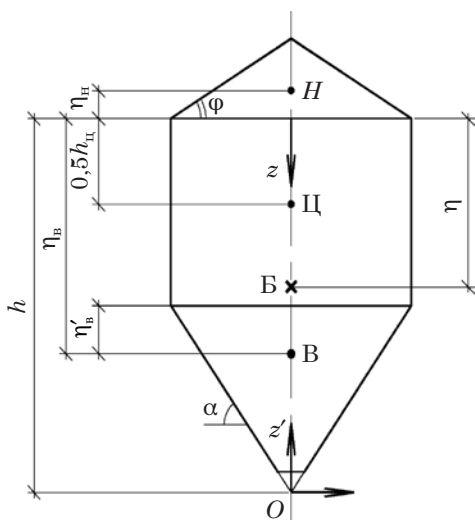


Рис. 4. Положение центра тяжести сыпучего материала бункера Б
Ц, В и Н – центры тяжести цилиндрической и конической частей бункера

Рассматривается простейшая геометрия бункера, когда коническая воронка представлена круговым прямым усеченным конусом. Число опор бункера – $m \geq 2$. Опоры расположены в плане симметрично относительно осей, проходящих через центр тяжести бункера.

Бункер представлен конической формой заполнения сыпучим материалом, где верхний конус насыпки отсыпается под углом естественного откоса для сухих хорошо сыпучих материалов близок к углу внутреннего трения. В дальнейших расчетах принимают угол наклона конуса насыпки равным углу внутреннего трения сыпучего материала $\phi_H = \phi$.

Габариты сыпучего материала в бункере и координаты его центра тяжести приведены на рис. 3 и 4. Развертка части конической воронки показана на рис. 5.

Основные формулы для определения параметров бункера и развертки стенок приведены в таблице 1.

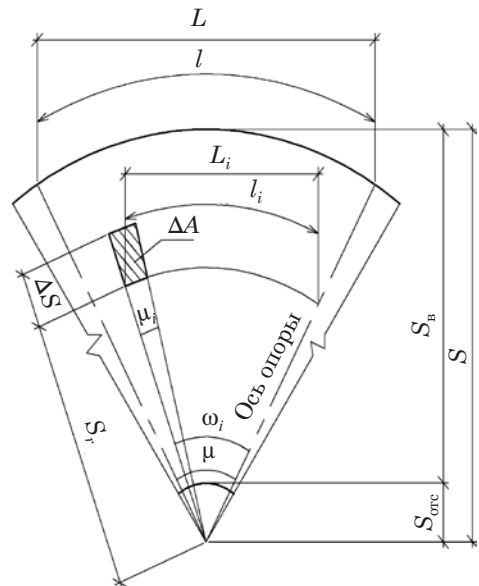


Рис. 5. Развертка части конической воронки прямого конуса

Таблица 1

Геометрические параметры бункера с воронкой в виде прямого конуса

Наименование	Формулы (получены А.Х. Ягофаровым)	Прим.
Основные параметры бункера (рис. 3 и 4)		
Тангенс угла наклона к горизонту образующей конуса	$\operatorname{tg}\alpha = \frac{h_b}{r - r_0} \quad (1)$	
Высота отсеченной части конуса	$h_0 = r_0 \cdot \operatorname{tg}\alpha \quad (2)$	
Объем бункера	$v = \frac{\pi \cdot r^2}{3} \left[h_n + 3h_{\text{ц}} + h_b \cdot \left(1 + \frac{r_0}{r} + \left(\frac{r_0}{r} \right)^2 \right) \right] \quad (3)$	
Объем бункера с учетом отсеченной части конуса	$v^n = \frac{\pi \cdot r^2 \cdot (3h_{\text{ц}} + h_n + H)}{3} \quad (4)$	
Апplikата центра тяжести бункера	$\eta = \frac{\left(\frac{v_{\text{ц}} \cdot h_{\text{ц}}}{2} + \eta_b \cdot v_b - \eta_n \cdot v_n \right)}{v} \quad (5)$	h_b, h_n см. ниже
Апplikата центра тяжести воронки	$\eta_b = h_{\text{ц}} + \eta'_b \quad (6)$	η'_b см. ниже
Расстояние от центра тяжести воронки до верхнего основания конуса: для усеченного конуса	$\eta'_b = \frac{h_b}{4} \cdot \frac{1 + 2\left(\frac{r_0}{r}\right) + 3\left(\frac{r_0}{r}\right)^2}{1 + \frac{r_0}{r} + \left(\frac{r_0}{r}\right)^2} \quad (7)$	
для полного конуса	$\eta'_b = \frac{H}{4} \quad (8)$	
Апplikата центра тяжести верхнего конуса (насышки), Н	$\eta_n = \frac{h_n}{4} \quad (9)$	
Объем насышки	$v_n = \frac{\pi r^2 \cdot h_n}{3} \quad (10)$	
Объем цилиндрической части	$v_{\text{ц}} = \pi r^2 \cdot h_{\text{ц}} \quad (11)$	
Объем воронки: усеченный конус	$v_b = \frac{\pi r^2}{3} h_b \left(1 + \frac{r_0}{r} + \left(\frac{r_0}{r} \right)^2 \right) \quad (12)$	
полный конус	$v_k = \frac{\pi r^2}{3} \cdot H \quad (13)$	

Наименование	Формулы (получены А.Х. Ягофаровым)	Прим.
Основные параметры элементарного бункера (заштрихован на рис. 3)		
Радиус	$r_z = (h - h_{ц} - z) \operatorname{ctg} \alpha$ (14)	
Объем элементарного бункера с усеченным конусом	$v_z = \frac{\pi \cdot r_z^2}{3} \left[3(1 + \kappa)(z + h_{ц} - h_{\phi}) + (h - h_{ц} - z)\kappa + \right. \\ \left. + (h_b - z) \cdot \left(1 + \frac{r_0}{r_z} + \left(\frac{r_0}{r_z} \right)^2 \right) \right]$ (15)	
Объем элементарного бункера с полным конусом	$v_z^n = \frac{\pi \cdot r_z^2}{3} \cdot (1 + \kappa) [2z + 2h_{ц} - 3h_{\phi} + h]$ (16)	
Основные параметры развертки стенок воронки (рис. 5)		
Длина образующей полного конуса	$S = \frac{H}{\sin \alpha}$ (17)	
Центральный угол между смежными опорами при симметричном расположении последних	$\mu = \frac{(2\pi \cdot \cos \alpha)}{m}$ (18)	
Длина дуги развертки с центральным углом ω_i	$l_i = S_r \cdot \omega_i,$ где ω_i выражен в радианах (19)	
Длина хорды с центральным углом ω_i	$L_i = 2S_r \cdot \sin \left(\frac{\omega_i}{2} \right)$ (20)	
Площадь элементарного кольца	$\Delta A = \mu_i \cdot \Delta S \cdot \frac{(2S_r + \Delta S)}{2}$ (21)	
Площадь развертки с центральным углом μ [3]	$A_{\mu} = \mu \frac{(S^2 - S_{\text{отс}}^2)}{2},$ где μ выражен в радианах (22)	
Площадь развертки [3]	$A_p = \frac{\pi(r^2 - r_0^2)}{\cos \alpha}$ (23)	

Буквенные обозначения величин

H – высота воронки (полный конус); $h_{ц}$ – высота цилиндрической (призматической) части; $h_{н}$ – высота насыпки (верхнего конуса); h_b – высота воронки (усеченный конус); h_0 – высота отсеченной части конуса; $S_{\text{отс}}$ – длина образующей отсеченной части конуса; r – радиус верхнего основания прямого конуса; r_0 – радиус нижнего основания прямого конуса; v_b – объем воронки (полный конус); $v_{ц}$ – объем цилиндрической (призматической) части; z – аппликата расчетного сечения; α – угол наклона стенок прямого конуса к горизонту; μ_i – угол развертки элементарного кольца; m – количество опор; $h_{\phi} = \frac{\kappa \cdot h_{ц}}{1 + \kappa}$, $\kappa = \frac{\operatorname{tg} \phi_{н}}{\operatorname{tg} \alpha}$ – коэффициенты по формуле (30).

Для новой конструкции бункера разработан комплексный инженерный метод расчета, включающий расчет оболочек на действие активных и пассивных нагрузок [6]. Результатом расчета служат толщины оболочек в опорной зоне и за ее пределами. Особое внимание уделяется расчету на действие пассивных нагрузок – опорных реакций бункера. Этот расчет выполняется в два этапа:

- 1) приближенно (вручную) определяют сечения опорной зоны бункера;
- 2) расчет выполняют на ЭВМ по программе, реализующей метод конечных элементов, где уточняются результаты расчета вручную.

Для упрощения приведен метод расчета для стенок бункера с прямой воронкой.

Нагрузки, действующие на бункер

Нагрузки, действующие на бункер, следует разделить на активные и пассивные.

Активные: действующие на перекрытие или кровлю, от сыпучего материала заполнения, от площадок и оборудования, подвешенного к бункеру, атмосферные (ветер, снег).

Нагрузка от кровли или перекрытия может восприниматься цилиндрической (призматической) частью бункера или воронкой (рис. 6). В последнем случае нагрузка от перекрытия интенсивностью g раскладывается на скатную и горизонтальную составляющие, соответственно равные

$$g^c = \frac{g}{\sin\alpha}, \tag{24}$$

$$g^r = \frac{g}{\text{ctg}\alpha}, \tag{25}$$

где α – угол наклона стенок конуса к горизонту.

Ветровая нагрузка g^w характерна для бункера, расположенного вне помещения, и определяется по СНиП [7]. Основной нагрузкой служит давление сыпучего материала на стенки бункера. Оно принимается исходя из общепринятых положений и предположений: трение сыпучего материала о стенки бункера отсутствует; горизонтальное давление сыпучего материала на цилиндрические (призматические) и конические стенки описывается теорией Кулона; по правилу Ранкина на коническую часть бункера действует

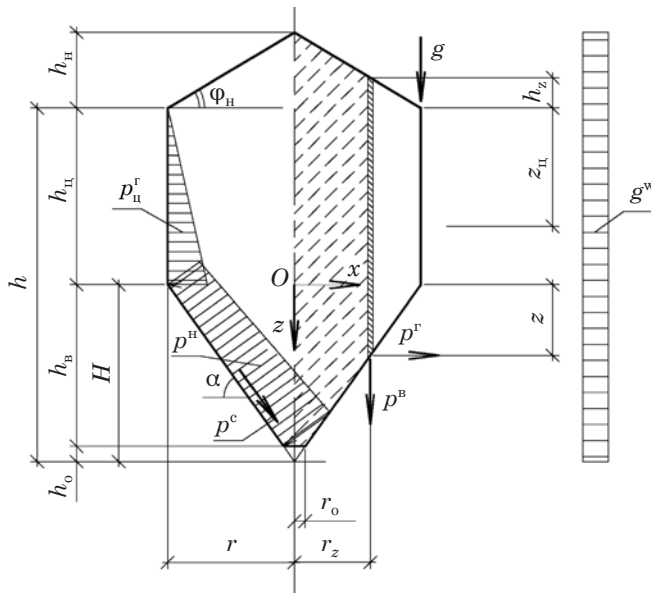


Рис. 6. Активные нагрузки, действующие на бункер

вертикальное и горизонтальное давление сыпучего материала.

На рассмотрение представлен общий случай бункера с наклонной воронкой.

Нормативные нагрузки от давления сыпучего материала на стенки бункера приведены в таблице 2.

Активные нагрузки, действующие на бункер, представлены на рис. 6.

Таблица 2

Нормативные нагрузки от давления сыпучего материала на стенки бункера (рис. 6)

Наименование	Формула	Прим.
Цилиндрическая стенка		
Горизонтальное давление [1]	$p_{\text{ц}}^r = K_r \cdot \rho \cdot z_{\text{ц}}$ (26)	
Коническая стенка		
Горизонтальное давление [1]	$p^r = K_r \cdot \rho (z + h_{\text{ц}} + h_z) = K_r \cdot p^b$ (27)	
Вертикальное давление [1]: преобразованные с учетом h_{φ} и K	или $p^b = \rho (z + h_{\text{ц}} + h_z)$ (28)	
	$p^b = \rho (1 + K) (z + h_{\text{ц}} - h_{\varphi})$, (29)	
	где $h_{\varphi} = \frac{K \cdot h_{\text{ц}}}{1 + K}$, $K = \frac{\text{tg}\varphi_{\text{н}}}{\text{tg}\alpha}$ (30)	
Коэффициент горизонтального давления [1]: для случая конического заполнения верха бункера;	$K_r = \cos^2\varphi$ (31)	
	$K_r = \text{tg}^2\left(45^\circ - \frac{\varphi}{2}\right)$ (32)	

Буквенные обозначения величин

ρ – удельный вес сыпучего материала заполнения; $z_{\text{ц}}$ – аппликата расчетного сечения цилиндрической части ($0 \leq z_{\text{ц}} \leq h_{\text{ц}}$).

Остальные обозначения – по таблице 1.

По определению вертикальное и горизонтальное давления сыпучего материала действуют на проекции наклонной стенки конуса соответственно на вертикаль и на горизонталь.

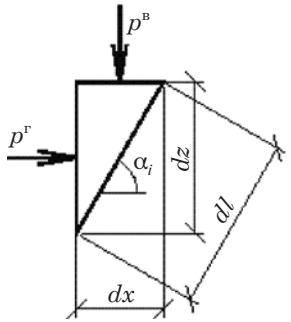
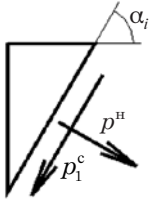
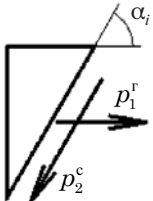
Для корректировки расчетной схемы эти нагрузки заменяют распре-

деленными на наклонную стенку конуса.

Вертикальное и горизонтальное давления заменяют скатным, нормальным и горизонтальным. Значения новых нагрузок показаны в таблице 3.

Таблица 3

Приведение нагрузок, действующих на стенки конуса, к нормальным, скатным и горизонтальным

Рисунок	Формула (формулы (35) и (36) получены А.Х. Ягофаровым)	Наименование	Номер формулы
	$p^r = \kappa_r \cdot p^b$ $p^b = \rho(z + h_u + h_z)$	<p>Горизонтальное давление сыпучего материала на стенку конуса [1]</p> <p>Вертикальное давление сыпучего материала на стенку конуса [1]</p>	
	$p^h = \kappa_n \cdot p^b$ $p_1^c = \kappa_c \cdot p^c$	<p>Нормальное давление сыпучего материала на стенку конуса [1]</p> <p>Скатное давление сыпучего материала на стенку конуса [1]</p>	<p>(33)</p> <p>(34)</p>
	$p_1^r = \frac{p^b}{\sin \alpha} \times (\cos^2 \alpha - \kappa_r \cdot \sin^2 \alpha)$ $p_2^c = p^c \cdot \operatorname{ctg} \alpha$	<p>Горизонтальное давление сыпучего материала на стенку конуса</p> <p>Скатное давление сыпучего материала на стенку конуса</p>	<p>(35)</p> <p>(36)</p>
$\kappa_n = (\cos^2 \alpha + \kappa_r \cdot \sin^2 \alpha)$ $\kappa_c = (1 - \kappa_r) \cdot 0,5 \cdot \sin 2\alpha$ $\kappa_r \text{ (см. формулы (31) и (32))}$	<p>Коэффициент нормального давления</p> <p>Коэффициент скатного давления</p> <p>Коэффициент горизонтального давления</p>	<p>(37)</p> <p>(38)</p>	

Буквенные обозначения величин

φ – угол внутреннего трения сыпучего материала заполнения; α – угол наклона стенок прямого конуса к горизонту.

Остальные обозначения – по таблицам 1 и 2.

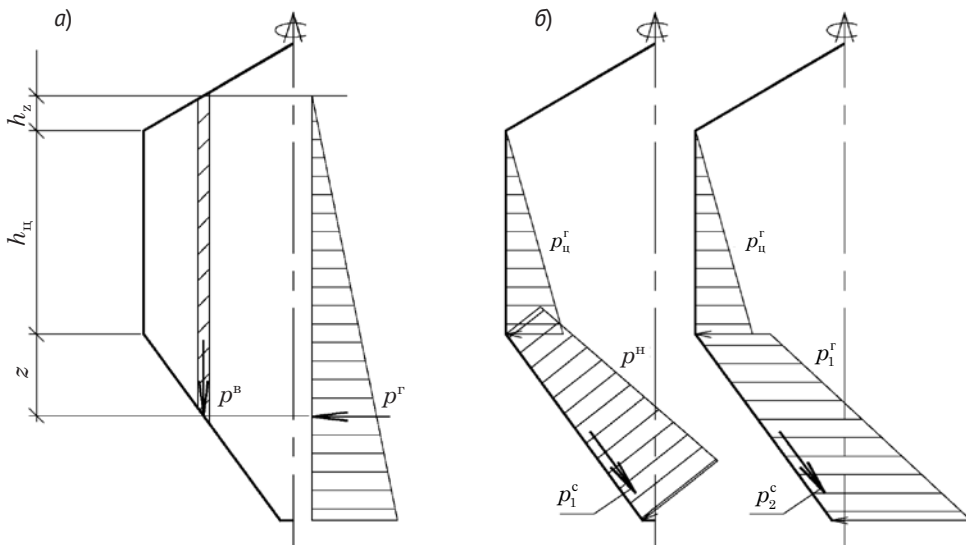


Рис. 7. Схема (а) эпюры (б) давления сыпучего материала

Пассивные нагрузки являются следствием активных. К ним относятся: опорные реакции V_p , пассивный отпор (распор) сыпучего материала.

Активные нагрузки создают в стенках круглого бункера безмоментные усилия на некотором удалении от мест изменения формы сечения стенок, а также от жесткостных элементов, например, ребер, в которых возникает краевой эффект.

Активные нагрузки создают усилия в кольцевом и в меридиональном направлении и усилия краевого эффекта в местах примыкания конуса к цилиндру и в местах опирания бункера.

Важными элементами конструкции являются опоры, воспринимающие вес бункера и сыпучего материала. Традиционно бункер опирают цилиндрической частью, где цилиндр воспринимает реактивные (пассивные) нагрузки. В данной работе рассматривается опирание конической частью: опирание в верхней (по высоте) и в средней зоне конуса.

В случае такого опирания необходимо выяснить усилия, возникающие в стенках бункера, характер изменения усилий по высоте конструкции, их максимальные значения.

Усилия, возникающие в стенках бункера, – это результат действия активных

нагрузок, которые распределяются на цилиндрическую часть по теории Кулона и на коническую часть – по правилу Ранкина; усилия растягивающие. Активные нагрузки действуют на перекрытие или кровлю и нагрузки от сыпучего материала заполнения.

Для решения поставленной задачи используются известные формулы усилий, возникающих в стенках цилиндрической и конической частей бункера. Для наглядности они представлены эпюрами.

Принимается нормативное значение нагрузок. Расчетным состоянием бункера считается момент полного его заполнения.

Формулы усилий в стенках бункера с прямой воронкой представлены в таблице 4. Эпюры усилий показаны на рис. 8 и 9.

Усилия краевого эффекта в месте сопряжения конуса с цилиндром определяют методом сил как для упруго-пластичного рамного узла, нагруженного горизонтальным и нормальным давлениями сыпучего материала.

Расчеты показали, что для предложенной конструкции бункера напряжения от усилий краевого эффекта в месте сопряжения конуса с цилиндром незначительны и ими можно пренебречь.

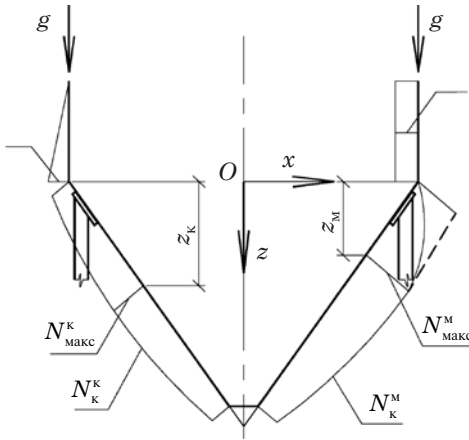


Рис. 8. Эпюры усилий при опирании бункера в верхней зоне воронки
 ----- усилия при подвешивании конуса к цилиндру (при традиционной конструкции бункера)

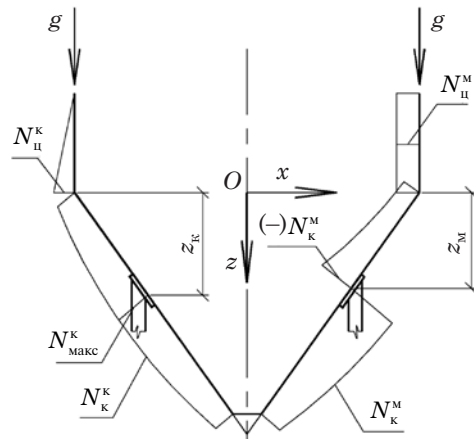


Рис. 9. Эпюры усилий при опирании бункера в средней зоне воронки

Таблица 4

Значения усилий в стенках бункера с прямой воронкой (нормативные значения) (рис. 3, 8 и 9)

Наименование	Формула ((42), (43), (45), (46), (48) получены А.Х. Ягофаровым)	Прим.
Цилиндрическая часть (рис. 3, 8 и 9)		
Сжимающее усилие в меридиональном направлении (от нагрузок на перекрытие или кровлю)	$N_{\text{ц}}^{\text{м}} = \frac{g \cdot D_{\text{ц}}}{4} \quad (39)$ На 1 п.м. кольца	
Растягивающее усилие в кольцевом направлении [13]	$N_{\text{ц}}^{\text{к}} = \frac{p_{\text{ц}}^{\text{г}} \cdot D_{\text{ц}}}{2} \quad (40)$	$p_{\text{ц}}^{\text{г}}$ см. формулу (26)
Коническая часть при опирании в верхней зоне (рис. 3, 8)		
Растягивающее усилие в кольцевом направлении [13]	$N_{\text{к}}^{\text{к}} = \frac{r_z \cdot p^{\text{н}}}{\sin \alpha} \quad (41)$	$p^{\text{н}}$ см. формулу (33)
Апplikата сечения с максимальным значением кольцевого усилия	$z_{\text{к}} = \frac{h - 2h_{\text{ц}} + h_{\text{ф}}}{2} \geq 0 \text{ при } 0 \leq z_{\text{к}} \leq h_{\text{в}} \quad (42)$	
Максимальное значение кольцевого усилия	$N_{\text{макс}}^{\text{к}} = \frac{G(h - h_{\text{ф}})^2}{4} \quad (43)$	G см. формулу (47)
Растягивающее усилие в меридиональном направлении [13]	$N_{\text{к}}^{\text{м}} = \frac{\rho \cdot v_z}{2\pi r_z \cdot \sin \alpha} \quad (44)$	v_z см. формулу (15)
Ордината сечения с максимальным значением меридионального усилия	$z_{\text{м}} = \frac{h - 4h_{\text{ц}} + 3h_{\text{ф}}}{4} \geq 0 \text{ при } 0 \leq z_{\text{м}} \leq h_{\text{в}} \quad (45)$	h_j см. формулу (30)

Наименование	Формула ((42), (43), (45), (46), (48) получены А.Х. Ягофаровым)	Прим.
Максимальное значение меридионального усилия	$N_{\max}^M = \frac{3 \cdot G}{16 \cdot \kappa_H} (h - h_\phi)^2 \quad (46)$	G см. формулу (47)
Коэффициент	$G = \frac{\kappa_H \cdot \rho \cdot (1 + \kappa) \cdot \operatorname{ctg} \alpha}{\sin \alpha} \quad (47)$	к см. формулу (30)
Коническая часть при опирании в средней зоне (рис. 3, 8 и 9)		
Максимальное сжимающее усилие в меридиональном направлении	$(-)N_{\kappa}^M = \frac{(h - h_{\text{ц}})^2 \left[3g + 3h_{\text{ц}} + h_{\text{н}} + H - \left(1 - \frac{z}{H}\right)^2 \times \right.}{6(h - h_{\text{ц}} - z) \cdot \operatorname{tg} \alpha \cdot \sin \alpha} \left. \times (1 + \kappa)(2z + 2h_{\text{ц}} - 3h_{\phi} + h) \right] \quad (48)$	κ, h _φ см. формулу (30)
Растягивающее усилие в меридиональном направлении ниже места опирания	По формуле (44)	
Растягивающее усилие в кольцевом направлении	По формуле (41)	

Буквенные обозначения величин

g – приведенная равномерно распределенная нагрузка на перекрытие или кровлю (на единицу площади). Остальные обозначения – по таблицам 1–3 и рис. 3 и 6.

При определении опорных реакций бункер можно рассматривать как абсолютно твердое тело, покоящееся на точечных или линейных упругоподатливых опорах. Опорные реакции бункера определяются условиями равновесия бункера в целом, а также условиями упругого перемещения опор. Необходимость рассмотрения последнего условия обусловлена тем, что бункер на четырех и более опорах является статически неопределимой системой в отношении опорных реакций. Если учесть, что число разрешающих уравнений равновесия бункера как твердого тела в вертикальном направлении равно трем, то степень статической неопределимости бункера на m опорах равно $m - 3$.

Если есть линейная опора, то ее можно привести к точечной, расположенной в центре тяжести линейной опоры и эквивалентной податливости.

Определение опорных реакций бункера как статически неопределимой

системы возможно выполнить на основе распределения силового мотора на составляющие силы упругости [8].

Суть метода в следующем. Известно, что произвольная система сил и пар приводится к силовому мотору, состоящему из главного вектора P и главного момента M , оси которых расположены под углом ν друг к другу [9].

В практических расчетах конструкций нередко приходится решать обратную задачу, т.е. распределять силовой моток на составляющие силы и пары сил в направлении связей и опор. На сегодня эта задача решена, в том числе приближенно для некоторых частных случаев [10].

Ниже приводится общее решение задачи распределения силового мотора с углом $\nu = 90^\circ$ на составляющие силы и пары сил. Задача решена двумя способами – на основе использования закона Гука и гипотезы плоских сече-

ний. Это значит, что силовой мѳтор раскладывается на силы упругости. Оба способа подтверждаются расчетом на ЭВМ.

Очевидно, что составляющие силы и пары сил приходятся на связи и опоры, которые характеризуются в том числе податливостью и жесткостью. Податливость – это упругое перемещение опоры от единичной силы, а жесткость – сила, необходимая для перемещения опоры на единицу. В расчетах удобно пользоваться величинами «относительная податливость (c)» и «относительная жесткость (d)». Они связаны зависимостью

$$c \cdot d = 1. \quad (49)$$

На рис. 10 и 11 приведены схемы расположения на горизонтальной плоскости следа главного вектора и следов составляющих сил. В дальнейшем под главным вектором понимают вес бункера, а под составляющей силой – опорную реакцию или опорную точку. Вес бункера концентрируют в центре тяжести конструкции, который на рис. 10 и 11 показан крестиком (+).

Первый способ распределения силового мѳтора на параллельные силы упругости (рис. 10) основан на трех уравнениях равновесия и на дополнительных (m – 3) уравнениях плоскости в срединных координатных осях, проведенной через три произвольные точки – опоры i и i ± 1, не лежащие на одной прямой.

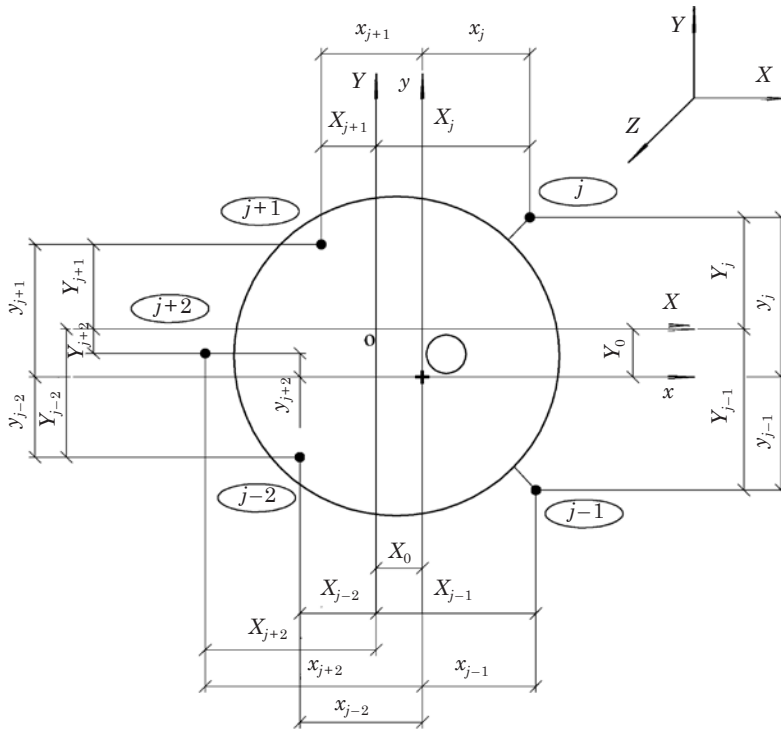


Рис. 10. Первый способ определения опорных реакций статически неопределимого бункера (основан на использовании формулы плоскости)

Условные обозначения:

- + – след главного вектора;
- – след составляющей силы упругости (опорная точка);

j – порядковый номер силы упругости (опоры);

o – геометрический центр следов сил упругости

В данном расчете используется гипотеза плоских сечений. Для бункера как простейшей системы это означает, что плоское сечение, пересекающее линии опор и проведенное по воронке порожнего бункера, остается плоским после заполнения бункера. В математическом виде это выражается матрицей плоскости в формуле (59) таблицы 5.

Уравнение равновесия бункера описывается формулами (56)–(58) таблицы 5.

Смысл формулы (59) в том, что плоскость, проведенная по незагруженным

опорам, остается плоскостью и после загрузки опор главным вектором, но только перемещается в силу упругой податливости опор.

По формуле (59) составляют $(m - 3)$ уравнения плоскости в дополнение к трем уравнениям равновесия системы сил (формулы (56)–(58)). Затем решением системы из m линейных уравнений получают корни уравнений, т.е. искомые опорные реакции.

Второй способ определения опорных реакций – аналитический (рис. 11). Расчетная формула получена по аналогии

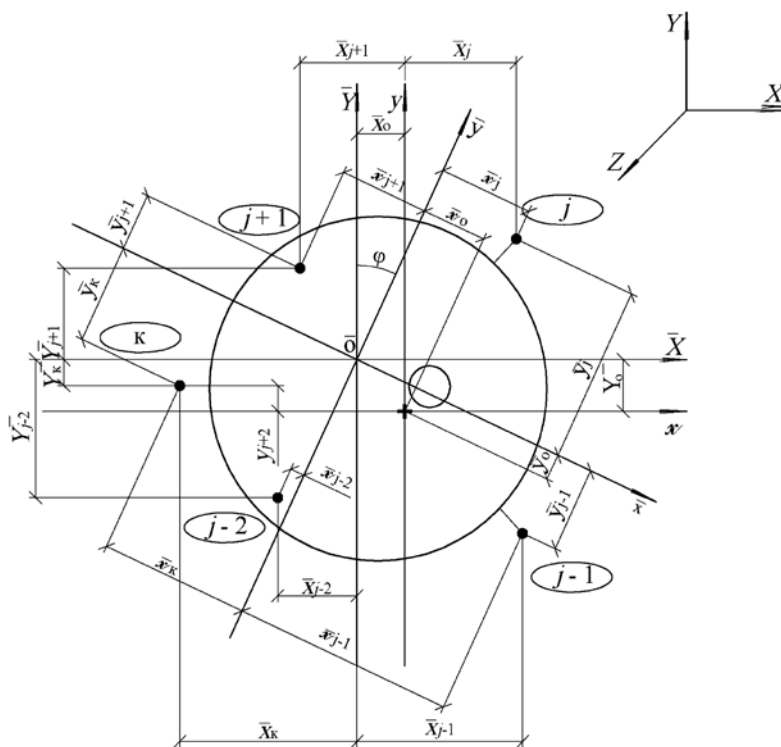


Рис. 11. Второй способ определения опорных реакций статически неопределимого бункера (аналитический)

Условные обозначения:

- ⊕ – след главного вектора;
- – след составляющей силы упругости (опорная точка);
- \textcircled{j} – порядковый номер силы упругости (опоры);
- \textcircled{k} – рассматриваемая сила упругости;
- \bar{o} – центр приведенных опор

с формулой теории упругости для расчета напряжений в сечении неоднородного упругого бруса, подверженно-го косому внецентренному сжатию или растяжению [9].

Формула (63) таблицы 5 приводит смысл определения опорной реакции бункера на примере произвольной опорной точки К (рис. 11).

Оба способа дают одинаковый результат, т.к. они основаны на одной и той же гипотезе плоских сечений. Каждый из них имеет свою рациональную область применения.

Аналитический способ удобен в случае, когда известно направление главных центральных осей, т.е. когда система опор имеет хотя бы одну ось симметрии по координатам и жесткостям.

Пользование формулой плоскости совместно с уравнениями равновесия системы наиболее удобно при небольшом числе опор, расположенных несимметрично относительно обеих осей.

Способы определения опорных реакций бункера приведены в таблице 5.

Таблица 5

Опорные реакции бункера (рис. 10 и 11)

Наименование	Формула	Прим.
Геометрические параметры расположения опорных реакций в плане (рис. 10 и 11)		
Координаты геометрического центра опорных точек (0) [8]	$X_0 = \sum_{j=1}^m \frac{x_j}{m} \text{ и } Y_0 = \sum_{j=1}^m \frac{y_j}{m} \quad (50)$	
Координаты центра приведенных опор ($\bar{0}$) [8]	$\bar{X}_0 = \frac{\sum_{j=1}^m d_j \cdot x_j}{\sum_{j=1}^m d_j} \text{ и } \bar{Y}_0 = \frac{\sum_{j=1}^m d_j \cdot y_j}{\sum_{j=1}^m d_j} \quad (51)$	
Угол наклона главных центральных осей	$\text{tg}2\omega = - \frac{2 \sum_{j=1}^m d_j \cdot \bar{X}_j \cdot \bar{Y}_j}{\left(\sum_{j=1}^m d_j \cdot \bar{Y}_j^2 - \sum_{j=1}^m d_j \cdot \bar{X}_j^2 \right)} \quad (52)$	
Переход от системы координат в центральных осях на систему координат в главных центральных осях [14]	$\bar{X}_j = x_j - \bar{X}_0 \text{ и } \bar{Y}_j = y_j - \bar{Y}_0 \quad (53)$	
	$\bar{x}_j = \bar{X}_j \cdot \cos\omega + \bar{Y}_j \cdot \sin\omega \quad (54)$	
	$\bar{y}_j = -\bar{X}_j \cdot \sin\omega + \bar{Y}_j \cdot \cos\omega \quad (55)$	
Способы определения опорных реакций		
Первый способ с применением уравнений равновесия бункера (рис. 10)	$\sum_{j=1}^m V_j = P \quad (56)$	
	$\sum M_x = 0 \quad (57)$	
	$\sum M_y = 0 \quad (58)$	

Наименование	Формула	Прим.
	$\begin{vmatrix} X - X_j & Y - Y_j & Z - Z_j \\ X_{j+1} - X_j & Y_{j+1} - Y_j & Z_{j+1} - Z_j \\ X_{j-1} - X_j & Y_{j-1} - Y_j & Z_{j-1} - Z_j \end{vmatrix} = 0 \quad (59)$ <p>$X = Y = 0$ – начало координат в геометрическом центре опорных точек; (60)</p> <p>$Z_j = c_j \cdot V_j$ – перемещение j-й опоры под воздействием опорной реакции; (61)</p> <p>$Z = \frac{\sum_{j=1}^m Z_j}{m}$ – перемещение геометрического центра опорных точек (62)</p>	
<p>Второй способ – аналитический (рис. 11). Приведена формула для определения опорной реакции на примере точки К</p>	$V_k = \frac{P \cdot d_k (1 \pm \bar{x}_k \cdot \Pi_x \pm \bar{y}_k \cdot \Pi_y)}{\sum_{j=1}^m d_j} \quad (63)$ $\Pi_x = \frac{\bar{x}_0 \cdot \sum_{j=1}^m d_j}{\sum_{j=1}^m d_j \cdot \bar{x}_j^2} \text{ и } \Pi_y = \frac{\bar{y}_0 \cdot \sum_{j=1}^m d_j}{\sum_{j=1}^m d_j \cdot \bar{y}_j^2} \quad (64)$ <p>Знак (+) принимается, если составляющая главного момента $M_x = P \cdot \bar{x}_0$ и $M_y = P \cdot \bar{y}_0$ догружает искомую опору, знак (–) принимается, если составляющая главного момента разгружает опору.</p>	

Буквенные обозначения величин

Координатные оси: x и y – с началом на следе главного вектора; X и Y – срединные с началом в геометрическом центре опорных точек (0); \bar{X} и \bar{Y} – центральные с началом в центре приведенных опор ($\bar{0}$); \bar{x} и \bar{y} – главные центральные; $c_i = \frac{1}{d_i}$ – относительная податливость j -й опоры; $d_i = \frac{1}{c_i}$ – относительная жесткость j -й опоры; m – количество опор; V_j – опорная реакция j -й опоры; P – вес бункера; $\sum M_x$ и $\sum M_y$ – сумма моментов сил в направлении координатных осей.

Цилиндрическая часть рассчитывается независимо от условий опирания бункера на конус.

При наличии нагрузок вдоль образующей стенка испытывает двухосное напряженное состояние: в кольцевом направлении она растянута,

в меридиональном сжата. В этом случае необходимо обеспечить прочность и устойчивость стенки цилиндрической части.

Формулы и пояснения к ним при расчете на прочность и устойчивость приведены в таблице 6.

Таблица 6

Расчет стенок цилиндрической части на действие активных нагрузок

Наименование	Формула	Примечание
Расчет на прочность [15]	$\sigma_{пр} = \sqrt{\sigma_k^2 + \sigma_k^2 - \sigma_k \cdot \sigma_M} \leq R_{wy} \cdot \gamma_c \quad (65)$	
Напряжение в кольцевом направлении стенки	$\sigma_k = \frac{\gamma_f \cdot N_{II}^k}{t_{II}}, \text{ где } \gamma_f = 1,3 \quad (66)$	N_{II}^k , см. формулу (40)
Напряжение в меридиональном направлении	$\sigma_M = \frac{\gamma_f \cdot N_{II}^M}{t_{II}}, \text{ где } \gamma_f = 1,3 \quad (67)$	N_{II}^M , см. формулу (39)
Расчет на устойчивость [15]	$\sigma_M \leq \gamma_c \cdot \sigma_{cr}^{II}, \text{ где } \gamma_c = 0,8 \quad (68)$	σ_{cr}^{II} , см. ниже
Критическое напряжение [16]	$\sigma_{cr}^{II} = \frac{c \cdot K_0 \cdot E \cdot t_{II}}{r_{II}} \quad (69)$	c, K_0 , см. ниже
Коэффициент с с учетом удерживающего влияния сыпучего материала заполнения [16]	$c = 0,2 \text{ при } 1300 \leq \frac{r_{II}}{t_{II}} \leq 3000 \quad (70)$	
Коэффициент « K_0 », учитывающий удерживающее влияние за счет упругости сыпучего материала [16]	$K_0 = \sqrt{1 + \frac{r_{II}^2 \cdot K_{II}}{E \cdot t_{II}}} \quad (71)$	K_{II} , см. формулу (72)
Коэффициент постели сыпучего материала « K_{II} » [9]	$K_{II} = \frac{E_c}{R(1 - \nu_c^2)} \quad (72)$	

Буквенные обозначения величин

R_{wy} – расчетное сопротивление стыкового сварного шва растяжению по пределу текучести; $\gamma_f = 1,3$ – коэффициент надежности по нагрузке для бункеров [1]; $\gamma_c = 0,8$ – коэффициент условий работы для резервуаров [1]; N_{II}^k – растягивающее усилие в кольцевом направлении; N_{II}^M – сжимающее усилие в меридиональном направлении; t_{II} – толщина цилиндрической части; r_{II} – радиус цилиндрической части; E – модуль упругости стали; E_c – модуль деформации сыпучей среды; ν_c – коэффициент Пуассона сыпучей среды; R – радиус штампа при испытании грунтов.

Расчет стенок конуса исходит из того, что опирание осуществляется в верхней зоне воронки.

В этом случае стенка испытывает двухосное растяжение. Основные формулы и пояснения к ним приведены в таблице 7.

Анализ напряженного состояния стенок конической части показал сле-

дующее: для подавляющего большинства параметров круглых бункеров, а также на большей области стенок преобладают усилия меридионального направления; для большинства параметров бункеров толщина стенки $t_k = 4$ мм обеспечивает достаточную прочность.

Таблица 7

Расчет стенок конической части на действие активных нагрузок		
Наименование	Формула (формула (75) получена А. Х. Ягофаровым)	Прим.
Расчет на прочность [15]	$\sigma_{пр} = \sigma_{max} \leq R_{wy} \cdot \gamma_c \quad (73)$	
Толщина конической стенки	$t_k = \frac{\gamma_f \cdot N_{max}}{\gamma_c \cdot R_{wy}} \quad (74)$	
Параметры бункера с конструктивной толщиной стенки конуса 4 мм	$(h - h_\phi)^2 \leq \frac{R_{wy} \cdot \text{tg} \alpha \cdot \sin \alpha}{58,6 \cdot \rho (1 + \kappa)} \quad (75)$	κ, h_ϕ , см. формулу (30)

Буквенные обозначения величин

R_{wy} – расчетное сопротивление стыкового сварного шва растяжению по пределу текучести, равное $0,85R_y$ – без физического контроля качества шва и R_y – с физическим контролем качества шва; $\gamma_f = 1,3$ – коэффициент надежности по нагрузке для бункеров [1]; $\gamma_c = 0,8$ – коэффициент условий работы для резервуаров [1]; N_{max} – максимальное из усилий по формулам (43) и (46); t_k – толщина стенки конической части; σ_{max} – напряжение в стенке от максимального из усилий по формулам (43) и (46). Остальные обозначения – по таблицам 1, 2 и 6.

Расчетная схема бункера базируется на том, что несущей конструкцией является коническая воронка. При этом опирание производится в верхней зоне воронки.

Цель расчета заключается в том, чтобы определить местное усиление стенок для восприятия сосредоточенной силы в виде опорной реакции.

Для упрощения расчетов расчетную схему стенки конической части представляют в развернутом виде (рис. 12).

На стенку действуют следующие нагрузки.

1. Сосредоточенная сила в виде скатной составляющей опорной реакции T приложена в верхней зоне вдоль образующей в пределах линии $h_{п}$. Центральный угол между соседними силами μ определяется по формуле (18).

2. По верхней кромке стенки действует равномерно распределенная нагрузка – скатная составляющая меридионального усилия в цилиндрической части $N_{к}^0$.

3. На всей боковой поверхности предложена распределенная нагрузка, представляющая собой скатную составляющую вертикального давления сыпучего

материала p_2^c . Она определяется по формуле (36).

Расчет такой пластины выполняется на ЭВМ по одной из типовых программ, реализующих метод конечных элементов.

Предварительные сечения участков стенок – марку стали и толщину – задают по приближенной инженерной методике расчета.

В инженерном методе расчета для упрощения не учитывают взаимодействие цилиндрической и конической стенок в вертикальном направлении.

В верхней части стенки выделяют условную опорную зону S_0 , где ощутимо возмущающее влияние сосредоточенной силы, представленной опорной реакцией T .

Опорную зону выделяют следующим образом. От нижней точки опорной линии B проводят линии под углом ξ к опорной линии, а дугу окружности с центром в точке O , проходящую через точку пересечения этих наклонных линий, принимают за границу опорной зоны.

Габарит участка опорной зоны или опорный участок (l_i) назначают

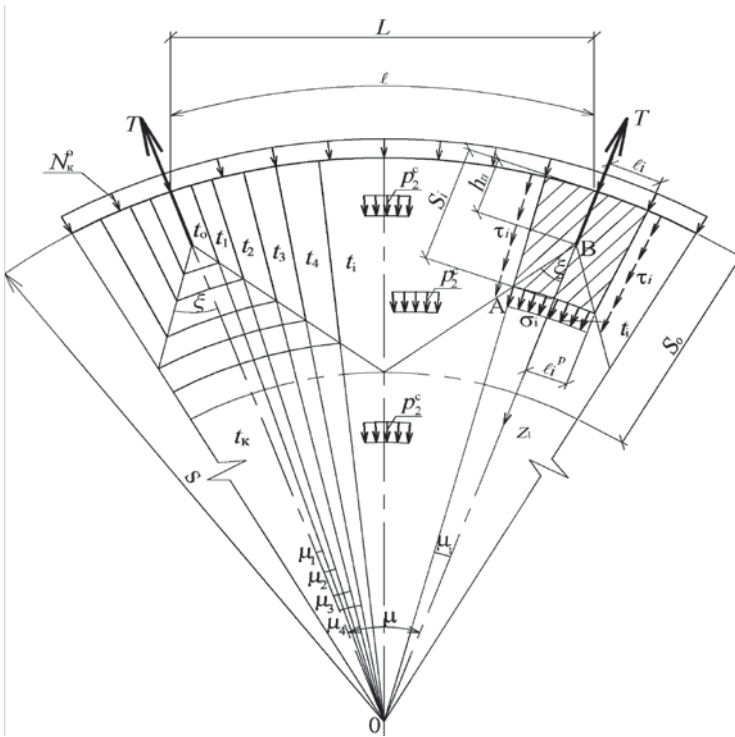


Рис. 12. Расчетная схема стенки конической части при опирании бункера в верхней зоне воронки

конструктивно в зависимости от размеров бункера и действующих нагрузок. На рис. 12 этот участок заштрихован.

Считают, что ниже опорной зоны стенка воспринимает только растяги-

вающие усилия кольцевого и меридионального направлений.

Основные формулы инженерного метода расчета приведены в таблице 8.

Таблица 8

Расчет стенок воронки при опирании бункера верхней зоной конической части. Инженерный метод расчета (рис. 12)

Наименование	Формула (А.Х. Ягофаров)	Прим.
Опорный участок (заштрихован)		
Среднее касательное напряжение по меридиональной границе S_i [17]	$\tau_i = \kappa_i \cdot \sigma_i$ (76)	κ_i, σ_i , см. формулы ниже
Переходной коэффициент от нормальных напряжений к касательным [17]	$\kappa_i = 0,58 \left[1 - 4 \left(1 - \frac{\beta_i}{\beta} \right) \frac{\beta_i}{\beta} \right]$ (77)	
Нормальные напряжения по кольцевой границе l_i^p	$\sigma_i = \frac{0,5 \cdot T - \Delta P_i^c}{(\kappa_i \cdot S_i + l_i^p) \cdot t_i}$ (78)	ΔP_i^c , см. формулу (82)

Наименование	Формула (А.Х. Ягофаров)	Прим.
Высота опорного участка	$S_i = \frac{(h_{\text{п}} + 1,5l_i)}{(1 + 1,5\beta_i)} \quad (79)$	
0,5 ширины опорного участка		
нижняя грань	$l_i^p = (S - S_i)\beta_i \quad (80)$	
верхняя грань	$l_i = S \cdot \beta_i \quad (81)$	
Нагрузка от сыпучего материала, действующая на 0,5 площади опорного участка	$\Delta P_i^c = \frac{1}{6} \cdot \rho \cdot \beta_i \cdot S_i \cdot \text{ctg} \alpha \times \times [3h_{\text{п}}(2S - S_i) + S_i(1 + \kappa)(3S - 2S_i) \cdot \sin \alpha] \quad (82)$	к, S _i , см. формулы (30), (79)
Угол ξ [17]	$\text{ctg} \xi = 1,5 \quad (83)$	
Толщина опорного участка стенки	$t_0 = \frac{\gamma_f \cdot \kappa_{\text{ср}} \cdot T}{2 \cdot h_{\text{п}} \cdot R_s \cdot \gamma_c} \geq 6 \text{ мм} \quad (84)$	
Опорная зона		
Толщина стенки на участках, удаленных от опорной линии на угол m, принимается максимальной из двух условий	$\begin{cases} t_i = \frac{\gamma_f (0,5T - \Delta P_i^c)}{(\kappa_i \cdot S_i + l_i^p) R_{wy}^i \cdot \gamma_c} \geq 4 \text{ мм}; \\ t_i = \frac{\gamma_f \cdot N_{\kappa}}{R_{wy}^i \cdot \gamma_c} \end{cases} \quad (85)$	ΔP _i ^c , см. формулу (82), остальные величины выше
Ниже опорной зоны		
Толщина стенки	$t_{\kappa} = \frac{\gamma_f \cdot N_{\text{max}}}{\gamma_c \cdot R_{wy}^i} \geq 4 \text{ мм} \quad (86)$	см. формулу (74)

Буквенные обозначения величин

$T = \frac{V}{\sin \alpha}$ – скатная величина опорной реакции V; h_п – длина приложения опорной реакции (линия подвеса); κ_{ср} = 1,5 – коэффициент концентрации касательных напряжений; N_κ – наибольшее из кольцевых усилий в пределах опорного участка, определяемое по формуле (41); N_{max} – наибольшее из усилий по формулам (43) и (46); R_s – расчетное сопротивление стали срезу на рассматриваемом участке; R_{wy}ⁱ – расчетное сопротивление стыкового сварного шва растяжению для рассматриваемого участка. Остальные обозначения – по таблицам 1, 2 и 6.

Предлагаемая методика расчета основывается на том, что опорная реакция бункера воспринимается как колонной (или другими опорными конструкциями), так и сыпучим материалом заполнения (сыпучим телом). В этом случае необходимо определить долю реакции,

передаваемой на колонну и на сыпучее тело.

Учитывая, что деформации носят местный характер, использовали механическую модель грунта, разработанную Фуссом – Винклером [2, 6, 19]. Принимают, что сыпучий материал

представляет собой упругое тело, где деформации сжатия происходят по линейному закону, а остаточные деформации равны нулю. Основной деформативной характеристикой сыпучего тела служит коэффициент постели.

В качестве расчетной схемы колонны рассматривают стержень, жестко зашпеченный в основании. В средней части колонны имеется подкрепление – связи по колоннам. Верх колонны – опора бункера, представлен упруго-податливой связью, характеризующей сыпучий материал.

На рис. 13 приведены схемы эпюр по расчету колонны в общем виде.

Сила H – горизонтальная составляющая опорной реакции бункера. Ей противодействует отпор сыпучего материала F . Поэтому на колонну передается усилие $(H - F)$.

Выражение отпора грунта по рис. 13 имеет вид

$$F = \frac{\frac{1}{3EI} \cdot l_1^2 \left[l_1 + \frac{3}{4} \cdot l_2 \right] \cdot H}{\frac{1}{3EI} \cdot l_1^2 \left[l_1 + \frac{3}{4} \cdot l_2 \right] + \frac{1}{A_{\text{то}} \cdot K_{\text{н}}}}, \quad (87)$$

где $A_{\text{то}}$ – площадь действия опорной реакции принимается равной площади утолщенной части листа стенки опорной

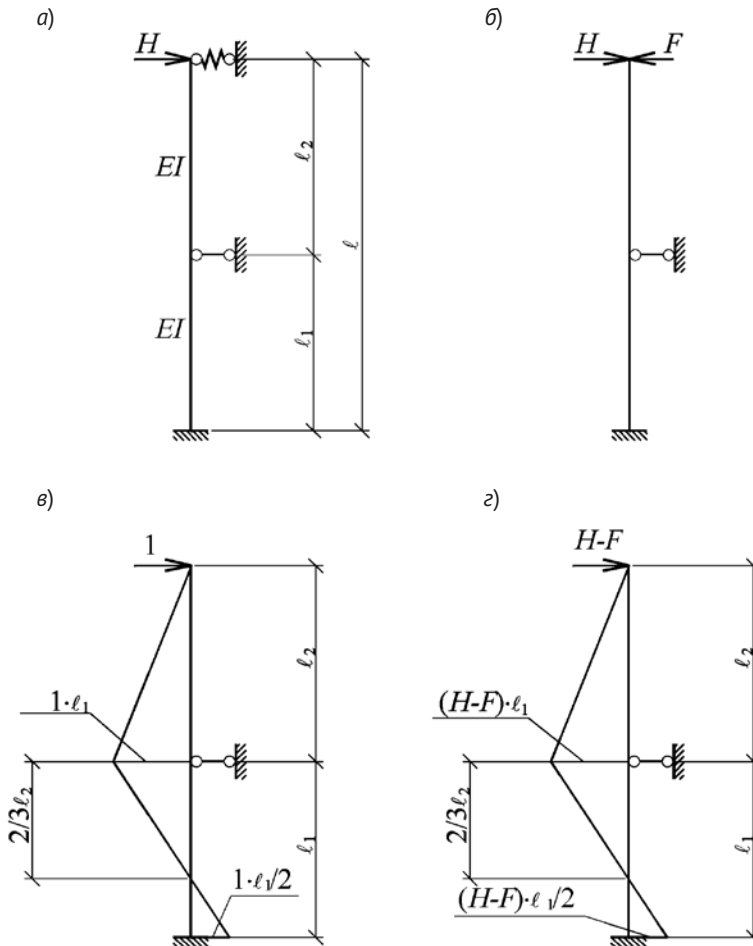


Рис. 13. Расчет колонны

a – расчетная схема; b – эквивалентная система метода сил; $в$ – единичная эпюра M_1 ; $г$ – грузовая эпюра M_p

зоны t_0 (рис. 12); k_n – коэффициент постели сыпучего материала (формула (72)); EI – жесткость колонны на изгиб. Остальные величины – по рис. 13.

Анализируя полученное выражение, можно сказать, что значение отпора грунта F будет равно значению горизонтальной составляющей опорной реакции H лишь при условии заполнения бункера материалом с модулем упругости, намного превосходящим начальный модуль упругости сыпучих тел, т.е. когда коэффициент постели стремится к бесконечности.

На примере расчета колонны сделана попытка учесть сыпучий материал заполнения не только как пассивное тело, а как элемент конструкции

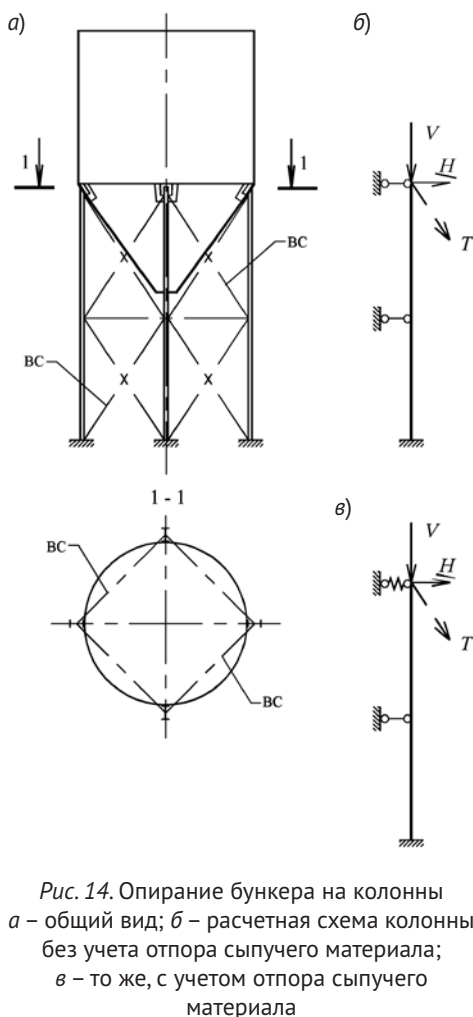


Рис. 14. Опирание бункера на колонны
а – общий вид; б – расчетная схема колонны без учета отпора сыпучего материала;
в – то же, с учетом отпора сыпучего материала

бункера, способный сопротивляться действию на него сосредоточенной силы.

В традиционном расчете (без учета отпора сыпучего материала) возникает необходимость в закреплении верха колонны от горизонтальных перемещений. Это достигается в том числе установкой связей по колоннам. В расчете, учитывающем отпор сыпучего материала, отпадает необходимость в горизонтальной опоре верха колонны.

На рис. 14 приведены варианты расчета колонн с учетом и без учета отпора сыпучего материала.

Конструктивной стенкой называют стальной лист, толщина которого по расчету менее 4 мм. Для конструктивных стенок назначают толщину 4 мм – минимальную для листового проката в строительстве (из технологических соображений).

Если по расчету толщина листа стенки больше 4 мм, то такую стенку называют расчетной.

Для технико-экономического обоснования толщину стенки бункера определяют в местах, удаленных от опор, т.е. рассчитывают только на действие активных нагрузок.

В качестве примера рассматривается бункер с опиранием в верхней зоне

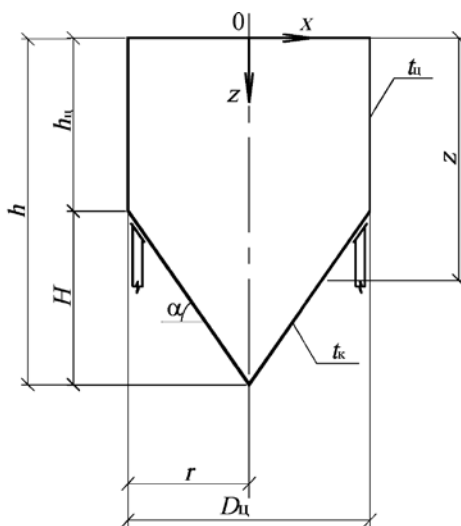


Рис. 15. Параметры бункера

конической части (рис. 15). С целью упрощения расчеты выполнены для воронки в виде полного прямого конуса. Заполнение бункера принято до уровня верхнего обреза цилиндрической

части. Материал стенок конуса и цилиндра – сталь С245.

Основные формулы представлены в таблице 9, графики к ним – на рис. 16–18.

Таблица 9

Параметры бункера (рис. 15–18)

Наименование	Формула (формулы (88)–(98) получены А. Х. Ягофаровым)	Прим.
Цилиндрическая часть с расчетной стенкой (рис. 15)		
Диаметр	$D = \sqrt{\frac{1}{\kappa_{\Gamma} \cdot \rho \cdot \operatorname{tg}\varphi}}, \quad (88)$ <p style="text-align: center;">где ρ в (МН/м³)</p>	κ _Г , см. формулу (32)
Коническая часть с расчетной стенкой (рис. 15)		
Радиус	$r \geq \frac{1,64 \sqrt{(\operatorname{tg}\alpha \cdot \sin \alpha) / \rho}}{\operatorname{tg}\alpha + 2\operatorname{tg}\varphi}, \quad (89)$ <p style="text-align: center;">где ρ в (МН/м³)</p>	
Высота бункера	$h \geq 1,64 \sqrt{\frac{\operatorname{tg}\alpha \cdot \sin \alpha}{\rho}}, \quad (90)$ <p style="text-align: center;">где ρ в (МН/м³)</p>	
Оптимальные параметры бункера с конструктивными стенками (рис. 15–18)		
Оптимальный радиус	$r_{\text{опт}} = 0,78 \cdot \sqrt[3]{\frac{\nu^{\text{II}}}{m}} \quad (91)$	График см. на рис. 16
Минимальный объем стенок бункера	$U_{\text{min}} = 3,85 \cdot t_{\text{ц}} \cdot \sqrt[3]{m (\nu^{\text{II}})^2} \quad (92)$	Графики см. на рис. 17, ν^{II} см. формулу (4)
Минимальный расход стали на бункер	$P_{\text{min}} = 30,22 \cdot t_{\text{ц}} \cdot \sqrt[3]{m (\nu^{\text{II}})^2}, \quad (93)$ <p style="text-align: center;">где P_{min} – в (Т); $t_{\text{ц}}$ – в (М); ν^{II} – в (М³)</p>	
Удельный объем стали	$\Delta \nu = 3,85 \cdot t_{\text{ц}} \cdot \sqrt[3]{\frac{m}{\nu^{\text{II}}}}, \quad (94)$ <p style="text-align: center;">где $\Delta \nu$ – в $\left(\frac{\text{М}^3}{\text{М}^3}\right)$; $t_{\text{ц}}$ – в (М); ν^{II} – в (М³)</p>	
Удельный расход стали	$\Delta P = 30,22 \cdot t_{\text{ц}} \cdot \sqrt[3]{\frac{m}{\nu^{\text{II}}}}, \quad (95)$ <p style="text-align: center;">где ΔP – в $\left(\frac{\text{Т}}{\text{М}^3}\right)$; $t_{\text{ц}}$ – в (М); ν^{II} – в (М³)</p>	

Наименование	Формула (формулы (88)–(98) получены А. Х. Ягофаровым)	Прим.
Значение m	$m = 1,5 \cdot \delta \cdot \sec \alpha - \operatorname{tg} \alpha, \quad (96)$	
	<p>где $\delta = \frac{t_k}{t_{ц}}$, (97)</p> <p>$\delta = 1,1$ – без футеровки стенок конуса, $\delta > 1,1$ – с футеровкой стенок конуса; $1,1$ – конструктивный коэффициент на усиление опорных зон стенок конуса</p>	
Пределы отклонения от оптимального радиуса при перерасходе стали 5 %	$0,83 \cdot r_{\text{опт}} \leq r \leq 1,2 \cdot r_{\text{опт}} \quad (98)$	График см. на рис. 18

Оптимальные параметры бункера с расчетной стенкой конической части определяют по формулам (91)–(97). В этом случае δ определяют по опыту проектирования.

Буквенные обозначения величин: v^n – объем бункера с учетом отсеченной части конуса; t_k – толщина стенок конической части; $t_{ц}$ – толщина стенок цилиндрической части. Остальные обозначения – по таблицам 1 и 2.

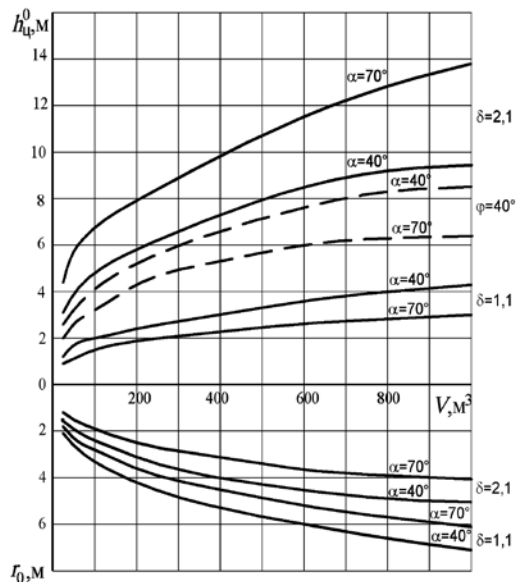
Графики на рис. 16 показывают: оптимальные размеры бункера мало зависят от угла наклона стенок конической части; при наличии футеровки ($\delta > 1,1$) бункера с оптимальными параметрами переходят в разряд силосов в связи с уменьшением радиуса бункера и соответствующего увеличению высоты цилиндрической части.

Из графиков на рис. 17 видно, что удельный объем стенок (удельный расход стали) снижается с увеличением емкости бункера.

Из графика на рис. 18 видно, что при отклонении фактического радиуса от оптимального значения на 20 % в большую сторону и на 17 % в меньшую сторону перерасход стали не превысит 5 %.

Для анализа формул, определяющих параметры бункера с расчетной стенкой, были определены частные значения их величин.

Результаты расчетов по формуле (88) приведены в таблице 10.



-- Предельная высота цилиндрической части бункера

Рис. 16. Графики оптимальных параметров бункера

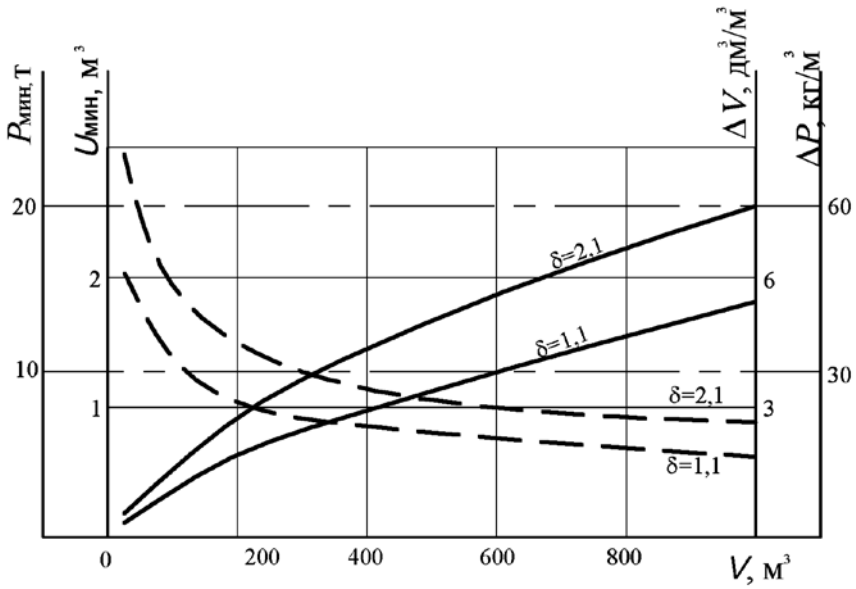


Рис. 17. Графики минимального объема стенок, расхода стали на стенки и удельного объема стенок бункера

— V_{min}, P_{min} ; --- ΔV и ΔP

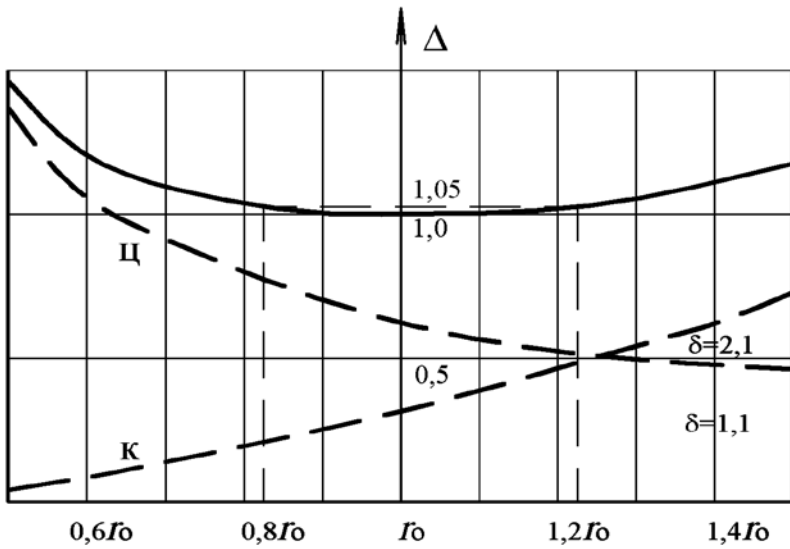


Рис. 18. График относительного перерасхода стали при отклонении радиуса бункера от оптимального значения

ц – цилиндрическая часть; к – коническая часть

Таблица 10

Результаты расчетов по формуле (88)

φ, град	tgφ	κ _r	D, м при ρ, кН/м ³	
			10	30
30	0,577	0,333	22,8	13,2
40	0,839	0,271	21,0	12,1

Из таблицы 10 следует, что при самых неблагоприятных условиях загрузки расчетная стенка цилиндрической части потребует при диаметре более 12 м. Последнее превышает аналогичный размер практически применяемых бункеров и больше соответствует силосам.

Таким образом, стенки цилиндрической части круглого бункера достаточно назначать конструктивно толщиной 4 мм.

Результаты расчетов по формулам (89) и (90) приведены в таблице 11.

Таблица 11

Результаты расчетов по формулам (89) и (90)

ρ, МН/м ³	0,01				0,03			
	40		70		40		70	
α, град	30	40	30	40	30	40	30	40
φ, град	7,0	6,0	6,8	6,0	4,0	3,4	3,9	3,4
r, м	7,0	6,0	6,8	6,0	4,0	3,4	3,9	3,4
h, м	12,0		26,4		7,0		15,2	

Из таблицы 11 следует, что стенки конической части назначаются по расчету у небольшой группы бункеров с максимальными параметрами по нагрузке: при удельном весе сыпучего материала 10 кН/м³ радиус бункера больше 6 м и удельном весе сыпучего материала 30 кН/м³ радиус бункера больше 3,4 м.

Стальной круглый бункер является одним из наиболее экономичных видов емкостей для хранения сыпучих материалов, он обеспечивает удобную разгрузку и дозирование материала заполнения в грузовой транспорт, что в свою очередь уменьшает простой транспорта на погрузку. Однако эти конструкции

не нашли широкого распространения в промышленности. Причиной сдерживания таких конструкций послужило отсутствие четко обоснованной расчетной схемы и соответствующего инженерного метода расчета бункера на действие опорных реакций. Также эти конструкции плохо объединяются в многоячейковые системы и не могут обеспечить хранение большого объема сыпучего материала.

Нами предложена конструкция стального круглого бункера с опиранием на коническую часть, что упрощает конструкцию и позволяет исключить силовую связь между конической и цилиндрической частями, характерную для традиционного бункера с опиранием на цилиндрическую часть.

Для предложенной конструкции стального круглого бункера определили основные геометрические параметры частного случая прямой воронки.

Нагрузки, действующие на бункер, подразделяются на пассивные и активные. Найдена закономерность распределения усилий в кольцевом и в меридиональном направлениях от действия активных нагрузок. Для определения опорных реакций бункера (пассивные нагрузки) применена теория о распределении силового мотора на составляющие силы и пары, где опоры бункера принимаются упругоподатливыми при количестве опор более трех. Задача решена двумя способами: решением уравнений плоскости и аналитически.

Усилия краевого эффекта в месте сопряжения конуса с цилиндром определили методом сил как для упругоподатливого рамного узла, нагруженного горизонтальным и упрощенным нормальным давлениями сыпучего материала.

Для предложенной конструкции стального круглого бункера разработана методика инженерного расчета. Экономический эффект достигается за счет распределения материала в конструкциях в соответствии с их нагруженностью, исключения кольца жесткости,

а также снижения запасов, обусловленных нечеткостью расчета опорной зоны традиционного бункера.

Предложена методика расчета колонны бункера с учетом отпора сыпучего материала, в которой часть горизонтальной составляющей опорной реакции передается на сыпучий материал заполнения. На примере этой конструкции сделана попытка учесть сыпучий материал заполнения не только как пассивное тело, а как элемент конструкции бункера, способный сопротивляться действию на нее сосредоточенной силы.

Получены аналитические выражения, позволяющие на стадии проектирования обоснованно назначать рациональные габаритные размеры стального круглого бункера по критерию минимума расхода стали.

В реальных бункерах (с диаметром воронки не более 12 м) толщину цилиндрической части следует назначать

конструктивно равной 4 мм. Следует учесть, что толщины цилиндрической стенки в 4 мм будет достаточно и при максимальной высоте цилиндрической части.

Стенки конической части бункеров требуется назначать по расчету, т.е. не менее 4 мм, только у небольшой группы бункеров с максимальными параметрами.

Оптимальные размеры бункера мало зависят от угла наклона стенок конической части.

При наличии футеровки бункера с оптимальными параметрами переходят в разряд силосов вследствие уменьшения радиуса и соответствующего увеличения высоты цилиндрической части.

При отклонении фактического радиуса от оптимального значения на 20 % в большую сторону и на 17 % в меньшую сторону перерасход стали не превысит 5 %. ■

Литература

1. Руководство по расчету и проектированию железобетонных, стальных и комбинированных бункеров / Ленспромстройпроект. – М. : Стройиздат, 1983. 200 с.
2. Справочник проектировщика. Металлические конструкции / под ред. Н. П. Мельникова. – М. : Стройиздат, 1980. 776 с.
3. Лессиг Е. И., Лилеев А. Ф., Соколов А. Г. Листовые металлические конструкции. М. : Стройиздат, 1970. 488 с.
4. СНиП 2.09.03–85. Сооружения промышленных предприятий / Госстрой России. – М. : ГУП ЦПП, 2000. 56 с.
5. Стальной круглый бункер для сыпучих и кусковых материалов : пат. на изобретение № 2219320.
6. Ягофаров А. Х., Ягофаров Х. К вопросу о совершенствовании конструкции и уточнении расчета стального круглого бункера // Известия вузов. Строительство. 2003. № 10. С. 13–17.
7. СНиП 2.01.07–85*. Нагрузки и воздействия / Госстрой России. – М. : ГУП ЦПП, 2002. – 44 с.
8. Ягофаров Х. Распределение силового мотора на силы упругости заданных направлений // Известия вузов. Строительство. 1998. № 8. – С. 128–133.
9. Справочник проектировщика. Расчетно-теоретический / под ред. А. А. Уманского. – М. : Стройиздат, 1960. – 1040 с.
10. Ягофаров Х. Стальной пирамидально-призматический бункер как пространственная система. 1998. 314 с.
11. Березин Ю. Л., Брижак О. В. Расчет разгрузочных устройств бункеров с учетом физико-механических свойств руды // Обогащение руд, 1967. № 2. С. 33–35.
12. Механика грунтов, основания и фундаменты / под ред. С. Б. Ухова. – 2-е изд., перераб. и доп. – М. : Высш. шк., 2002. – 566 с.
13. Металлические конструкции : В 3 т. Т. 2. Стальные конструкции зданий и сооружений. (Справочник проектировщика) / под общей ред. В. В. Кузнецова (ЦНИИпроект-стальконструкция им Н. П. Мельникова) – М. : Изд-во АСВ, 1998. 512 с.
14. Бронштейн И. Н., Семендяев К. А. Справочник по математике для инженеров и учащихся втузов. М. : Наука, 1980. 975 с.

15. СНиП II-23–81*. Стальные конструкции / Минстрой СССР. – М. : ГУП ЦПП, 2001. – 96 с.
16. Отчет о НИР по теме 1.237 (С86) «Провести исследования, изучить и обобщить опыт проектирования, строительства и эксплуатации металлических элеваторов, сооруженных в различных регионах и подготовить задание на проектирование». Этап С862. – М. : ЦНИИпромзернопроект, 1985. – 104 с. (инв. № 02860047475).
17. Ягофаров Х. Гибкие бункера. М. : Стройиздат, 1980. 168 с.
18. Ягофаров Х. Статическая несимметричность геометрически симметричного пирамидально-призматического бункера // Известия вузов. Строительство. 1997. № 3. С. 114–119.
19. Ягофаров, А. Х. Ягофаров. Опасный дефект фундамента // Вестник УрГУПС. 2013. № 1(17). – С. 124–132. ISSN 2079-0392.

References

1. Rukovodstvo po raschetu i proektirovaniyu zhelezobetonnykh, stalnykh i kombinirovannykh bunkerov [Guidelines for structural analysis and design of reinforced concrete, steel and combined hoppers] / Lenpromstroyproekt. – М. : Stroyizdat, 1983. 200 s.
2. Spravochnik proektirovshchika. Metallicheskie konstruksii [Designer's handbook. Metal structures] / edited by N.P. Melnikov. – М. : Stroyizdat, 1980. 776 s.
3. Lessig E. I., Lileev A. F., Sokolov A. G. Listovye metallicheskie konstruksii. [Sheet-metal structures.] М. : Stroyizdat, 1970. 488 s.
4. SNiP 2.09.03–85. Sooruzheniya promyshlennykh predpriyatii [Structures for industrial enterprises] / Gosstroy Rossii. – М. : GUP TsPP, 2000. 56 s.
5. Stalnoy kruglyy bunker dlya sypuchikh i kuskovykh materialov : pat. na izobretenie № 2219320 [Steel round silo for bulk and lump materials : pat. for the invention № 2219320].
6. Yagofarov A. Kh., Yagofarov Kh. K voprosu o sovershenstvovanii konstruksii i utochnenii rascheta stalnogo kruglogo bunkera [On the question of improving the design and refinement of structural analysis of steel round hopper] // Izvestiya vuzov. Stroitelstvo. 2003. № 10. S. 13–17.
7. SNiP 2.01.07–85*. Nagruzki i vozdeystviya [Loads and impacts] / Gosstroy Rossii. – М. : GUP TsPP, 2002. – 44 s.
8. Yagofarov Kh. Raspredelenie silovogo mótora na sily uprugosti zadannykh napravleniy [Distribution of power motor on elastic forces in given directions] // Izvestiya vuzov. Stroitelstvo. 1998. № 8. – S. 128–133.
9. Spravochnik proektirovshchika. Raschetno-teoreticheskiy [Designer's handbook. Engineering and theoretical] / edited by A.A. Umansky. – М. : Stroyizdat, 1960. – 1040 s.
10. Yagofarov Kh. Stalnoy piramidalno-prizmatischeskiy bunker kak prostranstvennaya sistema. [Steel pyramidal prismatic hopper as a spatial system.] 1998. 314 s.
11. Berezin Yu. L., Brizhak O. V. Raschet razgruzochnykh ustroystv bunkerov s uchetom fiziko-mekhanicheskikh svoystv rudy [Structural analysis of hopper discharge devices with account to physical and mechanical ore characteristics] // Obogaschenie rud, 1967. № 2. S. 33–35.
12. Mekhanika gruntov, osnovaniya i fundamenti [Soil mechanics, basements and foundations] / edited by S.B. Ukhov. – 2-e izd., pererab. i dop. – М. : Vyssh. shk., 2002. – 566 s.
13. Metallicheskie konstruksii : V 3 t. T.2. Stalnye konstruksii zdaniy i sooruzheniy. (Spravochnik proektirovshchika) [Metal structures : In 3 vol. Vol .2. Steel structures of buildings and structures. (Designer's handbook)] / general editor V.V. Kuznetsov (TsNIIproektstalkonstruksiya im. N.P. Melnikova) – М. : Izd-vo ASV, 1998. 512 s.
14. Bronshteyn I.N., Semendyaev K.A. Spravochnik po matematike dlya inzhenerov i uchashchikhsya vtuzov. [Mathematics handbook for engineers and students of technical universities.] М. : Nauka, 1980. 975 s.
15. SNiP II-23–81*. Stalnye konstruksii [Steel structures] // Minstroy SSSR. – М. : GUP TsPP, 2001. – 96 s.
16. Отчет о НИР по теме 1.237 (S8b) «Провести исследование, изучить и обобщить опыт проектирования, строительства и эксплуатации металлических элеваторов, сооруженных в различных регионах и подготовить задание на проектирование. Этап S8b2. [Research report on the theme 1.237 (S8b) «Conduct a study, examine and summarize the experience in design, construction and operation of metal silos, constructed in various regions and prepare a design assignment.» Step S8b2] – М. : TsNIIpromzernoproekt, 1985. – 104 с. (инв. № 02860047475).

17. Yagofarov Kh. Gibkie bunkera. [Flexible hoppers.] М. : Stroyizdat, 1980. 168 s.
18. Yagofarov Kh. Statischeckaya nesimmetrichnost geometricheski simmetrichnogo piramidalno-prizmaticheskogo bunkera [Static asymmetry of geometrically symmetrical pyramidal prismatic hopper] // Izvestiya vuzov. Stroitelstvo. 1997. № 3. S. 114–119.
19. Yagofarov H., A. H. Yagofarov. Opasnyiy defekt fundamenta [Dangerous foundation defect] // Vestnik UrGUPS. 2013. № 1(17). – S. 124–132. ISSN 2079-0392.

Статья сдана в редакцию 28 октября 2015 года

Организация и логистика

УДК 331.1(075.8)

Л. И. Васильцова, Н. А. Александрова

Кадровые риски в системе оценки персонала организации

UDC 331.1 (075.8)

L. I. Vasil'tsova, N. A. Alexandrova

HR risks in staff evaluation system of an organization

Аннотация

В статье рассматривается технология оценки персонала как центральный элемент системы управления персоналом компании, поскольку практически все кадровые решения в существенной степени опираются на ее результаты. При проектировании системы оценки работников следует учитывать две группы противоречий, которые должны быть в той или иной степени разрешены в процессе создания или совершенствования технологии оценки персонала. К первой группе авторы относят сущностные противоречия (они могут разрешаться только частично), ко второй – правовые (имеют место из-за несовершенства нормативной базы и/или правоприменительной практики).

Оценка персонала – это система, состоящая из ряда взаимосвязанных элементов, важнейшими из которых являются цели, субъект и объект оценки, критерии и показатели оценки, нормативная база, методы и инструменты оценки, решения по результатам оценки и предоставление работникам обратной связи по процедуре.

Потенциальные риски кадровых потерь сопровождают все стадии процесса оценки. В статье акцентируется внимание на анализе рисков, связанных с определением целей оценки, неправильным подбором и неподготовленностью оценщиков, неадекватным выбором критериев, методов и инструментов оценки, отсутствием нормативно-документационного обеспечения процедуры, недоведением или некорректным доведением результатов оценивания до работников.

Учет рисков при проектировании (модернизации) системы оценки позволит повысить эффективность процедуры, других HR-практик в компании, прежде всего, системы мотивации и служебного продвижения в компании.

Ключевые слова: проектирование системы оценки персонала, кадровые риски, HR-практики, критерии, методы и инструменты оценки, критерии оценки эффективности работы проводника пассажирского вагона.

DOI:10.20291/2079-0392-2015-4-72-80

Abstract

The article examines personnel evaluation methods as a central element of the personnel management system of a company, since virtually all HR decisions are substantially based on its results. When designing staff evaluation system, two contradiction groups should be considered, which need to be addressed to a certain extent during creation or improvement of staff appraisal process. The authors include intrinsic contradictions (they can be resolved only partially) in the first group, and legal contradictions (resulting from imperfect regulatory and/or law enforcement practice) in the second group.

Staff evaluation is a system consisting of a series of inter-related elements, the most important of which are the goal, subject and object of evaluation, evaluation criteria and indicators, regulatory framework, evaluation methods and tools, follow-up decisions and providing feedback to employees on the evaluation procedure.

The potential risks of loss of staff losses accompany all stages of evaluation process. The article focuses on the analysis of the risks associated with the definition of evaluation purposes, selection of wrong evaluators and poor training, inadequately selected criteria, evaluation methods and tools, lack of legal and documentary support for the procedure, failure to inform employees on evaluation results or communicating the results incorrectly.

Taking into account risks when designing (upgrading) the evaluation system will improve the effectiveness of the procedure and other HR practices in the company, primarily including motivation and career advancement system in the company.

Keywords: personnel evaluation system design, personnel risks, HR practices, criteria, methods and tools for evaluation, criteria for evaluating the performance of a passenger train conductor.

DOI:10.20291/2079-0392-2015-4-72-80

Людмила Ивановна Васильцова, д-р экон. наук, профессор; кафедра управления персоналом и социологии Уральского государственного университета путей сообщения; Екатеринбург, Россия. E-mail: vasiltsow2010@yandex.ru.

Надежда Анатольевна Александрова, канд. философ. наук, доцент; кафедра управления персоналом и социологии Уральского государственного университета путей сообщения; Екатеринбург, Россия. E-mail: ana1856@mail.ru.

Lyudmila Ivanovna Vasil'tsova, DSc in Economics, Professor, Human Resource Management and Sociology Department, Ural State University of Railway Transport; Ekaterinburg, Russia. E-mail: vasiltsow2010@yandex.ru.

Nadezhda Anatolyevna Alexandrova, PhD in Philosophy, Associate Professor, Human Resource Management and Sociology Department, Ural State University of Railway Transport; Ekaterinburg, Russia. E-mail: ana1856@mail.ru.

Практически все кадровые решения опираются на результаты оценки работников. Практика свидетельствует, что компании, регулярно использующие такую процедуру, располагают более достоверной информацией для принятия решений в сфере управления персоналом, чаще принимают результативные и обоснованные решения в области обучения сотрудников, их продвижения и вознаграждения. В таких организациях ниже показатели текучести кадров и выше качество ключевых HR-процессов. Очевидно, что без оценки компетенций кандидатов на рабочем месте нельзя правильно отобрать наиболее подходящих претендентов на вакантную должность, определить потребности работников в обучении, перспективы карьерного продвижения в организации, разработать справедливую систему оплаты труда.

При проектировании системы оценки следует учитывать противоречия, которые должны быть в той или иной степени разрешены в процессе создания или совершенствования технологии оценки персонала. Отметим лишь две группы таких противоречий.

К числу существенных (а потому в принципе разрешимых лишь частично) относятся противоречия между:

требованием объективности оценки (только в этом случае она сыграет положительную роль) и ее субъективной природой (оценщиками всегда являются люди);

необходимостью использования оценки как персонал-технологии для повышения эффективности кадровых решений и сопротивлением работников, которым, как правило, очевидно, никогда не понравится быть объектом оценки.

К числу правовых (имеющих место в силу несовершенства нормативной базы и/или правоприменительной практики) отнесем следующие противоречия:

между повсеместной практикой оценки персонала в российских организациях и отсутствием полноценной

законодательной базы ее проведения – до настоящего момента нет нормативного правового акта федерального уровня, который закрепил бы общие правила проведения оценочных процедур, их сроки, периодичность и иные вопросы, хотя дискуссии и споры о необходимости принятия такого акта ведутся давно. Так, понятие «аттестация» в ТК РФ не определено – есть опосредованная ссылка на эту процедуру; в нем можно найти только упоминание об аттестации, в частности, в связи с основаниями расторжения трудового договора по инициативе работодателя вследствие недостаточной квалификации (п. 3 ч. 1 ст. 81 ТК РФ) работника, подтвержденной результатами аттестации. ТК РФ обязывает работодателя принимать локальные нормативные акты (ЛНА) относительно аттестации с учетом мнения представительного органа работников (ч. 2 ст. 81 ТК РФ) и включать в состав аттестационной комиссии представителя выборного органа первичной профсоюзной организации, если процедура аттестации может послужить основанием для увольнения работников (ч. 3 ст. 82 ТК РФ). ТК РФ предусматривает возможность проведения аттестации среди научно-педагогических работников до истечения срока избрания по конкурсу или в течение периода действия срочного трудового договора (ч. 10 ст. 332 ТК РФ) [1]. ТК РФ и другие правовые акты централизованного регулирования не содержат понятия «оценка персонала»;

между необходимостью избавляться от неэффективных работников, чье несоответствие занимаемой должности вследствие недостаточной квалификации подтверждено результатами аттестации, с одной стороны, и позицией судов, которые очень часто становятся на сторону увольняемых работников, с другой.

Кроме того, среди специалистов нет консенсуса ни по одному из конкретных вопросов оценки персонала. В частности, серьезные дискуссии вызывают вопросы:

чем различаются оценка персонала и аттестация, какие нюансы оценочных процедур отражаются в понятиях «оценка персонала», «деловая оценка персонала», «оценка работы с персоналом», «оценка результативности труда», «оценка личностных качеств», «оценка организационного поведения» и т.д.?

как выбрать среди множества методов оценки наиболее эффективные методики проведения оценочных процедур с учетом их преимуществ, недостатков и рисков, которые они несут?

можно ли применять термин «аттестация» к тем категориям персонала, которые прямо не упоминаются в законах РФ об аттестации?

как оценить эффективность оценочной процедуры?

В самом широком смысле оценка работника – это мнение, суждение руководителей компании о степени развитости компетенций работника, качестве его работы, достижениях и результативности его трудовой деятельности. Такое суждение может быть как формализованным, например, в виде заключения аттестационной комиссии о соответствии/несоответствии работника занимаемой должности, так и неформализованным – в форме положительного/отрицательного отзыва руководителя о выполненном работником задании. Чтобы оценочные суждения приобрели более объективный характер и могли стать элементом системы управления персоналом, современные организации проектируют и внедряют систему оценки персонала.

Оценка персонала – это совокупность формализованных процедур в организации, позволяющих дать объективную комплексную характеристику работника с точки зрения результативности его работы, полезности сотрудника для компании.

Процедура оценки персонала начала применяться американскими и европейскими компаниями в середине прошлого века, но активное использование оценки как технологии кадрового менеджмента началось в 70-е гг. XX в.

Примерно в это же время и в СССР начали применять «Положение о порядке проведения аттестации руководящих, инженерно-технических работников и других специалистов предприятий и организаций промышленности, строительства, сельского хозяйства, транспорта и связи» [2]. Отметим, что данный акт все еще применяется на территории РФ в части, не противоречащей ТК РФ (ст. 423 ТК РФ).

Оценка персонала как кадровая технология постоянно меняется, поэтому необходимо учитывать современные тенденции развития процедуры:

усиление интеграции оценки во все HR-практики организации;

распространение оценочных процедур на все категории персонала организации на основе выработки единого подхода с дифференциацией целей, периодичности, инструментов оценки для различных категорий должностей;

усиление вовлеченности сотрудников в процедуру оценки на всех ее этапах – оцениваемые участвуют в постановке целей своей работы и способов их реализации, обсуждении результатов деятельности, выявлении собственного потенциала и путей его дальнейшего развития;

преимущественное использование методов, ориентированных на оценку результатов деятельности с применением стандартизированных критериев для каждой должности;

усиление комплексности оценки за счет использования широкого спектра критериев и инструментов и привлечения значительного числа оценщиков;

автоматизация процесса оценки как результативности деятельности персонала, так и уровня развития компетенций работников, документирования и хранения результатов оценки, а также разработки планов индивидуального развития и т.д. [3].

Чтобы выстроить в компании современную и эффективно работающую процедуру оценки, необходимо рассматривать ее как сложную систему, состоящую из целей (зачем оценивают);

участников, т. е. субъект оценки (кто оценивает) и объект (кого оценивают); критериев оценки (что оценивают) и показателей (при помощи какой шкалы происходит оценивание); нормативных документов (на основе чего происходит оценка); процесса (как, в какой последовательности происходит оценивание); средств или инструментов оценки (какие методы и процедуры применяются); подведения итогов, доведения результатов оценки до оцениваемых (в каком виде представлены ее результаты, как она документируется и как о ее результатах узнают работники); принятия решений по результатам оценки (как руководители используют ее результаты).

Каждый из элементов этой системы требует тщательного анализа и обоснованного выверенного решения как при проектировании новой, так и при модернизации уже действующей системы оценки. Выбор адекватных подходов позволит снизить риски и минимизировать ошибки, которые могут привести к снижению производительности труда персонала. Риски как возможности потерь кроются в каждом из элементов системы оценки.

Риски, связанные с определением целей оценки

Генеральная цель оценки персонала – повышение производительности труда и усиление вовлеченности персонала в достижение общих целей и задач компании. Однако такая формулировка слишком абстрактна, ее можно отнести в целом к работе по управлению персоналом. В конкретном случае целью внедряемой процедуры оценки является реализация реальной потребности, которая возникает у руководителей на определенном уровне развития компании. Это: определение наличных и будущих потребностей в персонале; разработка или пересмотр системы оплаты труда, в том числе системы премирования, основанной не на субъективных оценках, а на реальных достижениях каждого работника, его вкладе в общий результат; формирование

долгосрочного и оперативного кадрового резерва компании и диагностика качества управления резервистами и талантами; определение потребности в решении вопроса о кадровых перемещениях; выявление потребностей в обучении (на основе выявления пробелов в компетенциях) и уровня усвоения полученных знаний и навыков (по результатам обучения); оптимизация численности персонала (выявление неэффективных сотрудников для сокращения, правильность и законность решений о прекращении трудовых отношений с неподходящими работниками) и пр.

Четко сформулированные и прозрачные для персонала цели оценки позволяют подобрать адекватный инструментарий и выбрать оптимальную с точки зрения соотношения затрат и результатов технологию оценивания.

Однако не всегда истинные цели оценки могут быть доведены до работников без риска потерять ценные кадры, вызвать демотивацию, ввергнуть сотрудников в стресс, ухудшить социально-психологический климат в организации и породить конфликты. Иногда истинные цели не оглашаются – необходимость выявить кандидатов на увольнение в связи с сокращением штатов, желание уволить девиантов и других неугодных работников, необходимость срезать зарплату работникам в связи со снижением рентабельности бизнеса, потребность в формировании или оценке кадрового резерва в случае его закрытого характера и пр.

В таких обстоятельствах приходится скрывать от персонала истинные цели оценки и подбирать благовидный аналог, который будет соответствовать характеру проводимых мероприятий и формулировка которого устроит руководство компании. Такая подмена истинных целей муляжом несет в себе огромные риски потери ценных сотрудников, усиления текучести кадров и снижения уровня лояльности к организации.

Следующий принципиальный вопрос оценки персонала – определение

субъекта оценки, т.е. состав оценщиков. Этот вопрос должен находиться в поле зрения разработчика, так как успешность оценки во многом зависит именно от степени подготовленности и заинтересованности тех, кто ее проводит.

Критерии выбора оценщиков, на наш взгляд, – это:

- компетенции оценщика (знания, опыт, индивидуальные качества, например, справедливость и непредвзятость);

- информированность оценщиков о работе и компетенциях оцениваемого работника;

- мотивация (заинтересованность оценщика в формировании объективной оценки).

Естественно, в соответствии с данными критериями, главным актором в оценке персонала остается непосредственный руководитель оцениваемого работника, так как именно он обладает всей полной информацией о подчиненном, обобщает мнения о нем коллег и клиентов, видит результаты его работы. В американской HR-практике непосредственный руководитель чаще всего является единственным оценщиком: он заполняет оценочные бланки и чек-листы по результатам работы сотрудника за предшествующий период, оценивает его компетенции, обсуждает с сотрудником его проблемы и достижения, определяет работнику цели на следующий период, выявляет потребности в обучении и обсуждает с работником планы его развития. В российской практике непосредственный руководитель обычно готовит материалы для оценки сотрудника и представляет его участникам оценочной процедуры, а решение обычно принимает оценочная (аттестационная) комиссия.

Участие самого работника в оценочных процедурах в большинстве случаев состоит в подготовке отчета о проделанной работе, заполнении на себя оценочных форм, участии в заседании аттестационной комиссии, что также обеспечивает его активность (субъектность) в данном процессе.

При использовании метода оценки «360 градусов» оценщиками становятся руководитель, коллеги оцениваемого, подчиненные (если они есть), независимые эксперты, сам аттестуемый и его клиенты. Во многих организациях, оказывающих услуги, в том числе и государственные, проводится экспресс-оценка качества полученной услуги посредством отметки клиентом позиции «хорошо» или «плохо» в соответствующей карточке или на табло.

Риски, детерминированные субъективизмом оценщиков, являются достаточно ощутимыми как для организации в целом, так и для конкретных работников. С точки зрения организации, это утрата ориентиров в кадровой политике, принятие неэффективных кадровых решений, закрепление у работников нежелательных образцов поведения, потеря ключевого персонала и важных клиентов, затягивание решения назревших проблем. Для работников – это нарушение принципов справедливости и равенства при оплате труда, появление неудовлетворенности работой, снижение чувства лояльности к компании и, как следствие, увольнение.

Полностью преодолеть субъективизм оценщиков, как уже отмечалось, нельзя. Однако можно минимизировать риски, обусловленные неправильным подбором оценщиков и их неподготовленностью, последовательно осуществляя:

- тщательный подбор членов аттестационной комиссии;

- привлечение к задействию сразу нескольких оценщиков и организацию их взаимодействия в процессе работы;
- обучение оценщиков.

Некоторые компании в рамках учебных центров и корпоративных университетов реализуют программы по обучению членов оценочных комиссий [4].

Большие риски связаны с наделением оценщиков неограниченными полномочиями и отсутствием в организации процедуры апелляции со стороны оцениваемого персонала. Для снижения рисков подобного рода функции по

реализации оценочных процедур необходимо распределять между разными подразделениями и сотрудниками.

Правильный выбор членов аттестационных комиссий гарантирует снижение уровня рисков, связанных с проявлениями необъективности, позволяет избежать предубеждений и стереотипов при оценке персонала, обеспечивает принятие на её основе правильных кадровых решений.

Следующий элемент системы оценки – критерии оценки работников, т.е. предмет (что оценивают) и показатели (при помощи какой шкалы происходит оценивание). В конечном счете, на наш взгляд, предметом оценки могут выступать только результативность труда и компетенции работников.

Во-первых, предметом оценки могут быть результаты труда работника, т.е. количество произведенной продукции; объем продаж; число опубликованных статей и их цитирований; количество полученных грантов; число обработанных документов или обслуженных посетителей; размер клиентской базы; число случаев брака; количество рекламаций, жалоб или претензий со стороны клиентов; число ошибок, допущенных при подготовке документов и т.п.

Оценка результатов труда персонала с точки зрения его количества и качества имеет, как правило, материализованную форму, объективный характер и фиксируется в соответствующих документах (документальное засвидетельствование количества произведенной работником продукции, оказанных услуг, отработанных смен, часов проведенных занятий, а также число рекламаций, жалоб, дисциплинарных нарушений, прогулов, опозданий, ошибок и т. п.). Например, оценка эффективности работы проводника пассажирского вагона проводится по следующим критериям:

- качество обслуживания пассажиров в пути следования (источник информации – «Книга жалоб и предложений», реестр Единого информационно-сервисного центра; показатели

- оценки – число благодарностей и жалоб, положительных и отрицательных отзывов по телефону);

- уровень качества работы – выполнение служебных обязанностей (источник информации – отчет начальника поезда; показатели оценки – число замечаний начальника поезда, актов и предписаний контролирующих органов);

- выполнение плана доходов от оказания платных услуг (источник информации – отчет начальника поезда; показатели оценки – выручка от реализации продукции на одного перевезенного пассажира);

- уровень трудовой дисциплины (источник информации – отчет начальника поезда; показатели оценки – наличие или отсутствие замечаний со стороны начальника поезда);

- выходы на работу (источник информации – отчеты отдела управления персоналом; показатели оценки – соотношение числа плановых и фактических выходов на работу);

- степень участия в корпоративной жизни участка, спортивных и профессиональных мероприятиях (источник информации – отчет инструктора поездных бригад; показатель оценки – степень участия в корпоративной жизни) [5].

Все показатели легко поддаются измерению, выражены числом и пригодны для выстраивания личных рейтингов проводников. На основании ранжирования результативности деятельности проводников происходит их премирование.

Вторым предметом оценки являются компетенции работника – характеристики сотрудника, определяющие эффективность выполнения им своих должностных обязанностей, в т.ч. показатели профессионального поведения и личностные качества работника. Оценивается умение решать профессиональные задачи на основе знаний, умений, навыков, способностей и мотивации работника. Оценка по компетенциям в основном используется при аттестации специалистов и руководителей.

Риски, связанные с неправильным выбором критериев оценки, заключаются в создании искаженной картины результативности работников и их полезности для компании, выплате незаслуженных премий, бюрократизации процесса управления персоналом – подмене реального дела отчетами и т.д.

Минимизировать риски, связанные с неправильным выбором предмета и показателей оценки, можно с помощью разработанных в компании моделей компетенций (или описаний должностей); стандартизированных критериев оценки для каждой должности; понятных, измеримых и объективных показателей оценки, преимущественно выраженных числом.

Риски, связанные с отсутствием нормативно-документационного обеспечения процедуры оценки

Отсутствие локальных нормативных актов и распорядительных документов несет большие огромные риски обжалования результатов оценки со стороны работников в суде и признания их незаконными. Поэтому работодателю необходимо сформировать нормативную базу процедуры оценки, т.к. при возникновении трудового спора по итогам аттестации компетентные органы первым делом будут проверять наличие локальных нормативных актов, порядок их принятия и утверждения, а также соблюдение прописанного в них порядка проведения оценки.

Как правило, в современных организациях, руководство которых осознает важность использования оценки персонала для повышения эффективности труда работников, разрабатывается локальный нормативный акт («Положение об оценке персонала» либо «Положение об аттестации персонала»).

Кроме такого нормативного акта обязателен приказ о проведении оценки, в котором должны быть отражены: сроки проведения оценки; состав оценочной комиссии; список работников, подлежащих оценке; подготовка

необходимых документов для оценочной комиссии.

Минимизировать риски, обусловленные отсутствием локальных нормативных актов, несоблюдением формальных требований по процедуре оценки и срокам ее проведения, ошибками в документах и т.д., можно при условии тщательного планирования этой процедуры. Однако слабость законодательной базы не позволяет исключить их полностью.

Риски, связанные с неправильным выбором методов и инструментов оценки

Для оценки компетенций чаще всего используют следующие инструменты.

1. Оценочное (аттестационное) собеседование с работником, которое обычно проводится аттестационной комиссией в присутствии непосредственного руководителя работника.

2. Экзамен (тестирование, ответы на вопросы билета, решение кейсов).

3. Ассесмент-центр (используется в основном для оценки руководителей и специалистов) – это методика групповой оценки, состоящая из целого комплекса упражнений для выявления уровня развития компетенций сотрудника, определяющих эффективность работы в должности.

4. Оценка методом «360 градусов», которая позволяет получить структурированный коллективный (руководителя, подчиненных, коллег, внутренних и внешних клиентов) отзыв о компетентности сотрудника в тех областях, которые являются ключевыми для успешной работы. Однако следует учитывать не стоит забывать, что этот метод относится к числу субъективных.

5. Методика «Тайный покупатель» (технология Mystery Shopping) заключается в использовании специально разработанных показателей для оценки деятельности сотрудников контактной зоны. Оценку формируют оценщики по результатам посещения сервисных компаний под видом обычных клиентов. Инструментами такой оценки являются анкета (чек-лист).

Риски использования технологии оценки работников по компетенциям связаны в основном с применением субъективных методов оценки. Относительно повышения объективности трех первых методов – оценочного собеседования, экзамена и ассессмента – необходима разработка фонда оценочных средств и шкал оценивания уровня сформированности компетенций у работников. Чтобы повысить уровень объективности оценки, получаемой с помощью методов «360 градусов» и «Тайный покупатель», необходимо формировать модель компетенций оцениваемой должности с проработкой уровней их развития и фиксацией поведенческих признаков на каждом уровне; во-вторых, сформировать индекс влияния роли на общий результат оценки (руководитель, коллега, подчиненный, самооценка, клиент); в-третьих, разработать анкету, позволяющую участникам опроса корректно и однозначно выразить свое мнение о работе оцениваемого сотрудника.

Для оценки результативности работы чаще всего используют две системы оценки: а) управление по целям и б) оценка по ключевым показателям эффективности (результативности) работника.

1. Управление по целям как система оценки основано на постановке перед исполнителями целей, которые должны быть достигнуты за определенный период (месяц, квартал, год). Чаще всего этот метод применяется для оценки работы специалистов и руководителей разного ранга. Управление по целям предполагает широкое использование объективных показателей (объем продаж, прибыль в рублях, количество рекламаций и др.). Основными элементами управления по целям являются постановка целей, планирование работы, текущий контроль, оценка достигнутых результатов и подведение итогов.

Риски использования данной системы оценки связаны с неправильным каскадированием целей организации на уровень подразделений и далее – на

уровень отдельных работников; низким качеством самих целей; выбором неверных эмпирических индикаторов результативности бизнес-процессов. Важно помнить, что индикаторами на уровне исполнителей могут служить только те цели, на которые сотрудники влияют непосредственно или хотя бы опосредованно [3].

2. KPI (Key Performance Indicators) – система оценки, которая помогает организации определить достижение стратегических, тактических и операционных целей как всей компании, так и каждого сотрудника в отдельности. По существу, оценка по KPI является одной из модификаций управления по целям. KPI – это измерительный инструмент степени достижения работником поставленных перед ним целей. Риски применения данной системы оценки связаны с неправильным выбором ключевых показателей эффективности работника и их большим числом; их несогласованностью со стратегией и целями предприятия; несогласованием периодов оценивания работника с периодами их премирования [6].

Цели оценки персонала могут быть реализованы только в том случае, если ее результаты и принятые на ее основе решения будут доведены до оцениваемых работников. Однако практика свидетельствует, что очень часто между руководителем и работником нет обратной связи по результатам оценки в силу ряда причин преимущественно психологического характера.

Однако все усилия и затраты на проведение оценки персонала окажутся напрасными, если результаты оценки не будут доведены до работников. Поэтому руководитель или менеджер по персоналу обязательно должны провести беседу с работником по результатам оценки. Оптимальный результат такой беседы – восприятие работником оценки как справедливой и совпадающей с его самооценкой, что обычно ведет к улучшению показателей работы. Следует также учитывать, что доведение результатов оценки должно проводиться

в конфиденциальной обстановке и доброжелательной атмосфере. Риски, обусловленные недоеданием или некорректным доведением результатов оценивания до работников, состоят в отсутствии положительного эффекта от проведенных мероприятий (в случае непредоставления обратной связи по результатам оценки) либо в наличии негативного эффекта (в случае восприятия работником результатов оценивания, как необъективных и несправедливых).

Каждый из элементов системы оценки персонала содержит в себе значительное число рисков, которые способны привести к демотивации работников и снижению эффективности их работы. Учесть их при проектировании (или модернизации) системы оценки – значит, предотвратить создание неработающей процедуры, оторванной от других HR-практик в компании, прежде всего системы мотивации и служебного продвижения персонала. ■

Литература

1. Трудовой Кодекс Российской Федерации от 30.12.2001 г. № 197-ФЗ (ред. от 05.10.2015) [Электронный ресурс]. URL: <http://base.consultant.ru/cons/cgi/online.cgi?> (дата обращения: 04.11.2015).
2. Положение о порядке проведения аттестации руководящих, инженерно-технических работников и других специалистов предприятий и организаций промышленности, строительства, сельского хозяйства, транспорта и связи [Электронный ресурс]. URL: <http://base.consultant.ru/cons/cgi/online.cgi?req=doc;base=LAW;n=8602> (дата обращения 09.10.2015).
3. Оценка результатов: все дело в комплексности // Справочник по управлению персоналом. 2013. № 11 С.13–18. ISSN 1727-1029.
4. Александрова Н.А., Васильцова Л.И., Воронин Б.А., Набоков В.И. Управление персоналом организации. – Екатеринбург : Урал. аграр. изд-во, 2013. С. 142–143. ISBN 978-5-87203-329-5.
5. Управление персоналом на производстве : учебник / под ред. Н.И. Шаталовой, А.Г. Галкина. – Екатеринбург : Изд-во УрГУПС, 2013. – С. 504–505. ISBN 978-5-94614-254-0.
6. Как выбрать ключевые показатели деятельности для премирования работников? Про-персонал. [Электронный ресурс]. – URL: <http://www.pro-personal.ru/faq/326/610939/> (дата обращения: 15.06.2015).

References

1. Trudovoy Kodeks Rossiyskoy Federatsii [Labour Code of the Russian Federation] if 30.12.2001. № 197-FZ (edition 05.10.2015) [Electronic resource]. URL : <http://base.consultant.ru/cons/cgi/online.cgi?> (date accessed : 04.11.2015).
2. Polozhenie o poryadke provedeniya attestatsii rukovodyaschikh, inzhenerno-tekhnicheskikh rabotnikov i drugih spetsialistov predpriyatiy i organizatsiy promyshlennosti, stroitelstva, selskogo khozyaystva, transporta i svyazi [Regulations on the procedure for certification of managers, engineers and technicians and other employees of enterprises and companies in industry, construction, agriculture, transport and communication sectors] [Electronic resource]. URL: <http://base.consultant.ru/cons/cgi/online.cgi?req=doc;base=LAW;n=8602> (date accessed : 29.10.2015).
3. Otsenka personala : vse delo v kompleksnosti [Staff evaluation : it's all about complexity] // Spravochnik po upravleniyu personalom. 2013. № 11.
4. Aleksandrova N. A., Vasil'tsova L. I., Voronin B. A., Nabokov V. I. Upravlenie personalom organizatsii. [Personnel management of the organization] – Ekaterinburg : Ural. agrar. izd-vo, 2013. S. 142–143. ISBN 978-5-87203-329-5.
5. Upravlenie personalom na proizvodstve : uchebnik [Personnel management in a company : a textbook] / edited by N. I. Shatalova, A. G. Galkin. – Ekaterinburg : Izd-vo UrGUPS, 2013. – S. 504–505. ISBN 978-5-94614-254-0.
6. Kak vybrat klyucheveye pokazateli deyatel'nosti dlya premirovaniya rabotnikov? Pro-personal. [How to select key performance indicators to reward employees? Pro-Staff.] [Electronic resource]. – URL:<http://www.pro-personal.ru/faq/326/610939/> (date accessed: 15.06.2015).

Статья сдана в редакцию 12 ноября 2015 года

Е. Ю. Кузнецова, А. А. Акулова

Организация процесса утилизации в российском автотранспортном комплексе

UDC 656.09

E. Yu. Kuznetsova, A. A. Akulova

Organization of the recycling in the russian complex of automobile transport

Аннотация

Развитие автотранспортного комплекса РФ связано в первую очередь с повышением конкурентоспособности отечественных производителей и транспортно-логистических компаний на внутреннем рынке. Сравнение со странами, имеющими наиболее перспективные автомобильные отрасли, показало, что для развитого автотранспортного комплекса характерна развитая инфраструктура, сопровождающая транспортное средство на всех этапах жизненного цикла. Особое внимание уделяется завершающему этапу жизненного цикла, что продиктовано ужесточением экологических норм и социальными аспектами.

В статье приведен обзор зарубежных и отечественных источников, посвященных различным сторонам вопроса управления завершающим этапом жизненного цикла автотранспорта. Как видно, к исследованию вопроса утилизации автомобилей в РФ сегодня привлечены многие ученые, однако как таковой системы все еще не сложилось, в связи с чем разработка организационной схемы рынка утилизации автомобильного транспорта по-прежнему актуальна. Рассмотрены возможные кластерная и дивизиональная схема организации рынка утилизации и сделан вывод о преимуществах дивизиональной схемы. Для автотранспортного комплекса приведена матрица взаимодействий с утилизирующими компаниями, позволившая составить организационную структуру системы утилизации автомобильного транспорта.

Ключевые слова: система утилизации автомобилей, авторециклинг, управление завершающим этапом жизненного цикла.

DOI:10.20291/2079-0392-2015-4-81-90

Abstract

The development of the transport complex of the Russian Federation is connected primarily to an increase in the competitiveness of domestic producers and transport and logistics companies in the domestic market. A comparison with countries with the most advanced automotive industries has shown that a developed automotive sector is characterized by developed infrastructure which supports vehicle at all stages of its life cycle. Particular attention is paid to the final stage of the life cycle, which is due to tightened environmental standards and social aspects.

The article provides an overview of foreign and domestic sources on various aspects of the issue of managing the final life cycle stage of vehicles. It is clear that today in Russia many scientists are involved in the issue of vehicle disposal; however, the systems are not yet developed, in this connection the development of an organizational pattern of car recycling market remains very relevant. Possible cluster and divisional scheme of organization of the recycling market are considered, and it is concluded that the divisional scheme is more advantageous. A matrix of interactions with recycling companies is drawn up for transport complex, allowing to create organizational structure of car recycling system.

Keywords: car recycling system, recycling of cars, car end-life-cycle management.

DOI:10.20291/2079-0392-2015-4-81-90

Елена Юрьевна Кузнецова, д-р эконо. наук, профессор; кафедра «Организация машиностроительных производств» Уральского федерального университета; Екатеринбург, Россия. E-mail: elena.bstm@gmail.com.

Анастасия Александровна Акулова, аспирант; кафедра «Организация машиностроительных производств» Уральского федерального университета; Екатеринбург, Россия. E-mail: pblba90@mail.ru.

Elena Yuryevna Kuznetsova, DSc in Economics, Professor; Machine-Building Industry Management Department, Ural Federal University; Ekaterinburg, Russia. E-mail: elena.bstm@gmail.com.

Anastasiya Aleksandrovna Akulova, PhD Student; Machine-Building Industry Management Department, Ural Federal University; Ekaterinburg, Russia. E-mail: pblba90@mail.ru.

Промышленное производство и эксплуатация технической продукции привели к резкому истощению природных ресурсов и возрастающей нагрузке на окружающую среду. Обострение экологической ситуации получило общественный и правительственный отклик, что наиболее просматривается в странах ЕС, США и Японии; в результате вышел ряд нормативных актов, повлекших за собой изменения в управлении ресурсами. В основных международных соглашениях и конвенциях об охране окружающей среды сформулирована концепция устойчивого долгосрочного развития общества: «...обеспечение и удовлетворение нужд настоящего, не подвергая риску способность будущих поколений удовлетворять свои потребности». Многие компании признают, что они могут сократить издержки, закрыв убыточные технологические процессы и более экономно обращаясь с редкими материалами. Изменения в стратегии принимают во внимание не только экономические цели, но и экологические и социальные аспекты при проектировании и эксплуатации технических изделий.

В сложившихся внешних условиях многие предприятия, особенно ориентированные на массового потребителя, перешли к системному интегрированному подходу управления жизненным циклом продукта. Такой подход позволяет не только сократить затраты предприятий на различных этапах жизненного цикла продукции и построить долгосрочную стратегию взаимодействия с потребителем, но и оценивать экологический ущерб и использование ресурсов на всех стадиях от проектирования до утилизации.

Один из основных источников экологических проблем – автомобильный транспорт*, производство автомобилей сопровождается высокими энерго- и ресурсозатратами, выбросами

в окружающую среду; их эксплуатация и обслуживание приводят к скоплению отходов потребления (шины, аккумуляторные батареи, ГСМ). В последнее десятилетие наибольший интерес среди исследователей вызывает вопрос управления завершающим этапом жизненного цикла автотранспортных средств.

В качестве отдельного направления проблема утилизации транспортных средств выделилась из более широкой области – системы обращения с отходами, recycling system, которая впервые появилась в Европе. Эта система направлена не только на сокращение количества отходов путем профилактики их образования и захоронения, но и переводом части материальных ресурсов из категории «отходы» в категорию «вторичное сырье». Как следствие темпов автомобилизации возрастает экологическая нагрузка от автомобильного транспорта: «...за время эксплуатации средний легковой автомобиль потребляет 14 т топлива и 200 л масла, выделяет в атмосферу 52 т отработанных газов» [2]. Кроме того, производство одного автомобиля требует значительных затрат энергии и использования ценных и редких материалов, следовательно, с каждым годом потребление ресурсов автомобильной отраслью растет, а «...утилизация автомобиля среднего класса массой около 1 тонны позволяет сэкономить 3300 кг материальных ресурсов, снизить расход энергии на 56 000 МДж, уменьшить выбросы вредных веществ на 1945 кг» [3].

Технологические процессы и оборудование для переработки материалов и компонентов, входящих в состав автотранспортных средств, описаны в [4, 5]. Обзор существующих подходов и организационных схем системы утилизации в разных странах, основные требования к созданию перерабатывающей отрасли приведены в [6, 7]. Отдельные исследования ведутся в области

* За последние четыре года объемы производства выросли на 15 % и составили 89,5 млн ед. в год, а всего в эксплуатации находится до 1,2 млрд автотранспортных средств [1].

нормативно-правового обеспечения вопросов обращения с отходами автотранспортного комплекса [8, 9]. Влияние автомобильного транспорта на окружающую среду и положительные эффекты внедрения системы авторециклинга рассмотрены в [10]. Утилизация с точки зрения различных сценариев обращения с отходами в рамках рециклинга представлены в [11]. Индекс рециклируемости материала для более эффективной оценки конструкции транспортного средства предлагается ввести в [12].

Опыт и перспективы организации системы авторециклинга, основные методики оценки эффективности отрасли и статистический обзор представлены в [13–18].

На начальном этапе становления системы особый интерес вызывают вопросы организационного характера и формирования логистических потоков. Система утилизации транспортных средств в России сегодня находится на этапе зарождения, поэтому авторы считают, что особенно важно разрабатывать состав, структуру и логистические потоки системы авторециклинга, рассматривая ее как часть транспортной системы.

Автотранспортный комплекс, как и транспортная система страны в целом, находится с точки зрения конкурентоспособности в неоднозначном положении, когда, с одной стороны, преимущества автомобильного транспорта способствуют его укреплению на рынке транспортных услуг и бурному росту всего комплекса, с другой, существует тенденция к снижению конкурентных преимуществ отечественных автопроизводителей и транспортно-логистических компаний. В Стратегии развития автомобильной промышленности одной из главных задач является повышение конкурентоспособности отечественных компаний «...по всем переделам цепочки создания автотранспортных средств в России при достаточном выборе и качестве продукции автомобилестроения» [19]. Однако при аналогии с промышленным предприятием

понятно, что для эффективного и устойчивого развития отрасли управления одним только этапом создания продукции недостаточно.

До недавнего времени повышение производительности в обрабатывающей промышленности всегда характеризовалось оптимизацией процессов и усилением контроля. Однако постоянно изменяющиеся требования заказчика требуют машин с более коротким временем производственного цикла и сокращения размеров партий. Для достижения устойчивых конкурентных преимуществ в будущем компании должны быть способны использовать в долгосрочной перспективе потенциалы пока еще неиспользованной производительности активов, которые они реализуют в течение всего жизненного цикла [20]. Концепция жизненного цикла выступает как комплексный подход к управлению компанией и говорит, что для получения максимальной выгоды от продукции все, кто участвует в разработке, производстве, использовании и утилизации продукта, должны работать вместе.

Соответствующую параллель можно провести и для автотранспортного комплекса в целом, решение поставленных в стратегии задач возможно только при интегрированном подходе к управлению и развитию инфраструктуры автотранспортной отрасли на всех этапах жизненного цикла продукта. В автомобильной промышленности Японии, США, Великобритании, Германии и Франции высокую конкурентоспособность имеют не только автопроизводители, но и производители комплектующих, сервисные и дилерские станции, транспортно-логистические компании, и особо следует отметить уровень развития системы утилизации автомобилей и их отходов (таблица 1).

Систему утилизации транспортных средств можно рассматривать как субъект транспортной системы, элемент ее структуры, который выполняет определенную функцию и характеризуется взаимодействиями с другими

Таблица 1

Сводные данные по автомобильной промышленности развитых стран

Страна	Парк легковых а/м, ед.	Произведенные автомобили, 2014 г., кол-во	Средний возраст парка легковых а/м, лет	Шредерные заводы, перерабатывающие отходы автокомплекса, кол-во [14]	А/м, подлежащие утилизации, ед./г.
Франция	30 850 000	1 817 000	8,2	40	1 583 283
Германия	41 321 171	5 908 000	8,1	47	500 193
Великобритания	30 309 171	1 599 000	7,1	37	1 157 438
США	130 355 000	11 661 000	10,8	182	12 000 000
Япония	57 785 000	9 775 000	8,6	1 325	2 960 000
Россия	35 057 514	1 887 000	11,8	4	Нет данных

элементами системы. Система авторециклинга как элемент транспортной системы выполняет функцию управления отходами автотранспортного комплекса; нами предлагается следующее определение: функция управления отходами автотранспортного комплекса заключается в сборе и распределении отходов автотранспортного комплекса, их переработке во вторичные изделия, материалы и энергию для использования в транспортной или другой отрасли, а также рационального обращения с не утилизируемым остатком.

Между субъектами автотранспортного комплекса и системой утилизации транспортных средств могут возникать различные взаимодействия, которые можно представить в виде информационного (при консультировании, обучении, инжиниринговых и научно-исследовательских работах), финансового (при продвижении и продаже вторичных материалов, услуг утилизирующих компаний) и материального потоков (в процессе приема транспортных средств и отходов их эксплуатации). Анализ взаимодействий и их интенсивности позволяет рационально распределить ресурсы в ходе организации процесса утилизации, определить интересы участников системы, оптимизировать структуру системы утилизации транспортных средств.

Взаимодействие системы утилизации транспортных средств и участников автотранспортного комплекса для некоторого условно-идеализированного состояния, соответствующее полному удовлетворению интересов участников системы, приведено в таблице 2.

Действующая система имеет ряд ключевых отклонений, в результате чего далеко не все участники заинтересованы в организации процесса утилизации автоотходов, и управляющая стратегия развития транспортной системы должна предусматривать соответствующие корректировки. Система утилизации транспортных средств, с точки зрения системного анализа, должна обладать структурой, определяемой взаимодействиями и функциями ее элементов. Однако действующие предприятия, утилизирующие автомобили и их отходы, не являются узкоспециализированными и не имеют единых целей, критериев эффективности и технологического обеспечения. Большинство компаний, задействованных в утилизации транспортных средств, занимается переработкой черных и цветных металлов, шин и аккумуляторных батарей, значительная доля неметаллических материалов отправляется на захоронение. Основные функции для системы авторециклинга реализованы не все, поэтому, несмотря на наличие

Таблица 2

Участники автотранспортного комплекса		Тип и интенсивность взаимодействий			Интересы участников системы
		мат.	фин.		
Внутренние	Автопроизводители (производители комплектующих)	П +++	О +++	П +	Получение выгоды за счет использования более дешевого вторичного сырья
	Автовладельцы	О +++	П +++	К ++	Получение свидетельства об утилизации для снятия автомобиля с учета (снятие транспортного налога, моральное удовлетворение), освобождение площади от автоотходов
	Ремонтные и сервисные предприятия	О ++	П +++	К ++	Освобождение площади от автоотходов, снижение расходов, за счет сокращения требуемых площадей и транспортных расходов
	Официальные дилеры автопроизводителей	П +	П ++	–	Освобождение площади от автоотходов, снижение расходов за счет сокращения требуемых площадей и транспортных расходов
	Автотранспортные компании	О +	П +++	К ++	Освобождение площади от автоотходов, снижение расходов за счет сокращения требуемых площадей и транспортных расходов, получение субсидий
	Министерство транспорта	П +++	–	П ++	Повышение экологичности, безопасности транспортной системы и энергосбережения, в частности, за счет омоложения автопарка
Внешние	Министерство промышленности и торговли	К +++	–	–	Стимулирование обновления парка подвижных средств
	Областное правительство (органы местного самоуправления)	П +++	–	П ++	Сокращение издержек в транспортной системе региона
	НИИ	П +++	–	К ++	Получение грантов от правительства на разработку новых материалов и технологий для системы утилизации
	Рынок автомобильных запчастей	О +++	О +++	П ++	Получение прибыли от продажи автозапчастей годных для эксплуатации, полученных из системы утилизации

П – прямой поток (направленный к системе авторециклинга); О – обратный поток; К – косвенный поток; «+++» – сильное взаимодействие; «++» – умеренное взаимодействие; «+» – слабое взаимодействие; «–» – взаимодействие отсутствует.

на рынке отдельных предприятий, предоставляющих услуги переработки автотранспортных средств, говорить о системе утилизации внутри автотранспортного комплекса не приходится [13]. Одной из первоочередных задач стоит создание организационной схемы, увязывающей воедино интересы автопроизводителей, обслуживающих компаний, владельцев автомобилей и утилизирующих предприятий, а также учитывающей экономические, экологические и социальные аспекты.

Начать построение организационной схемы следует с определения ответственного за автомобиль по завершении его жизненного цикла и понимания, кто должен координировать систему утилизации. Зарубежный опыт показывает, что существуют различные схемы, когда за утилизацию автомобиля отвечает его владелец, страховая компания, государство или производитель, а носителем функции управления, как правило, выступают союзы автопроизводителей или правительственные организации. Для РФ возможны два варианта организации системы утилизации автомобилей: а) кластерный – автопроизводители отвечают за утилизацию своих автомобилей, выстраивают сети через официальных представителей и б) дивизиональный – регулирование и построение системы утилизации осуществляется государством, утилизирующие компании не привязаны к производителю.

Для кластерной системы характерна более тесная связь утилизирующего предприятия и конкретного автопроизводителя, что гарантирует соблюдение технологического процесса утилизации, возвращение ценных вторичных материалов автопроизводителю, позволяет использовать имеющуюся инфраструктуру сервисных и дилерских центров для приема автомобилей у их владельцев и сократить путь пригодных для дальнейшего использования деталей. Финансовые обязательства по обеспечению предприятий, выполняющих функции сбора и транспортировки, ложатся на автопроизводителей.

Для создания организационной схемы такого типа существуют свои сложности: распределение средств от утилизационного сбора, контроль и сертификация предприятий, принадлежащих зарубежным компаниям, заметное влияние внешнеэкономической ситуации на рынок. С учетом того, что значительная доля российского автопарка представлена зарубежными автомобилями, создание отлаженной автотранспортной отрасли в российской автотранспортной системе по кластерной схеме практически невозможно.

Более приемлема схема, при которой основную управляющую функцию на себя возьмет муниципальная власть, что позволит нивелировать влияние внешнеполитической ситуации и действовать в интересах отечественных предприятий, повышая их конкурентоспособность на рынке. При этом достоинства кластерной системы являются отчасти недостатками для системы дивизиональной, поскольку утилизирующие компании, не имея привязанности к какому-либо автопроизводителю, вынуждены поставлять более универсальные вторичные материалы и использовать универсальные технологии, что отрицательно скажется на качестве вторичного сырья.

Особенность дивизиональной структуры заключается в сочетании децентрализованного управления с централизованной координацией [21]. Роль координатора в системе утилизации транспортных средств (функции контроля и регулирования) отводится государству на различных уровнях, а функция управления оперативно-хозяйственной деятельностью осуществляется утилизирующими компаниями различных классов. Классификация утилизирующих компаний может осуществляться по различным классификационным признакам, например, по продукту на выходе, продукту на входе, занимаемой доле рынка, однако авторы считают наиболее интересным провести аналогию с классификацией

Таблица 3

Классификация утилизирующих компаний

Класс	Характеристика утилизирующих компаний, принадлежащих к классу	Функции, выполняемые компаниями в системе авторециклинга	Логистический оператор
A	Крупные утилизирующие компании, обеспечивающие решение полного спектра задач системы утилизации и осуществление высокой интенсивности всех потоков взаимодействий, выполнение уникальных комплексных проектов, связанных с разработкой решений по утилизационным свойствам объекта на всех его этапах ЖЦ	Все функции, а также взаимодействие с элементами надсистемы (интересы системы утилизации в транспортном комплексе)	4PL
B	Крупные утилизирующие компании, обеспечивающие решение полного спектра задач системы утилизации и осуществление большинства потоков взаимодействий, являющиеся локальными игроками на рынке	Сбор, транспортировка, демонтаж, рециклинг изделий, рециклинг материалов	3PL
C	Специализированные утилизирующие компании, выполняющие определенный сегмент работ по утилизации и выпускающие узкий перечень вторичных материалов, на которые имеется наибольший спрос на рынке	Сбор, транспортировка, рециклинг материалов	2PL
D	Пункты приема специализируются на оформлении актов об утилизации и предоставлении транспортных услуг; переработкой материалов занимаются, как правило, сторонние организации	Сбор, транспортировка	–

логистических операторов. Строго говоря, процесс управления завершающим этапом жизненного цикла является вопросом, связанным с «обратной» логистикой материальных и сопутствующих потоков. Предлагается все компании, занятые в утилизации транспортных средств, разделить на четыре класса (таблица 3) А, В, С и D исходя из спектра выполняемых функций.

Компании классов А и В служат интеграторами рынка, осуществляя основные взаимодействия, маркетинговые исследования и определяя стратегию дальнейшего развития системы утилизации для автотранспортного комплекса страны. Создание таких предприятий требует значительных капиталовложений, больших площадей и сложной инфраструктуры, их размещение должно определяться в первую очередь наличием производственных

площадей, удаленностью от густонаселенных пунктов (из-за обращения с отходами различных классов опасностей), наличием транспортных узлов, доступностью квалифицированных рабочих. Для размещения крупных утилизационных компаний лучше всего подходит пригород мегаполисов (например, в Свердловской области целесообразно размещение на границе 50 км зоны Екатеринбурга – в Ревде, Первоуральске, Полевском), вблизи логистических центров. Расположение утилизационных центров (компании С, D) должно быть ориентировано на автовладельцев и поставщиков автомобильных отходов и соответствовать модели территориального размещения предприятий и их объектов [22].

Организационная схема системы утилизации автомобильного транспорта представлена на рис.

2. Денисов В.Н., Роголев В.А. Проблемы экологизации автомобильного транспорта. – СПб : МАНЭБ, 2003. – 213 с. ISBN 5-900277-12-7.
3. Бобович Б.Б. Утилизация автомобилей и автокомпонентов : учебное пособие. – М. : МГИУ, 2010. – 176 с. ISBN 5-91134-504-8 978-5-91134-504-4.
4. Martens H. Recyclingtechnik : Fachbuch für Lehre und Praxis. – Heidelberg: Spectrum Akademischer Verlag, 2011. – 343 p. ISBN 978-3-8274-2640-6.
5. Staudinger J., Keoleian G.A. Management Of End-Of-Life Vehicles (ELVs) In the US [Electronic resource] // Center for Sustainable System [Official website]. Report No. CSS01-01. Michigan. 2001. 61 p. URL: http://css.snre.umich.edu/css_doc/CSS01-01.pdf (дата обращения: 14.09.2015).
6. A Review on End-of-life Vehicle Design Process and Management / Lashem A.A. [and al.] // Journal of Applied Science. № 5. 2013. p. 654–662. ISSN 1812-5654.
7. Mater J. An international comparative study of end-of-life vehicle (ELV) recycling systems // Material Cycles and Waste Management. № 16. 2014. Pp. 1–20. ISSN 1611-8227.
8. Lucas R. End-of-life vehicle regulation in Germany and Europe – problems and perspectives : Discussion paper of the project «Autoteile per Mausclick» financed by the QUATRO-Programme. – Wuppertal: Wuppertal Institute for Climate, Environment and Energy, 2011. – 30 p. ISSN 0949-5266.
9. Cole S.M. Recycling the Automobile: A Legislative and Regulatory Preview. Report Number : UMTRI 93-40-3. – Novi: Cole and Associates, 1993. – 37 p.
10. Gruden D. Umweltschutz in der Automobilindustrie: Motor, Kraftstoffe, Recycling. – Wiesbaden : Vieweg+Teubner, 2008. – 414 p. ISBN 978-3-8348-9526-4.
11. Tonini D. Material Resources, Energy and Nutrient Recovery from Waste : Are Waste Refineries the Solution for the Future? / D. Tonini // Environmental science and technology. № 47. 2013. P. 8962–8969. ISSN 1520-5851.
12. Recyclability Index for Automobiles / A. Tsuji, Y. Nelson, A. Kean // Proceedings of the 99th Annual Meeting and Exhibition of the Air and Waste Management Association. New Orleans, June 1, 2006. – P. 20.
13. Утилизация автомобилей : научная монография / Ю.В. Трофименко, Ю.М. Воронцов, К.Ю. Трофименко. – М. : АКСПРЕСС, 2011. – 336 с. ISBN 978-5-91293-066-9.
14. Петров Р.Л. О мировом опыте организации национальных систем Авторециклинга // Рециклинг отходов. №5. 2008. С. 2–11.
15. Петров Р.Л. Выполнение современных требований по рециклингу и утилизации в конструкции и материалах автомобилей LADA // Автомобильная промышленность. № 4. 2011. С. 50–53. ISSN 0005-2337.
16. Петров Р.Л. Европейский опыт авторециклинга для развития системы утилизации отслуживших автомобилей в России // Автомобильная промышленность. № 5. 2012. С. 52–57. ISSN 0005-2337.
17. Петров Р.Л. Особенности и перспективы утилизации старых автомобилей в России и сравнение с европейской практикой технического регулирования // Автомобильная промышленность. № 1. 2014. С. 44–49. ISSN 0005-2337.
18. Володькин П.П. Утилизация отходов автотранспортного комплекса // Электронное научное издание «Ученые заметки ТОГУ», Т. 4. № 4. 2013. С. 1514–1518. ISSN 2079-8490.
19. Основные положения стратегии развития автомобильной промышленности Российской Федерации на период до 2020 года. – М. : Министерство транспорта РФ, 2008. – 183 с.
20. Niemann J. Design of Sustainable Product Life Cycles / J. Niemann, S. Tichkiewitch. – Heidelberg : Springer-Verlag Berlin, 2009 – 436 p.
21. Сай В.М. Формирование организационных структур управления. – М. : ВИНТИ, 2002. – 437 с. ISBN S-900242-307.
22. Кобелев Н.Б. Основы имитационного моделирования сложных экономических систем : Учеб пособие. – М. : Дело, 2003. – 336 с. ISBN 5-7749-0309-5.

References

1. Mezhdunarodnye tempy avtomobilizatsii [International motorization rates] [Electronic resource] // Mezhdunarodnaya assotsiatsiya avtoproizvoditeley [Ofits. sayt]. URL : <http://www.oica.net/category/vehicles-in-use/> (date accessed : 17.09.2015).
2. Denisov V.N., Rogalev V.A. Problemy ekologizatsii avtomobilnogo transporta. [Road transport greening issues.] – SPb : MANEB, 2003. – 213 s. ISBN 5-900277-12-7.

3. Bobovich B. B. Utilizatsiya avtomobiley i avtokomponentov : Uchebnoe posobie. [Disposal of cars and car parts : Textbook.] – M. : MGIU, 2010. – 176 s. ISBN 5-91134-504-8 978-5-91134-504-4.
4. Martens H. Recyclingtechnik : Fachbuch für Lehre und Praxis. – Heidelberg : Spectrum Akademischer Verlag, 2011. – 343 p. ISBN 978-3-8274-2640-6.
5. Staudinger J., G. A. Keoleian. Management Of End-Of-Life Vehicles (ELVs) In the US [Electronic resource] // Center for Sustainable System [Official website]. Report № CSS01-01. Michigan. 2001. 61 p. URL : http://css.snre.umich.edu/css_doc/CSS01-01.pdf (date accessed : 14.09.2015).
6. A Review on End-of-life Vehicle Design Process and Management / Lashlem A.A. [and al.] // Journal of Applied Science. № 5. 2013. P. 654–662. ISSN 1812-5654.
7. Mater J. An international comparative study of end-of-life vehicle (ELV) recycling systems // Material Cycles and Waste Management. № 16. 2014. P. 1–20. ISSN 1611-8227.
8. Lucas R. End-of-life vehicle regulation in Germany and Europe — problems and perspectives : Discussion paper of the project «Autoteile per Mausclick» financed by the QUATRO-Programme. – Wuppertal : Wuppertal Institute for Climate, Environment and Energy, 2011. – 30 p. ISSN 0949-5266.
9. Cole S.M. Recycling the Automobile : A Legislative and Regulatory Preview. Report Number : UMTRI 93-40-3. – Novi : Cole and Associates, 1993. – 37 p.
10. Gruden D. Umweltschutz in der Automobilindustrie : Motor, Kraftstoffe, Recycling. – Wiesbaden : Vieweg+Teubner, 2008. – 414 p. ISBN 978-3-8348-9526-4.
11. Tonini D. Material Resources, Energy and Nutrient Recovery from Waste : Are Waste Refineries the Solution for the Future? / D. Tonini // Environmental science and technology. № 47. 2013. P. 8962–8969. ISSN 1520-5851.
12. Recyclability Index for Automobiles / A. Tsuji, Y. Nelson, A. Kean // Proceedings of the 99th Annual Meeting and Exhibition of the Air and Waste Management Association. – New Orleans, June 1, 2006. – P. 20.
13. Utilizatsiya avtomobiley : nauchnaya monografiya [Recycling of cars : Scientific monograph] / Yu. V. Trofimenko, Yu. M. Vorontsov, K. Yu. Trofimenko. – M. : AKSPRESS, 2011. – 336 s. ISBN 978-5-91293-066-9.
14. Petrov R. L. O mirovom opyte organizatsii natsionalnykh sistem avtoretsiklinga [The global experience of organization of national car recycling systems] // Retsikling otkhodov. № 5. 2008. S. 2–11.
15. Petrov R. L. Vypolnenie sovremennykh trebovaniy po retsiklingu i utilizatsii v konstruktsii i materialakh avtomobiley LADA [vehicles] // Avtomobilnaya promyshlennost. № 4. 2011. S. 50–53. ISSN 0005-2337.
16. Petrov R. L. Evropeyskiy opyt avtoretsiklinga dlya razvitiya sistemy utilizatsii otsluzhivshikh avtomobiley v Rossii [European experience of car recycling for the development of old vehicles recycling system in Russia] // Avtomobilnaya promyshlennost. № 5. 2012. S. 52–57. ISSN 0005-2337.
17. Petrov R. L. Osobennosti i perspektivy utilizatsii starykh avtomobiley v Rossii i sravnenie s evropeyskoy praktikoy tekhnicheskogo regulirovaniya [Features and prospects of recycling of old cars in Russia and a comparison with the European industry regulation practice] // Avtomobilnaya promyshlennost. № 1. 2014. S. 44–49. ISSN 0005-2337.
18. Volodkin P. P. Utilizatsiya otkhodov avtotransportnogo kompleksa [Disposal of automotive industry waste] // Uchenye zametki TOGU [Electronic publication]. T. 4. № 4. 2013. S. 1514–1518. ISSN 2079-8490.
19. Osnovnye polozheniya strategii razvitiya avtomobilnoy promyshlennosti Rossiyskoy Federatsii na period do 2020 goda. [Main provisions of the strategy of development of the automotive industry of the Russian Federation for the period up to 2020.] – M. : Ministerstvo transporta RF, 2008. – 183 s.
20. Niemann J. Design of Sustainable Product Life Cycles / J. Niemann, S. Tichkiewitch. – Heidelberg : Springer-Verlag Berlin, 2009. – 436 p.
21. Sai V. M. Formirovanie organizatsionnykh struktur upravleniya. [Formation of organization management structures.] – M. : VINITI, 2002. – 437 s. ISBN S-900242-307.
22. Kobelev N. B. Osnovy imitatsionnogo modelirovaniya slozhnykh ekonomicheskikh sistem : ucheb posobie. [Basics of simulation of complex economic systems : a textbook] – M. : Delo, 2003. – 336 s. ISBN 5-7749-0309-5.

Статья сдана в редакцию 29 сентября 2015 года

Безопасность деятельности человека

УДК 616-001.2

К. Б. Кузнецов, А. Р. Закирова

Формирование понятия «доза воздействия электромагнитного поля низкочастотного диапазона на организм человека»

UDC 616-001.2

K. B. Kuznetsov, A. R. Zakirova

Developing the concept of low-frequency electromagnetic field exposure dose affecting human body

Аннотация

В статье приведена оценка экспозиции низкочастотного электромагнитного поля на работников вблизи электроустановок. Приводится практика нормирования электромагнитных полей стран Евросоюза (ЕС) и России. Сформулировано понятие «доза для электромагнитного неионизирующего низкочастотного воздействия на ткани человеческого организма». Предложен дозовый принцип нормирования электрического и магнитного полей. Рассмотрен дозовый анализ энергетического воздействия ЭМП промышленной частоты на людей с разной площадью тела. Представлена доза энергетической нагрузки для разной продолжительности сочетанного воздействия электрической и магнитной составляющих ЭМП.

Ключевые слова: электромагнитное поле, электроустановка, доза, энергетическая нагрузка.

DOI:10.20291/2079-0392-2015-4-91-98

Abstract

The article presents the assessment of personnel exposure to low-frequency electromagnetic field near electrical installations. Electromagnetic fields regulation practice in the European Union (EU) and Russia is presented. A concept of «non-ionizing low-frequency electromagnetic effects on human tissue» has been formulated. A dose-based principle of regulation of electric and magnetic fields is proposed. Dose analysis of electromagnetic effects of an industrial frequency EMF on people with different areas of the body is examined. Energy load dose for various durations of combined effects of electric and magnetic components of EMF is presented.

Keywords: electromagnetic field, electrical installation, dose, energy load.

DOI:10.20291/2079-0392-2015-4-91-98

Константин Борисович Кузнецов, д-р техн. наук, профессор; кафедра «Техносферная безопасность» Уральского государственного университета путей сообщения; Екатеринбург, Россия. E-mail: kobokuz@gmail.com.

Альфия Резавановна Закирова, канд. техн. наук, доцент; кафедра «Техносферная безопасность» Уральского государственного университета путей сообщения; Екатеринбург, Россия. E-mail: Alfij_2011@bk.ru.

Konstantin Borisovich Kuznetsov, DSc in Engineering, Professor; Technospheric Safety Department, Ural State University of Railway Transport; Ekaterinburg, Russia. E-mail: kobokuz@gmail.com.

Alfiya Rezavanovna Zakirova, PhD in Engineering, Assistant Professor, Technospheric Safety Department, Ural State University of Railway Transport; Ekaterinburg, Russia. E-mail: Alfij_2011@bk.ru.

Гигиеническое нормирование вредного воздействия электромагнитных полей ведется на основе установления предельно допустимых уровней (ПДУ) параметров электромагнитных полей (ЭМП) низкочастотного диапазона [1, 2]. Основные нормируемые показатели – напряженность электрического поля (ЭП), магнитного поля (МП) и продолжительность экспозиции напряженностей ЭМП на рабочем месте. Показатели электрической и магнитной составляющих ЭМП нормируются отдельно, а оценка их совместного воздействия на организм человека не предусмотрена. Как правило, это нормирование осуществляется для промышленной частоты 50 Гц. ПДУ частотного спектра ЭМП до 10 кГц в России разрабатывается.

В зарубежной практике, например, в ЕС практика нормирования основана также на отдельной оценке ПДУ показателей ЭМП с более глубокой проработкой зависимости показателей от частотного спектра [3].

С другой стороны практика гигиенического нормирования в РФ имеет оценку продолжительности воздействия показателей ПДУ ЭМП, правда, в отдельных случаях с достаточно большим шагом временного воздействия.

Межотраслевые правила по охране труда (правила безопасности) при эксплуатации электроустановок [4] действовали с 2001-го года. С 2014 г. действуют «Правила по охране труда при эксплуатации электроустановок» [5], в которых зафиксированы нормы допустимых уровней вредного воздействия ЭМП на работников в соответствии с санитарными нормами [1].

Интересно сравнить предельно допустимые показатели нормируемых значений ЭМП для ЭУ переменного тока промышленной частоты в российских нормативных документах и в странах Евросоюза (таблица 1).

Даже неполные данные нормирования показывают, что в странах Евросоюза установлены значительно менее жесткие нормы показателей ЭМП в сравнении с российскими показателями. При этом не нормируется длительность пребывания при экспозиции ЭМП.

Можно ли на основе существующей практики гигиенического нормирования ПДУ показателей ЭМП оценить величину вредной дозы электромагнитного воздействия на человека, а вместе с этим – риск возникновения профессионально обусловленного воздействием ЭМП заболевания человека, осуществляя в последующем нормирование предельно допустимой дозы?

Парацельс еще в XVI в. утверждал: «Все вещества яды и все вещества лекарства – всё дело в дозе». Можно по аналогии с этим утверждением предложить определение: «Электромагнитные поля лечат, электромагнитные поля и калечат – все дело в дозе»?

Дозовый принцип нормирования вредных воздействий в электромагнитном радиационном воздействии является основным [6], в определенном диапазоне он применяется и для ЭМП высокочастотного спектра частот [7].

Нормируются основные пределы эффективной, эквивалентной и поглощенной доз. Нормативами предусмотрены две нормируемые величины: эффективная доза и эквивалентная

Таблица 1

Нормируемые показатели ЭМП для промышленной частоты (50 Гц) в России и странах Евросоюза

Страны	Длительность, ч	Электрическая напряженность, В/м	Магнитная напряженность, А/м	Магнитная индукция, мкТл
Россия	8	5000 (500 – для населения)	80	100
Евросоюз	–	10 000	400	500

доза, измеряемая отдельно для кожи, для хрусталика глаза, а также для кистей и стоп.

Доза поглощенная – величина энергии ионизирующего излучения, переданная веществу.

Доза эквивалентная – поглощенная доза в органе или ткани, умноженная на соответствующий взвешивающий коэффициент для данного вида излучения.

Доза эффективная (эквивалентная) годовая – сумма эффективной (эквивалентной) дозы внешнего облучения, полученной за календарный год, и ожидаемой эффективной (эквивалентной) дозы внутреннего облучения, обусловленной поступлением в организм радионуклидов за этот же год.

Эффективная доза для персонала должна составлять в среднем 20 мЗв в год в течение последовательных пяти лет, но не более 50 мЗв в год. Для всего остального населения эта цифра значительно меньше: не более 1 мЗв в год в течение пяти последовательных лет, но не больше 5 мЗв в год. Что касается эквивалентной дозы, то для персонала она составляет 500 мЗв в год для кожи, кистей и стоп и 150 мЗв для хрусталика глаза. Для всего остального населения эти показатели в среднем должны быть в десять раз меньше.

Важно отметить, что в практике нормирования ионизирующего излучения доза это величина энергии, переданная веществу (органа или ткани человеческого организма).

На выбор величин ПДУ ЭМП оказывает влияние статус нормативных документов.

При прямом воздействии в качестве нормируемых параметров принимаются: напряженность невозмущенного однородного электрического поля E (В/м или кВ/м); напряженность магнитного поля H (А/м) или магнитная индукция B (Тл); плотность мощности излучения (потока мощности) S (Вт/м²); экспозиционная энергетическая доза D_s (Дж/м²); доза квадрата напряженности электрического поля DE (В²/с/м²);

доза квадрата напряженности магнитного поля DH (А² с/м²); удельная поглощенная энергия SA (Дж/кг); удельная поглощенная мощность SAR (Вт/кг).

Сформулируем понятие «доза для электромагнитного неионизирующего низкочастотного воздействия на ткани человеческого организма».

Доза поглощенная электромагнитного неионизирующего излучения – величина энергии электромагнитного поля (ЭМП), переданная веществу (органа или ткани организма) за определенный период.

Ранее нами было показано [8], что нормирование вредного воздействия неионизирующего ЭМП в виде предельно допустимых значений напряженностей электрической и магнитной составляющих ставит перед исследователями ряд вопросов: как нормировать сочетанное воздействие электрической и магнитной составляющих ЭМП? как учитывать составляющие продолжительности сочетанного воздействия, частот переменных составляющих и других факторов?

Энергию неионизирующего ЭМП можно выразить через вектор Пойнтинга, определенную авторами как поглощенную энергетическую нагрузку телом человека.

Электромагнитное поле в некотором бесконечно малом объеме пространства dV имеет запас электрической и магнитной энергии, определяемый уравнениями [8]:

$$W = \int_v \frac{DE}{2} dV + \int_v \frac{DH}{2} dV = \int_v \left(\frac{\epsilon E^2}{2} + \frac{\mu H^2}{2} \right) dV. \quad (1)$$

Электромагнитное поле и его запас энергии непрерывно изменяется во времени. Допустим, что происходит убывание количества энергии в объеме V со скоростью:

$$-\frac{dW}{dt} = -\int_v \left(E \frac{dE}{dt} + \mu H \frac{dH}{dt} \right) dV. \quad (2)$$

Из уравнения Максвелла следует:

$$E \frac{dE}{dt} = [\nabla H] - \gamma E; \mu H \frac{dH}{dt} = -[\nabla E]. \quad (3)$$

Рассматривая оператор ∇ как символ дифференцирования и обращаясь с ним формально как с вектором, можно получить:

$$\begin{aligned} \nabla[E \cdot H] &= E[H\nabla] + H[\nabla E] = \\ &= H[\nabla E] - E[\nabla H]. \end{aligned}$$

Выражение скорости убывания энергии примет следующую форму:

$$-\frac{dW}{dt} = \int_v \gamma E^2 dV + \int_v \nabla[E \cdot H] dV.$$

Член уравнения $\int_v \gamma E^2 dV$ выражает энергию, преобразовываемую в тепло за единицу времени. Второй член уравнения преобразуем по теореме Островского – Гаусса:

$$\int_v \nabla[E \cdot H] dV = \oint_s [E \cdot H] ds.$$

Этот интеграл представляет собой поток энергии, уходящий в единицу времени через замкнутую поверхность S , ограничивающую объем V . Плотность потока энергии в единицу времени или энергетическая нагрузка в Вт/м^2 :

$$S = [E \cdot H], \quad (4)$$

где S – поток энергии (вектор Пойтинга), Вт/м^2 ; E – напряженность электрического поля, В/м ; H – напряженность магнитного поля, А/м .

Выражение (4) определяет энергию, проходящую в единицу времени через единичную площадку, перпендикулярную его направлению, при одновременном воздействии на живые организмы и человека электрической и магнитной составляющих ЭМП. Принято называть этот поток энергии энергетической нагрузкой.

Исходя из гипотезы об одновременном действии электрической и магнитной составляющих ЭМП, с учетом предельно допустимых уровней нормируемых в России [1] величин напряженностей электрического и магнитного поля для промышленной частоты переменного тока 50 Гц, с учетом ряда допущений [8] получены значения этой предельно допустимой энергии в зависимости от продолжительности воздействия: от 200 до 13333 кВт/м^2 (см. таблицу 1) или от 20 до 1333 Вт/см^2 (таблица 2).

Сравнение предельно допустимой плотности потока энергии для высоких частот переменного ЭМП S и предельно допустимой энергетической нагрузки P , полученной нами для низкочастотного диапазона переменного ЭМП, показывает существенно большую величину предельно допустимой энергии ЭМП низкочастотного диапазона по сравнению с ЭМП радиочастот (более чем в 20 000 раз), что естественно для низких частот ЭМП, воздействие излучения которых до недавнего времени считалось безвредным.

Предельно допустимые значения плотности потока энергии ЭМП в диа-

Таблица 2

Энергетическая нагрузка при нормируемых значениях напряженностей ЭМП электроустановок промышленной частоты [8]

Экспозиция, ч	ПДУ электрической составляющей напряженности, В/м,	ПДУ магнитной составляющей напряженности (при общем воздействии), А/м,	Энергетическая нагрузка, $P_{\text{норм}}$, кВт/м^2 , с учетом (4), (5)
1	16666	1600	13333
2	12500	800	5000
4	8333	400	1667
8	5000	80	200

пазоне частот 300 МГц – 300 ГГц на рабочих местах персонала определяются по [6] исходя из допустимой энергетической нагрузки на организм с учетом времени воздействия:

$$S = \frac{D_s}{T}, \quad (5)$$

где S – предельно допустимое значение плотности потока энергии, Вт/м² (мВт/см², мкВт/см²); D_s – нормативная величина энергетической нагрузки за рабочий день, равная: 2Вт·ч/м² (200 мкВ·ч/см²) для всех случаев облучения, исключая облучение от вращающихся и сканирующих антенн; 20 Вт·ч/м² (2000 мкВ·ч/см²) для случаев облучения от вращающихся и сканирующих антенн с частотой вращения или сканирования не более 1 Гц и скважностью не менее 50; T – время пребывания в зоне облучения за рабочую смену, ч (без учета режима вращения или сканирования антенн).

Максимальное значение S не должно превышать 10 Вт/м² (1000 мкВт/см²).

Очевидно, что при оценке поглощенной дозы воздействия на организм ЭМП необходимо учитывать энергетическую нагрузку не удельную, приходящуюся на 1 м² пространства, а действительную, приходящуюся на площадь всего тела человека. В этом случае с учетом продолжительности воздействия детерминированное выражение для дозы ЭМП рассматриваемой частоты в самом общем виде может быть определено соотношением:

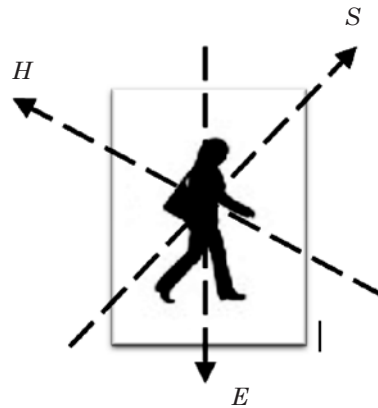
$$D = P \cdot t \cdot S, \quad (6)$$

где D – поглощенная доза, Вт·ч; P – энергетическая нагрузка (вектор Пойнтинга), Вт/м²; t – продолжительность экспозиции, ч; S – площадь облучаемой поверхности тела человека, м².

Физический смысл дозы представляет собой энергию, поглощенную телом человека в результате экспозиции ЭМП за время t .

Рассмотрим сначала детерминированную оценку зависимости дозы от входящих в ее математическое выражение факторов.

Физически вектор Пойнтинга представляет вектор, направление которого перпендикулярно векторам электрической и магнитной напряженностей, направления которых, в свою очередь, перпендикулярны друг другу. При рассмотрении воздействия энергетической нагрузки на организм человека возникает вопрос: как оценивать совместное воздействие составляющих, если они направлены по отношению к объекту воздействия в разных направлениях и имеют разную физическую природу? Направление самого вектора Пойнтинга принимается от источника тока к потребителю [9]. Возможные направления векторов напряженностей магнитной H , электрической E составляющих и вектора Пойнтинга S (энергетической нагрузки) приведены на рис.



Возможные направления векторов основных параметров ЭМП

Степень проникновения электрической составляющей ЭМП в воздушном пространстве через тело человека зависит не только от величины напряженности электрического поля, но и от соотношения электрической проводимости воздуха, в котором распространяется электрическое поле, и тканей человеческого организма, что определяет искажение электрического поля телом человека [10].

Можно принять допущение, что магнитная составляющая ЭМП проникает

через тело человека не искажаясь, так как ткани человеческого организма не обладают пара- и ферромагнитными свойствами [11].

Направление вектора Пойнтинга совпадает с направлением распространения электромагнитной волны. В линиях электропередачи это направление совпадает с направлением передачи электроэнергии от источника к потребителю. Проникновение энергии ЭМП в виде вектора Пойнтинга, названное нами энергетической нагрузкой, в одном направлении может в первом приближении определять площадь облучения тела человека равной его площади, перпендикулярной направлению этого вектора, т.е. половине площади тела человека.

В качестве дозового анализа с помощью соотношения (2), принимая во внимание размеры человека по эргономическим требованиям в соответствии с [12] и приближенной оценкой площади человеческого тела в разном возрасте, определим максимально допустимые дозы энергетического воздействия магнитного поля промышленной частоты (таблица 3).

Предельно допустимые уровни ЭМП промышленной и других низких частот для населения в РФ не нормируются, поэтому в таблице 1 в качестве ПДУ взяты нормы для производственных условий.

Анализ таблицы 3 показывает, что предельно допустимая доза существ-

венно снижается для людей с меньшей внешней площадью тела для одного и того же ПДУ напряженности магнитного поля, что соответствует многочисленному фактическому материалу о более вредном воздействии фактора электромагнитного поля на организм людей детского и подросткового возраста. То есть методы оценки вредного воздействия ЭМП на основе раздельного нормирования ПДУ электрической и магнитной напряженностей не всегда могут точно оценивать реальный уровень его вредного воздействия на человека.

Использование данных таблицы 3 можно интерпретировать для оценки уровня снижения ПДУ энергетической нагрузки ЭМП (P) на людей в сравнении с промышленными нормами для взрослого человека [1], что выявляется из таблицы 4.

Анализ таблицы 4 показывает, что нормируемые продолжительности ПДУ для населения различных категорий (строки 2–6) должны быть снижены в 1,25–5 раз по сравнению с нормируемыми для производственных условий, при этом дозы электромагнитного излучения для всех категорий будут одинаковыми.

При оценке поглощенной дозы воздействия на организм ЭМП предложено учитывать: энергетическую нагрузку, продолжительность экспозиции и площадь облучаемой поверхности тела человека.

Таблица 3

Дозовый анализ энергетического воздействия ЭМП промышленной частоты на людей с разной площадью тела

Тело человека	Площадь тела, см ²	Площадь облучения, см ²	Длит., ч	P , Вт/см ²	D , кВт·ч
Взрослый (старше 18 лет)	25000	12500	8	20	2000
Школьник ст. возраста (12–18 лет)	20000	10000	8	20	1600
Школьник мл. возраста (7–12 лет)	15000	7500	8	20	1200
Взрослый ребенок (3–7 лет)	10000	5000	8	20	800
Ребенок (1–3 года)	8000	4000	8	20	640
Новорожденный (до 1 года)	5000	2500	8	20	400

Таблица 4

Дозы энергетической нагрузки для разной продолжительности сочетанного воздействия электрической и магнитной составляющих ЭМП

№	<i>t</i> , ч	<i>P</i>	<i>D</i>									
1	8	20	2000	4	167	8350	2	500	12500	1	1333	16660
2	8	20	1600	4	167	6680	2	500	10000	1	1333	13330
3	8	20	1200	4	167	5010	2	500	7500	1	1333	9998
4	8	20	800	4	167	3340	2	500	5000	1	1333	6665
5	8	20	640	4	167	2572	2	500	4000	1	1333	5332
6	8	20	400	4	167	1670	2	500	2500	1	1333	3332

С целью сохранения здоровья персонала, обслуживающего электроустановки, предложены дозы энергетической нагрузки для разной продолжительности сочетанного воздействия электрической и магнитной составляющих ЭМП. ■

Литература

1. СанПиН 2.2.4.1191–03. Электромагнитные поля в производственных условиях. – М. : Федеральный центр Госсанэпиднадзора Минздрава России, 2003. 38 с.
2. Оценка риска для здоровья населения при воздействии переменных электромагнитных полей (до 300 ГГц) в условиях населенных мест. М. : Федеральный центр гигиены и эпидемиологии Роспотребнадзора, 2012. 29 с.
3. Directive 2004/40/EC on the minimum health and safety requirements regarding the exposure of workers to the risks arising from physical agents, official Journal of the Europe Union, L 159, 30.4.2004.
4. Межотраслевые правила по охране труда при эксплуатации электроустановок. – СПб : Изд-во ДЕАН, 2003. 208 с.
5. Приказ Министерства труда и социальной защиты РФ от 24 июля 2013 г. № 328н «Об утверждении Правил по охране труда при эксплуатации электроустановок». [Электронный ресурс]. URL: <http://base.consultant.ru/cons/> (дата обращения: 15.11.2015).
6. Постановление главного государственного санитарного врача РФ от 07.07.2009 № 47 «Об утверждении СанПиН 2.6.1.2523-09» (вместе с «НРБ-99/2009. СанПиН 2.6.1.2523-09. Нормы радиационной безопасности. Санитарные правила и нормативы») (Зарегистрировано в Минюсте РФ 14.08.2009 N 14534). [Электронный ресурс]. URL: <http://base.consultant.ru/cons/> (дата обращения: 15.11.2015).
7. ГОСТ 12.01.006–84 ССБТ. Электромагнитные поля радиочастот. Допустимые уровни на рабочих местах и требования к проведению контроля. М. : Изд-во стандартов, 2002. 5 с.
8. Закирова А. Р., Кузнецов К. Б. Оценка электромагнитной обстановки и вероятности возникновения профессионально обусловленного заболевания // Вестник УрГУПС. 2014. № 4 (24). С. 82–89. ISSN 2079-0392.
9. Шимони К. Теоретическая электротехника. М. : Мир, 1964. 760 с.
10. Окраинская И. С., Сидоров А. И., Гладышев С. П., Хусаинов Ш. Н. Искажение электрического поля телом человека // Вестник ЮУрГУ. 2012. № 16. С. 47–55. ISSN 1990-8512.
11. Кузнецов К. Б., Мишарин А. С. Электробезопасность в электроустановках железнодорожного транспорта : учебное пособие для вузов ж.-д. транспорта. М. : Маршрут, 2005. 456 с. ISBN 5-7695-0766-7.
12. ГОСТ 12.2.049–80. Оборудование производственное. Общие эргономические требования. М. : Изд-во стандартов, 1980. 15 с.

References

1. SanPiN 2.2.4.1191–03. Elektromagnitnye polya v proizvodstvennykh usloviyakh. [Electromagnetic fields in the working environment.] – М. : Federalnyy tsentr Gossanepidnadzora Minzdrava Rossii, 2003. 38 s.

2. Otsenka riska dlya zdorovya naseleniya pri vozdeystvii peremennykh elektromagnitnykh polya (do 300 GGts) v usloviyakh naselennykh mest. [Health risk assessment when exposed to alternating electromagnetic fields (up to 300 GHz) in populated areas.] M. : Federalnyy tsentr gigieny i epidemiologii Rospotrebnadzora, 2012. 29 s.
3. Directive 2004/40/EC on the minimum health and safety requirements regarding the exposure of workers to the risks arising from physical agents, official Journal of the Europe Union, L 159, 30.4.2004.
4. Mezhtoraslevye pravila po okhrane truda pri ekspluatatsii elektroustanovok.–[Cross-industry regulations on labor protection in operation of electrical installations.] SPb : Izd-vo DEAN, 2003. 208 s.
5. Prikaz Ministerstva truda i sotsialnoy zaschity RF ot 24 iyulya 2013 g. № 328n «Ob utverzhdenii Pravil po okhrane truda pri ekspluatatsii elektroustanovok». [Order of the Ministry of Labor and Social Protection of the Russian Federation dated 24 July 2013 № 328n «On approval of Labor Safety Regulations for Electrical Installations.»] [Electronic resource]. URL : <http://base.consultant.ru/cons/> (date accessed: 15.11.2015).
6. Postanovlenie glavnogo gosudarstvennogo sanitarnogo vracha RF ot 07.07.2009 N 47 «Ob utverzhdenii SanPiN 2.6.1.2523-09» (vmeste s «NRB-99/2009. SanPiN 2.6.1.2523-09. Normy radiatsionnoy bezopasnosti. Sanitarnye pravila i normativy») [Resolution of the Chief State Sanitary Doctor of the Russian Federation dated 07.07.2009 № 47 «On approval of SanPin 2.6.1.2523-09» (along with «NRB-99/2009. SanPin 2.6.1.2523-09. Radiation Safety Standards. Sanitary rules and regulations»)] (Registered with the Ministry of Justice of the Russian Federation of 14.08.2009 N 14534). [Electronic resource]. URL : <http://base.consultant.ru/cons/> (date accessed : 15.11.2015).
7. GOST 12.01.006–84 SSBT. Elektromagnitnye polya radiochastot. Dopustimye urovni na rabochikh mestakh i trebovaniya k provedeniyu kontrolya. [Electromagnetic fields of radio frequencies. Permissible levels in workplaces and requirements for monitoring.] M. : Izd-vo standartov, 2002. 5 s.
8. Zakirova A.R., Kuznetsov K.B. Otsenka elektromagnitnoy obstanovki i veroyatnosti vozniknoveniya professionalno obuslovlennogo zabolevaniya [Evaluation of electromagnetic environment and the likelihood of professional diseases] // Vestnik UrGUPP. 2014. № 4 (24). S. 82–89. ISSN 2079-0392.
9. Shimoni K. Teoreticheskaya elektrotehnika. [Theoretical electrical engineering] M. : Mir, 1964. 760 s.
10. Okrainskaya I.S., Sidorov A.I., Gladyshev S.P., Khusainov Sh.N. Iskazhenie elektricheskogo polya telom cheloveka [Distortion of the electric field by human body] // Vestnik YuUrGU. 2012. № 16. S. 47–55. ISSN 1990-8512.
11. Kuznetsov K.B., Misharin A.S. Elektrobezopasnost v elektroustanovkakh zheleznodorozhnogo transporta : uchebnoe posobie dlya vuzov zh.-d. transporta. [Electrical safety in electrical installations of railway transport : a textbook for railway universities.] M. : Marshrut, 2005. 456 s. ISBN 5-7695-0766-7.
12. GOST 12.2.049–80. Oborudovanie proizvodstvennoe. Obschie ergonomicheskie trebovaniya. [Manufacturing equipment. General ergonomic requirements.] M. : Izd-vo standartov, 1980. 15 s.

Статья сдана в редакцию 11 ноября 2015 года

Организация образовательного процесса

УДК 81.119

С.В. Балакин

Фрактальная сущность языка

UDC 81.119

S.V. Balakin

Fractal nature of language

Аннотация

Настоящая статья посвящена изучению языковым и концептуальным фракталам в русле когнитивной лингвистики. Как показало исследование на материале русского, французского, немецкого и португальского языков, фрактальность языка является одной из языковых универсалий. Фрактальность проявляется на трех уровнях: словообразовательном, синтаксическом и дискурсивном. В основе каждого из представленных уровней наиболее важным проявлением фрактальности служит стремление пропозиционно-фреймовой структуры к сворачиваемости, в большей степени проявляющейся на словообразовательном и синтаксическом уровнях. Под свёрнутой пропозицией подразумевается количество элементов, непрофилированных при слово- и речепорождении. Сворачиваемость пропозиции при словообразовании характеризуется взаимодействием различных сирконстантов, концептуальные характеристики которых раскрыты в настоящей статье. Доминирование того или иного сирконстанта зависит от конкретной лингвокультуры. Деривационными возможностями обладают и так называемые атомарные предикаты. Как показало исследование, они обладают наивысшей степенью абстрактности и служат предикатами нулевого порядка для формирования более конкретных пропозициональных конструкций. Главное свойство нулевых предикатов заключается в том, что они способны связывать как абстрактные, так и конкретные актаны различных категорий. Исследование в области развития предикативной системы исследуемых языков доказало, что развитие предикатов идет в сторону увеличения степени абстрактности. Данный процесс характеризуется постепенной потерей конкретных актантов в пропозициональной структуре. Также показано, что при сворачиваемости пропозициональной структуры могут возникнуть эффекты энтропии, псевдоинформации, которые снимаются за счёт ближнего контекста. Дискурсивная же парадигма представлена наивысшей степенью фрактализации языковой системы с процессами итерациональности и рекурсивности.

Ключевые слова: когнитивная лингвистика, концепт, фрактал, пропозиция, фрейм, сворачиваемость, дискурс, энтропия, матрица.

DOI:10.20291/2079-0392-2015-4-99-112

Abstract

This article is dedicated to the study of language and conceptual fractals within the framework of cognitive linguistics. According to the studies involving materials in Russian, French, German and Portuguese languages, fractal nature of language is one of language universals. Fractal nature is manifested at three levels: word-formative, syntactic and discursive. At the heart of each of the above levels the most important manifestation of fractals is the tendency of propositional-frame structure towards collapsing, which is more pronounced in the word-formative and syntactic levels. Collapsed proposition is understood as the number of elements which are not profiled in word and speech production. Collapsing of proposition in word formation is characterized by the interaction of various circonstants, whose conceptual characteristics are described in this article. The dominance of a circonstant depends on the specific linguistic culture. The so-called atomic predicates also have derivation potential. The study showed that these predicates have the highest degree of abstraction and serve as zero-order predicates in the creation of more specific propositional structures. The main feature of these zero predicate is the fact that they are able to communicate both abstract and concrete actants of various categories. The study, conducted in the framework of cognitive linguistics in the field of development of predicative language system, has proved that the development of predicates goes towards increasing degree of abstraction. This process is characterized by gradual loss of specific actants in the propositional structure. It is also shown that during coagulation of propositional structures entropy or pseudoinformation effects may occur, which are eliminated through near context. With that, the discourse paradigm is presented by the highest degree of fractalization of language system with iterationality and recursivity processes.

Keywords: cognitive linguistics, concept, fractal, proposition, frame, collapsibility, discourse, entropy, matrix.

DOI:10.20291/2079-0392-2015-4-99-112

Сергей Владимирович Балакин, канд. филолог. наук, зав. кафедрой «Иностранные языки и международные коммуникации» Уральского государственного университета путей сообщения; Екатеринбург, Россия. E-mail: sergiorusso2007@yandex.ru.

Sergey Vladimirovich Balakin, PhD in Philology; Head of Foreign Languages Department, Ural State University of Railway Transport; Ekaterinburg, Russia. E-mail: sergiorusso2007@yandex.ru.

В настоящее время лингвистическая научная парадигма представляет собой синтез меж- и интердисциплинарных методик, включающих в себя не только чисто языковедческие приемы, но и такие, которые применяются в других, не лингвистических, науках. Разрабатываемая когнитивная лингвистика* постепенно начинает принимать вид разветвленной сети фундаментальных исследований с применением, например, психологических (гештальт-психология) и математических (когнитивно-матричный метод) приемов.

Когнитология – это наука об общих принципах, управляющих ментальными процессами [1, с. 58]. Понимание онтологии языка и языковых процессов базируется, с одной стороны, на крепкой и глубокой взаимосвязи мыслительных процессов с языковой действительностью, с другой, на относительной их автономности.

Когнитивная лингвистика – это, прежде всего, изучение взаимосвязи языка с человеческим мышлением, с моделированием определенных форматов знаний и включает черты как нейро-, так и структурной лингвистики. Нейролингвистика призвана изучать нейронные процессы порождения речи, а также различные патологии, провоцирующие речевые нарушения. Структурализм, зародившийся на заре XX в., способствовал унификации знаний языке, систематизировав некогда разрозненные выводы по обособленным языковым явлениям. Когнитивизм, критикуемый особенно представителями структурного подхода, призван представить элементы знаний в виде определенных форматов знаний с их привязкой к исследуемым языковым единицам. В отличие от структурной лингвистики, рассматривающей язык как «поверхностную» систему и стремящейся выделить семантический арсенал того или иного явления, когнитивная лингвистика служит «преобразователем» семантического

наполнения языковой единицы в релевантный формат знания. С этой точки зрения когнитивная лингвистика «состоит в описании и объяснении языковой способности и/или знаний языка как внутренней когнитивной структуры и динамики говорящего-слушающего, рассматриваемого как систему переработки информации, состоящей из конечного числа самостоятельных модулей и соотносящей языковую информацию на различных уровнях» [1, с. 53].

Когнитология изучает, каким образом осуществляются различные мыслительные процессы и по каким каналам реализуются кодирование и трансформация знаний о мире. Соответственно общая цель когнитивной лингвистики есть «посредством языка проникнуть в формы разных структур знания и описать существующие между ними и языком зависимости» [2, с. 23]. Каждый язык воплощает в себе сложную систему концептов, позволяющую носителям языка получать, идентифицировать, классифицировать поступающий поток информации окружающего мира, которая лишь частично репрезентируется в языке, находит отражение в ментальном пространстве человека. Многие исследования показывают, что необычайно богатый мир ментальных репрезентаций сводится к конечному числу мыслительных категорий форматов-концептов, которые определяются как условная исследовательская единица, как маркер коллективного сознания и как базовая универсальная семантическая категория, отраженная в сознании человека и обозначающаяся словом того или иного языка [3, с. 44]. Поэтому концепты имеют онтологическую сущность и носят универсальный характер по отношению к языковому уровню.

В когнитивных исследованиях в настоящее время доминируют методики, базирующиеся на фреймовой семантике Ч. Филлмора, в основе которого лежит

* Когнитивная лингвистика – лингвистика, рассматривающая язык как средство получения, хранения, переработки и передачи информации [1].

понятие «фрейм». Фрейм представляет собой объемное ментальное отображение внеязыковой действительности как в гештальтированной, так и в пропозициональной формах. В зависимости от целей исследований выделяются следующие определения фреймам [4, с. 56]:

1. Единица знаний, организованная вокруг некоторого концепта и содержащая данные о существенном, типичном и возможном для этого концепта в рамках определенной культуры (определение Т. А. ван Дейка);

2. Структура данных для представления стереотипной ситуации (определение М. Минского);

3. Тип когнитивной модели, репрезентирующей знания и мнения, связанные с конкретными, часто повторяющимися ситуациями (определение Ф. Унгерера);

4. Структура знания, объединяющая многочисленные области, ассоциируемые с данной лингвистической формой (определение Дж. Тейлора).

В целом фреймовая семантика – «это метод исследования взаимодействия семантического пространства языка (языковых значений) и структур знания, мыслительного пространства» [4, с. 56].

Возникновение фреймовой семантики связано с реакцией на выводы структурной лингвистики, что между языковыми знаниями и внеязыковыми существует четко очерченная граница, что семантическое наполнение единиц речи не зависит от внешних условий, а контекстуальные значения, по мнению структуралистов, обуславливаются синтагматическими и парадигматическими внутренними отношениями языковых единиц. Контекст же в понимании когнитивистов – это внешний фактор, а смыслоорганизующим фактором языковых единиц служат определенные когнитивные структуры, отражающие определенные знания о мире. В итоге значение языковых единиц формируется в контексте других структур.

В классическом представлении фрейм – структурированная концептуальная 3D-модель, содержащая опре-

деленные компоненты и взаимоотношения между ними, передающие знания о часто повторяющейся ситуации. В классическом понимании структура фрейма представлена отношениями между компонентами, содержащимися в слотах и объединяющихся вокруг некой инвариантной части [2, с. 29]. Последняя всегда остается неизменной, по умолчанию, слоты же представляют собой более гибкую часть фрейма и могут меняться с приобретением жизненного опыта говорящего.

Поэтому в когнитивистике при анализе значения языковой единицы в русле фреймового анализа необходимо установить когнитивный контекст (область знания), с которым «связано данное слово, и определенным образом его структурировать, показав, какие участки этой области и каким образом «схвачены» (термин Е. С. Кубряковой) зна́ком, т.е. смоделировать фрейм, определяющий данное значение» [2, с. 32].

Фреймовые структуры, содержащие элементы предметно-центричного, акционального, партонимического, гипонимического и ассоциативного характера, способны активизировать неоднократно эти элементы по типу «фигура – фон» за счет способности человеческого мышления к выделению необходимых объектов [5, с. 11–12]. В результате образуется совокупность и взаимоотношения между элементами, а сама концептуальная система фрейма проявляет свойства пропозициональности, синкретичности, сворачиваемости на уровне пропозициональности, пропозициональные же структуры находят самоподобие в более крупных единицах, проявляющееся на основе общего онтологического свойства фрактальности.

Понятие «фрактальность» возникло в 1970-х гг. в исследованиях Б. Мандельброта в области геометрии [6]. В своем труде «Фрактальная геометрия природы» автор приходит к выводу, что объекты естественной природы (реки, горы и т.д.) имеют самоподобие, заключающееся в том, что в малых формах повторяются более крупные [7, с. 69].

Это значит, что при рассмотрении фрактальной системы в разных масштабах (т. е. на разных ее уровнях) обнаруживаются все те же или очень похожие так называемые паттерны, повторяющие некоторым образом конфигурацию системы в целом. В первую очередь свойство фрактальных систем проявляется в итерационности (термин философа Ж. Дерриды), под которым понимается «многократное повторение одного алгоритма», и рекурсивности, то есть «конечные результаты каждого цикла являются начальными данными для следующего». В таком случае фрактал представляет собой динамическую структуру с возобновляющейся системой. Значит, процесс концептуализации и категоризации приводит к созданию пространств фрактального характера.

В соответствии с этим, как показало исследование, концептуальные структуры обладают свойствами взаимопроникновения и саморазвития, так как отображают гомогенные элементы, выстраивающиеся по самоподобию в структуру с нежесткими структурами, входящими в более крупные и повторяющими основные свойства более мелких.

Итак, основное свойство проявления фрактальности фреймовых структур есть синкретизм с постоянным тяготением к пропозиционализации своих элементов за счет актуализации и тесной концентрации последних вокруг определенного предиката. Концентрация актуализированных элементов может происходить как внутри структуры, так и за ее пределами, при взаимодействии ее с другими гомогенными ментальными образованиями, что говорит об их нежестком характере и размытых границах естественной категоризации объектов внеязыковой действительности. Пропозиционализация фрейма, как было сказано выше, осуществляется за счет предикатизма, и один и тот же предикат может объединять несколько элементов, выступающих в трех ролях – субъекта, объекта и сирконстанта. За счет синкретичности концептуальная

конфигурация перечисленных элементов может быть разной, при детерминирующей роли субъекта в качестве экспериенцера внеязыковой ситуации как главного исполнителя того или иного действия, в отличие от объекта, который испытывает на себе действие.

Синкретизм неразрывно связан с процессом пропозиционализации фрейма. Соответственно, пропозициональный фрейм состоит из элементов, которые генетически связаны с другими элементами концептуальной структуры либо содержатся в другой части фреймовой структуры, т.е. если есть необходимость, то элементы задействуют соответствующую область для адекватной концептуализации внеязыкового мира. Один и тот же предикат может совмещать несколько субъектов и объектов, а также тот факт, что роль субъекта и объекта может быть взаимозаменяющей: каждый субъект может играть роль объекта и наоборот.

При построении прототипических пропозициональных структур выделяются простейшие каузативные корреляции между субъектом и другими актантами: кто-то (что-то) каузирует кого-то (что-то); кто-то ощущает кого-то; кто-то движется; кто-то находится в определенном состоянии; кто-то владеет кем-то; кто-то изменяет состояние (местонахождение) кого-то; кто-то претерпевает изменение состояния или местонахождения; кто-то оказывает влияние на кого-то [8, с. 357–358; 9, с. 8]. Таким образом, список субъекта и объекта может быть детерминирован и ограничен только предикатом. Однако в составе предикатов есть латентные предикаты, которые могут расширять список актантов [10, с. 207]. В итоге фрактальность заключается в том, что предикат может включать список самоподобных субъектов и объектов и многократно реализовываться в различных языковых конструкциях, представляющих собой синтаксический концепт, модели которых разрабатывается Тамбовской школой когнитивной лингвистики [см., например, 11].

Как показывают исследования, пропозиционализация фреймовой структуры в сопровождении с обозначенными выше свойствами проявляется на словообразовательном, синтаксическом и дискурсивном уровнях. На языковом уровне фрактальность коррелирует с контекстуальным функционированием языковых единиц и их стремлением к экономии, причем смыслообразующие факторы действуют на всех уровнях языковой системе, что подчинено в конечном счете правильному оформлению речи и дискурса. Поэтому дискурс является удовлетворяющей системой с наивысшей степенью фрактальности, включающей множество гомогенных словообразовательных и синтаксических подсистем.

Таким образом, самоорганизация дискурса в первую очередь начинает проявляться на словообразовательном уровне, то есть на уровне семантической и синтаксической деривации. Рассмотрим явление фрактальности на словообразовательном уровне. При словообразовании происходит внутреннее или внешнее взаимодействие фреймовых структур. При внутренней деривации происходит перестройка концептуальных характеристик, отображающих семантическое наполнение той или иной языковой единицы. Концептуальные характеристики каждой языковой единицы представляют совокупность, упорядоченную определенным набором предикатов. Один предикат способен удерживать несколько концептуальных характеристик одновременно, что в неактуализированном виде отображено в терминальных фреймовых узлах или слотах. При словообразовании происходит актуализация предиката, который влечет за собой определенные концептуальные характеристики, становящиеся в левой части пропозициональной структуры. Однако при речепорождении и при словообразовании процессы имеют несколько другой качественный характер. При речепорождении пропозициональная структура формируется полностью, имеет вид

«субъект – предикат – объект – сирконстантъ» и, как правило, реализуется в определенных синтаксических моделях [11]. При словообразовании происходит бессубъектное выделение левой части пропозициональной структуры, то есть «предикат – объект – сирконстантъ», в результате происходит сворачивание пропозиции, стоящей за мотивированной производной языковой единицей.

Под степенью свернутости пропозиции мы понимаем «количество профилированных (вербализованных) элементов концептуальной структуры, необходимых для понимания языковых единиц разных уровней» [12, с. 92]. Сворачиваемость пропозиции происходит за счет как внутреннего резерва самой пропозициональной структуры, так и за счет способности концептуальной структуры задействовать участки большей фреймовой структуры, позволяющих сворачивать в актуализированной пропозиции релевантный элемент. В данном случае фрактальность при вербализации пропозиции позволяет воспринимать именно так, а никак-нибудь иначе. В этом им помогает фрактальное свойство концептуальных структур, выражающееся на языковом уровне функционированием контекста.

На словообразовательном уровне сворачиваемость пропозиции проявляется в актуализации/неактуализации словообразовательных элементов, вербализующих все четыре члена пропозициональной структуры: субъект, объект, предикат и сирконстант. По данному принципу мы выделяем четыре типа свернутых пропозиций: 1) свертывание до одного актанта с правой стороны пропозициональной структуры; 2) до объекта с дополнительным сирконстантом; 3) свертывание пропозиции до одного сирконстанта; 4) до объекта и предиката [12, с. 94–96].

Пропозиция может принимать полусвернутый вид, воспринимаемый как начальный этап сворачиваемости. Как правило, на языковом уровне полусвернутые пропозиции знаменуются

привязкой предиката и объекта и отличаются от сложных слов типа «самолет», «пароход» нежестким предикатоцентризмом, абстрактностью и синкретизмом, характеризующимся актуализацией необходимого элемента во фреймовой структуре (пример (1)). Как правило, полусвернутые пропозиции отражают один из синтаксических концептов [11]. Полностью свернутые пропозиции отображают лишь часть профилированных концептуальных характеристик синтаксического концепта (пример (2)).

Ср.: (1) Il a **jeté un oeil dans** ma direction, j'avais peur pour lui [18, с. 14] vs. (2) O estrangeiro desviou os olhos das montanhas, e **encarou** a moça a sua frente [13, с. 10].

Необходимо различать словосочетания, сформированные полусвернутыми пропозициями, от синтаксических конструкций, пропозиции которых сворачиваются по другому принципу. На синтаксическом уровне сворачиваемость пропозиции проявляется в четырех аспектах. Во-первых, самый распространенный способ свертывания – это актуализация отглагольного существительного, полная номинализация [14, с. 348]. Вторым способом свертывания пропозициональной структуры служит ее редуцирование в инфинитив; подобная свернутая пропозиция входит в другую развернутую пропозицию. Например: он уговаривал ее **спеть** [15, с. 18]. Третий способ свертывания пропозиции – это обособление, характеризуемое как свойство синтаксической структуры «соединять в одном предложении два сообщения», в которых в одном выражена предикативность, а в другом – полипредикативность [15, с. 19].

Как показано в следующих примерах, синтаксические конструкции обладают более свободным вербоцентрическим центром (пример (3)), свернутые синтаксические конструкции представляют собой более «спаянный» вид (примеры (4)–(7)).

(3) Нелюди! И никуда не пойду с вами, я хочу **остаться здесь!** [16, с. 47].

(4) Завтра, в Москву! – перекопилось вдруг все лицо Катерины Ивановны, – но ... но боже мой, как это счастливо! – вскричала она в один миг совсем изменившимся голосом, и в один миг прогнав свои слезы, так что и **следа не осталось** [17, с. 61].

(5) **Мы остались верны** революционной идее, в отличие от коллаборациониста товарища Москвина [16, с. 114].

(6) Произнеся последние слова своей тирады, он **остался** собою совершенно **доволен**, до того, что и следов недавнего раздражения не осталось в душе его [17, с. 61].

(7) Ahab **ficou impressionado** com as palavras do santo, mas era um homem desconfiado, e já não acreditava mais no Bem [13, с. 16].

Также при полусвернутых пропозициях оказываются предикаты более абстрактные, выражающие примитивные предикации, – существование, посессивность, акциональность и т.д., актуализирующиеся посредством глаголов «делать/faire/fazer/machen(tun)» (примеры (8)–(14)).

(8) Mas Chantal **fez um ar** de quem está aguardando uma surpreendente revelação; os homens têm um estranho prazer em sentirem-se superiores, desconhecendo que na maior parte das vezes comportam-se de maneira absolutamente previsível [13, с. 10].

(9) Sur sa feuille rose, Monsieur Marin note mon nom, le sujet de mon exposé, je vous inscris pour le 10 décembre, ça vous laisse le temps de **faire des recherches complémentaires** [18, с. 8].

(10) Wir wußten nicht, was wir tun sollten. Es gab keine Möglichkeit, den Kameraden da drüben ein Zeichen zu geben; und außerdem glaubten wir, wir könnten auf der Stelle dafür erschossen werden, daß wir **Geschäfte** mit dem Feind **machten** [19, с. 13–14].

(11) Mesmo assim, valeram todos os anos em **que ficou sentada** diante da porta de sua casa aguardando sua chegada, pois lhe ensinaram a contemplar a beleza das montanhas [13, с. 14].

(12) Mas ninguém se importava com isso; Berta era inofensiva, e **tinha** sempre **boas histórias para contar** [13, с. 31].

(13) O homem **ficou** muito **desapontado** porque a sede era grande, mas ele não beberia sozinho; agradeceu ao guarda, e continuou adiante [13, с. 53].

(14) O prefeito **achava** que um homem pode ser muitas coisas na vida, embora os habitantes de Viscos sempre soubessem seu destino desde crianças [13, с. 13].

Абстрактные предикаты в данном случае показывают синкретичность, так как обладают большей способностью связывать различные и разнородные актантные группы. Такие предикаты являются предикатами нулевого порядка и могут входить в более конкретные предикации [10].

Полная же сворачиваемость пропозиции за счет сирконстантов оказывается наиболее распространенной, и задействуются характеристики: «локативность», «фазовость», «контрарность», «совместность», «бенефактивность», «реверность», «безрезультативность», «партиитивность», «негативная привативность», «положительная привативность», «контейнер», «аттенюация», «интенсивность», «тотальность», «**активное начало**», «**область деятельности**», «**функция**», «**свойство**», «**предикативность**», «**посессивность**» [20, с. 62–62]. Например:

Контрарность: (15) Выхваченный из мрака, появился на секунду в их поле зрения неясный силуэт – что-то совсем **небольшое, нестрашное** вроде, которое тут же стремглав бросилось назад, на север [16, с. 13].

(16) Le serveur revient, il pose les verres devant nous, No attrape le sien d'un geste **impatient** [18, с. 17].

Контейнер: (17) En fait je m'ennuyais tellement que **j'enroulais mes cheveux autour d'un doigt** et je tirais dessus, toute la journée, alors au bout de quelques semaines j'ai eu un trou. Au troisième trou, j'ai changé de classe [Vigan 12].

Локативность: (18) А я теперь – па-трулю это объясняй. Стоит такой стри-женный жлоб в камуфляже, и говорит:

Проскользнул! Прокрался! Прополз! Просочился! Листает мой паспорт дальше – и видит у меня там штампик Сокольников [16, с. 12].

Необходимо отметить доминирование сирконстанта «локативность» в немецкой и русской лингвокультурах. Так, в русском и немецком языках при сворачиваемости пропозиции активно задействуется сирконстант «локативность», для которого свойственно сворачивание локативных характеристик с предикатами, выражающих не только пространственные, но и другие категории. Ср.:

(19) Mich hatte schockiert, daß sie Menschen waren wie wir selbst. Aber die Tatsache war – weiß Gott, merkwürdig genug –, daß ich einfach noch nie darüber **nachgedacht** hatte [19, с. 8].

(20) Андрей **перекинул** автомат через плечо, **отошел** от костра и растворился во тьме [16, с. 13].

Для русского языка важной оказывается характеристика «фазовость». Романские языки сворачивают сирконстант «фазовость» (повторение) посредством вербализации префикса «ге-», несмотря на большое количество фазовых префиксов: pre-, ante-, ex- e-, de-, dé-, des-, dés-, dis-, re-, и вербализуют данный сирконстант посредством лексических компонентов, что делает пропозицию более развернутой.

(21) A partir daquele momento, Ahab abandonou sua vida criminoso, e **começou a transformar** a região [13, с. 16].

(22) Quem sou eu? Bem, digamos que sou um homem que já faz algum tempo busca determinada verdade; **terminei descobrindo** na teoria, mas jamais a coloquei em prática [13, с. 10].

В русском языке фазовость сворачивается до словообразовательных элементов довольно активно, что приводит к формированию грамматической категории «аспектуальность» и выражается, например, префиксами: за-, пере-, с-.

Во французском и португальском языках сирконстанты в меньшей степени влияют на перестройку фреймовых

структур и, как правило, актуализируются лексико-синтаксическим способом. Для таких языков в большей степени характерна «самодостаточность» фреймовой структуры, которая наиболее ярко проявляется при переходе стоящей за ней языковой единицы из одной части речи в другую. При этом задействуется когнитивный механизм частеречной преемственности, который сохраняет большее количество концептуальных характеристик в романских языках, нежели в русском и в немецком. С другой стороны, фреймовые структуры французских и португальских языковых единиц обладают более тесной связью как с ближними, так и с дальними, находящимися на перифериях элементами. В результате на языковом уровне формируется языковая с большой степенью полисемантической в парадигматическом плане, снимаемая на синтагматическом. Так, глагольный дериват «*acabar*» исследуемой раннее языковой единицы «*сабо*» сформирован за счет актуализации концептуальной характеристики, вербализующей значение «конец», и имеет значение «заканчивать что-либо делать», что делает глагол моносемантическим. Все остальные характеристики по умолчанию входят в префиксальный глагол, устанавливая генетическую связь с производящим субстантивом. Ср.:

(23) Isso mesmo que você **acabou de ouvir**. Quero que cometam um crime [13, с. 13].

Фреймовые структуры исследуемых романских языков содержат элементы, равнозначные по своему происхождению и функциональному предназначению; при актуализации языковой единицы происходит профилирование одной из таких элементов по типу «фигура – фон». Поэтому при образовании португальских и французских глаголов их семантика может развиваться за счет метафорической способности редуцированного объекта, полисемантическая снимается за счет фрактальности, характеризующейся контекстом на языковом уровне.

Ср.: слово «*pianoter*» → **jouer du piano*: 1) *jouer du piano maladroitement, sans talent, comme un débutant*; 2) *tapoter sur qch avec le bout des doigts en imitant le geste du pianiste sur le clavier*; 3) *taper sur les touches d'un clavier de matériel informatique*.

(24) Vince l'entend **pianoter** sur son **ordinateur** [19, с. 120]/Vince tape sur son clavier en même temps que son interlocutrice lui livre quelques détails sans intérêt sur les associations dans lesquelles Megan était inscrite [19, с. 121].

Ср.: слово «*entamer*» → *1) *надрезать; отрезать первый кусок, первый ломоть; нарушать цельность, начать разработку (горной породы)*; 2) *начинать, приступать*; 3) *въедаться, проникать (о порче, ржавчине и т. п.)*; 4) *задевать, затрагивать; подрывать*; 5) (*qn*) *подрывать чью-либо репутацию; поколебать кого-либо (в его мнении) с соответствующими концептуальными характеристиками*. Однако в следующем примере актуализирована концептуальная характеристика «фазовость (начало) при задействовании гомогенных элементов.

(25) Elle **entame** sa deuxième vodka, elle se lève pour attraper une cigarette sur la table d'à-côté [18, с. 18].

Ср.: слово «*calçar*» → 1) *Aplicar o calçado ou as meias ao pé*; 2) *Vestir, pôr (calças, ceroulas, luvas ou esporas)*; 3) *prover de calçado*; 4) *Empedrar*; 5) *Pôr calço em*; 6) *Acerar, revestir de aço*; 7) *Chegar e conchegar terra (ao tronco da planta)*; 8) *Usar luvas ou calçado de determinado número de pontos da craveira*.

(26) Numa curva do caminho, avistaram um portão magnífico, todo de mármore, aue conduzia a uma praça **calçada com blocos de ouro**, no centro da qual havia uma fonte onde jorrava água cristalina [13, с. 52].

Ср.: слово «*abaixar*» → 1) *снизить; уменьшить (высоту)*; 2) *опустить*; 3) *разделить*; 4) *убавить (громкость)*; 5) *упасть, понизиться (о температуре)*; 6) *сбросить; опрокинуть, свалить, сбить с ног; разрушить, уничтожить, свергнуть*; 7) *снизить*; 8) *обесцениться*; 9) *перевести*

на более низкий уровень; 10) осесть (о пыли, осадках); 11) спуститься вниз; 12) охладить; 13) поклониться, согнуться, унизиться; 14) убывать, уменьшаться, ослабевать, спадать; 16) ограничить власть.

(27) Parkins deixou as palavras cruzadas de lado e disse: – **Abaixe** um pouco. – Claro, Park. – Nolly **abaixou o rádio** e continuou estalando os dedos [13, с. 169].

Поэтому, как показало исследование, фреймовые структуры исследуемых романских языков содержат более развитую структуру, в отличие от русского и немецкого языков. Это характеризуется тем, что предикаты, входящие в состав фреймовой структуры, носят порядковый характер, и предикаты нулевого порядка включают одни объекты, а предикаты второго порядка, включающие объекты нулевого, связывают другие предикаты. На языковом уровне это означает полисемантику языковой единицы, полисемантичность снимается посредством актуализации порядка предиката за счет актуализации концептуальной гомогенной единицы во взаимосвязанных фреймовых структурах.

В португальском языке глагол движения «chegar» обладает следующими значениями: 1) прибывать, приезжать; 2) достигать; доходить до; 3) приходиться, наступать; 4) хватать, быть достаточным; 5) находить (решение) и, соответственно, следующими концептуальными характеристиками: темпоральность, тотальность с предикатом нулевого порядка «состояния» и предикатом последующего «движения» с дополнительной концептуальной характеристикой «локативность». В неактуализированном виде человеческое подсознание, как правило, воспринимает значение языковой единицы посредством предиката более высшего порядка, так как он обладает наибольшей концентрацией элементов фрейма.

В следующем примере показано употребление глагола «chegar» при актуализации нулевого предиката «состояние».

(28) Perguntou silenciosamente quanto tempo ele ficaria por ali, e não **chegou** a nenhuma conclusão [13, с. 13].

В следующем примере актуализирован предикат второго порядка «движение», так как нет сопутствующих элементов, и единица воспринимается через данный предикат.

(29) Quando o estrangeiro **chegou**, Chantal estava ensopada de chuva; a tempestade havia recomeçado [13, с. 32].

Свернутые пропозиции, имеющие устойчивый характер, за счет синкретичности продолжают свое семантическое развитие уже внутри самой сформированной конструкции, что на языковом уровне знаменуется семантическим преобразованием, при котором актуализация отдельной концептуальной характеристики осуществляется по типу «фигура – фон». Схематически данный вид деривации можно представить в виде общей формулы $x_1 \rightarrow f(K_1 - K_2 - K_{3+x}) \rightarrow f(K_1) \rightarrow f(K_{1+n})$, где K_1 – общая концептуальная характеристика при концептуальной деривации, (K_{1+n}) – приращение новых характеристик. Таким образом, формирование слов в различных частях фреймовой структуры происходит за счет актуализации концептуальных характеристик, стоящих за производящей лексической единицей и принимающих форму пропозиционально-фреймовой структуры. Выстраивание элементов имеет место при процессе концептуализации, которая сопряжена с выделением определенного числа концептуальных характеристик, мысленно отражающих внеязыковую ситуацию и следующих «шлейфом» за главной концептуальной характеристикой. Это позволяет говорящему концептуализировать и в дальнейшем называть вещи по существу, актуализируя лишь одну концептуальную характеристику. Со временем языковая единица начинает восприниматься через некогда выделенную концептуальную характеристику, что заметно на языковом материале в диахроническом плане.

Рассмотрим этот процесс на примере семантического развития языковой

единицы «сарйт» = «голова» в португальском языке.

Данное слово имеет следующее значение и соответствующие концептуальные характеристики: a parte superior (локативность 1), do corpo (орган 1), dos animais (животный мир), bípedes (форма), e a anterior (локативность 2), dos outros animais (животный мир), onde se situam (локативность 3), os olhos (орган 2), o nariz (орган 3), a boca (орган 4), oa ouvidos (орган 5), e importante centros nervosos (орган 6) [22, с. 131].

В результате исторического развития это слово в португальском в двух языковых единицах «cabeça» и «cabo» со значениями «голова» (часть тела) и «мыс» соответственно. Интересна семантическая эволюция слова «cabo». В соответствии с предложенной формулой $x_1 \rightarrow f(K_1 - K_2 - K_{3+x}) \rightarrow f(K_1) \rightarrow f(K_{1+n})$, дериивационной характеристикой K_1 является «локативность 1», что способствовало развитию у данного слова значения «мыс, край». Однако фреймовая структура обогащается дополнительной концептуальной характеристикой в слоте «форма», то есть K_{1+n} . В результате имеем следующие значения слова «cabo»: 1) вождь; полководец; 2) капрал; 3) конец, край; 4) ручка, рукоятка; 5) кабель; 6) канат. В данном случае фрактальность проявляется в заключении приращенной концептуальной характеристики в более крупной. Помимо синкретичности концептуальная характеристика K_{1+n} проявляет фрактальность, снимающую полисемантический характер исследуемой языковой единицы.

Полисемантичесность снимается на уровне дискурса как организованного набора самодовлеющих фракталов. В данном случае дискурс имеет расширенную структуру, в которую входят более мелкие и самоподобные структуры. Так, в следующем отрывке языковая единица «cabo» принимает единое значение «кабель», так как попадает в концептуальную область «техника» с соответствующими свойственными ей концептуальными характеристиками, в то

же время концептуальная характеристика, актуализирующая значение «кабель», изначально входит в обозначенную область за счет итерациональности и рекурсии. В тексте жирным шрифтом выделены языковые единицы, актуализирующие концептуальные характеристики «техники».

(30) Quando me dirigi à cabine indicada, um verdadeiro exército de **técnicos** já havia conectado o **cabo telefônico** subterrâneo com a **aparelhagem** mais moderna possível, de modo que pudesse traçar no mesmo momento o **local** exato de onde vinha a chamada [13, с. 36].

В своей основе дискурс имеет фрактальную, самодовлеющую, четко структурированную пропозиционально-фреймовую структуру с актуализированными элементами, входящими в более крупную и гомогенную. Концептуальные характеристики, как было сказано выше, могут быть актуализированы как за счет однозначных языковых единиц, так и за счет словообразовательных элементов при сворачиваемости пропозиции.

Рассмотрим явление фрактальности дискурса на примерах разноструктурных языков. Представленные примеры показывают два процесса: сворачиваемость пропозиционально-фреймовых структур и фрактализация некоторых участков дискурса при очевидной схожести других за счет итерациональности и рекурсивности.

(31) Alors je **me** lance, dans le **désordre**, et tant pis si j'ai l'impression d'être tout nue, tant pis si c'est idiot, quand j'étais petite je cachais sous mon lit une boîte à trésors, avec dedans toute sorte de souvenirs, une plume de paon du Parc Floral, des pommes **de pain**, des boules **en coton** pour se **démaquiller**, **multicolores**, un **porte-clés** clignotant et tout, un jour j'y ai **déposé** un dernier souvenir, je ne peux pas te dire lequel, un souvenir très triste qui marquait la fin de l'enfance, j'ai **refermé** la boîte [18, с. 19].

Так, в следующих языковых единицах наблюдается свернутость пропозиции до объекта и сирконстанта: «**me**

lance», «le désordre», «se démaquiller», «multicolores», «déposé», «refermé»; до объекта и предиката: «porte-clés». При этом наблюдается избыточная пропозициональная структура в словосочетаниях «des pommes de pain» и «des boules en coton», выражающаяся в актуализации сирконстанта за счет имени существительного, что характерно для французского языка в целом. В отмеченном отрывке текста фрактальность проявляется в сворачиваемости сирконстанта «локативность» при его актуализации в другом месте: je cachais **sous mon lit** une boîte à trésors, **avec dedans** toute sorte de souvenirs; jour j'y ai déposé.

В русском языке сворачиваемости пропозиции способствует категория аспектуальности глагола, формирующаяся за счет префиксации. За счет этого тип свернутости пропозиции «предикат – сирконстант» в русском языке проявляется особо и носит не только семантический, но и грамматический характер. Ср.:

(32) Когда все двинулись по туннелю на юг, к станции, Петр Андреевич горячо о чем-то **заговорил** с Андреем, видно, вернувшись к одному из их вечных споров, а давешний бритый здоровяк, **расспрашивавший** про рацион черных, **поотстал** от них, **поравнявшись** с Артемом и **пристроился** так, чтобы идти с ним в ногу [16, с. 15].

При нарушении, неактуализации той или иной концептуальной характеристики может возникнуть эффект энтропии и псевдоинформации [12]. Соответственно, дальнейшая сворачиваемость пропозиции, то есть потеря сирконстантов может привести к энтропии и псевдоинформации, поэтому русская языковая система проявляет фрактальность в акциональной образ-схеме. Такой же процесс можно наблюдать и в структуре немецкого языка, в котором сирконстант имеет сильную предикативную привязку.

(33) Dasselbe Gefühl hatte ich, als ich mitten unter den **Gefangenen** stand, als sei etwas Menschliches siegreich

in die bloße Vorstellung vom «Feind» **eingebrochen**, und ich wollte meinen Teil zu dem Triumph **beitragen** [19, с. 11]/ (26) Die Richtung eines Grabens ist **auszumachen** [19, с. 26].

Итерациональность и рекурсия фракталов единого текста помогают избежать энтропии и снизить уровень псевдоинформации. В следующих примерах мы нарочно убрали элементы, которые профилируют те или иные концептуальные характеристики, что могло привести к дисфункции понимания. Однако этого не происходит, так как задействуются концептуальные характеристики, содержащиеся в более крупной концептуальной системе. Ср.:

(34) Wir nahmen Sonnenbäder vor unseren Unterständen und wagten es sogar, nachts zum Schlafen die Stiefel **auszuziehen** → Wir nahmen Sonnenbäder vor unseren Unterständen und wagten es sogar, nachts zum Schlafen die Stiefel **(aus)zuziehen** [19, с. 9].

(35) Assis dans sa chambre, Mersault enleva sa veste, tira un peu sa cravate, sans la défaire, et retroussa machinalement les manches de sa chemise → Assis dans sa chambre, Mersault **(en)leva** sa veste, tira un peu sa cravate, sans la **(dé)faire**, et retroussa machinalement les manches de sa chemise [23, с. 74].

(36) <...> он бежал большим крюком, чрез переулок, дом Федора Павловича, пробежал Дмитровскую улицу, перебежал потом мостик и прямо попал в уединенный переулок на задах, пустой и необитаемый, огороженный с одной стороны плетнем соседского огорода → <...> он **(о)бежал** большим крюком, чрез переулок, дом Федора Павловича, **(про)бежал** Дмитровскую улицу, **(пере)бежал** потом мостик и прямо попал в уединенный переулок на задах, пустой и необитаемый, огороженный с одной стороны плетнем соседского огорода [17, с. 266].

В результате дискурсивные образования представляют собой четко организованную сеть свернутых или полусвернутых пропозиционально-фреймовых образований, объединенных за счет

гомогенных элементов больших структур, включающих более мелкие. Более крупные дискурсивные образования имеют уже вид матрицы, состоящей из

базовых $\begin{bmatrix} vk \\ ze \end{bmatrix}$ и факультативных $\begin{bmatrix} xy \\ zd \end{bmatrix}$

элементов, участвующих в формировании

гибридной области $\begin{bmatrix} x+v \\ z \end{bmatrix} \begin{bmatrix} y+k \\ d+e \end{bmatrix}$ за

счет в данном случае общей характеристики z . Концептуальные характеристики, при помощи которых происходит восприятие смысла текста как единой единицы, $-z, y, k, d$ и e^* . Элементы x и v служат отсылочной частью к зонедонору за счет фрактальной сущности концептуальных структур.

Итак, фрактальность языковой системы в первую очередь проявляется на концептуальном уровне в виде самодовлеющей и самоподобной син-

кретичности пропозиционально-фреймовых структур. Поэтому фрактальность эффективнее изучать в русле когнитивной лингвистики с применением метода фреймовой семантики и когнитивно-матричного анализа. Так, например, при большей сворачиваемости пропозиций возникают эффекты энтропии и псевдоинформации, снимающиеся при действии более крупных гомогенных элементов структуры, участвующих в том же отрезке дискурса. Специфические же черты прежде всего зависят от самой концептуальной структуры рассматриваемых языков. Так, во-первых, русский и немецкий языки обладают большей способностью к сворачиваемости сирконстанта «локативность» за счет своего аффиксального фонда, португальский и французский языки в данном случае, как правило, задействуют лексико-синтаксические конструкции. ■

Литература

1. Краткий словарь когнитивных терминов / Е. С. Кубрякова, В. З. Демьянков, Ю. Г. Панкрац, Л. Г. Лузина. М. : Изд-во МГУ, 1997. 245 с.
2. Болдырев Н. Н. Концептуальное пространство когнитивной лингвистики // Вопросы когнитивной лингвистики. 2004. № 1 (001). С. 18–36. ISSN 1812-3228.
3. Быстрицкая Е. С. Реализация концепта «игра» в русском языке: этимологический аспект // Вестн. Мос. ун-та. Сер.: 19. Лингвистика и межкультурная коммуникация. 2007. № 2. С. 71–80. ISSN 2074-1588.
4. Болдырев Н. Н. Когнитивная семантика : курс лекций по английской филологии. Тамбов : Изд-во ТГУ им. Г. Р. Державина, 2002. 123 с.
5. Жаботинская С. А. Концептуальная модель частеречных систем: фрейм и скрипт // Когнитивные аспекты языковой категоризации : сб. науч. тр. Рязань : Рязанский гос. пед. ун-т им. С. А. Есенина. 2000. С. 15–21.
6. Mandelbrot, B. V. The Fractal Geometry of Nature. N. Y. : W. H. Freeman and Company, 1982.
7. Николаева Е. Н. Концептуальный фрактал в культурных системах // Вестник Челябинского государственного университета. 2013. № 13 (304). С. 68–70. ISSN 2409-4102.
8. Филлмор Ч. Фреймы и семантика понимания // Новое в зарубежной лингвистике. Вып. 23. Когнитивные аспекты языка. М. : Прогресс, 1988. С. 52–92.
9. Palmer F. R. Grammatical roles and relations. Cambridge : University Press, 1994. 259 p.
10. Балакин С. В. Деривационный потенциал предикатов первого порядка (на материале предикатов «être», «avoir», «mettre», «faire» во французском языке) // Вестник университета (Российско-таджикский (славянский) университет). Научный журнал. 2015. № 2 (49). С. 204–212.
11. Фурс Л. А. Синтаксически репрезентируемые концепты: дис. ... д-ра филол. наук : 10.02.04; 10.02.19. Тамбов : Тамбовский государственный университет имени Г. Р. Державина, 2004. 370 с.

* Количество концептуальных характеристик в различных концептуальных образованиях может быть разным.

12. Балакин С. В. Основные свойства пропозициональной структуры при деривационных процессах (на материале французского языка) // Ученые записки Казанского университета. Т. 156, Кн. 5. Гуманитарные науки. 2014. С. 90–99. ISSN 1815-6126.
13. Coelho P. O demônio e a Srta. Pium. Rio de Janeiro : Sextante, 2013. 176 s.
14. Арутюнова Н. Д. К проблеме функциональных типов лексического значения // Аспекты семантических исследований. М. : Изд-во «Наука», 1980. С. 156–249.
15. Хен Л. Ч. Структура и формирование предложений с пропозициями неполной номинации в современном русском языке : дис. ... канд. филол. наук : 10.02.01. М. : Рос-сийская академия наук. Ин-т рус. яз. им. В. В. Виноградова, 1998. 164 с.
16. Глуховский Д. А. Метро 2033. М. : АСТ, 2012. 348 с. ISBN 978-5-17-091382-4.
17. Достоевский Ф. М. Братья Карамазовы. СПб : Азбука-классика, 2005. 944 с. ISBN 978-5-389-01463-3.
18. Vigan D. de. No et moi. Paris: JC Lattès, 2007. 256 p.
19. Remarque E. M. Der Feind. Köln : Kiepenheuer & Witsch, 1993. 74 s.
20. Балакин С. В. Математическое и лингвистическое моделирование концептуальных основ синтетической деривации // Вестник УрГУПС. 2015. № 2 (26). С. 57–70. ISSN 2079-0392.
21. Favon C. Apnée noire. Paris : Toucan noir, 2014. 384 p.
22. Cunha A. G. da Dicionário Etimológico da Língua Portuguesa / A. G. Cunha. Rio de Janeiro : Nova Fronteira, 2003. 839 p.
23. Camus A. La mort heureuse. Paris: Gallimard, 2010. 176 p.

References

1. Kratkiy slovar kognitivnykh terminov [Short dictionary of cognitive terms] / E. S. Kubryakova, V. Z. Demyankov, Yu. G. Pankrats, L. G. Luzina. M. : Izd-vo MGU, 1997. 245 s.
2. Boldyrev N. N. Kontseptualnoe prostranstvo kognitivnoy lingvistiki [Conceptual space of cognitive linguistics] // Voprosy kognitivnoy lingvistiki. 2004. № 1 (001). S. 18–36. ISSN 1812-3228.
3. Bystritskaya E. S. Realizatsiya kontsepta «igra» v russkom yazyke : etimologicheskii aspekt [Implementation of the «game» concept in the Russian language : etymological aspect] // Vestn. Mos. un-ta. Ser. : 19. Lingvistika i mezhkulturnaya kommunikatsiya. 2007. № 2. S. 71–80. ISSN 2074-1588.
4. Boldyrev N. N. Kognitivnaya semantika : kurs lektsiy po angliyskoy filologii. [Cognitive semantics : a course of lectures in English philology.] Tambov : Izd-vo TGU im. G. R. Derzhavina, 2002. 123 s.
5. Zhabotinskaya S. A. Kontseptualnaya model chasterechnykh sistem : freym i skript [Conceptual model of part of speech systems : the frame and the script] // Kognitivnye aspekty yazykovoy kategorizatsii : sb. nauch. tr. Ryazan : Ryazanskiy gos. ped. un-t im. S. A. Esenina. 2000. S. 15–21.
6. Mandelbrot, B. B. The Fractal Geometry of Nature. N. Y. : W. H. Freeman and Company, 1982.
7. Nikolaeva E. N. Kontseptualnyy fraktal v kulturnykh sistemakh [Conceptual fractal in cultural systems] // Vestnik Chelyabinskogo gosudarstvennogo universiteta. 2013. № 13 (304). S. 68–70. ISSN 2409-4102.
8. Fillmor Ch. Freymy i semantika ponimaniya // Novoe v zarubezhnoy lingvistike. Issue 23. Kognitivnye aspekty yazyka. M. : Progress, 1988. S. 52–92.
9. Palmer F. R. Grammatical roles and relations. Cambridge : University Press, 1994. 259 p.
10. Balakin S. V. Derivatsionnyy potentsial predikatov pervoyadka (na materiale predikatov «être», «avoir», «mettre», «faire» vo frantsuzskom yazyke) [Derivational potential of first-order predicate (based on predicates «être», «avoir», «mettre», «faire» in French)] // Vestnik universiteta (Rossiysko-tadzhikskiy (slavyanskiy) universitet). Nauchnyy zhurnal. 2015. № 2 (49). S. 204–212.
11. Furs L. A. Sintaksicheski reprezentiruemye kontsepty : dis. ... d-ra filol. nauk : [Syntactically represented concepts : DSc in Philology Thesis :] 10.02.04; 10.02.19. Tambov : Derzhavin Tambov State University, 2004. 370 s.
12. Balakin S. V. Osnovnye svoystva propozitsionalnyy struktury pri derivatsionnykh protsessakh (na materiale frantsuzskogo yazyka) [Basic properties of propositional structure in derivation processes (using French language material)] // Uchenye zapiski Kazanskogo universiteta. T. 156, Kn. 5. Gumanitarnye nauki. 2014. S. 90–99. ISSN 1815-6126.

13. Coelho P. O demônio e a Srta. Pym. Rio de Janeiro : Sextante, 2013. 176 s.
14. Arutyunova N. D. K probleme funktsionalnykh tipov leksicheskogo znacheniya [On the problem of functional types of lexical meaning] // Aspekty semanticheskikh issledovaniy. M. : Izd-vo «Nauka», 1980. S. 156–249.
15. Khen L. Ch. Struktura i formirovanie predlozheniy s propozitsiyami nepolnoy nominatsii v sovremennom russkom yazyke : dis. ... kand. filol. nauk [Structure and formation of sentences with incomplete nomination propositions in modern Russian : PhD in Phylology Thesis] : 10.02.01. M. : Russian Academy of Sciences. Vinogradov Institute of Russian Language 1998. 164 s.
16. Glukhovskiy D. A. Metro 2033. [Metro 2033.] M. : AST, 2012. 348 s. ISBN 978-5-17-091382-4.
17. Dostoevskiy F. M. Bratya Karamazovy. [The Brothers Karamazov.] SPb : Azbuka-klassika, 2005. 944 s. ISBN 978-5-389-01463-3.
18. Vigan D. de. No et moi. Paris : JC Lattès, 2007. 256 r.
19. Remarque E. M. Der Feind. Köln : Kiepenheuer & Witsch, 1993. 74 s.
20. Balakin S. V. Matematicheskoe i lingvisticheskoe modelirovanie kontseptualnykh osnov sinteticheskoy derivatsii [Mathematical and linguistic modeling of conceptual bases of synthetic derivation] // Vestnik UrGUPP. 2015. № 2 (26). S. 57–70. ISSN 2079-0392.
21. Favon C. Apnée noire. Paris : Toucan noir, 2014. 384 p.
22. Cunha A. G. da Dicionário Etimológico da Língua Portuguesa / A. G. Cunha. Rio de Janeiro : Nova Fronteira, 2003. 839 p.
23. Camus A. La mort heureuse. Paris : Gallimard, 2010. 176 r.

Статья сдана в редакцию 15 ноября 2015 года

История и современность

УДК 656.254(09)

А. А. Конов

Совершенствование средств связи – важное направление модернизации железнодорожного транспорта на Урале в 1975–1980-е гг. (исторический аспект)

UDC 656.254(09)

A.A. Konov

Improvement of communications facilities as an important area of modernization of railway transport of the Urals in 1975–1980 (historical aspect)

Аннотация

В статье показан процесс развития системы связи на Свердловской железной дороге в условиях ее модернизации на основе электрификации. Модернизация привела к увеличению использования на транспорте служебной телефонной, телеграфной и радиотехнической связи, способствовала появлению новых видов связи – кабельной и информационной. На Свердловской железной дороге в 1970–1980-е гг. сложилось определенное несоответствие между уровнем развития средств связи и потребностями перевозочного процесса. Основные причины – финансирование дорогостоящих транспортных новостроек в Тюменской области и общее отставание в развитии перевозочной инфраструктуры дороги (станционное, путевое хозяйство и служба связи). Тем не менее совершенствование существовавших и появление новых видов связи обеспечили успешную модернизацию дороги на основе электрификации, устойчивую работу магистрали в условиях непрерывного роста перевозочного процесса.

Ключевые слова: телеграфная связь, служебно-технологическая связь, автоматическая телефонная станция, канал тональной частоты, радиосвязь, уплотнение каналов связи.

DOI:10.20291/2079-0392-2015-4-113-129

Abstract

The article shows the process of development of communication system in the Sverdlovsk railway in terms of its modernization through electrification. Modernization led to increase in the use of internal telephone, telegraph and radio communications in transport industry, contributed to the emergence of new forms of communication, such as cable and information systems. In Sverdlovsk railway in 1970–1980s, a certain gap was formed between the level of development of communication facilities and the needs of the transportation process. The main reasons were the financing of costly new transportation projects in Tyumen region and general underdevelopment of railway infrastructure (stations, track facilities and communications services). Nevertheless, the improvement of existing means of communication and emergence of new ones ensured successful modernization of the railway through electrification, as well as stable operation of main railway lines in the context of continuous growth of the transportation process.

Keywords: telegraph, internal communication system, automatic telephone exchange, voice channel, radio communication, multiplexing.

DOI:10.20291/2079-0392-2015-4-113-129

Алексей Александрович Конов, канд. ист. наук, доцент; кафедра «Философия и история» Уральского государственного университета путей сообщения; Екатеринбург, Россия. E-mail: alek.konov2012@yandex.ru.

Konov Aleksey Aleksandrovich, PhD in History, Associate Professor; Philosophy and History Department, Ural State University of Railway Transport; Ekaterinburg, Russia. E-mail: alek.konov2012@yandex.ru.

Модернизация железнодорожного транспорта СССР в 1950–1980-е гг. стала важнейшим направлением политики советского государства по переводу экономики на интенсивный путь развития. Развитие и расширение существовавших промышленных районов на Урале, появление новых промышленных районов в Западной и Восточной Сибири потребовали технической реконструкции железнодорожного транспорта на основе электрификации и строительства новых железнодорожных линий [1, с. 103–119]. Для увеличения пропускной способности действующих железнодорожных направлений необходимо было построить в большом объеме вторые пути и увеличить перерабатывающую способность сортировочных станций. Реализация этих мероприятий составляла основу модернизации железнодорожного транспорта в СССР и требовала организации подготовки в большом количестве новых кадров рабочих, инженеров и техников, проводилась интенсивная переподготовка существующих кадров [2, 101–118].

Модернизация железнодорожного транспорта в советском государстве решала две основные задачи: повышение пропускных и провозных способностей железнодорожной сети и обеспечение транспортной доступности районов нового промышленного освоения [3, с. 18–23]. Решение этих задач модернизации становилось возможным при наличии надежной высококачественной по своим характеристикам системы связи на транспорте.

Важнейшей частью модернизации производственного объекта, промышленного предприятия, организации является совершенствование средств связи как способа взаимодействия всех участников производственного процесса. Устойчивые, надежные каналы обмена информацией с оптимальной пропускной способностью содействуют успешной и безопасной производственной деятельности, многократно повышают производительность труда всех работников.

Система связи на железнодорожном транспорте имеет особое значение потому, что все участники перевозочного процесса распределены на большой территории, а динамика технологических процессов крайне высока. Связь на транспорте обеспечивает безопасность движения поездов, высокую производительность труда и непосредственное взаимодействие в перевозочном процессе всех подразделений и предприятий транспорта как единой системы. Основная функция системы связи на транспорте – оперативное информирование работников о состоянии перевозочного процесса на железнодорожной сети в целом и на каждом конкретном ее участке, обеспечение единой технологии перевозочного процесса и высокой производительности и эффективности труда.

Развитие системы связи на железнодорожном транспорте должно осуществляться одновременно и параллельно с развитием всей его материально-технической базы. Связь всегда должна была соответствовать техническим возможностям транспорта на определенном этапе исторического развития. Реализация Генерального плана электрификации железных дорог потребовала глубоких изменений в системе транспортной связи – роста скоростей движения поездов, резкого увеличения интенсивности перевозок грузов и пассажиров, существенного подъема производительности труда. Для обеспечения этих изменений необходима высокоорганизованная, оперативная, качественная связь.

В 1950–1980-е гг. основой технической политики Министерства путей сообщения в области развития связи стала замена воздушных линий связи на железных дорогах кабельными сетями. Основными причинами постепенного отказа от воздушных линий связи на железных дорогах СССР стали следующие [10, с. 210–211].

1. Противоречия между ограниченными возможностями воздушных линий связи и требованиями модернизации железнодорожного транспорта.

Постоянный рост перевозочного процесса на железных дорогах и интенсивности движения по магистральным путям и станциям потребовали резкого увеличения числа каналов получаемой информации, повышения их качества и пропускной способности. Воздушные линии связи из-за взаимных влияний цепей, слабой защищенности от влияния природных условий и промышленных объектов позволяли получить максимум 72 канала тональной частоты низкого качества. В то же время автоматизация телефонных и телеграфных связей, необходимость создания сети передачи данных для автоматизированных систем управления железнодорожным транспортом, внедрение современных систем железнодорожной автоматизации и многие другие технологии требовали увеличить каналоемкость сети как минимум в два раза (то есть обеспечить 150–200 каналов тональной частоты) [10, с. 210–211].

2. Реализация Генерального плана электрификации на железных дорогах. С целью защиты магистральных, дорожных и станционных воздушных линий связи от опасных и мешающих влияний со стороны контактной сети необходимо было использовать специальные кабели, обладающие повышенными защитными свойствами от электромагнитных влияний. Электрификация железных дорог на переменном токе промышленной частоты с напряжением 25 кВ вызвала на проводах воздушных линий связи, идущих вдоль железнодорожного пути, напряжение, во много раз превышающее допустимые значения и исключающее возможность использования их для телефонной и телеграфной передачи в спектре низких частот.

3. Бесспорные преимущества кабельных линий перед воздушными линиями и линиями радиосвязи – закрытость информации, высокая надежность, защищенность от промышленных и атмосферных воздействий, длительный срок эксплуатации (свыше 40 лет), меньшая задержка сигнала.

Во второй половине 1960-х гг. на заводе «Азовкабель» (г. Бердянск) был разработан специально для железных дорог симметричный кабель (МКПАБ; имел кордельно-трубчатую полиэтиленовую изоляцию медных жил диаметром 1,05, алюминиевую оболочку и несколько слоев стальных бронелент, покрытых снаружи полиэтиленовым шлангом). Из семи четверок жил кабеля три симметрировались в спектре частот 252 (вместо 150) кГц и предназначались для уплотнения аналоговой системой передачи типа К-60. Остальные четыре четверки предусматривались для организации низкочастотных каналов в тональном спектре частот 300–3400 Гц. Пять сигнальных пар предназначались для работы систем железнодорожной автоматизации и телемеханики (автоблокировки, частотного диспетчерского контроля, переездной сигнализации). С 1969 г. началось серийное производство железнодорожных магистральных кабелей этого типа, разработана механизированная прокладка кабеля вдоль электрифицированных железных дорог (в том числе непосредственно в тело земляного полотна), обеспечена защита рабочих цепей кабеля от опасных и мешающих электромагнитных влияний электрифицированных железных дорог [11, с. 187].

В 1966–1975 гг. (то есть примерно за 10 лет) построено и введено в эксплуатацию свыше 20 тыс. км двухкабельных линий. Это позволило решить проблему организации необходимого количества каналов тональной частоты магистрального и дорожного уровней для создания вторичных сетей связи (телефонной, телеграфной, передачи данных, телемеханики и автоматизации) на ряде железнодорожных направлений. В результате подтвердилась ранее разработанная четырехуровневая структура первичной сети связи МПС СССР в составе магистральной, дорожной, отделенческой и станционной (местной) сетей связи, которая наиболее полно отвечала иерархической структуре управления отраслью.

В 1976–1980 гг. учеными и специалистами кафедры «Электрическая связь» ЛИИЖТа и ВНИИЖТ МПС проведена научно-исследовательская работа по определению наиболее рациональной структуры сети связи отделения железной дороги и технических средств для ее реализации. Вопрос был особенно важен потому, что модернизационные процессы протекали наиболее интенсивно именно на отделениях железных дорог, нуждавшихся в надежных видах связи. Наиболее рациональной структурой первичной сети связи отделения дороги признали радиально-групповую структуру, которая, обеспечивая высокие качественные показатели, сравнительно недорога и полностью удовлетворяла требованиям развития вторичных сетей отделения (оперативно-технологическая связь, связь передачи данных, сеть телефонной связи общеслужебного пользования).

Оптимальным технико-экономическим решением организации каналов тональной частоты для построения радиально-групповой структуры сети связи отделения дороги на симметричных кабельных линиях была признана специализированная двухкабельная аналоговая система передачи типа К-24Т (кабельная, 24-канальная распределительная транспортная система передачи), обеспечивающая реализацию прямых, групповых и многоточечных каналов для построения оперативно-технологической, диспетчерской и телефонной сетей связи. Решением Государственной межведомственной комиссии аппаратура системы К-24Т получила высокую оценку и в 1981 г. пошла в серийное производство. С 1987 г. на железных дорогах СССР строились одно-, двух- и трехкабельные линии связи. Причем однокабельные линии строились ограничено, в основном на рокадных и тупиковых участках железных дорог, где потребность в каналах магистральной и дорожной сети невелика, а трехкабельные линии – только на особо грузонапряженных участках железных дорог [10, с. 235].

На Свердловской железной дороге в 1975–1980-е гг. воздушные линии связи были сохранены и продолжали развиваться в условиях модернизации на основе электрификации (таблица 1).

Данные таблицы 1 показывают постоянное увеличение протяженности воздушных линий связи на Свердловской железной дороге. За 1975–1991 гг. протяженность магистральных линий на дороге возросла в 1,2 раза, несмотря на то, что это был уже устаревший вид связи. Как правило, увеличение протяженности воздушных линий связи происходило за счет строительства новых линий и вторых путей. Основную часть воздушных линий связи дороги составляли стальные провода, доля которых сократилась за 1975–1991 гг. на 5,2 %. Доля цветных проводов в воздушных линиях связи оставалась невысокой, достигнув к 1991 г. 23,3 % всех магистральных линий.

Сохранение и дальнейшее развитие на Свердловской железной дороге воздушных линий связи в 1980-е гг. объясняется, главным образом, двумя причинами. Во-первых, железная дорога была электрифицирована на постоянном токе, который не вносил таких сильных помех в линии связи, как переменный ток, а, значит, сооружение



Телеграфный аппарат Бодо
(по материалам Интернета)

Таблица 1

Развитие воздушных линий связи на Свердловской железной дороге
в 1975–1991 гг., проводо-км [6]

Год	Общая протяженность магистральных линий связи	В том числе стальные	Из цветных металлов	Общая протяженность местных линий связи	Протяженность кабельной сети	Кабельная сеть связи к воздушным линиям связи, %
1975	88859	72269	16590	11722		
1976	92508	75263	17245	11748		
1977	94771	76985	17787	11722	3325	3,1
1978	96055	77661	18395	12046	4280	3,9
1979	98553	78620	19933	12490	–	–
1981	102489	82100	20389	11576	4756	4,1
1982	104254	83316	20938	11373	5096	4,4
1983	104983	83687	21296	11353	5709	5,4
1985	107428	84246	23183	10716	5192	4,4
1986	108327	84932	23394	11072	7525	6,3
1987	106052	81985	24066	11004	–	–
1988	106478	82097	24381	10911	10434	8,8
1989	107942	83350	24592	11396	11642	9,7
1990	107386	82708	24678	11395	11452	9,6
1991	106264	81434	24830	11395	11578	9,8

кабельных линий в больших количествах не требовалось. Во-вторых, в 1970-е гг. основная часть капиталовложений направлялась на освоение транспортных новостроек Тюменской области в ущерб финансированию и развитию действующей сети дороги, что не могло не сказаться на темпах обновления средств связи.

К концу 1980-х гг. на Свердловской дороге сеть воздушных линий связи преобладала по числу каналов связи и по протяженности. По состоянию на 1991 г. кабельная сеть связи дороги составляла не более 10 % от воздушной сети.

Огромное значение в организации перевозочного процесса, обеспечении безопасности движения поездов и предоставлении оперативной информации

для всех служб транспорта имеет телеграфная связь. В первое послевоенное десятилетие (1946–1955 гг.) в системе связи железнодорожного транспорта действовали только магистральная и дорожная телеграфная связь с управлениями железных дорог и управлений с отделениями дорог. К 1955 г. на железных дорогах Урала организовали телеграфную связь между отделениями железных дорог и некоторыми участковыми станциями. На магистральных и дорожных направлениях связь была оснащена телеграфными аппаратами Бодо, а на отделенческих и участковых – телеграфными аппаратами Морзе и ленточными стартстопными аппаратами СТ-35. Несколько позже начали появляться рулонные



Рулонный телеграфный аппарат
(по материалам Интернета)

аппараты – РТА-38, РТА-60. Аппараты Бодо работали по однопроводным цепям воздушных линий связи, а аппараты Морзе – как по однопроводным, так и фантомным цепям. Для организации телеграфных каналов на дальние расстояния на железных дорогах Урала использовалась трофейная аппаратура тонального телеграфирования типа ВТ-34, которая позволяла в четырехпроводном телефонном канале с полосой частот 300–2600 Гц организовать 18 пунктов с двухсторонней телеграфной связью со скоростью передачи 50 Бод [10, с. 203].

Значительный рост перевозочного процесса, увеличение скоростей движения поездов потребовали автоматизации работы телеграфной связи на железных дорогах Урала и резкого увеличения каналов информации, доставляемой по телеграфу. Повсеместно началось внедрение телеграфной связи на тональных частотах, что должно было повысить ее маневренность и надежность. Новая телеграфная аппаратура позволяла теперь по одному высокочастотному телефонному каналу образовать 12 или 16 двусторонних каналов (каждый шириной 140 Гц) и работать со скоростью телеграфирования до 75 Бод. Новая телеграфная аппаратура с частотной модуляцией обладала большей помехозащищенностью и устойчивостью действия [11, с. 192].

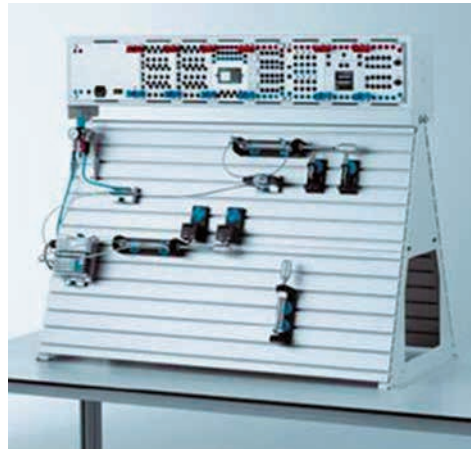
С 1956 г. на железных дорогах Урала началось внедрение аппаратуры надтонального телеграфирования с частотной модуляцией на четыре телеграфных канала типа НТ-ЧМ-4. Телеграфирование в надтональном спектре частот по устойчивости превосходило все другие системы телеграфирования, позволило освободить значительное число однопроводных телеграфных цепей и за их счет получить новые телефонные связи. С 1960 г. началось внедрение аппаратуры тонального телеграфирования с частотной модуляцией ТТ-17П, которая отличалась от аппаратуры прежних типов применением метода группообразования каналов и использованием полупроводниковых приборов. Если раньше оборудование наиболее распространенного на железнодорожном транспорте телеграфного аппарата Бодо размещалось на пяти столах, то теперь оборудование размещалось на одной стойке. Аппаратура ТТ-17П позволяла образовать 17 двусторонних телеграфных каналов в телефонном канале со спектром частот 300–3400 Гц при скорости телеграфирования по каждому каналу до 50 Бод (скорость телеграфного аппарата Бодо составляла от 2700 до 5400 слов в час). Эту аппаратуру впервые применили на железных дорогах Урала в 1964 г. [11, с. 192].

Информационная телеграфная связь внесла существенный вклад в улучшение организации всего перевозочного процесса на отделении дороги, совершенствование технологии работы сортировочных станций и крупных железнодорожных узлов. В 1965 г. на Свердловской железной дороге организованы первые информационные центры на основных сортировочных станциях. Инициатива организации информационной телеграфной связи принадлежала Пермскому отделению. Инженеры дистанции В.М. Баштан, Б.А. Остяков и Н.Я. Дубровский, объединившись в творческую группу, изыскивали техническую возможность организации информационной связи в пределах отделения и с соседними станциями других

отделений. Задача увеличения числа каналов связи была решена увеличением физических и уплотнением существующих цепей высокочастотной аппаратурой. Методом уплотнения телефонных каналов каналообразующей телеграфной аппаратурой П-314 инженеры осуществили телеграфную связь между станциями Пермь-Сортировочная и пятью крупными станциями других отделений. Для коммутации телеграфных цепей в 1965 г. инженеры смонтировали восстановленный и модернизированный коммутатор Т-41. Аппараты Морзе и Бодо были заменены более надежными и быстродействующими аппаратами СТ-35 и РТА-58. Впервые была введена в действие аппаратура тонального телеграфирования П-318, ТТ-5, ТТ-17, а позднее и ТТ-48 [1, с. 41–42].

На каждый прибывавший поезд в информационный центр сортировочной станции поступала точная информация в виде натурального листа, по данным которого маневровый диспетчер намечал план роспуска, порядок расформирования и формирования составов. При этом информационный центр снабжал информацией станции, в адрес которых формировались поезда. В содружестве с УО ВНИИЖТ и УЭМИИТом разработана и запущена в эксплуатацию информационная телеграфная связь на Тюменском отделении Свердловской дороги. Постепенно ушли в прошлое списывание составов по прибытии и меловая разметка вагонов, снижавшие перерабатывающую способность сортировочных станций.

В 1967 г. на железных дорогах Урала установили аппаратуру частотно-временного телеграфирования типа ЧВТ, которая позволяла путем вторичного уплотнения телефонной цепи увеличить число телеграфных каналов, создаваемых в телефонном канале, более чем в два раза. Число получаемых при этом телеграфных связей зависело от скорости телеграфирования включенных аппаратов. При использовании аппаратов со скоростью 50 Бод система ЧВТ позволяла иметь 44 телеграфные



Аппаратура тонального телеграфирования
(по материалам Интернета)

связи, а при скорости 75 Бод – 18 телеграфных связей [11, с. 192].

Увеличение числа каналов телеграфной связи позволило вплотную приступить к автоматизации телеграфной связи. Автоматические телеграфные станции появились сначала в управлениях, а затем и в отделениях железных дорог Урала. К началу 1990-х гг. на железных дорогах Урала практически повсеместно в качестве абонентских пунктов использовались стартстошные телеграфные аппараты рулонного типа и автоматизированные рабочие места телеграфиста [10, с. 225].

Увеличение объемов перевозок, повышение интенсивности работы железных дорог в 1950–1980-е гг. предъявили новые требования к оперативно-технологической телефонной связи и, в частности, к избирательным ее видам. Сети оперативно-технологической связи служили для организации оперативного управления и контроля за исполнением графика движения поездов, своевременной передачей поездов по стыкам железных дорог, передачей сведений о погрузке и выгрузке вагонов и контейнеров, а также других технологических процессов. В качестве технических средств для организации оперативно-технологической связи и специальных видов связи технологического

назначения на отделенческом уровне использовались каналы тональной и надтональной частоты, аппаратура избирательной телефонной связи, связи совещаний и дорожно-распорядительной связи [10, с. 222–223].

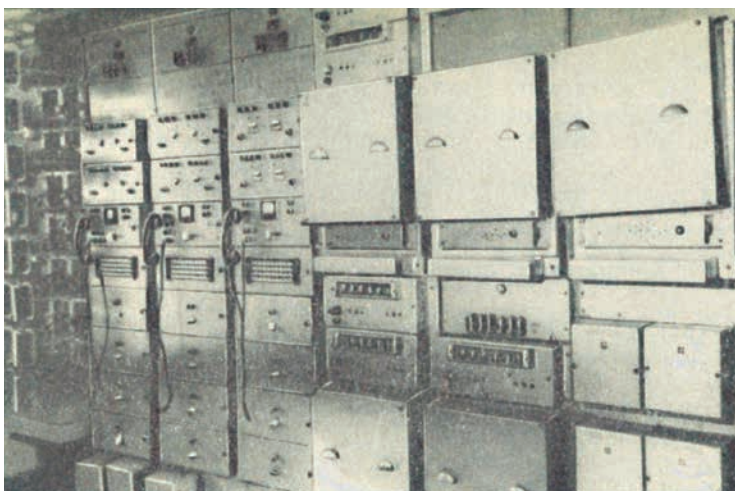
В связи с реализацией на железнодорожном транспорте Урала Генерального плана электрификации, к традиционным видам этой связи – поездной диспетчерской, постанционной и линейно-путевой – добавились новые, увеличилась протяженность видов связи, которые ранее имели ограниченное применение. Расширение полигона электрической тяги на железных дорогах Урала сопровождалось внедрением энергодиспетчерской связи. Оснащение железных дорог автоматикой привело к созданию служебной диспетчерской связи с линейными электромеханиками. Развитию этих видов оперативно-технологической связи способствовало внедрение магистральных кабельных линий.

На магистральном и дорожном уровне указанные виды связи строились по распорядительному принципу в сторону исполнительного пункта. При этом для связи совещаний применялось 100%-ное резервирование каналов тональной частоты, использовалась специальная

аппаратура с возможностью перерыва передачи от исполнительной станции. В системе дорожно-распорядительной связи применялся режим типа конференц-связи и избирательный принцип вызова абонентов [10, с. 221].

Непосредственное влияние всех видов оперативно-технологической связи на безопасность движения поездов, необходимость оперативного вмешательства руководителей в производственный процесс предъявляли к организации оперативно-технологической связи специфические требования: высокая надежность и живучесть связи; обеспечение немедленного вступления в связь любого промежуточного пункта, особенно при аварийных ситуациях; обеспечение не только индивидуальных, но и групповых переговоров для передачи циркулярных сообщений и для связи совещаний. Эти требования диктовали необходимость предоставления каждой группе работников (связанных между собой по условиям производства, подчиненных одному руководителю и рассредоточенных вдоль железной дороги) отдельного канала связи, несмотря на то, что этот канал имел малую среднесуточную интенсивность нагрузки.

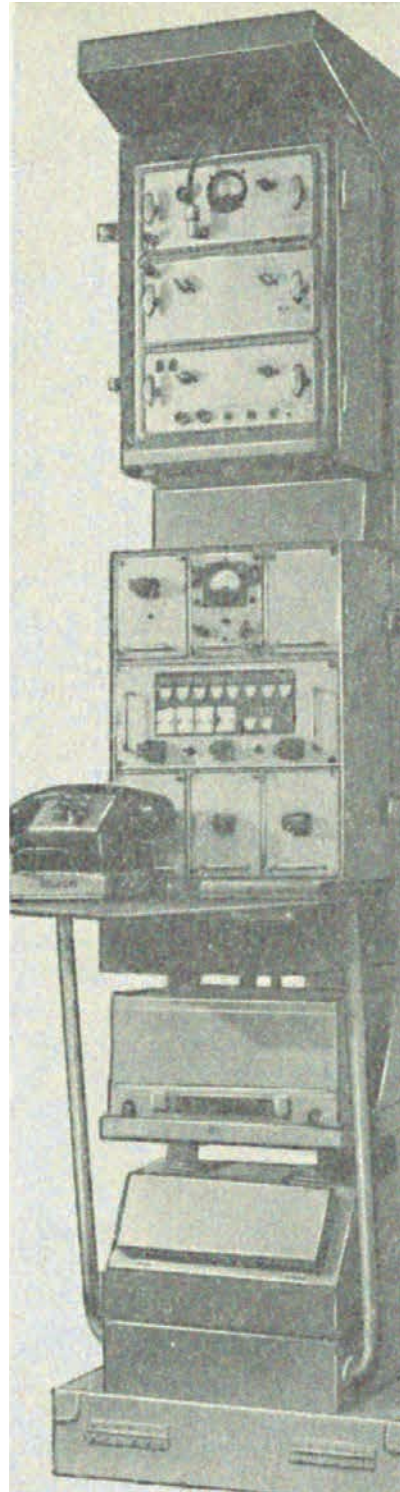
Основной тенденцией развития оперативно-технологической связи



Аппаратура оперативно-технологической связи в линейно-аппаратном зале Дома связи (по материалам Интернета)

в 1950–1980-е гг. на железных дорогах Урала стала ее автоматизация и упорядочение каналов связи по группам абонентов. Наличие у дежурного по станции большого числа телефонных аппаратов (диспетчерская, станционная, межстанционная, стрелочная связь) усложняло его работу: приходилось определять вызывающий аппарат по тону звонка. Для создания удобств в пользовании оперативными связями КБ Главного управления сигнализации и связи разработало несколько типов коммутаторов станционной связи для малых, средних и крупных станций. Коммутаторы обеспечивали автоматическое переключение линий связи. К началу 1970-х гг. осуществлена унификация комплектов телефонной аппаратуры оперативно-технологической связи для дежурного по станции, станционных диспетчеров, работников диспетчерского контроля движения поездов [11, с. 197].

К началу 1980-х гг. каналы оперативно-технологической связи стали образовываться с помощью параллельного подключения аппаратуры определенного круга абонентов в общую физическую цепь, проходящую вдоль полотна железной дороги, и включения в нее промежуточных дуплексных усилителей. Для обеспечения вызовов абонентов в групповых каналах стали применять систему избирательного вызова, при которой сигнал вызова мог приниматься в одном вызываемом пункте, в определенных группах пунктов или во всех пунктах сразу. Групповой принцип связи использовался для организации связи совещаний, когда все включенные в канал промежуточные пункты могли слышать командный (распорядительный) пункт и по его разрешению участвовать в совещании. Эти преимущества связи позволяли оперативно доводить до всех работников отделения нужную информацию, осуществлять непрерывный перевозочный процесс, резко повысить производительность труда, что было особенно важным в условиях модернизации.



Стойка промежуточного пункта поездной радиосвязи (по материалам Интернета)

Сети местной и дальней телефонной связи развивались, прокладывались кабельные сети, ручные станции заменялись автоматическими, строились новые телефонные станции. К началу 1970-х гг. на большинстве крупных железнодорожных станций Урала введены в строй шаговые АТС большой мощности (до двух-трех тыс. номеров) и средней (до 600 номеров) емкости, разработан типовой проект железнодорожной АТС на 1000 номеров. В 1980-е гг. на всех железных дорогах Урала организовали автоматическую телефонную связь управлений дорог с отделениями, дорожная телефонная связь была полностью автоматизирована (таблица 2).

Данные таблицы 2 свидетельствуют, что на Свердловской железной дороге по численности преобладали АТС малой емкости – менее 199 номеров. Их удельный вес в общей численности

АТС дороги колебался в 1975–1980-е гг. от 76 до 81 %. То есть на Свердловской железной дороге автоматизировалась прежде всего местная телефонная связь между станциями и предприятиями дороги, что необходимо было для оперативно-технологической работы на станциях. По монтированной емкости номеров на дороге преобладали АТС с емкостью 1000 и более номеров. К концу 1980-х гг. их значение все более возрастало. Самые высокие темпы строительства АТС пришлось на 1980-е гг., когда сдавались в эксплуатацию новые предприятия на Сургутском отделении дороги.

Для Свердловской железной дороги в 1970-е гг. характерен рост числа междугородных АТС и увеличение емкости их номеров, но, начиная с 1981 г., их количество резко сокращается (на 87 станций) и достигает 36 АТС на всю

Таблица 2

Развитие сети местных и междугородных автоматических телефонных станций (АТС) на Свердловской железной дороге в 1975–1991 гг., станции/емкость в номерах [7]

Год	Местные АТС, кол-во	Из них АТС емкостью 199 и менее номеров	АТС емкостью 200–499 номеров	АТС емкостью 500–999 номеров	АТС емкостью 1000 и более номеров	Междугородные АТС, кол-во
1975	156/33329	122/6429	17/5600	8/5000	9/16300	113/1089
1976	157/34197	121/6697	18/5200	9/6000	9/16300	115/1069
1977	164/34877	127/7077	19/5500	9/6000	9/16300	116/1306
1978	166/34787	129/7487	19/5500	9/6000	9/15800	124/1350
1979	170/36850	138/9350	15/5500	7/6000	9/16000	122/1390
1981	183/39980	142/9137	–	–	–	35/743
1982	184/42170	149/10720	–	–	–	34/576
1983	194/43886	156/11336	–	–	–	35/588
1985	210/47706	167/12256	25/9550	8/6400	10/19500	35/602
1986	216/48636	172/12636	–	–	–	36/614
1987	220/65126	169/14796	30/12300	9/8480	12/29550	36/655
1988	226/66559	179/15656	26/11460	10/9760	11/29683	–
1989	226/54434	176/–	29	9	12	36/648
1990	226/55984	175/13436	30/11700	9/7500	12/23348	36/690
1991	225/57134	175/13696	27/10960	11/9100	12/23378	36/696

дорогу. По нашему мнению, сокращение междугородных АТС на Свердловской дороге в 1980-х гг. вызвано двумя причинами: во-первых, переводом всех вновь построенных железнодорожных линий на Северном Урале и Тюменской области с междугородной телефонной связи, какой они пользовались раньше, на оперативно-технологическую и местную телефонную связь; во-вторых, в 1980-е гг. содержание и обслуживание такого количества междугородных АТС для Свердловской дороги становилось все более убыточным, и руководство начало ограничивать количество абонентов, имевших доступ к междугородной телефонной связи.

К началу 1990-х гг. на железных дорогах СССР были построены и введены в эксплуатацию автоматические телефонные станции на 800 тыс. номеров и 20 тыс. номеров автоматических телеграфных станций, что позволило практически завершить автоматизацию магистральной, дорожной и частично отделенческой телефонной и телеграфной связи.

В условиях интенсивной модернизации железнодорожного транспорта на базе электрификации огромное значение приобрела радиосвязь, призванная обеспечить высокую оперативность информации о перевозочном процессе, оптимальную безопасность движения поездов и рост производительности сортировочных станций. Резкое увеличение объемов работы сортировочных станций по обработке поездов, увеличение пассажирских перевозок также диктовали необходимость широкого использования в производственном процессе радиосвязи. Главное достоинство радиотехнических систем – отсутствие жесткого проводного канала, что позволяет создавать системы связи с подвижными объектами, с беспроводной радиолнией. Поэтому основная цель применения радиотехнических сетей на железнодорожном транспорте – информационный обмен с подвижными единицами.

В первые послевоенные годы внедрение радиосвязи на железных дорогах

Урала началось с радиофикации путевых будок и казарм, в которых устанавливались батарейные и сетевые радиоприемники, продолжалось оборудование железнодорожных станций радиопузлами для трансляции центрального радиовещания. Для осуществления радиосвязи на железных дорогах использовали устаревшую военную аппаратуру, приспособлявая ее к требованиям перевозочного процесса. В дальнейшем область применения радио расширялась.

Новый этап внедрения радиосвязи на железнодорожном транспорте начался в 1947 г., когда с целью повышения производительности работы маневровых локомотивов и ускорения обработки составов на сортировочных станциях начала применяться станционная радиосвязь. Радиостанция типа ЖР-1 обеспечивала радиотелефонную симплексную (в режиме попеременного одностороннего действия) связь между стационарным пунктом и локомотивом на расстоянии 5–6 км. Радиостанция предназначалась для связи маневрового диспетчера и дежурного по станции с машинистами маневровых локомотивов. Радиостанцию типа ЖР-1 начали применять на сортировочных станциях. Уже в 1948 г. 130 железнодорожных станций оборудовали станционной радиосвязью, а через десять лет их число достигло тысячи. Внедрение станционной радиосвязи уже на первых станциях позволило существенно ускорить обработку и формирование поездов, а в дальнейшем она прочно вошла в технологию работы станций.

Еще более быстрыми темпами шло внедрение поездной радиосвязи. К 1956 г. поездной радиосвязью оборудовали около 6 тыс. км железных дорог СССР. К 1958 г. на железных дорогах работало более 600 стационарных и 2700 переносных радиостанций типа ЖР-4. В 1958 г. завершили разработку новой более совершенной ультракоротковолновой радиостанции типа ЖР-5, а позднее – типа ЖР-5М для поездной и станционной радиосвязи. Ультракоротковолновый диапазон радиовещания

позволил увеличить число каналов, а также снизить влияние помех от контактной сети электрифицированных железных дорог. К концу 1950-х гг. на железнодорожном транспорте СССР сформировались три основных вида технологической радиосвязи: станционная, поездная и ремонтно-технологическая. Они прочно заняли свое место в перевозочном процессе.

В начале 1960-х гг. на железных дорогах Урала начался интенсивный процесс оборудования маневровых паровозов радиостанциями, что являлось производственной необходимостью в условиях роста перерабатывающей способности сортировочных станций. В 1960–1962 гг. оборудованы радиостанциями ЖР-1, ЖР-3, ЖР-5 все маневровые паровозы на Пермском отделении Свердловской дороги, что позволило машинисту и составителю поездов иметь двустороннюю связь с дежурным по станции и маневровым диспетчером. На горках станций устанавливались радиорубки для связи составителя поезда с машинистом локомотива, производящим надвиг состава на горку. В 1965 г. все горочные локомотивы Свердловской дороги были оборудованы постоянными радиостанциями, что устранило перерывы в работе сортировочной горки, связанные с переносом радиостанции при отправлении локомотива на профилактический ремонт. Таким образом, радиосвязь на железных дорогах Урала в 1960-е гг. развивалась опережающими темпами относительно модернизации других служб.

К 1977 г. станционной радиосвязью оборудовали все железнодорожные станции Урала, на которых работали два и более маневровых локомотива. Поездную радиосвязь в 1980 г. эксплуатировали на всех магистральных линиях и на значительной части остальных. Общая протяженность ее превышала 130 тыс. км. Всего за 1970–1982 гг. число радиоприборов на железных дорогах Урала возросло почти в четыре раза [4, с. 7–8].

В систему станционной технологической связи с подвижными объектами

входила радиосвязь машинистов маневровых и горочных локомотивов с дежурными по станциям и горкам, маневровыми диспетчерами, операторами горок и составителями. Кроме того, к станционной связи относилась радиосвязь дежурного по технической конторе со списчиками вагонов, связь военизированной охраны. Стационарные радиостанции с двумя пультами управления позволяли осуществлять групповой вызов машинистов локомотивов и составителей поездов и индивидуальный вызов конкретного работника. Каждая локомотивная радиостанция работала на одном из 12 каналов и позволяла машинисту избирательно получать связь с нужным ему работником станции, машинистом другого локомотива или подключаться к линии двусторонней парковой связи. В системе станционной радиосвязи использовались стационарные, возимые и носимые радиостанции различных конструкций и выполняемых функций, работающие в метровом диапазоне волн.

С 1977 г. на Пермской дистанции стали применять первые носимые радиостанции «Тюльпан» для работников службы движения. К 1984 г. на дистанции насчитывалось свыше 500 разных типов носимых радиостанций («Днепр», «Транспорт», «Сирена», УФТ-721, ПР-11, ПР-21) [4, 9]. Большое развитие получила сеть парковой связи громкоговорящего оповещения. Для всех типов станций разработана сеть усилителей У-100, которые обеспечивали бесперебойную работу устройств громкоговорящего оповещения. Как правило, сеть громкоговорящего оповещения на станциях была подключена к линии диспетчерской связи, что позволяло дежурному инженеру по мере необходимости вести двусторонние переговоры с электромехаником, находящимся на станционных путях.

Станционная радиосвязь явилась важным средством управления технологическими процессами на железнодорожных станциях. Ее применение на сортировочных станциях позволяло

сократить численность работников, занятых расформированием и формированием составов, высвободить до 10 % парка маневровых локомотивов и на 25–30 % сократить время переработки составов.

Поездная радиосвязь дежурных по станциям и участковых диспетчеров с машинистами поездных локомотивов, осуществляемая по радиопроводному принципу с групповым избирательным вызовом, стала неотъемлемой частью организации поездной работы. По ней работники движения передавали указания машинистам о порядке пропуска поезда по участку и маневровой работе на станции, в некоторых случаях передавали необходимые приказы. Машинист мог сообщать о затруднениях в движении, об опасных замеченных нарушениях на пути и встречных поездах. В условиях роста скоростей движения поездов и интенсивности перевозок по электрифицированным линиям поездная радиосвязь помогла избежать многих аварий.

В 1977–1980 гг. на железных дорогах Урала введена ремонтно-технологическая радиосвязь, используемая при капитальном ремонте пути, ремонтных работах на контактной сети, различных восстановительных работах. Она способствовала лучшей организации ремонтно-технологических и восстановительных работ в линейных условиях. В зависимости от назначения и способа организации этот вид связи разделялся на линейную постоянно действующую связь, линейную временно действующую и действующую внутри полигона проведения работ. Ремонтно-технологическая связь организовывалась по принципу симплексной поездной радиосвязи с применением распорядительных станций, стационарных и носимых радиостанций УКВ диапазона.

Основной тенденцией развития технологической радиосвязи на железных дорогах Урала стало ее разделение на радиосвязь, непосредственно участвующую в транспортном процессе, и радиосвязь, обеспечивающую техническое

обслуживание железнодорожных сооружений и транспортных средств. Сочетание этих направлений и определило перспективы развития комплексной технологической радиосвязи на сети железных дорог.

В начале 1980-х гг. учеными и специалистами ВНИИЖТ, МИИТ и ЛИИЖТ была разработана и внедрена на железнодорожном транспорте Урала комплексная система радиосвязи «Транспорт». Концептуально система «Транспорт» охватывала четыре основных направления связи: поездную радиосвязь с движущимися поездами, станционную радиосвязь с подвижными ремонтными подразделениями и радиосвязь пассажиров поезда.

В системе «Транспорт» значительно расширены требования к построению радиосвязи с движущимися объектами. Этот вид связи должен был обеспечивать связь машиниста поездного локомотива с поездным диспетчером, а также передачу с поезда сигналов о его номере и местоположении на участках, оборудованных диспетчерской централизацией; связь машиниста поездного локомотива с главным кондуктором сборного грузового поезда; связь между машинистами встречных поездов; связь бригадира пассажирского поезда со старшим билетным кассиром (билетным диспетчером) ближайшей участковой станции для передачи сведений о наличии свободных мест в поезде; связь машиниста поездного локомотива с бригадиром пассажирского поезда, стрелками военизированной охраны грузового поезда в пути следования; связь с руководителями работ по ремонту пути, контактной сети и других сооружений и устройств на участках, где велись работы, а также связь с персоналом, обслуживающим перегонные сооружения и устройства (путевые обходчики, дежурные по переездам, монтеры СЦБ и связи, энергоснабжения).

Радиостанции системы «Транспорт» были построены на базе унифицированных приемопередатчиков УПП-1 (гектометровый диапазон), УПП-2 (метровый),

УПП-3 (дециметровый). После ряда усовершенствований к началу 1990-х гг. для поездной радиосвязи стали использоваться локомотивные радиостанции трех диапазонов в одном конструктивном исполнении, а стационарные – в различных.

Значительные результаты в развитии радиосвязи были достигнуты на Свердловской железной дороге в 1975–1980-е гг. (таблица 3).

Таблица 3 показывает, что в 1970–1980-е гг. радиосвязь прочно вошла в поездную работу Свердловской дороги, став ее составной частью. Поездной радиосвязью оборудовали весь локомотивный парк дороги и практически всю эксплуатационную протяженность магистрали. Машинист поезда через локомотивную радиостанцию мог связаться

из любой точки магистрали с нужными ему работниками, попросить помощи, сообщить важную информацию. Радиосвязь в поездной работе резко повысила безопасность движения поездов, оперативность работы ремонтных служб, способствовала ускорению движения поездов.

Медленно и со значительным отставанием на Свердловской магистрали развивалась станционная радиосвязь (таблица 4).

Из таблицы 4 видно, что к 1989 г. только половина станций дороги была оборудована радиосвязью. Со значительным отставанием происходило внедрение на дороге переносных радиостанций для станционных работников (с 1979 г.), что сказывалось на условиях безопасности труда и существенно

Таблица 3

Развитие поездной радиосвязи на Свердловской железной дороге в 1975–1991 гг. [8]

Год	Общая протяженность участков, оборудованных поездной радиосвязью, км	Наличие локомотивных радиостанций	Поездные стационарные радиостанции
1975	4926	2290	535
1976	5449	2384	584
1977	5695	2489	602
1978	5991	2845	621
1979	6237	3100	629
1981	6255	3258	676
1982	6258	3446	709
1983	6476	3570	733
1985	6787	3927	799
1986	6894	4402	903
1987	7522	5366	–
1988	7782	5558	–
1989	6937	5595	–
1990	7013	4963	1336
1991	7014	5304	1424

замедляло обработку поездов, особенно на крупных сортировочных станциях. При этом переносных портативных радиостанций на станциях явно не хватало. Таким образом, станционная радиосвязь развивалась на дороге в менее благоприятных условиях, что связано с недостатком радиотехники на дороге и незначительными расходами на ее обновление.

К началу 1990-х гг. на железнодорожном транспорте СССР находилось в эксплуатации около 170 тыс. радиостанций различного назначения, из которых более половины – носимые, а остальные – возимые и стационарные, используемые в поездной, станционной и ремонтно-оперативной радиосвязи.

Анализ статистических данных позволяет нам сделать ряд принципиаль-

ных выводов о модернизации средств сигнализации и связи на железных дорогах Урала.

1. Совершенствование технических средств связи на железных дорогах Урала стало важнейшим условием их успешной модернизации на основе электрификации, улучшились условия труда железнодорожников, многократно повысилась производительность труда всех работников, созданы предпосылки для роста перерабатывающей способности станций.

2. Модернизация средств связи на железнодорожном транспорте Урала не была полностью завершена, сохранились многие виды устаревшей техники и оборудования, медленными темпами внедрялись сети кабельной связи. Электрификация железнодорожных

Таблица 4

Станционная радиосвязь на Свердловской железной дороге в 1975–1991 гг. [9]

Год	Общее количество станций на дороге	Станции, оборудованные маневровой радиосвязью	Станции, оборудованные маневровой радиосвязью, %	Наличие стационарных радиостанций	Радиостанции на маневровых локомотивах	Переносные радиостанции
1975	420	120	28,6	–	402	–
1976	422	122	29	318	415	–
1977	424	122	28,7	305	443	–
1978	445	138	31,0	337	521	–
1979	454	145	32	349	532	1000
1981	455	177	39	456	660	1835
1982	455	199	43,7	519	658	2370
1983	–	210	–	568	684	2534
1985	487	227	46,6	616	726	3156
1986	498	227	45,6	609	786	3114
1987	500	285	57	–	812	4039
1988	498	244	49	–	796	4606
1989	494	–	–	1421	841	–
1990	492	–	–	1416	837	–
1991	494	–	–	–	–	–

линий Урала (в основном на постоянном токе) не требовала таких глубоких модернизационных преобразований средств связи, как при электрификации на переменном токе. Эта особенность модернизации железных дорог Урала позволяла сохранять и длительное время использовать устаревшие воздушные линии связи, незащищенные

телефонные и телеграфные кабели с низкой каналоемкостью. Важной причиной сложившегося отставания в развитии средств связи на дорогах Урала стала организация транспортных новостроек в Тюменской области и на Дальнем Востоке, которые финансировались в ущерб развитию инфраструктуры действующей сети. ■

Литература

1. Антоноук И. Д. Передовой коллектив связистов: опыт Пермской дистанции сигнализации и связи Свердловской дороги. М. : Транспорт, 1984.
2. Конов А. А. Организация обеспечения кадрового потенциала на железнодорожном транспорте Урала в 1955–1991 гг. // Вестник УрГУПС. 2013. № 3 (19). ISSN 2079-0392.
3. Конов А. А. Реализация Генерального плана электрификации железнодорожного транспорта на Урале в 1956–1970 гг. // Транспорт Урала. 2014. № 3 (42). ISSN 1815-9400.
4. Крючков М. Т., Конов А. А., Мацкевич Б. И. Анализ модернизации железнодорожного транспорта на Урале в 1956–1991 гг. // Вестник УрГУПС. 2012. № 3 (15). С. 103–120. ISSN 2079-0392.
5. Сектор архивов Управления Свердловской железной дороги. Ф. Р-65. Оп. 5. Д. 688. Л. 127; Д. 721. Л. 105; Д. 753. Л. 113; Д. 794. Л. 128; Д. 884. Л. 86; Д. 921. Л. 91; Д. 1089. Л. 54; Д. 1167. Л. 56; Д. 1212. Л. 8. Д. 1247. Л. 10.
6. Сектор архивов Управления Свердловской железной дороги. Ф. Р-65. Оп. 5. Д. 688. Л. 129; Д. 721. Л. 106; Д. 753. Л. 114; Д. 794. Л. 129; Д. 884. Л. 86; Д. 921. Л. 92; Д. 1021. Л. 85; Д. 1056. Л. 120; Д. 1089. Л. 54; Д. 1167. Л. 56; Д. 1212. Л. 8. Д. 1247. Л. 10.
7. Сектор архивов Управления Свердловской железной дороги. Ф. Р-65. Оп. 5. Д. 688. Л. 130; Д. 721. Л. 106; Д. 753. Л. 115; Д. 794. Л. 130; Д. 884. Л. 87; Д. 921. Л. 93; Д. 1021. Л. 86; Д. 1056. Л. 121; Д. 1089. Л. 55; Д. 1167. Л. 57; Д. 1212. Л. 9. Д. 1247. Л. 25.
8. Сектор архивов Управления Свердловской железной дороги. Ф. Р-65. Оп. 5. Д. 688. Л. 130; Д. 721. Л. 106; Д. 753. Л. 115; Д. 794. Л. 130; Д. 884. Л. 87; Д. 921. Л. 93; Д. 1021. Л. 86; Д. 1056. Л. 121; Д. 1089. Л. 55; Д. 1167. Л. 57; Д. 1212. Л. 9. Д. 1247. Л. 25.
9. Семенюта Н. Ф., Здоровцов И. А. История электрической связи на железнодорожном транспорте (прошлое, настоящее и будущее). М. : Учебно-методический центр по образованию на железнодорожном транспорте, 2008.
10. Развитие автоматики, телемеханики и связи на железных дорогах / Б. С. Рязанцев, Д. А. Бунин, Н. З. Шацев, Н. М. Степанов. М. : Транспорт, 1986.

References

1. Antonyuk I. D. Peredovoy kollektiv svyazistov : opyt Permskoy distantsii signalizatsii i svyazi Sverdlovskoy dorogi. [Leading team of communications men : experience of Perm signaling and communication section of Sverdlovsk road.] M. : Transport, 1984.
2. Konov A. A. Organizatsiya obespecheniya kadrovogo potentsiala na zheleznodorozhnom transporte Urala v 1955–1991 gg. P Provision of human resources in the rail transport of the Urals in 1955-1991 [// Vestnik UrGUPP. 2013. № 3 (19). ISSN 2079-0392.
3. Konov A. A. Realizatsiya Generalnogo plana elektrifikatsii zheleznodorozhnogo transporta na Urale v 1956–1970 gg. [Implementation of the General Electrification Plan of railway transport in the Urals in 1956-1970] // Transport Urala. 2014. № 3 (42). ISSN 1815-9400.
4. Kryuchkov M. T., Konov A. A., Matskevich B. I. Analiz modernizatsii zheleznodorozhnogo transporta na Urale v 1956–1991 gg. [Analysis of modernization of railway transport in the Urals in 1956-1991.] // Vestnik UrGUPP. 2012. № 3 (15). S. 103–120. ISSN 2079-0392.
5. Archive Sector of Sverdlovsk Railway Directorate. F. R-65. Op. 5. D. 688. L. 127; D. 721. L. 105; D. 753. L. 113; D. 794. L. 128; D. 884. L. 86; D. 921. L. 91; D. 1089. L. 54; D. 1167. L. 56; D. 1212. L. 8. D. 1247. L. 10.

6. Archive Sector of Sverdlovsk Railway Directorate. F. R-65. Op. 5. D. 688. L. 129; D. 721. L.106; D. 753. L. 114; D. 794. L. 129; D. 884. L. 86; D. 921. L. 92; D. 1021. L. 85; D. 1056. L. 120; D. 1089. L. 54; D. 1167. L. 56; D. 1212. L. 8. D. 1247. L. 10.
7. Archive Sector of Sverdlovsk Railway Directorate. F. R-65. Op. 5. D. 688. L. 130; D. 721. L.106; D. 753. L. 115; D. 794. L. 130; D. 884. L. 87; D. 921. L. 93; D. 1021. L. 86; D. 1056. L. 121; D. 1089. L. 55; D. 1167. L. 57; D. 1212. L. 9. D. 1247. L. 25.
8. Archive Sector of Sverdlovsk Railway Directorate. F. R-65. Op. 5. D. 688. L. 130; D. 721. L.106; D. 753. L. 115; D. 794. L. 130; D. 884. L. 87; D. 921. L. 93; D. 1021. L. 86; D. 1056. L. 121; D. 1089. L. 55; D. 1167. L. 57; D. 1212. L. 9. D. 1247. L. 25.
9. Semenyuta N.F., Zdorovtsov I.A. Istoriya elektricheskoy svyazi na zheleznodorozhnom transporte (proshloe, nastoyascheye i buduscheye). [The history of telecommunications in railway transport (past, present and future).] М. : Uchebno-metodicheskiy tsentr po obrazovaniyu na zheleznodorozhnom transporte, 2008.
10. Razvitie avtomatiki, telemekhaniki i svyazi na zheleznykh dorogakh [Development of automation, remote control and communications in railway transport] / B.S. Ryazantsev, D.A. Bunin, N.Z. Shatsev, N.M. Stepanov. М. : Transport, 1986.

Статья сдана в редакцию 10 ноября 2015 года

В. С. Блохин

Отражение богословских вопросов армянской церкви в русскоязычной научной и публицистической литературе XIX – начала XX вв. как основа межцерковного диалога

UDC 93: 261.8

V. S. Blokhin

Reflection of theological questions of Armenian church in Russian scientific and journalistic publications of XIX – early XX centuries as a basis for interchurch dialogue

Аннотация

Проанализированы научные и научно-публицистические работы армянских и русских авторов, посвященные защите православного вероучения армянской церкви и опубликованные на русском языке на протяжении XIX – начала XX вв.

Выявлена актуальность данного анализа, т.к. в настоящее время догматические вопросы являются основой для армяно-русского межконфессионального диалога.

Новизна статьи заключается в историографическом и источниковедческом анализе, сущность которого раскрывает поставленную автором тему. Использованы дореволюционные издания, большинство которых в дальнейшем не переиздавались. Для подтверждения своих выводов автор опирается на данные источников из фондов Национального архива Республики Армения, вводя их в научный оборот.

Ключевые слова: христианство, конфессиональные связи, межцерковный диалог, армянская церковь, русская православная церковь, армянская община, армянская епархия.

DOI:10.20291/2079-0392-2015-4-130-140

Abstract

Scientific and journalistic works of the Armenian and Russian authors dedicated to the protection of the Orthodox Faith of the Armenian Church and published in Russian language in the 19th – early 20th centuries have been examined.

The paper reveals the relevance of this analysis, since currently dogmatic questions are the basis for the Armenian-Russian inter-religious dialogue.

The novelty of the paper is in its historiographical and source analysis, which reveals in its core theme set by the author. Pre-revolutionary publications were used, most of which were not reprinted. The author supports its findings by the sources from the National Archives of the Republic of Armenia, involving them in the scientific use.

Keywords: Christianity, faith-based communications, interchurch dialogue, Armenian Church, Russian Orthodox Church, Armenian community, Armenian Diocese.

DOI:10.20291/2079-0392-2015-4-130-140

Владимир Сергеевич Блохин, канд. пед. наук, доцент; кафедра «Философия и история» Уральского государственного университета путей сообщения; Екатеринбург, Россия. E-mail: vladiblok@yandex.ru.

Blokhin Vladimir Sergeevich, PhD in Education Science, Associate Professor; Philosophy and History Department, Ural State University of Railway Transport; Ekaterinburg, Russia. E-mail: vladiblok@yandex.ru.

История армяно-русских конфессиональных связей насчитывает тысячу лет, начиная с эпохи Киевской Руси. В XVIII–XIX вв. в России образовались первые армянские епархии, и правительство предоставило торговые, религиозные и др. привилегии армянам, поселившимся в русских землях [1].

Актуальность изучения армяно-русских религиозных отношений обусловлена духовной близостью двух народов, воздействием армянской диаспоры на углубление культурных, общественно-политических связей с Россией. Кроме того, в настоящее время контакты армянской и русской православной церковью приобрели ярко выраженный систематический и продуктивный характер, что выражается в совместных научных, образовательных, социально-ориентированных проектах и мероприятиях.

Одним из существенных факторов межцерковного взаимодействия выступает богословский диалог. Обе церкви – русская и армянская – именуются православными. Однако в силу сложившихся обстоятельств на протяжении веков армянской церкви приходилось доказывать свою принадлежность к православию, свидетельствовать о догматической общности с русской церковью.

Согласно условиям Туркманчайского мирного договора, заключенного по итогам русско-иранской войны, в 1828 г. Восточная Армения с историческим центром армянской апостольской церкви и резиденцией католикоса – Эчмиадзином – вошла в состав Российского государства. Вследствие этого армянские общины получили еще больший импульс к распространению на российских землях. Политическая интеграция Восточной Армении в состав России привела не только к развитию общественных, культурных и административных связей. Значительным достижением рассматриваемого периода явился начавшийся на страницах русскоязычной печати богословский диалог армянской и русской церковью. Цель

его заключалась в сравнительном изучении вероучительных основ армянской и русской православной церковью, что должно было способствовать их каноническому сближению [2]. Поскольку древние православные патриархаты Востока (константинопольский, александрийский, антиохийский, иерусалимский) находились под османским владычеством, следовательно, именно русской церкви принадлежала решающая роль в этом процессе.

Несмотря на имевшиеся в прошлом факты признания близости двух исповеданий, армянская вера в начале XIX в. по-прежнему воспринималась в русском сознании как альтернатива православию. В частности, в ноябре 1837 г. члены эриванской духовной консистории обратились к российскому синоду за ответом на вопрос: могут ли русские люди из-за отсутствия православных священнослужителей в исключительных случаях (например, в случае опасности скорой смерти младенца или наличия детей, родившихся от незаконной связи русских православных и армян) обращаться к армянским священникам для совершения таинств крещения и причастия, обряда погребения? [3]. Ссылаясь на действующее законодательство, синод запрещал «иноверческому духовенству преподавать православным духовные требы», отождествляя данный факт с «совращением православия в иновере» [4]. Термин «совращение» мы неоднократно обнаруживаем в документах этого периода, касающихся спорных вопросов перехода из православия в армянскую веру [5].

На основании решения синода министр внутренних дел должен был следить за тем, чтобы «армянские священники отнюдь не были допускаемы к совершению у православных треб, особенно крещения; и чтобы дети, прижитые в незаконной связи лиц господствующей греко-российской веры с лицами всякого другого исповедания, крещаемы и воспитываемы были в правилах веры греко-российской, на основании постановления, какое существует

о законных детях от браков лиц православных с иноверцами» [6].

Одной из главных причин таких оценок армянской веры было господствующее положение русской православной церкви как незыблемой опоры имперской идеологии. Возникновение в 1833 г. теории «официальной народности», сформулированной министром народного просвещения С. С. Уваровым, еще более укрепило идеолого-политический статус православия. В то же время предвзятость отношения к армянскому вероучению объяснялась тем, что армянская богословская литература была малоизвестной (либо вообще неизвестной) для русского православного духовенства, включая высших иерархов.

Прикосновение русских читателей к страницам истории, быта и церковного вероучения армян началось с 1830-х гг. Вскоре армянская тематика заняла достойное место в сфере исторических и богословских интересов как армянских, так и русских авторов: появлялись публицистические и полемические сочинения, а также фундаментальные работы. Важной задачей того времени исследователи считали публикацию источников.

Спустя десятилетие после присоединения Восточной Армении, в 1838 г., на русском языке было издано «Собрание актов, относящихся к обозрению истории армянского народа» в двух частях [7]. Сборник включал документы о постройке первых армянских церквей в Астрахани (грамота 1706 г., сенатский указ 1763 г.), Санкт-Петербурге (резолуция 1740 г., указ 1770 г.), Москве (резолуция 1740 г., указ 1770 г.), Григориополе (высочайшее повеление 1800 г.) [8].

В 1847 г. исследователь А. Худобашев издал сборник документов XII в., раскрывающих вопросы вероучения армянской церкви: «Соборное послание Католикоса Армянского Нерсеса (Благодатного, Шнорали) ко всему армянскому племени», написанное при восшествии Нерсеса на патриарший престол в 1166 г.; пространное исповедание веры армянской церкви, написанное

Нерсесом Благодатным в 1166 г.; переписка византийского императора Мануила с армянскими католикосами Григорием III (1113–1166), Нерсесом IV Благодатным (1166–1173) и Григорием IV (1173–1193) о единстве греческой и армянской веры [9]. Издатель отмечал, что главная цель перевода и издания этих документов заключалась в знакомстве российского читателя «с истинами веры и благочестия, как их принимает церковь армянская. Кроме перевода литургии армянской, давно печатанного и едва ли не забытого в русской духовной литературе, до последних годов не было никаких пособий, из коих бы любопытные могли узнать учение соседней церкви ближе и удовлетворительнее» [10].

По справедливому мнению А. Худобашева, «греки, вследствие политических переворотов и религиозных споров, стали с V в. ... питать нерасположение против армян. Этот дух нерасположения касался не только всего, что относится к народному характеру армян, но даже не щадил и самих священных обрядов веры армянской, обременив оные неприличными вымыслами, оскорбляющими ... церковь Христову» [11]. Однако впоследствии эти стереотипы «перешли и в Россию, простосердечно принимаются здесь иногда за правду и доныне не подвергнуты строгому разбору и опровержению» [12].

Тема взаимоотношений армянских католикосов Григория III, Нерсеса IV и Григория IV с представителями духовной и светской властей Византии была продолжена в статье А. К. Соколова «Сношения армянской церкви с восточной православной о соединении в двенадцатом веке» [13]. Автор показал, что армяне, по свидетельству католикосов, не являлись монофизитами, как это было принято традиционно считать.

Следующим просветительским шагом со стороны армянской церкви было переиздание работы архиепископа Иосифа Аргутинского «Исповедание христианской веры армянской церкви»

в 1857 г. Инициатор этой задачи, попечитель армянских церквей Санкт-Петербурга Христофор Лазарев, сообщал прокурору эчмиадзинского синода: «...высшее образованное русское духовенство сближалось в сношениях с образованным высшим армянским духовенством. <...> В царствования Александра I и Николая I митрополиты санкт-петербургские и московские Амвросий, Михаил, Антоний, Никанор, Филарет, бессарабский экзарх Дмитрий, архиепископы Иннокентий и другие были в знакомстве с патриархами Ефремом, Нерсесом, архиереями Григорием, Иоаннесом, Михаилом Салангьян, Серафимом и Матеосом. Сближения, сношения необходимы по взаимным надобностям церквей и согласию» [14]. Придерживаясь тезиса о неизменности догматов и сложившихся установлениях в армянской и русской церквях, Х. Лазарев видел пользу межцерковного общения, «особенно чтоб предупреждать и даже уничтожать плевелы предрасудков и суеверий древних греков, несправедливо от них перенятых» [15].

Во второй половине XIX – начале XX в. в русской печати появились апологетические сочинения, явно свидетельствующие о православном характере догматического учения армянской церкви.

Одну из первых таких работ опубликовал православный священник Константин Добронравин (в монашестве Гермоген, впоследствии епископ Псковский) – автор многих научных трудов по истории и богословию православной церкви. В магистерской диссертации «Очерк учения и богослужения армянской церкви» [16] отец Гермоген проанализировал вероучение армян и пришел к выводам о несостоятельности обвинений армянской церкви в монофизитстве, о тождественности богословского понимания личности Христа в армянской и греческой (православной) традициях, об идентичности таинств армянской и православной церквей. В подтверждение своих слов автор приводил заключение одного из современных

ему армянских богословов: «Сын Божий состоит из двух естеств, т.е. божеского и человеческого, несмешанно и неслиянно соединенных...» [17]. Отсюда следовал справедливый вывод: «...армянская церковь учит об Иисусе Христе как Богочеловеке согласно с учением православной церкви. Но, к сожалению, армяне любят употреблять в этом учении выражение: *едино естество*» [18], что и давало повод греческим богословам утверждать о приверженности армян монофизитскому учению.

Совместные усилия армянских и русских исследователей привели к появлению двух важных в истории армяно-русских церковных связей проектов. Главную роль в создании первого проекта «О возможности мира к общению между православною греко-российскою церковью и православною армянскою» сыграл упомянутый Х. Лазарев. Основой межцерковного единения выступали тезисы католикоса Нерсеса Шнорали, изложенные в работе А. Худобашева.

Автором второго проекта был греческий православный митрополит Григорий (Византиос), опубликовавший свои идеи в двух пространных статьях, где он объяснял возможный путь объединения армянской и православной церквей исходя из их богословско-догматической тождественности. Проект митрополита Григория был издан в русском переводе в 1868 г. в ежемесячнике «Христианское чтение» [19]. Важность выхода в свет этого трактата заключалась в том, что греческий владыка сделал серьезный шаг к развитию вопроса о догматическом единении двух церквей после шестивекового перерыва.

По мнению митрополита Григория, для достижения единства церквей были необходимы два условия: 1) образование специального комитета для предварительного рассмотрения и смягчения существующих между церквями различий», состоящего из самых компетентных богословов обеих церквей и 2) допущение «некоторых уступок» в вероучительном движении навстречу друг другу «на основании древних примеров

вселенской церкви» [20]. Митрополит Григорий предостерегал, что достижение единства церквей ни в коем случае не должно рассматриваться как поглощение одной церковью другой или наложение правил, по которым живет, допустим, греческая церковь, на церковь армянскую. Истинная цель состояла в достижении литургического общения, т.е. возможности совместного причащения, что объединяет верующих перед богом [21].

Однако в силу национальных и политических факторов как с армянской, так и с российской стороны, вопрос воссоединения так и остался на бумаге.

В то же время проекты Х. Лазарева и митрополита Григория оказали большое влияние на публициста Н. О. Эмина, издавшего в 1865 г. «Слово архиепископа Тарсийского Нерсеса Ламбронского», произнесенного на Ромклайском соборе 1178 г. [22] Через несколько лет Н. О. Эмин выпустил небольшую научно-публицистическую работу «Краткий очерк истории армянской восточной церкви» [23]. В действительности, это был перевод статьи одного из французских ориенталистов, фамилию которого Эмин не указал.

В предисловии к очерку издатель отметил превратность в понимании догматики армянской церкви, которая бытовала до настоящего времени [24]. Н. О. Эмин решительно возражал против тезиса о монофизитстве армян, ссылаясь при этом на «Исповедание христианской веры армянской церкви Иосифа Аргутинского», содержание документов, опубликованных А. Худобашевым и упомянутый выше трактат митрополита Григория о возможности единства армянской и православной церквей. При этом Н. О. Эмин с сожалением констатировал, что голос православного архиерея остался среди русских армян почти без отклика [25].

Н. О. Эмин был твердо уверен в продуктивном продолжении диалога о вероучительном единстве армян и православных, начатого еще в средневековье. Он пытался развенчать опасения армян

о возможности утраты национального характера церкви вследствие единства: «Церковь армянская смело может подать руку восточной церкви, ибо она в недрах своем хранит в чистоте в продолжении слишком шестнадцати веков учение, завещанное ей св. Григорием Просветителем... Если б возможно было сближение двух церквей на условиях, которые предлагаются Хиосским митрополитом Григорием во второй половине его «Трактата», то легко могло бы быть устранено опасение утраты национальности, сохранение которой последователи учения св. Григория Просветителя преимущественно полагают в самостоятельности национальной церкви. Доказательство неосновательности такого опасения представляет сама история армянской церкви. Католическая пропаганда, начавшаяся в Армении, в особенности в Киликии, со времен Крестовых походов, успела присоединить ... к римской церкви значительную часть своих соотечественников, известных с тех пор под названием унитаров (унитов). Армяне-униторы удержали в богослужении народный язык, богослужебные книги и обряды, издревле существующие в их церкви. Они не только сами не утратили национальности, но распространением просвещения между своими соотечественниками возбуждали в них то чувство, сохранением которого, по справедливости, так дорожат армяне как католики, так и григориане» [26].

В 1869 г. преподаватель Лазаревского института армянский архиепископ Михаил Салантьян опубликовал статью «О согласии и мнимом несогласии вероисповеданий церкви армянской и церкви греческой» [27]. Работа была написана им еще в 1839 или 1840 г. На творчество владыки Михаила повлияли исследования, посвященные армяно-византийским богословским связям XII в. и раскрытые в работах А. Худобашева и А. К. Соколова.

Делая краткий обзор истории армянской церкви, архиепископ Михаил отмечал: «Армяне не признали определений

Халкидонского собора не умышленно и не по упорству, но по неведению истинного их содержания; не потому, что почитали его разделяющим заблуждения Евтихия, но потому, что считали его согласным с учением Нестория, которое во Иисусе Христе полагало два лица, и потому армяне начали употреблять слова «едино естество», согласно изречению св. Кирилла, а в слове «естество» разумели «лицо» [28].

Архиепископ Михаил (Салантьян) упомянул о путях, наметившихся к соединению армянской и греческой церквей во второй половине XII в., когда, по его мнению, в 1179 г. «в городе Румкале все вообще духовные и светские армяне общенародным исповеданием признали Халкидонский собор и исповедание, оным постановленное и согласились с Мануилом, греческим императором, и с греческою церковью» [29]. С того времени, писал автор, во-первых, «исповедание веры армянской ... во всех частях было согласно с исповеданием греков и Халкидонского собора» и во-вторых, «сие православное исповедание единогласие с греками неизменно сохранялось и сохраняется в церкви и в нации армянской с того времени до настоящего» [30].

Апологетика армянского вероучения получила свое дальнейшее развитие в фундаментальной диссертации профессора Санкт-Петербургской духовной академии И. Е. Троицкого «Изложение веры церкви армянской, начертанное Нерсесом, кафоликосом армянским» (1875 г.) [31]. В своей работе И. Е. Троицкий свидетельствовал, что, во-первых, армянская церковь осудила Евтихия и его монофизитскую доктрину, а, во-вторых, Нерсес IV Шнорали определил воплощение Спасителя как соединение двух естеств (природ), божественного и человеческого. В понимании христологического учения армянская церковь стоит на формуле св. Кирилла Александрийского.

В 1909 г. в русской печати были опубликованы еще две работы, касающиеся анализа вероисповедания армянской

церкви – русского профессора А. Лебедева «Вероисповедное положение армян в России до времен Екатерины II (включительно)» [32] и «Краткий очерк вероисповедания армянской церкви» армянского публициста священника С. Максимаджиана [33].

Труд А. Лебедева был составлен главным образом по документам из московского главного архива Министерства иностранных дел (отдел «Армянские дела»). Автор показал динамику вероисповедного положения армян в России. Ключевым вопросом для А. Лебедева продолжал выступать тезис о ложном монофизитстве армян. Сравнительная монофизитское и православное понимание природы Христа, А. Лебедев констатировал, что распространению стереотипа об армянском монофизитстве на Руси способствовала греческая (константинопольская) православная церковь.

Аналогично А. Лебедеву С. Максимаджиан опровергал приверженность армян монофизитству, считая, что «все эти ни на чем не основанные мнения произошли, конечно, от явных своевременно неразъясненных недоразумений» [34].

В опровержение монофизитства армян была издана статья «Придерживается ли армянская церковь монофизитского учения Евтихия?» (1913 г.) армянского священника из Ростова-на-Дону Нерсеса Эртевциана [35]. Вслед за священником К. Добронравным, митрополитом Григорием (Византиосом), Н. О. Эмином, М. Салантьяном, А. Лебедевым, С. Максимаджианом, автор однозначно свидетельствовал о приверженности армян православным догматам.

Одновременно, в 1913 г., на русском языке вышло первое издание книги «Армянская церковь: ее история, учение, управление, внутренний строй, литургия, настоящее», автором которой был армянский константинопольский патриарх Магакия (Малахия) Орманян. Размышляя о точном названии армянской апостольской церкви, отражающем не только ее этнографическую сущность

и апостольское происхождение, автор предлагает добавить слово «միջփոխ» («православная»). По мнению М. Орманияна, такое название «имело бы сугубое достоинство обозначать одновременно исключительное устройство армянской народной церкви и связь, присоединяющую ее к группе церквей восточной ортодоксии» [36]. Другими словами, название «православная» сняло бы все недоразумения в догматическом понимании богословия армянской церкви.

Охарактеризовав работы армянских и русских богословов, а также проект митрополита Григория (Византиоса), мы видим, что русская церковная общественность XIX – начала XX в. имела возможность убедиться в принадлежности армянской церкви к православию. Представителей русского и армянского духовенства, исследователей и публицистов той эпохи объединяло единодушное стремление представить русскоязычному читателю неизвестные и малоизвестные факты об истории древней армянской церкви, восходящей к истокам христианства, и проповеди апостолов, а самое главное – разобраться в особенностях армянской христологии и объективно подвергнуть критике стереотипный тезис об армянском монофизитстве.

По нашему мнению, идеи и обоснованные тезисы, содержащиеся в апологетических сочинениях, актуальны для базового использования в современном армяно-русском богословском диалоге.

Практическим результатом богословской полемики стала постепенная коррекция отношения российских

православных властей к армянской церкви.

Еще в 1843 г. эчмиадзинский синод впервые был извещен о предоставлении армянскому и русскому духовенству равных прав в освящении воды на праздник крещения господня при выходе на местные источники [37]. Широко распространенное в середине XIX в. «сворачивание из православия в армянскую веру» постепенно заменяется в источниках на термин «переход». Этому способствовало изменение конфессионального курса российского правительства: в 1905 г. департамент духовных дел иностранных исповеданий принял циркуляр, согласно которому «отпадение от православной веры в другое христианское исповедание или вероучение не подлежит преследованию и не должно влечь за собою каких-либо невыгодных в отношении личных или гражданских прав последствий» [38].

Таким образом, на протяжении рассмотренной эпохи армянская церковь обрела позитивное устойчивое положение в русском церковном (в том числе богословском) сознании, политической и правовых сферах, культурно-этническом и литературном наследии Российской империи.

Желая восстановить богословскую справедливость в оценках армянской церкви, русские и армянские интеллектуалы XIX – начала XX столетия продемонстрировали идентичность православного и армянского вероучений. Это, в свою очередь, создало условия для укрепления межцерковных связей в XX столетии. ■

Литература

1. Об условиях возникновения армяно-русских церковных отношений в Киевской Руси и их последующей динамике см.: Айвазян К. В. История отношений русской и армянской церквей в средние века / ред. С. С. Аревшатян. Ереван : Изд-во АН АрмССР, 1989; Армянские церкви Российской империи (1717–1917) / Ред. колл. А. С. Вирабян, С. С. Мирзоян, В. Г. Крбемян, Г. Г. Авакян. Ереван : Тигран Мец, 2009. ISBN 978-99941-0-341-6; Блохин В. С. Армяно-русский конфессиональный диалог: исторический аспект // Церковь. Богословие. История: материалы II Всероссийской научно-богословской конференции (Екатеринбург, 12 февраля, 2014 г.). Екатеринбург : Информ.-изд. отдел ЕДС, 2014. С. 35–37. ISBN 978-5-8295-0249-2; Блохин В. С. Деятельность армянской церкви в России в 1717–1828 гг. // Вестник УрГУПС. 2014. № 2 (22).

- С. 69–80. ISSN 2079-0392); Лебедев А. Вероисповедное положение армян в России до времен Екатерины II (включительно). М. : Издание Имп. Об-ва истории и древностей российских при Моск. Ун-те, 1909; Тер-Саркисянц А. Е. История и культура армянского народа с древнейших времен до начала XIX в. / А. Е. Тер-Саркисянц; Ин-т этнологии и антропологии им. Н. Н. Миклухо-Маклая. 2-е изд. М. : Вост. лит., 2008. С. 370–394. ISBN 978-5-02-036341-0.
2. Подробнее об этом см., например: Тунян В. Г. Католикос Матеос I Чухаджян: конфликт с самодержавием России, 1858–1865 гг. Ереван : Чартарагет, 2011. С. 36–39. ISBN 978-9939-55-628-4.
 3. Национальный архив Армении (далее – НАА). Ф. 56. Оп. 1. Д. 214. Л. 2–3.
 4. НАА. Ф. 56. Оп. 1. Д. 214. Л. 13.
 5. Имеются, например: дело крестьянина Григория Арменова 1843 г.: НАА. Ф. 56. Оп. 1. Д. 1208. Л. 13 об., дело жителя Александропольского уезда Михаила Гевандова 1854 г.: НАА. Ф. 56. Оп. 1. Д. 2674. Л. 33–34, 43–43об.; дело о крестьянах селения Игдыр Сурмалинского уезда Эриванской губернии 1897 г.: НАА. Ф. 56. Оп. 14. Д. 54. Л. 18–19.
 6. НАА. Ф. 56. Оп. 1. Д. 214. Л. 13–13 об.
 7. Собрание актов, относящихся к обозрению истории армянского народа. М., 1833. Ч. 1; М., 1838. Ч. II.
 8. См.: Собрание актов, относящихся к обозрению истории армянского народа. М., 1833. Ч. 1. С. 6, 15, 24, 27, 48.
 9. Исторические памятники вероучения армянской церкви, относящиеся в XII столетию / Перевод с арм. А. Худобашева. СПб, 1847.
 10. Исторические памятники вероучения армянской церкви, относящиеся в XII столетию / Перевод с арм. А. Худобашева. СПб, 1847. С. IV. Автор имеет в виду публикацию: Исповедание христианския веры армянския церкви / переведенное с армянскаго на российский язык и изданное тщанием преосв. Иосифа, архиеп. всего армянскаго народа, обитающаго в России, и кавалера кн. Аргутинскаго-Долгорукаго. СПб, 1799.
 11. Исторические памятники вероучения армянской церкви, относящиеся в XII столетию / Перевод с арм. А. Худобашева. СПб, 1847. С. IV.
 12. Исторические памятники вероучения армянской церкви, относящиеся в XII столетию / Перевод с арм. А. Худобашева. СПб, 1847. С. V–VI.
 13. Соколов А. К. Сношения армянской церкви с восточной православной о соединении в двенадцатом веке. М., 1847.
 14. НАА. Ф. 56. Оп. 2. Д. 723. Л. 4.
 15. НАА. Ф. 56. Оп. 2. Д. 723. Л. 4 об.
 16. Мы использовали современное издание, объединяющее обе статьи: Гермоген (Добронравин), еп. Краткий очерк истории армянской церкви. Вероучение армянской церкви. М., 2000.
 17. Гермоген (Добронравин), еп. Краткий очерк истории армянской церкви. Вероучение армянской церкви. М., 2000. С. 29.
 18. Гермоген (Добронравин), еп. Краткий очерк истории армянской церкви. Вероучение армянской церкви. – М., 2000. – С. 32.
 19. Григорий Византиос, митр. Хиосский. Каким образом может осуществиться единение армянской и православно-кафолической церкви // Христианское чтение. 1868. № 6. С. 791–853; Он же. О мерах к достижению единения армянской и православно-кафолической церкви // Христианское чтение. 1868. № 7. С. 19–120.
 20. Григорий Византиос, митр. Хиосский. Каким образом может осуществиться единение армянской и православно-кафолической церкви // Христианское чтение. 1868. № 6. С. 791.
 21. Григорий Византиос, митр. Хиосский. Каким образом может осуществиться единение армянской и православно-кафолической церкви // Христианское чтение. 1868. № 6. С. 794.
 22. Синодальное слово Нерсеса Ламбронского, архиепископа Тарсийского. М., 1865.
 23. Эмин Н. О. Краткий очерк истории армянской восточной церкви. М., 1872.
 24. Эмин Н. О. Краткий очерк истории армянской восточной церкви. М., 1872. С. 4.
 25. Эмин Н. О. Краткий очерк истории армянской восточной церкви. М., 1872. С. 7.
 26. Эмин Н. О. Краткий очерк истории армянской восточной церкви. М., 1872. С. 9–10.
 27. Михаил (Салантъян), архиеп. О согласии и мнимом несогласии вероисповеданий церкви армянской и церкви греческой // Христианское чтение. 1869. № 2. С. 222–238.

28. Михаил (Салантъян), архиеп. О согласии и мнимом несогласии вероисповеданий церкви армянской и церкви греческой // Христианское чтение. 1869. № 2. С. 230.
29. Михаил (Салантъян), архиеп. О согласии и мнимом несогласии вероисповеданий церкви армянской и церкви греческой // Христианское чтение. 1869. № 2. С. 233.
30. Михаил (Салантъян), архиеп. О согласии и мнимом несогласии вероисповеданий церкви армянской и церкви греческой // Христианское чтение. 1869. № 2. С. 235–236.
31. Троицкий И. Е. Изложение веры церкви Армянской, начертанное Нерсесом, кафеоликосом армянским, по просьбе боголюбивого царя греков Мануила. СПб, 1875.
32. Лебедев А. Вероисповедное положение армян в России до времен Екатерины II (включительно). М. : Издание Имп. Об-ва истории и древностей российских при Моск. ун-те, 1909.
33. Максимаджян С., прот. Краткий очерк вероисповедания армянской церкви. Изд. 2-е. Ростов-на-Дону, 1909.
34. Максимаджян С., прот. Краткий очерк вероисповедания армянской церкви. Изд. 2-е. Ростов-на-Дону, 1909. С. 3.
35. Ответ архиепископа Мелхиседека Мурадьяна на послание римского папы Льва XIII (перевод с армянского) с приложением статьи «Придерживается ли армянская церковь монофизитского учения Евтихия?» (ответ М. Меньшикову). Ростов-на-Дону, 1913.
36. Магакия (Орманиян), архиеп. Армянская церковь: ее история, учение, управление, внутренний строй, литургия, настоящее / Прим. Г. Маюляна. Ереван : Анкюнакар, 2006. С. 156.
37. НАА. Ф. 56. Оп. 1. Д. 1233. Л. 7.
38. НАА. Ф. 56. Оп. 14. Д. 264. Л. 3.

References

1. On Conditions for the occurrence of the Armenian-Russian relations in the church of Kievan Rus' and their subsequent dynamics see : Ayvazyan K.V. Istoriya otnosheniy russkoy i armyanskoy tserkvey v srednie veka [K. V. Ayvazyan, The history of relations of the Russian and Armenian churches in the Middle Ages] / red. S. S. Arevshatyan. Erevan : Izd-vo AN ArmSSR, 1989; Armyanskie tserkvi Rossiyskoy imperii [Armenian churches of the Russian Empire (1717–1917) / Red. koll. A. S. Virabyan, S. S. Mirzoyan, V. G. Krbekyan, G. G. Avakyan. Erevan : Tigran Mets, 2009. ISBN 978-99941-0-341-6; Blokhin V. S. Armyano-russkiy konfessionalnyy dialog : istoricheskiy aspekt [Armenian-Russian confessional dialogue : historical aspect] // Tserkov. Bogoslovie. Istoriya : materialy II Vserossiyskoy nauchno-bogoslovskoy konferentsii (Ekaterinburg, 12 fevralya, 2014 g.). Ekaterinburg : Inform.-izd. otdel EDS, 2014. S. 35–37. ISBN 978-5-8295-0249-2; Blokhin V. S. Deyatelnost armyanskoy tserkvi v Rossii v 1717–1828 gg. [Activities of the Armenian Church in Russia in 1717–1828] // Vestnik UrGUPP. 2014. № 2 (22). S. 69–80. ISSN 2079-0392; Lebedev A. Veroisповедное положение армян в России до времен Екатерины II (включительно). [Religious status of Armenians in Russia until the time of Catherine II (inclusive)] М. : Izdanie Imp. Ob-va istorii i drevnostey rossiyskikh pri Mosk. Un-te, 1909; Ter-Sarkisyants A. E. Istoriya i kultura armyanskogo naroda s drevneyshikh vremen do nachala XIX v. [History and culture of the Armenian people from ancient times to the beginning of the XIX century.] / A. E. Ter-Sarkisyants; In-t etnologii i antropologii im. N. N. Miklukho-Maklaya. 2-e izd. М. : Vost. lit., 2008. S. 370–394. ISBN 978-5-02-036341-0.
2. For details, see, for example : Tunyan V. G. Katolikos Mateos I Chukhadzhyan : konflikt s samoderzhaviem Rossii, 1858–1865 gg. [Catholikos Mateos I Chukhajyan : conflict with the autocracy of Russia, 1858–1865] Erevan : Chartaraget, 2011. S. 36–39. ISBN 978-9939-55-628-4.
3. National Archive of Armenia (hereinafter NAA). F. 56. Op. 1. D. 214. L. 2–3.
4. NAA. F. 56. Op. 1. D. 214. L. 13.
5. There is, for example, the case of the peasant Grigory Armenov dated 1843 : NAA. F. 56. Op. 1. D. 1208. L. 13 ob., the case of Alexandropol County resident Michael Gevandov dated 1854 : NAA. F. 56. Op. 1. D. 2674. L. 33–34, 43–43ob.; the case of the peasants of Igdar village, Surmalı county, Erivan province : 1897. : NAA. F. 56. Op. 14. D. 54. L. 18–19.
6. NAA. F. 56. Op. 1. D. 214. L. 13–13 ob.
7. Sobranie aktov, otnosyaschikhsya k obozreniyu istorii armyanskogo naroda. [Collection of acts relating to the review of the Armenian people history.] М., 1833. Ch. 1; М., 1838. Ch. II.

8. See. : *Sobranie aktov, odnosyaschikhsya k obozreniyu istorii armyanskogo naroda.* [Collection of acts relating to the review of the Armenian people history.] M., 1833. Ch. 1. S. 6, 15, 24, 27, 48.
9. *Istoricheskie pamyatniki veroucheniya armyanskoy tserkvi, odnosyaschiesya v XII stoletiyu /* Translated from Armenian by A. Khudobashev. SPb, 1847.
10. *Istoricheskie pamyatniki veroucheniya armyanskoy tserkvi, odnosyaschiesya v XII stoletiyu* [Historical monuments of the Armenian Church doctrine related to the XII century] / Translated from Armenian by A. Khudobashev. SPb, 1847. S. IV. The author is referring to the publication : *Ispovedanie khristianskiya very armyanskiya tserkvi* [Confession of the Christian faith of the Armenian Church] / perevedennoe s armyanskago na rossiyskiy yazyk i izdannoe tshaniem preosv. Iosifa, arkhiep. vsego armyanskago naroda, obitayuschago v Rossii, i kavallera kn. Argutinskago-Dolgorukago. SPb, 1799.
11. *Istoricheskie pamyatniki veroucheniya armyanskoy tserkvi, odnosyaschiesya v XII stoletiyu* [Historic monuments of the Armenian Church doctrine related to the XII century] / Translated from Armenian by A. Khudobashev. SPb, 1847. S. IV.
12. *Istoricheskie pamyatniki veroucheniya armyanskoy tserkvi, odnosyaschiesya v XII stoletiyu* [Historic monuments of the Armenian Church doctrine related to the XII century] / Translated from Armenian by A. Khudobashev. SPb, 1847. S. V–VI.
13. Sokolov A. K. *Snosheniya armyanskoy tserkvi s vostochnoy pravoslavnoy o soedinenii v dvenadtsatom veke.* [Relations between the Armenian church and the Eastern Orthodox Church in the twelfth century.] M., 1847.
14. NAA. F. 56. Op. 2. D. 723. L. 4.
15. NAA. F. 56. Op. 2. D. 723. L. 4 ob.
16. We used the modern edition, uniting the two articles : Bishop Hermogenes (Dobronravin). *Kratkiy ocherk istorii armyanskoy tserkvi. Verouchenie armyanskoy tserkvi.* [A Short History of the Armenian Church. The doctrine of the Armenian Church.] M., 2000.
17. Germogen (Dobronravin), bishop. *Kratkiy ocherk istorii armyanskoy tserkvi. Verouchenie armyanskoy tserkvi.* [A Short History of the Armenian Church. The doctrine of the Armenian Church.] M., 2000. S. 29.
18. Germogen (Dobronravin), bishop. *Kratkiy ocherk istorii armyanskoy tserkvi. Verouchenie armyanskoy tserkvi.* [A Short History of the Armenian Church. The doctrine of the Armenian Church.] – M., 2000. – S. 32.
19. Grigoriy Vizantios, Chios mitr. *Kakim obrazom mozhet osuschestvitsya edinenie armyanskoy i pravoslavno-kafolicheskoy tserkvi* [How the unity of the Armenian Church and Orthodox Catholic Church can be achieved] // *Khristianskoe chtenie.* 1868. № 6. S. 791–853; *On zhe. O merakh k dostizheniyu edineniya armyanskoy i pravoslavno-kafolicheskoy tserkvi* // *Khristianskoe chtenie.* 1868. № 7. S. 19–120.
20. Grigoriy Vizantios, Chios mitr. *Kakim obrazom mozhet osuschestvitsya edinenie armyanskoy i pravoslavno-kafolicheskoy tserkvi* [How the unity of the Armenian Church and Orthodox Catholic Church can be achieved] // *Khristianskoe chtenie.* 1868. № 6. S. 791.
21. Grigoriy Vizantios, Chios mitr. *Kakim obrazom mozhet osuschestvitsya edinenie armyanskoy i pravoslavno-kafolicheskoy tserkvi* [How the unity of the Armenian Church and Orthodox Catholic Church can be achieved] // *Khristianskoe chtenie.* 1868. № 6. S. 794.
22. *Sinodalnoe slovo Nersesa Lambronskogo, arkhiepiskopa Tarsiyskogo.* [Synodal word by Nerses Lambronsky, Archbishop of Tarsus.] M., 1865.
23. Emin N. O. *Kratkiy ocherk istorii armyanskoy vostochnoy tserkvi.* [Short essay on the history of the Eastern Armenian Church.] M., 1872.
24. Emin N. O. *Kratkiy ocherk istorii armyanskoy vostochnoy tserkvi.* [Short essay on the history of the Eastern Armenian Church.] M., 1872. S. 4.
25. Emin N. O. *Kratkiy ocherk istorii armyanskoy vostochnoy tserkvi.* [Short essay on the history of the Eastern Armenian Church.] M., 1872. S. 7.
26. Emin N. O. *Kratkiy ocherk istorii armyanskoy vostochnoy tserkvi.* [Short essay on the history of the Eastern Armenian Church.] M., 1872. S. 9–10.
27. Mikhail (Salantyan), archbishop. *O soglasii i mnimom nesoglasii veroispovedaniy tserkvi armyanskoy i tserkvi grecheskoy* [About the agreement and alleged disagreement between the creeds of the Armenian and Greek churches] // *Khristianskoe chtenie.* 1869. № 2. S. 222–238.

28. Mikhail (Salantyan), archbishop. O soglasii i mnimom nesoglasii veroispovedaniy tserkvi armyanskoy i tserkvi grecheskoy [About the agreement and alleged disagreement between the creeds of the Armenian and Greek churches]// Khristianskoe chtenie. 1869. № 2. S. 230.
29. Mikhail (Salantyan), archbishop. O soglasii i mnimom nesoglasii veroispovedaniy tserkvi armyanskoy i tserkvi grecheskoy [About the agreement and alleged disagreement between the creeds of the Armenian and Greek churches]// Khristianskoe chtenie. 1869. № 2. S. 233.
30. Mikhail (Salantyan), archbishop. O soglasii i mnimom nesoglasii veroispovedaniy tserkvi armyanskoy i tserkvi grecheskoy [About the agreement and alleged disagreement between the creeds of the Armenian and Greek churches] // Khristianskoe chtenie. 1869. № 2. S. 235–236.
31. Troitskiy I. E. Izlozhenie very tserkvi Armyanskoy, nachertannoe Nersesom, kafolikosom armyanskim, po prosbe bogolyubivogo tsarya grekov Manuila. [Statement of the faith of Armenian Church inscribed by Nerses, Armenian Catholicos, at the request of the God-loving Greek king Manuel.] SPb, 1875.
32. Lebedev A. Veroispovednoe polozhenie arмян v Rossii do vremen Ekateriny II (vklyuchitelno). [Religious status of Armenians in Russia until the time of Catherine II (inclusive)] M. : Izdanie Imp. Ob-va istorii i drevnostey rossiyskikh pri Mosk. un-te, 1909.
33. Maksimadzhian S., archpriest. Kratkiy ocherk veroispovedaniya armyanskoy tserkvi. [Short essay on religion of the Armenian Church.] Izd. 2-e. Rostov-na-Donu, 1909.
34. Maksimadzhian S., archpriest. Kratkiy ocherk veroispovedaniya armyanskoy tserkvi. [Short essay on religion of the Armenian Church.] Izd. 2-e. Rostov-na-Donu, 1909. S. 3.
35. Otvet arkhiepiskopa Melkhisedeka Muradyana na poslanie rimskogo papy Lva XIII (perevod s armyanskogo) s prilozheniem stati «Priderzhivaetsya li armyanskaya tserkov monofizitskogo ucheniya Evtikhiya?» (otvet M. Menshikovu). [Answer of Archbishop Melchizedek Muradyan to the message of the Pope Leo XIII (translated from Armenian) with annexed article «Does the Armenian Church stick to the monophysite doctrine of Eutyches?» (Answer to M. Menshikov).] Rostov-na-Donu, 1913.
36. Magakiya (Ormanyanyan), archbishop. Armyanskaya tserkov : ee istoriya, uchenie, upravlenie, vnutrenniy stroy, liturgiya, nastoyaschee [Armenian Church : its history, teaching, administration, internal structure, liturgy, present status]/ comments by G. Mailyan. Erevan : Ankyunakar, 2006. S. 256.
37. NAA. F. 56. Op. 1. D. 1233. L. 7.
38. NAA. F. 56. Op. 14. D. 264. L. 3.

Статья сдана в редакцию 18 октября 2015 года

Аспирантская тетрадь

УДК 625.04

Д. А. Скутин

Расчет напряжений в балластной призме, усиленной геосинтетическими материалами

UDC 625.04

D.A. Skutin

Calculation of stresses in ballast section reinforced by geosynthetics

Аннотация

Балластная призма является одной из наиболее уязвимых частей железнодорожного пути, так как воспринимает нагрузки непосредственно от рельсошпальной решетки. Поддержание устойчивости балластной призмы влияет на устойчивость железнодорожного пути в целом.

Произведена численная оценка величины горизонтальных поперечных сил, возникающих при движении подвижного состава с двумя двухосными тележками по криволинейному участку железнодорожного пути. Построены изополя горизонтальных поперечных сил при движении поезда по криволинейному участку в зависимости от радиуса круговой кривой и скорости прохода состава.

Проведены теоретические расчеты по определению максимально возможного сдвигающего усилия при стандартной конструкции верхнего строения железнодорожного пути и при применении дополнительных устройств, повышающих поперечную устойчивость рельсошпальной решетки в балластной призме, с использованием методики определения объема призмы волочения грунта автотракторной техникой.

В рамках исследований произведена оценка величины напряжений, возникающих в балластной призме при проходе подвижного состава. Напряжения определены с помощью программного комплекса, основанного на методе конечных элементов.

Произведена оценка эффективности использования геосинтетических материалов в конструкции верхнего строения пути для повышения поперечной устойчивости рельсошпальной решетки в балластной призме.

Ключевые слова: устойчивость железнодорожного пути, напряжения, поперечные силы, железнодорожный путь, геосетка, базальтовая сетка, рельсошпальная решетка, балласт, метод конечных элементов, деформации, верхнее строение пути.

DOI:10.20291/2079-0392-2015-4-141-149

Abstract

Ballast section is one of the most vulnerable parts of a railway track since it directly bears rail grid load. Stability of the ballast section affects the stability of the railway track as a whole.

Horizontal shear forces arising from the motion of the rolling stock with two two-axle bogies along curved portion of the railway track have been numerically estimated. Horizontal shear force isofields have been created for train motion on curved section, depending on the radius of the circular curve and train passage speed.

Theoretical calculations to determine the maximum possible shear force with a standard track superstructure design and the use of additional devices that increase lateral stability of track panels in ballast are provided, relying on the method of determining a tractor-dragged soil prism volume.

The studies evaluate the magnitude of stresses arising in ballast section during rolling stock passage. The stresses have been determined using software package based on finite element method.

Assessment of performance of geosynthetic materials used in track superstructure to improve lateral stability of track panel in ballast has been carried out.

Keywords: railway tracks stability, stresses, transverse forces, railway track, geogrid, basaltic grid, rail panel, ballast, finite element method, deformations, track superstructure.

DOI:10.20291/2079-0392-2015-4-141-149

Дмитрий Александрович Скутин, аспирант; кафедра «Путь и железнодорожное строительство» Уральского государственного университета путей сообщения; Екатеринбург, Россия. E-mail: daskutin@mail.ru.

Dmitry Alexandrovich Skutin, PhD Student; Railway Construction and Railway Track Department, Ural State University of Railway Transport; Ekaterinburg, Russia. E-mail: daskutin@mail.ru.

Один из наиболее опасных дефектов железнодорожного пути – это потеря его устойчивости.

С изменением условий эксплуатации существующих железнодорожных линий (введение тяжеловесного движения поездов, высокоскоростного подвижного состава и поездов с повышенными осевыми нагрузками) изменяются нагрузки, действующие на верхнее строение пути, следовательно, необходимо оценивать устойчивость железнодорожного пути и безопасность движения по нему с учетом новых условий.

В настоящее время расчет устойчивости железнодорожного пути производится по «Методике оценки воздействия подвижного состава на путь по условиям обеспечения его надежности» (2000 г.). Однако эта методика не позволяет в полной мере рассчитать напряжения, возникающие в конструкции верхнего строения пути, – в ней нет данных для расчета современного тягового подвижного состава.

Для определения нагрузок, действующих на путь от подвижного состава, проводится моделирование движения поезда по участку железнодорожного пути. Для определения сил, возникающих на контакте «колесо-рельс» при движении поездов по криволинейным участкам пути с различными скоростями движения, проведен численный

эксперимент в программном комплексе «Универсальный механизм».

Горизонтальные поперечные силы на контакте «колесо-рельс» были определены для скоростей движения 80, 100 и 120 км/ч при движении экипажа по криволинейным участкам пути с радиусами круговых кривых 250, 300, 350, 400, 500, 600 и 700 м [1] (таблица 1).

По результатам анализа таблицы 1 построены изополя поперечных сил на контакте «колесо-рельс», позволяющие оценить значения горизонтальных поперечных сил, возникающих при движении поезда по круговой кривой определенного радиуса с постоянной скоростью (рис. 1).

Анализ результатов, полученных в ходе моделирования движения подвижного состава по криволинейным участкам железнодорожного пути, показывает:

- горизонтальные поперечные силы, возникающие на контакте «колесо-рельс», увеличиваются при снижении радиуса круговой кривой;
- увеличение скорости движения подвижного состава по криволинейному участку влечет за собой увеличение горизонтальных поперечных сил.

Значительную долю от поперечных сил, возникающих при движении поезда в кривой, составляют силы, связанные с действием непогашенного ускорения. Для участков моделирования по

Таблица 1

Поперечные силы на контакте «колесо-рельс» при движении поездов по криволинейным участкам пути

Радиус круговой кривой, м	Поперечные силы на контакте «колесо-рельс», Н		
	Скорость движения подвижного состава, км/ч		
	80	100	120
250	36 900	62 408	97 409
300	30 173	49 684	77 036
350	23 971	40 512	65 572
400	16 998	31 289	55 017
500	13 126	18 974	37 651
600	9565	14 346	28 131
700	8167	8888	18 150

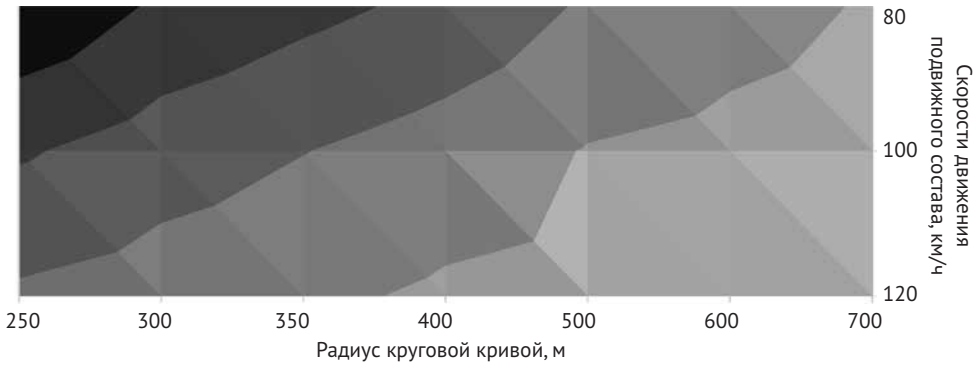


Рис. 1. Изополя поперечных сил на контакте «колесо – рельс»

□ 0–20 000; ■ 20 000–40 000; ■ 40 000–60 000; ■ 60 000–80 000; ■ 80 000–100 000

формуле (1) были рассчитаны значения сил, возникающих от воздействия непогашенного ускорения (таблица 2); значение массы, действующей на рельс, равнялось 27 т, что соответствует значению четверти веса вагона, используемого для моделирования движения поезда в программном комплексе «Универсальный механизм».

$$a_{\text{нп}} = \frac{V^2}{R} - \frac{g}{S} \cdot h \quad (1)$$

где $a_{\text{нп}}$ – непогашенное ускорение, м/с^2 ; V – скорость движения поезда, м/с ; R – радиус круговой кривой, м ; g – ускорение свободного падения, м/с^2 ; h – возвышение наружного рельса в кривой, м ; S – ширина колеи по осям рельсовых нитей, м .

Данные теоретического расчета, представленные в таблице 2, сопоставлены с данными моделирования, приведенными в таблице 1; по двум множествам рассчитаны корреляционные показатели, наибольший коэффициент корреляции соответствует скорости 120 км/ч и равен 0,998, для скорости 100 км/ч – 0,997, и для скорости 80 км/ч – 0,944, суммарный коэффициент корреляции составил 0,992.

В связи с увеличением прикладываемых нагрузок из-за движения поездов с повышенными осевыми нагрузками, тяжеловесных и высокоскоростных поездов необходимо повысить поперечную устойчивость рельсошпальной решетки в балласте. Для повышения поперечной устойчивости пути предложено

Таблица 2

Радиус круговой кривой, м	Поперечные силы, возникающие от непогашенного ускорения, Н		
	Скорость движения подвижного состава, км/ч		
	80	100	120
250	28732	58732	95399
300	19767	44767	75323
350	13264	34692	60883
400	8501,8	27252	50168
500	7629,1	16835	35168
600	7654,4	9890,7	25168
700	8287,3	8241,2	18026

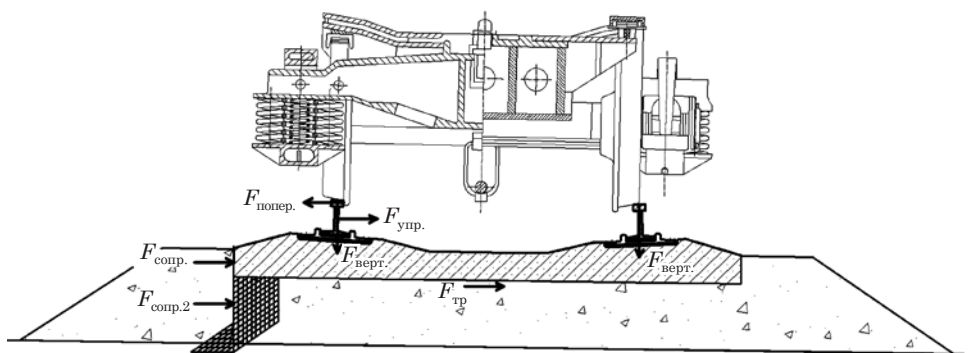


Рис. 2. Схема действия сил с применением удерживающей конструкции

использование геосетки из базальтовых волокон в конструкции верхнего строения пути (рис. 2).

Предлагаемая конструкция позволяет снизить металлоемкость железнодорожного пути, подразумевает использование промышленно-производимых материалов, не подвергается коррозии [1].

Ранее определен объем балласта под плечом балластной призмы, включающийся в работу при использовании стандартной конструкции верхнего строения пути и конструкции верхнего строения пути, усиленного геосеткой из базальтовых волокон [2].

Для оценки эффективности использования предлагаемой конструкции применен метод определения призмы волочения грунта, разрабатываемого автотракторной техникой [3].

Величина силы сопротивления сдвигу ($F_{сопр}$) при величине плеча балластной призмы 0,4 м и шпале типа КБ

составит 2,76 кН при объеме балласта $V_{пр1} = 0,165 \text{ м}^3$ на каждую шпалу (рис. 3). При использовании удерживающего приспособления на глубину 40 см под шпалой объем призмы волочения увеличится до $V_{пр2} = 0,213 \text{ м}^3$ (рис. 4), а сила сопротивления сдвигу увеличится до 3,58 кН на шпалу, что соответствует увеличению силы сопротивления сдвигу на 30 % [2].

Для дальнейшего расчета напряжений и перемещений, возникающих в конструкции верхнего строения пути, а также для оценки эффективности использования геосинтетических материалов в конструкции верхнего строения пути проведено имитационное моделирование в программном комплексе Midas GTS NX, основанное на методе конечных элементов [4, 5].

В качестве исходной модели для анализа напряжений, возникающих в балластной призме, использован отрезок

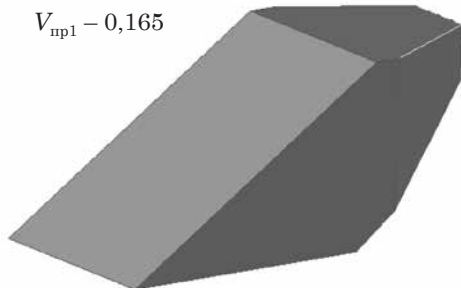


Рис. 3. Объемы призмы волочения без армирования

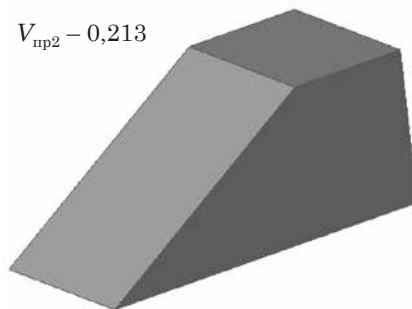


Рис. 4. Объемы призмы волочения с армированием

Таблица 3

Физико-механические характеристики исходных материалов

Название	Основание	Насыпь	Балласт	Рельсы	Шпалы	Геосетка
Материал	Суглинок	Песок	Щебень	Сталь	Железобетон	Базальт
Тип модели	Мора – Кулона	Мора – Кулона	Мора – Кулона	Изотропный	Изотропный	Изотропный
Параметр						
Модуль упругости E, кН/м ²	38000	30000	38000	2,1×10 ⁸	2,8×10 ⁷	3,5×10 ⁷
Коэффициент Пуассона	0,3	0,3	0,3	0,3	0,2	0,3
Удельный вес, кН/м ³	19	17	19	78	25	20
Коэффициент сцепления c, кН/м ²	38	1	1			
Угол внутр. трения, Ф, град	22	35	35			

железнодорожного пути протяженностью 6,5 м, расположенный на насыпи высотой 6 м с крутизной откосов насыпи 1:1,5; насыпь сложена из песчаных грунтов. Конструкция верхнего строения пути представлена рельсами Р65, железобетонными шпалами и щебеночным балластом; в ходе моделирования рельсы соединены со шпалами с помощью жестких связей, что максимально схоже с работой промежуточных креплений конструкции КБ. В качестве характеристик, используемых для построения модели, выбраны физико-механические параметры, соответствующие параметрам материалов верхнего и нижнего строения пути (таблица 3).

Сетка элементов в конструкции верхнего строения пути построена с шагом 0,05 м, что соответствует размеру ячеек базальтовой геосетки. Размер сетки конечных элементов насыпи и основания – от 0,05 м (в месте сопряжения с сеткой конечных элементов верхнего строения пути) и до 4 м у края модели в основании насыпи.

Модели основания, насыпи, балласта и шпал представлена трехмерными

элементами с гибридной сеткой. Рельсы построены одномерными линейными элементами с поперечным сечением, упрощенным с целью снижения затрат времени по расчету (рис. 5). Базальтовая геосетка представлена двухмерными элементами.

Сгенерированная таким образом сетка конечных элементов позволяет получить расчетные характеристики модели с высокой точностью, максимально снижая затраты на производительность компьютера.

В качестве расчетной нагрузки прикладывалась статическая нагрузка, соответствующая значениям, возникающим при движении подвижного состава со скоростью 100 км/ч по криволинейному участку с радиусом круговой кривой 700 м. Статическая нагрузка приложена в двух поперечных сечениях: над осью шпалы и над осью шпального ящика.

Схема сетки конечных элементов представлена на рис. 6 и 7.

Для оценки эффективности использования геосетки из базальтовых волокон в конструкции верхнего строения

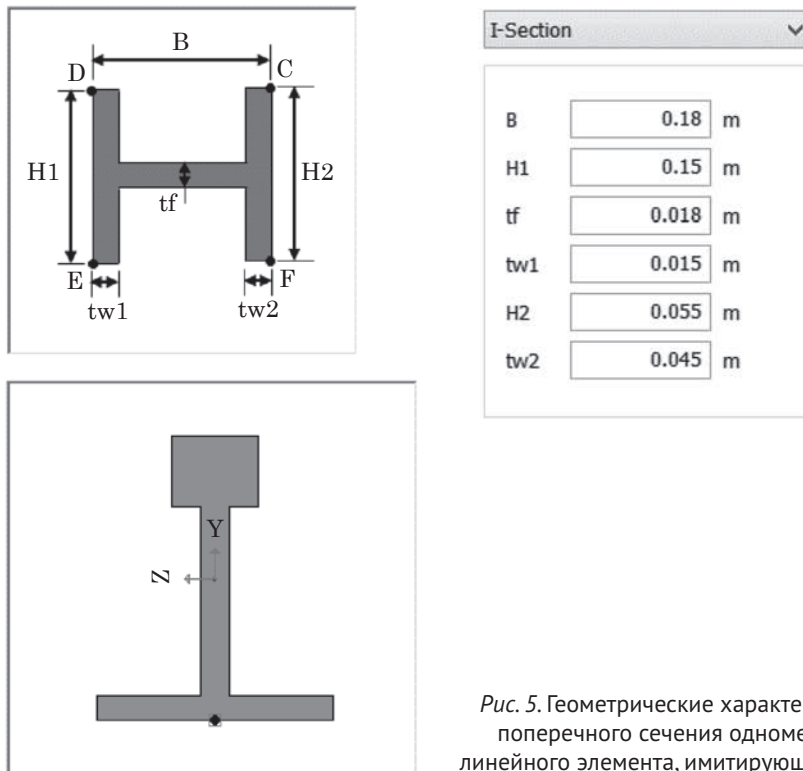


Рис. 5. Геометрические характеристики поперечного сечения одномерного линейного элемента, имитирующего рельс

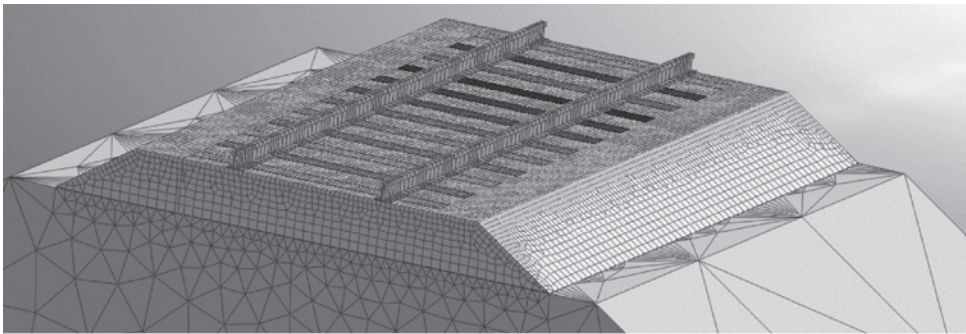


Рис. 6. Сетка конечных элементов верхнего строения пути и насыпи

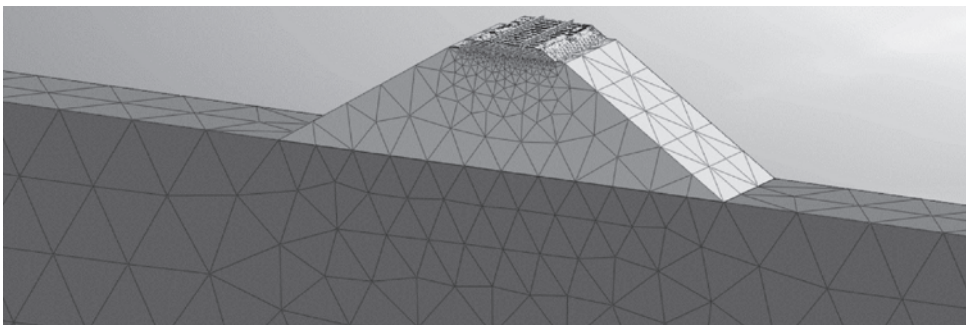


Рис. 7. Сетка конечных элементов верхнего строения пути, насыпи и основания

пути в качестве материала, способствующего повышению поперечной устойчивости рельсошпальной решетки в балласте, были оценены напряжения, возникающие под плечом балластной призмы, для двух конечно-элементных моделей. Первая модель соответствовала стандартной конструкции верхнего строения пути, во второй модели конструкция ВСП усилена геосеткой из базальтовых волокон. Анализ деформаций и напряжений проведен для трех стадий нагрузки:

- статическая нагрузка приложена к рельсу над осью железобетонной шпалы;
- статическая нагрузка приложена к рельсу над осью шпального ящика;
- статическая нагрузка снята.

Первый и второй вариант приложения нагрузки соответствуют максимальному и минимальному значениям сдвигающей силы, действующей со стороны

шпалы на балласт. Третий вариант нагружения позволяет определить остаточные напряжения, возникающие в балластной призме после снятия статической нагрузки.

Расчет модели на статическую нагрузку при стандартной конструкции верхнего строения пути позволил определить перемещения и напряжения, возникающие в балластной призме и элементах рельсошпальной решетки. Полученные данные позволяют оценить напряженно-деформированное состояние железнодорожного пути.

Перемещения грунтового массива при воздействии статической силы возникают в зоне плеча балластной призмы по трем шпалам (рис. 8, 9), по шпале, к которой приложена нагрузка, и соседним с ней шпалам; максимальные значения перемещений возникают в торце шпалы по верхней грани плеча балластной призмы; максимальные значения

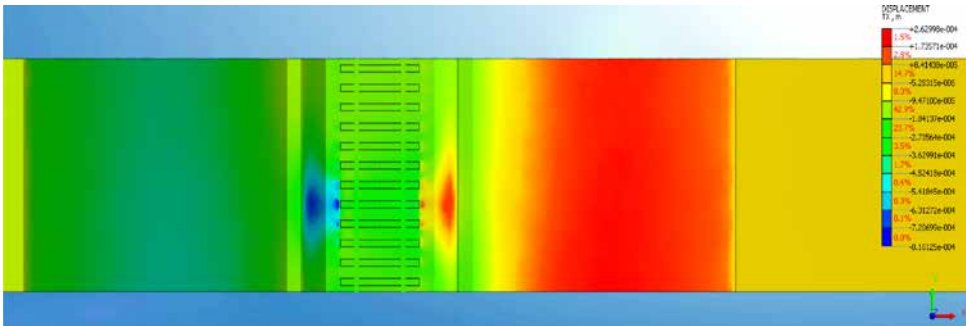


Рис. 8. Перемещения, возникающие при воздействии статической поперечной силы (вид сверху) при стандартной конструкции ВСП

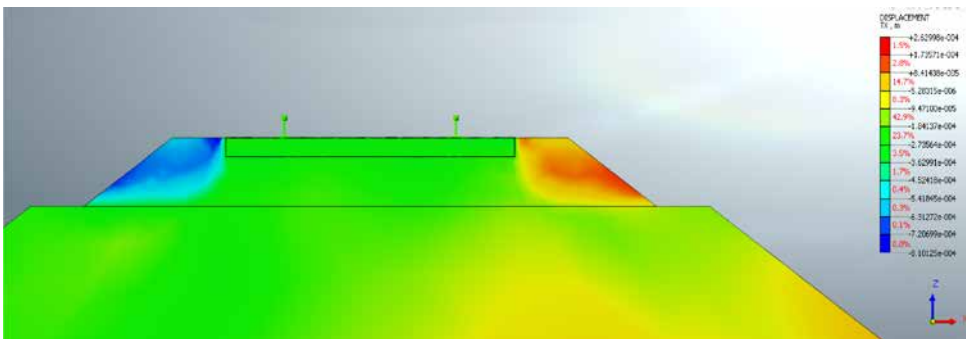


Рис. 9. Перемещения, возникающие при воздействии статической поперечной силы (поперечный разрез) при стандартной конструкции ВСП

перемещений при воздействии статической нагрузки, равной 8,9 кН, что соответствует значению силы, действующей на рельс со стороны колесной пары при движении подвижного состава по криволинейному участку пути с радиусом круговой кривой 700 с постоянной скоростью равной 100 км/ч, составляет 0,8 мм.

В конструкции верхнего строения пути, усиленной геосеткой из базальтовых волокон, перемещения в поперечном направлении отсутствуют, однако при сравнении напряжений, возникающих в балластной призме, укрепленной геосеткой из балластных волокон ($7,9 \text{ кН/м}^2$), с напряжениями, возникающими в стандартной конструкции верхнего строения пути ($9,2 \text{ кН/м}^2$) при воздействии статической нагрузки, видно, что напряжения снижаются на 14 %. Этот эффект достигается за счет заклинивания частиц балласта в ячейки геосетки. Полученные результаты позволяют сделать следующие выводы:

– максимальные напряжения возникают в месте передачи нагрузки от конструкции рельсошпальной решетки (рис. 10);

– напряжения, возникающие в нижней части базальтовой геосетки, свидетельствуют о включении в работу массива грунта, располагающегося на границе балластной призмы и насыпи; массив грунта, включающегося в работу, увеличивается (рис. 10);

– максимальное растяжение, возникающее из-за действия статической нагрузки, находится в нижней части базальтовой геосетки (рис. 11).

Использование конструкции из геосетки в качестве материала, способствующего повышению поперечной устойчивости рельсошпальной решетки в балласте, позволяет снизить напряжения и деформации, возникающие под плечом балластной призмы от пропуска грузовых поездов. Данный эффект достигается за счет включения в работу объема балластного грунта, располагающегося в нижней части балластной призмы.

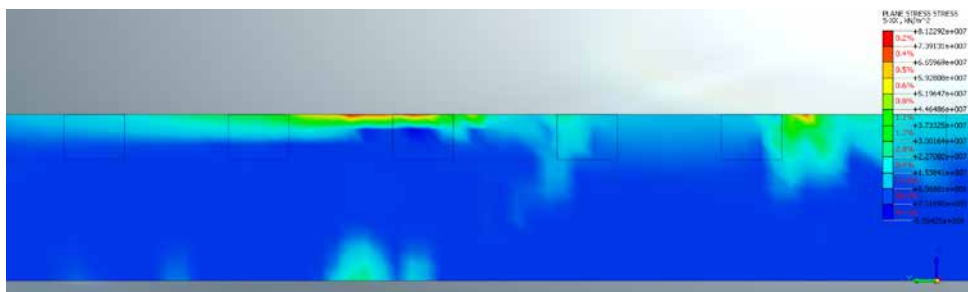


Рис. 10. Напряжения, возникающие в геосетке при воздействии статической поперечной силы (вид сбоку)

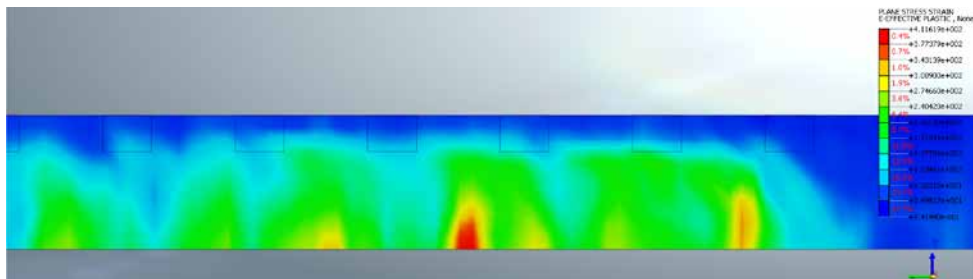


Рис. 11. Растяжения, возникающие в геосетке при воздействии статической поперечной силы (вид сбоку)

Использование программных комплексов, основанных на методе конечных элементов, позволяет рассчитать эффективность от использования временных материалов в конструкции

верхнего строения пути, что, в свою очередь, дает возможность к применению данных материалов и конструкций на экспериментальных участках.

Литература

1. Аккерман Г.Л., Скутин Д.А. Оценка поперечной устойчивости рельсошпальной решетки в балластной призме // Вестник УрГУПС. 2015. № 3 (27). С. 36–44. ISBN 2079-0392.
2. Аккерман Г.Л., Скутин Д.А. Оценка поперечной устойчивости рельсошпальной решетки в балластной призме с применением геосинтетиков // Проектирование развития региональной сети железных дорог : сб. науч. тр. – Хабаровск : Изд-во ДВГУПС. 2015. – Вып. 3. С. 8–17. ISBN 978-5-262-00759-2.
3. Разумов Ю.В., Улитич О.Ю. Экспериментальное и теоретическое определение сопротивления копанью грунта и мощности привода бульдозера // Методические указания к лабораторной работе. – М. : МАДИ, 2007.
4. Пособие по расчетам. Midas GTS NX. [Электронный ресурс]. 306 с.
5. GTS NX. On-line Manual. GeoTechnical analysis System New eXperience. URL: http://manual.midasuser.com/en_common/GTS%20NX/150/GTX.htm (дата обращения: 1.11.2015).

References

1. Akkerman G.L., Skutin D.A. Otsenka poperechnoy ustoychivosti relsoshpalnoy reshetki v ballastnoy prizme [Assessment of transverse stability of rail panel in ballast section] // Vestnik UrGUPP. 2015. № 3 (27). S. 36–44. ISBN 2079-0392.
2. Akkerman G.L., Skutin D.A. Otsenka poperechnoy ustoychivosti relsoshpalnoy reshetki v ballastnoy prizme s primeneniem geosintetikov // Proektirovanie razvitiya regionalnoy seti zheleznikh dorog : sb. nauch. tr. – Khabarovsk : Izd-vo DVGUPP. 2015. – Issue 3. S. 8–17. ISBN 978-5-262-00759-2.
3. Razumov Yu.V., Ulitich O.Yu. Eksperimentalnoe i teoreticheskoe opredelenie soprotivleniya kopaniyu grunta i moschnosti privoda buldozera [Experimental and theoretical determination of soil digging resistance and bulldozer drive power] // Metodicheskie ukazaniya k laboratornoy rabote. – M. : MADI, 2007.
4. Posobie po raschetam. Midas GTS NX. [Calculation guidelines. Midas GTS NX.] [Electronic resource]. 306 s.
5. GTS NX. On-line Manual. GeoTechnical analysis System New eXperience. URL : http://manual.midasuser.com/en_common/GTS%20NX/150/GTX.htm (date accessed : 1.11.2015).

Статья сдана в редакцию 27 ноября 2015 года

Уважаемые коллеги!

Информирую вас о требованиях, предъявляемых к оформлению статей.

При наборе используйте Word-2003 или Word-2007; шрифт (по всему тексту, в том числе в рисунках и таблицах) — тип Times, размер шрифта — 14, межстрочное расстояние — 1,5, абзацный отступ — 1,25 (1,27) см, поля — 2 см; расстановка переносов по всему тексту — автоматическая.

Набор формул: простые формулы и сочетания символов ($x^2 < y^2$; $E = mc^2$; $a^2 + b^2 = c^2$; Q_{i-1} ; ψ_j) — только в текстовом режиме, сложные

$$\left(s^2 = \frac{1}{n-1} \left[\sum_{j=1}^e x_j^2 n_j - \frac{1}{n} \left(\sum_{j=1}^e x_j n_j \right)^2 \right] \right); \left(\frac{\sigma_a}{[n]} \right)$$

или S_i^m) — только в редакторе формул

Equation или в MathType.

Написание букв: русские (а, б, в, А, Б, В), греческие (Θ , Σ , Ω , Ψ , α , β , δ , ϵ , λ , π), а также цифры и функции (1, 2, 3; I, II, III; max, lg, sin и т.п.) пишутся только прямо; латинские (a , b , n , A , B , N и т.д.) — только курсивом. Исключение — курсив во вспомогательном тексте (слова «Таблица» и «Рис.», примечания в рисунках и ссылки в тексте на эти примечания).

Оформление текста: левый верхний край — инициалы, фамилия; заголовков — все буквы ПРОПИСНЫЕ, жирные, расположение — по центру набора; таблиц и рисунков: в таблицах размер шрифта — на полтора-два размера меньше, чем в основном тексте (11,5–12), расположение текста в «шапке» таблицы — по центру, в столбцах — по ширине; межстрочное расстояние — 1; слово «Таблица» — курсивное начертание, в правый край таблицы; название таблицы — начертание нормальное (прямое), расположение — по центру таблицы. В рисунках (графиках, диаграммах): размер подрисуноч-

ной подписи — 14, расположение — по центру набора, слово «Рис.» — курсив, название рисунка — нормальное начертание, описание рисунка (экспликация) — нормальное начертание, условные обозначения — курсивное начертание, их расшифровка — нормальное. Расположение таблиц и рисунков — строго после ссылки на них.

Кроме того, рисунки обязательно прилагаются к материалу (один рисунок — один файл; формат — *.jpg).

Ссылки на литературу в тексте пишутся в квадратных скобках ([1], [1, 2] или [3–5]); нумерация сквозная. Список литературы/источников оформляется по ГОСТ 7.0.5–2008.

В конце статьи обязательно ставится дата отсылки материала в редакцию.

Объем статьи — не более 14-ти страниц.

Название файла: Фамилия. Первое слово заголовка. Многоточие. Последнее слово заголовка (Сидоров. Синтез... электроприводом).

К материалу (статье) обязательно прилагаются (отдельным файлом): УДК, сведения об авторе, аннотация, ключевые слова (название файла: УДК 000. Сидоров. Синтез... электроприводом).

Материалы для очередного номера журнала «Вестник УрГУПС» принимаются до 30 числа первого месяца квартала (до 30-го января, 30-го апреля, до 30-го июля, до 30-го октября). Материалы, поступившие в редакцию после 30-го числа, будут опубликованы только в следующем номере.

Успешной работы!

*Л. Барышникова,
литературный и выпускающий
редактор журнала «Вестник УрГУПС»*

Уважаемые читатели и авторы журнала «Вестник УрГУПС»!

Если вам нравится наш журнал, вы можете оказать содействие в его развитии,

перечислив денежные средства по реквизитам:

Ассоциация выпускников УЭМИИТ-УрГУПС

ИНН-КПП 6670317893/667001001

ОГРН 1156600001470

620075, Свердловская обл., г. Екатеринбург, ул. Шевченко, д. 20, помещение 1

Р/с 40703810863010000192

в ПАО КБ «УБРИР» филиал ССБ

к/с 30101810900000000795

БИК 046577795

Назначение платежа: «Пожертвование для поддержки научных журналов УрГУПС».

Ваша финансовая поддержка позволит нам увеличить число публикаций, повысить индексы цитирования журнала и наших авторов.

Уважаемые руководители инновационных компаний и предприятий!

Предлагаем вам услуги по продвижению вашей продукции через сеть Ассоциации выпускников УЭМИИТ-УрГУПС.

Ассоциация выпускников УЭМИИТ-УрГУПС – это кооперация большого числа неравнодушных людей различных сфер деятельности, окончивших наш университет.

Кроме того, предлагаем услуги по подбору молодых специалистов, по организации поиска решений прикладных и научных задач в рамках диссертационных работ, выполняемых в УрГУПС.

Всю необходимую информацию вы можете получить по тел. (343) 221-24-67

или на сайте <http://www.usurt.ru/vypusnikam/assotsiatsiya-vypusnikov-urgups>

Извещение	<p>Получатель: Ассоциация выпускников УЭМИИТ-УрГУПС КПП: <u>667001001</u> ИНН: <u>6670317893</u> ОКТМО: <u>65701000</u> Р/с.: <u>40703810863010000192</u> в: ПАО КБ «УБРИР» филиал ССБ БИК: <u>046577795</u> К/с.: <u>30101810900000000795</u> Код бюджетной классификации (КБК): _____ Платеж: <u>Пожертвование для поддержки научных журналов УрГУПС</u> Плательщик: _____ Адрес плательщика: _____ ИНН плательщика: _____ № л/с. плательщика: _____ Сумма: _____ руб. ____ коп. Подпись: _____ Дата: «___» _____ 2016 г.</p>
Квитанция	<p>Получатель: Ассоциация выпускников УЭМИИТ-УрГУПС КПП: <u>667001001</u> ИНН: <u>6670317893</u> ОКТМО: <u>65701000</u> Р/с.: <u>40703810863010000192</u> в: ПАО КБ «УБРИР» филиал ССБ БИК: <u>046577795</u> К/с.: <u>30101810900000000795</u> Код бюджетной классификации (КБК): _____ Платеж: <u>Пожертвование для поддержки научных журналов УрГУПС</u> Плательщик: _____ Адрес плательщика: _____ ИНН плательщика: _____ № л/с. плательщика: _____ Сумма: _____ руб. ____ коп. Подпись: _____ Дата: «___» _____ 2016 г.</p>

ф. СП-1



АБОНЕМЕНТ

на ~~газету~~
журнал

70070

(индекс издания)

Вестник УрГУПС

(наименование издания)	Количество комплектов:	
------------------------	------------------------	--

на 2016 год по месяцам:

1	2	3	4	5	6	7	8	9	10	11	12
X	X	X	X	X	X						

Куда

(почтовый индекс)

(адрес)

Кому

(фамилия, инициалы)

ДОСТАВОЧНАЯ КАРТОЧКА

ПВ	место	литер

на ~~газету~~
журнал

70070

(индекс издания)

Вестник УрГУПС

(наименование издания)

Стои- мость	подписки	руб. ____ коп.	Количество комплектов:	
	переадресовки	руб. ____ коп.		

на 2016 год по месяцам:

1	2	3	4	5	6	7	8	9	10	11	12
X	X	X	X	X	X						

Куда

(почтовый индекс)

(адрес)

Кому

(фамилия, инициалы)